



## **TUGAS AKHIR – RC 14-1501**

# **STUDI PERBANDINGAN PERILAKU BANGUNAN MENGGUNAKAN SISTEM RANGKA PEMIKUL MOMEN, SISTEM RANGKA BRESING KONSENTRIK, DAN SISTEM RANGKA BRESING KONSENTRIK MENGGUNAKAN *OUTRIGGER***

YEHEZKIEL SEPTIAN YOGANATA  
NRP. 3113 106 046

Dosen Pembimbing I  
Data Iranata, S.T.,M.T.,Ph.D.

Dosen Pembimbing II  
Ir. Heppy Kristijanto, M.S.

JURUSAN TEKNIK SIPIL  
Fakultas Teknik Sipil dan Perencanaan  
Institut Teknologi Sepuluh Nopember  
Surabaya 2016



## **TUGAS AKHIR – RC 14-1501**

# **STUDI PERBANDINGAN PERILAKU BANGUNAN MENGGUNAKAN SISTEM RANGKA PEMIKUL MOMEN, SISTEM RANGKA BRESING KONSENTRIK, DAN SISTEM RANGKA BRESING KONSENTRIK MENGGUNAKAN *OUTRIGGER***

YEHEZKIEL SEPTIAN YOGANATA  
NRP. 3113 106 046

Dosen Pembimbing I  
Data Iranata, S.T.,M.T.,Ph.D.

Dosen Pembimbing II  
Ir. Heppy Kristijanto, M.S.

JURUSAN TEKNIK SIPIL  
Fakultas Teknik Sipil dan Perencanaan  
Institut Teknologi Sepuluh Nopember  
Surabaya 2016



## **FINAL PROJECT – RC 14-1501**

# **COMPARATIVE STUDY OF THE BEHAVIOR OF BUILDINGS USING MOMENT RESISTING FRAME, CONCENTRICALLY BRACED FRAME, AND CONCENTRICALLY BRACED FRAME USING *OUTRIGGERS***

YEHEZKIEL SEPTIAN YOGANATA  
NRP. 3113 106 046

Supervisor I  
Data Iranata, S.T.,M.T.,Ph.D.

Supervisor II  
Ir. Heppy Kristijanto, M.S.

DEPARTMENT OF CIVIL ENGINEERING  
Faculty of Civil Engineering and Planning  
Sepuluh Nopember Institute of Technology  
Surabaya 2016

**STUDI PERBANDINGAN PERILAKU BANGUNAN  
MENGGUNAKAN SISTEM RANGKA PEMIKUL MOMEN,  
SISTEM RANGKA BRESING KONSENTRIK, DAN SISTEM  
RANGKA BRESING KONSENTRIK MENGGUNAKAN  
*OUTRIGGER***

**TUGAS AKHIR**

Diajukan Untuk Memenuhi Salah Satu Syarat  
Memperoleh Gelar Sarjana Teknik  
pada

Program Studi S-1 Lintas Jalur Jurusan Teknik Sipil  
Fakultas Teknik Sipil dan Perencanaan  
Institut Teknologi Sepuluh Nopember

Oleh :

**YEHEZKIEL SEPTIAN YOGANATA**  
**NRP. 3113 106 046**

Disetujui oleh Pembimbing Tugas Akhir :

1. Data Iranata, S.T, M.T.,Ph.D ..... ( Pembimbing I )  
NIP. 19800430 200501 1 002

2. Ir. Heppy Kristijanto, M.S. ..... ( Pembimbing II )  
NIP. 19610311 1987011001

**SURABAYA**  
**JULI 2016**

# **STUDI PERBANDINGAN PERILAKU BANGUNAN MENGGUNAKAN SISTEM RANGKA PEMIKUL MOMEN, SISTEM RANGKA BRESING KONSENTRIK DAN SISTEM RANGKA BRESING KONSENTRIK MENGGUNAKAN OUTRIGGER**

**Nama Mahasiswa** : Yehezkiel Septian Yoganata  
**NRP** : 3113 106 046  
**Jurusan** : Teknik Sipil FTSP-ITS  
**Dosen Pembimbing** : Data Iranata,S.T.,M.T.,Ph.D.  
Ir. Heppy Kristijanto,M.S.

## ***Abstrak***

*Struktur yang direncanakan harus mampu menghasilkan suatu struktur yang stabil, cukup kuat, mampu-layan, awet, dan memenuhi ketahanan berat gedung, gaya gempa dasar dan perpindahan. Dengan permasalahan yang ada maka perlu adanya suatu sistem yang digunakan pada suatu gedung. Terdapat beberapa sistem yang dapat digunakan untuk menganalisa masalah tersebut.*

*Sebagai bahan studi akan dilakukan perhitungan terhadap variasi tinggi gedung yakni gedung 60, 50, 40, 30 dan 20 lantai dengan tinggi tiap lantai 4 m, panjang dan lebar bangunan 38 m dan 30 m, dan menggunakan tiga sistem yakni sistem rangka pemikul momen khusus ,sistem rangka bresing konsentrik khusus dan sistem rangka bresing konsntrik khusus menggunakan outrigger.*

*Hasil yang diperoleh dari analisa ini, bangunan menggunakan sistem rangka bresing konsentrik khusus menggunakan outrigger lebih kuat terhadap gaya gempa dan perpindahan yang bekerja, dibandingkan dua sistem yang lain, meski dimensi yang dipakai lebih kecil. Hal ini dikarenakan fungsi outrigger untuk mereduksi simpangan lateral dan menahan momen gulung.*

***Kata kunci: sistem rangka pemikul momen, sistem rangka bresing konsentrik, Outrigger***

*“Halaman ini sengaja dikosongkan.”*

# **COMPARATIVE STUDY OF THE BEHAVIOR OF BUILDINGS USING MOMENT RESISTING FRAME, CONCENTRICALLY BRACED FRAME, AND CONCENTRICALLY BRACED FRAME USING OUTRIGGERS**

**Student Name** : Yehezkiel Septian Yoganata  
**NRP** : 3113 106 046  
**Department** : Teknik Sipil FTSP-ITS  
**Lecture Name** : Data Iranata,S.T.,M.T.,Ph.D.  
Ir. Heppy Kristijanto,M.S.

### *Abstract*

*The planned structure must be able to produce a structure that is stable, strong, capable steward, durable, and meets heavy resistance building, basic seismic force, and displacement. With the existing problems it is necessary the existence of a system that is use on a building. There are some systems that can be used to analyze the problem.*

*As study materials will be calculated against height variations that building 60,50,40,30, and 20 floors each floor premises 4 m high, length dan width are 38 m and 30 m, and using three the system bearers special moment resisting frame, special concentrically braced frame, and special concentrically braced frame using outriggers.*

The results obtained from this analysis, the building uses a special concentrically braced frame using outrigger is stronger against earthquake forces and displacement work than the other two systems, although the dimensions used are smaller than them. This is because the function to reduce the deviation of lateral outrigger and holding torque tube.

**Keywords : Moment Resisting Frame, Concentrically Braced Frame, Outrigger**

*“Halaman ini sengaja dikosongkan.”*

## KATA PENGANTAR

Segala puji dan syukur penulis panjatkan kepada Tuhan Yesus Kristus, yang senantiasa mencerahkan kasih dan anugerah-Nya, sehingga penulis dapat menyelesaikan penyusunan Tugas Akhir dengan judul “Studi Perbandingan Perilaku Bangunan Menggunakan Sistem Rangka Pemikul Momen, Sistem Rangka Bresing Konsentrik, dan Sistem Rangka Bresing Konsentrik Mneggunakan *Outrigger*”.

Penulis menyadari bahwa keberhasilan dalam menyelesaikan Tugas Akhir ini tidak lepas dari bantuan, bimbingan dan dorongan dari berbagai pihak baik secara langsung maupun tidak langsung. Oleh karena itu, penulis mengucapkan banyak terima kasih dan penghargaan yang setinggi-tingginya kepada:

1. Orang tua, kakak, adik, dan keluarga besar dari penulis, yang telah memberikan doa, kasih sayang dan dukungan baik moril maupun materil.
2. Tri Joko Wahyu, ST., MT., PhD selaku ketua jursan teknik sipil.
3. Data Iranata,ST,MT,PhD. dan Ir. Heppy Kristijanto,MS. selaku dosen pembimbing yang telah banyak memberikan bimbingan dan arahan dalam penyusunan Tugas Akhir ini.
4. Prof. Dr. Ir. Triwulan, DEA selaku dosen wali penulis yang telah banyak memberi bimbingan dan arahan selama penulis menjadi mahasiswa perkuliahan di Lintas Jalur S-1.
5. Seluruh dosen pengajar Jurusan Teknik Sipil FTSP-ITS, terima kasih atas ilmu yang telah diberikan.
6. Seluruh staff dan karyawan Jurusan Teknik Sipil FTSP-ITS.
7. Teman-teman seperjuangan dari Polinema 2010 yang sudah banyak memberikan semangat, doa dan arahan kepada penulis.
8. Teman-teman seperjuangan Lintas Jalur S-1 langkatan 2014, dan semua rekan mahasiswa Teknik Sipil ITS lainnya.

Penulis menyadari bahwa tugas akhir ini masih jauh dari kesempurnaan. Penulis mengharapkan kritik dan saran yang membangun demi kesempurnaan tugas akhir ini.

Akhir kata penulis mengharapkan, semoga tugas akhir ini dapat memenuhi harapan dan bermanfaat bagi kita semua, khususnya mahasiswa Teknik Sipil.

Surabaya, Juli 2016

Penulis

## DAFTAR ISI

<b>HALAMAN JUDUL.....</b>	
<b>LEMBAR PENGESAHAN .....</b>	<b>i</b>
<b>ABSTRAK .....</b>	<b>iii</b>
<b><i>ABSTRACT</i> .....</b>	<b>v</b>
<b>KATA PENGANTAR.....</b>	<b>vii</b>
<b>DAFTAR ISI.....</b>	<b>ix</b>
<b>DAFTAR GAMBAR.....</b>	<b>xiii</b>
<b>DAFTAR TABEL.....</b>	<b>xix</b>
<b>BAB I PENDAHULUAN .....</b>	<b>1</b>
1.1 Latar Belakang .....	1
1.2 Perumusan Masalah .....	2
1.3 Tujuan Perencanaan .....	3
1.4 Batasan Masalah.....	3
1.5 Manfaat .. ....	3
<b>BAB II TINJAUAN PUSTAKA.....</b>	<b>5</b>
2.1 Ketentuan Umum .....	5
2.2 Sistem Rangka Pemikul Momen Khusus .....	6
2.2.1 Sambungan Balok ke Kolom .....	7
2.2.2 Perbandingan Momen Kolom Terhadap Momen Balok .. ....	8
2.3 Sistem Rangka Bresing Konsentrik.....	9
2.3.1 Batang Bresing .....	11
2.3.2 Sambungan Batang Bresing .....	12
2.3.3 Kolom.....	13
2.4 Sistem Rangka Bresing Konsentrik menggunakan Outrigger.....	18
<b>BAB III METODOLOGI .....</b>	<b>25</b>
3.1 Umum.....	25
3.2 Bagan Alir Penyelesaian Tugas Akhir .....	25
3.3 Data Perencanaan .....	26
3.4 Studi Literatur .. ....	27

3.5 Desain Awal Bangunan.....	27
3.6 Pembebanan .....	28
3.7 Pemodelan Analisa Struktur.....	34
3.7.1 Kontrol Desain .....	34
3.7.2 Balok .....	34
3.7.3 Kolom.....	37
3.8 Sambungan.....	41
3.9 Perbandingan Hasil .....	43
<b>BAB IV PERENCANAAN STRUKTUR SEKUNDER..</b>	<b>45</b>
4.1 Perencanaan Pelat lantai.....	45
4.1.1 Perencanaan Pelat Lantai Atap.....	45
4.1.2 Perencanaan Pelat Lantai Perkantoran .....	47
4.2 Perencanaan Balok Anak .....	48
4.2.1 Balok Anak Lantai Atap (Bentang 8m).....	48
4.2.2 Balok Anak Lantai Atap (Bentang 6m).....	52
4.2.3 Balok Anak Lantai Perkantoran (Bentang 8m) .....	56
4.2.4 Balok Anak Lantai Perkantoran (Bentang 6m) .....	61
4.3 Perencanaan Balok Penggantung Lift 1 Car.....	65
4.3.1 Spesifikasi Lift .....	65
4.3.2 Rencana Balok Penggantung Lift .....	68
4.4 Perencanaan Tangga dan Bordes.....	72
4.4.1 Perencanaan Tangga .....	72
4.4.2 Perencanaan Pengaku Anak Tangga .....	75
4.4.3 Perencanaan Bordes .....	77
4.4.3.1 Pelat Bordes .....	77
4.4.3.2 Perencanaan Balok Bordes .....	79
4.4.4 Balok Utama Tangga .....	81
4.4.5 Balok Penumpu Tangga .....	90
<b>BAB V ANALISA PEMODELAN STRUKTUR.....</b>	<b>97</b>
5.1 Data Perencanaan .....	97
5.2 Penentuan Beban-beban .....	101
5.3 Perhitungan Massa Bangunan .....	102
5.4 Kontrol Berat Bangunan .....	113

5.4.1 Sistem Rangka Pemikul Momen Khusus .....	113
5.4.2 Sistem Rangka Bresing Konsentrik Khusus .....	118
5.4.3 Sistem Rangka Bresing Konsentrik Khusus Menggunakan Outrigger .....	123
5.5 Perbandingan Massa Bangunan .....	128
5.5.1 Bangunan 20 Lantai .....	128
5.5.2 Bangunan 30 Lantai .....	129
5.5.3 Bangunan 40 Lantai .....	130
5.5.4 Bangunan 50 Lantai .....	131
5.5.5 Bangunan 60 Lantai .....	132
5.6 Kombinasi Pembebanan .....	133
5.7 Pembebanan Gempa Dinamis .....	133
5.7.1 Arah Pembebanan .....	133
5.7.2 Parameter Respon Spektrum Rencana .....	134
5.8 Analisis Struktur .....	142
5.8.1 Kontrol Nilai Akhir Respon Spektrum .....	142
5.8.2 Perbandingan Gaya Geser Dasar Ketiga Sistem ....	155
5.8.3 Kontrol Partisipasi Massa .....	159
5.8.4 Kontrol Simpangan Antar Lantai ( <i>Drift</i> ) .....	167
<b>BAB VI PERENCANAAN STRUKTUR PRIMER .....</b>	<b>189</b>
6.1 Perencanaan Elemen Struktur Primer.....	189
6.1.1 Balok Induk .....	189
6.1.1.1 Balok Induk Memanjang .....	189
6.1.1.2 Balok Induk Melintang .....	191
6.1.2 Kolom .....	204
6.1.2.1 Kolom Lantai 1-10 SRPMK 20 Lantai .....	204
6.1.2.2 Kolom Lantai 1-10 SRBKK + Outrigger 60 Lantai .....	210
6.1.3 Bresing dan Outrigger .....	217
<b>BAB VII PERENCANAAN SAMBUNGAN.....</b>	<b>219</b>
7.1 Sambungan Balok Anak dengan Balok Induk .....	219
7.2 Sambungan Balok Induk dengan Kolom .....	222
7.3 Sambungan Kolom dengan Kolom .....	227

7.4 Sambungan Pada Batang Bracing dengan Balok-Kolom.....	229
7.5 Sambungan Bracing dengan Balok Induk .....	232
7.6 Sambungan Outrigger dengan Balok Induk .....	235
<b>BAB VIII PENUTUP .....</b>	<b>239</b>
8.1 Kesimpulan .....	239
8.2 Saran .....	240
<b>DAFTAR PUSTAKA .....</b>	<b>xxiii</b>
<b>LAMPIRAN</b>	

## DAFTAR GAMBAR

Gambar 2.1 Kurva Hubungan Tegangan dan Regangan .....	5
Gambar 2.2 Sistem Struktur Rangka Pemikul Momen .....	7
Gambar 2.3 Bresing Bentuk Cross .....	9
Gambar 2.4 Konfigurasi Sistem rangka Bresing Konsentrik.....	10
Gambar 2.5 Gaya yang Bekerja Pada Batang Diagonal Sistem CBF .....	11
Gambar 2.6 Sistem Belt Truss.....	18
Gambar 2.7 Braced Core, Kolom Eksterior, dan Cap Truss .....	19
Gambar 2.8 Outrigger Posisi di Atas.....	21
Gambar 2.9 Outrigger Posisi di Tengah.....	22
Gambar 3.1 Bagan Alir Penyelesaian Tugas Akhir.....	25
Gambar 3.2 Denah Bangunan .....	27
Gambar 3.3 Sambungan .....	43
Gambar 4.1 Denah Pelat Lantai Atap.....	45
Gambar 4.2 Penulangan Pelat Atap.....	46
Gambar 4.3 Denah Pelat Lantai Hotel.....	47
Gambar 4.4 Penulangan Pelat Lantai .....	48
Gambar 4.5 Denah Balok Lantai Atap (8m) .....	49
Gambar 4.6 Denah Balok Lantai Atap (6m) .....	53
Gambar 4.7 Denah Balok Lantai Perkantoran (8m).....	57
Gambar 4.8 Denah Balok Lantai Perkantoran (6m) .....	61
Gambar 4.9 <i>Lift</i> .....	66
Gambar 4.10 <i>Hoistway Section</i> .....	67
Gambar 4.11 Model Pembebanan Balok Penggantung Lift.	69
Gambar 4.12 Diagram Momen Balok Penggantung Lift ....	70
Gambar 4.13 Denah Tangga.....	73
Gambar 4.14 Pelat Anak Tangga .....	74
Gambar 4.15 Model Pembebanan Pelat Tangga .....	75
Gambar 4.16 Denah Bordes .....	77
Gambar 4.17 Model Pembebanan Balok Utama Tangga ....	83
Gambar 4.18 Bidang M Balok Tangga.....	84

Gambar 4.19 Bidang D Balok Tangga .....	86
Gambar 4.20 Bidang N Balok Tangga .....	87
Gambar 4.21 Analisa Lendutan Balok Utama Tangga.....	89
Gambar 4.22 Pembebanan Balok Penumpu Tangga .....	90
Gambar 4.23 Posisi MA,MB, dan MC Balok Penumpu Tangga.....	93
Gambar 5.1 Denah Bangunan.....	97
Gambar 5.2 Pemodelan 3D SAP2000 .....	98
Gambar 5.3 Berat Total Bangunan SRPMK 20 Lantai (1D+1L) Analisa SAP2000 .....	113
Gambar 5.4 Berat Total Bangunan SRPMK 30 Lantai (1D+1L) Analisa SAP2000 .....	114
Gambar 5.5 Berat Total Bangunan SRPMK 40 Lantai (1D+1L) Analisa SAP2000 .....	115
Gambar 5.6 Berat Total Bangunan SRPMK 50 Lantai (1D+1L) Analisa SAP2000 .....	116
Gambar 5.7 Berat Total Bangunan SRPMK 60 Lantai (1D+1L) Analisa SAP2000 .....	117
Gambar 5.8 Berat Total Bangunan SRBKK 20 Lantai (1D+1L) Analisa SAP2000 .....	118
Gambar 5.9 Berat Total Bangunan SRBKK 30 Lantai (1D+1L) Analisa SAP2000 .....	119
Gambar 5.10 Berat Total Bangunan SRBKK 40 Lantai (1D+1L) Analisa SAP2000 .....	120
Gambar 5.11 Berat Total Bangunan SRBKK 50 Lantai (1D+1L) Analisa SAP2000 .....	121
Gambar 5.12 Berat Total Bangunan SRBKK 60 Lantai (1D+1L) Analisa SAP2000 .....	122
Gambar 5.13 Berat Total Bangunan SRBKK+Outrigger 20 Lantai (1D+1L) Analisa SAP2000 .....	123
Gambar 5.14 Berat Total Bangunan SRBKK+Outrigger 30 Lantai (1D+1L) Analisa SAP2000 .....	124
Gambar 5.15 Berat Total Bangunan SRBKK+Outrigger 40 Lantai (1D+1L) Analisa SAP2000 .....	125
Gambar 5.16 Berat Total Bangunan SRBKK+Outrigger	

50 Lantai (1D+1L) Analisa SAP2000 .....	126
Gambar 5.17 Berat Total Bangunan SRBKK+Outrigger	
60 Lantai (1D+1L) Analisa SAP2000 .....	127
Gambar 5.18 Grafik Perbandingan Massa Bangunan	
20 Lantai.....	128
Gambar 5.19 Grafik Perbandingan Massa Bangunan	
30 Lantai.....	129
Gambar 5.20 Grafik Perbandingan Massa Bangunan	
40 Lantai.....	130
Gambar 5.21 Grafik Perbandingan Massa Bangunan	
50 Lantai.....	131
Gambar 5.22 Grafik Perbandingan Massa Bangunan	
60 Lantai.....	132
Gambar 5.23 Hasil Grafik Spektrum Respon Desain.....	138
Gambar 5.24 Grafik Perbandingan Base Shear pada	
ketiga sistem bangunan 20 Lantai .....	155
Gambar 5.25 Grafik Perbandingan Base Shear pada	
ketiga sistem bangunan 30 Lantai .....	156
Gambar 5.26 Grafik Perbandingan Base Shear pada	
ketiga sistem bangunan 40 Lantai .....	157
Gambar 5.27 Grafik Perbandingan Base Shear pada	
ketiga sistem bangunan 50 Lantai .....	158
Gambar 5.28 Grafik Perbandingan Base Shear pada	
ketiga sistem bangunan 60 Lantai .....	159
Gambar 5.29 Rasio Partisispasi Massa SRPMK 20 Lantai..	160
Gambar 5.30 Rasio Partisispasi Massa SRPMK 30 Lantai..	160
Gambar 5.31 Rasio Partisispasi Massa SRPMK 40 Lantai..	161
Gambar 5.32 Rasio Partisispasi Massa SRPMK 50 Lantai..	161
Gambar 5.33 Rasio Partisispasi Massa SRPMK 60 Lantai..	162
Gambar 5.34 Rasio Partisispasi Massa SRBKK 20 Lantai ..	162
Gambar 5.35 Rasio Partisispasi Massa SRBKK 30 Lantai ..	163
Gambar 5.36 Rasio Partisispasi Massa SRBKK 40 Lantai ..	163
Gambar 5.37 Rasio Partisispasi Massa SRBKK 50 Lantai ..	164
Gambar 5.38 Rasio Partisispasi Massa SRBKK 60 Lantai ..	164
Gambar 5.39 Rasio Partisispasi Massa SRBKK+Outrigger	

20 Lantai.....	165
Gambar 5.40 Rasio Partisipasi Massa SRBKK+Outrigger 30 Lantai.....	165
Gambar 5.41 Rasio Partisipasi Massa SRBKK+Outrigger 40 Lantai.....	166
Gambar 5.42 Rasio Partisipasi Massa SRBKK+Outrigger 50 Lantai.....	166
Gambar 5.43 Rasio Partisipasi Massa SRBKK+Outrigger 60 Lantai.....	167
Gambar 5.44 Grafik Hasil <i>Drift</i> Tiap Tingkat Pada Bangunan 20 Lantai Arah X.....	168
Gambar 5.45 Grafik Analisa <i>Drift</i> Tiap Tingkat Pada Bangunan 20 Lantai Arah X.....	169
Gambar 5.46 Grafik Hasil <i>Drift</i> Tiap Tingkat Pada Bangunan 20 Lantai Arah Y.....	170
Gambar 5.47 Grafik Analisa <i>Drift</i> Tiap Tingkat Pada Bangunan 20 Lantai Arah Y.....	171
Gambar 5.48 Grafik Hasil <i>Drift</i> Tiap Tingkat Pada Bangunan 30 Lantai Arah X.....	172
Gambar 5.49 Grafik Analisa <i>Drift</i> Tiap Tingkat Pada Bangunan 30 Lantai Arah X.....	173
Gambar 5.50 Grafik Hasil <i>Drift</i> Tiap Tingkat Pada Bangunan 30 Lantai Arah Y.....	174
Gambar 5.51 Grafik Analisa <i>Drift</i> Tiap Tingkat Pada Bangunan 30 Lantai Arah Y.....	175
Gambar 5.52 Grafik Hasil <i>Drift</i> Tiap Tingkat Pada Bangunan 40 Lantai Arah X.....	176
Gambar 5.53 Grafik Analisa <i>Drift</i> Tiap Tingkat Pada Bangunan 40 Lantai Arah X.....	177
Gambar 5.54 Grafik Hasil <i>Drift</i> Tiap Tingkat Pada Bangunan 40 Lantai Arah Y.....	178
Gambar 5.55 Grafik Analisa <i>Drift</i> Tiap Tingkat Pada Bangunan 40 Lantai Arah Y.....	179
Gambar 5.56 Grafik Hasil <i>Drift</i> Tiap Tingkat Pada Bangunan 50 Lantai Arah X.....	180

Gambar 5.57 Grafik Analisa <i>Drift</i> Tiap Tingkat Pada Bangunan 50 Lantai Arah X.....	181
Gambar 5.58 Grafik Hasil <i>Drift</i> Tiap Tingkat Pada Bangunan 50 Lantai Arah Y .....	182
Gambar 5.59 Grafik Analisa <i>Drift</i> Tiap Tingkat Pada Bangunan 50 Lantai Arah Y.....	183
Gambar 5.60 Grafik Hasil <i>Drift</i> Tiap Tingkat Pada Bangunan 60 Lantai Arah X.....	184
Gambar 5.61 Grafik Analisa <i>Drift</i> Tiap Tingkat Pada Bangunan 60 Lantai Arah X.....	185
Gambar 5.62 Grafik Hasil <i>Drift</i> Tiap Tingkat Pada Bangunan 60 Lantai Arah Y .....	186
Gambar 5.63 Grafik Analisa <i>Drift</i> Tiap Tingkat Pada Bangunan 60 Lantai Arah Y .....	187
Gambar 6.1 Penampang Kolom Komposit CFT dengan Profil HSS $900 \times 900 \times 12 \times 12$ .....	205
Gambar 6.1 Penampang Kolom Komposit CFT dengan Profil HSS $1000 \times 1000 \times 19 \times 19$ .....	211

*“Halaman ini sengaja dikosongkan.”*

## DAFTAR TABEL

Tabel 2.1	Rasio Tebal Terhadap Lebar: Elemen Tekan Komponen Struktur yang Menahan Tekan Aksial .....	14
Tabel 2.2	Rasio Tebal Terhadap Lebar: Elemen Tekan Komponen Struktur yang Menahan Tekan Lentur .....	16
Tabel 3.1	Beban Hidup Terdistribusi Merata Minimum dan Beban Hidup Terpusat Minimum .....	29
Tabel 3.2	Faktor Arah Angin (Kd) .....	30
Tabel 3.3	Koefisien untuk batas atas pada perioda yang dihitung.....	32
Tabel 3.4	Nilai Parameter Perioda Pendekatan Ct dan x.....	32
Tabel 3.5	Simpangan Antar Lantai Ijin .....	33
Tabel 3.6	Jarak Tepi Minimum Dari Pusat Lubang Standar ke Tepi dari Bagian Yang Disambung ....	41
Tabel 5.1	Profil Baja Yang Digunakan .....	99
Tabel 5.2	Berat Bangunan Pada Sitem SRPMK .....	107
Tabel 5.3	Berat Bangunan pada Sistem SRBK .....	109
Tabel 5.4	Berat Bangunan pada Sistem SRBK menggunakan <i>Outrigger</i> .....	111
Tabel 5.5	Berat total bangunan (1D+1L) SRPMK 20 Lantai	114
Tabel 5.6	Berat total bangunan (1D+1L) SPRMK 30 Lantai	114
Tabel 5.7	Berat total bangunan (1D+1L) SRPMK 40 Lantai	115
Tabel 5.8	Berat total bangunan (1D+1L) SRPMK 50 Lantai	116
Tabel 5.9	Berat total bangunan (1D+1L) SRPMK 60 Lantai	117
Tabel 5.10	Berat total bangunan (1D+1L) SRBKK 20 Lantai	118
Tabel 5.11	Berat total bangunan (1D+1L) SRBKK 30 Lantai	119
Tabel 5.12	Berat total bangunan (1D+1L) SRBKK 40 Lantai	120
Tabel 5.13	Berat total bangunan (1D+1L) SRBKK 50 Lantai	121
Tabel 5.14	Berat total bangunan (1D+1L) SRBKK 60 Lantai	122
Tabel 5.15	Berat total bangunan (1D+1L) SRBKK+ Outrigger 20 Lantai .....	123
Tabel 5.16	Berat total bangunan (1D+1L) SRBKK+	

Outrigger 30 Lantai .....	124
Tabel 5.17 Berat total bangunan (1D+1L) SRBKK+ Outrigger 40 Lantai .....	125
Tabel 5.18 Berat total bangunan (1D+1L) SRBKK+ Outrigger 50 Lantai .....	126
Tabel 5.19 Berat total bangunan (1D+1L) SRBKK+ Outrigger 60 Lantai .....	127
Tabel 5.20 Perhitungan Nilai $\bar{N}$ .....	135
Tabel 5.21 Nilai Periode Fundamental (T) dan Percepatan Respon Spektra (Sa) .....	138
Tabel 5.22 Periode Getar SRBKK dan SRBKK+Outrigger ....	140
Tabel 5.23 Gaya Geser Dasar Akibat Beban Gempa SRPMKK 20 Lantai .....	144
Tabel 5.24 Gaya Geser Dasar Akibat Beban Gempa SRPMKK 30 Lantai .....	145
Tabel 5.25 Gaya Geser Dasar Akibat Beban Gempa SRPMKK 40 Lantai .....	146
Tabel 5.26 Gaya Geser Dasar Akibat Beban Gempa SRPMKK 50 Lantai .....	146
Tabel 5.27 Gaya Geser Dasar Akibat Beban Gempa SRPMKK 60 Lantai .....	147
Tabel 5.28 Gaya Geser Dasar Akibat Beban Gempa SRBKK 20 Lantai.....	148
Tabel 5.29 Gaya Geser Dasar Akibat Beban Gempa SRBKK 30 Lantai.....	149
Tabel 5.30 Gaya Geser Dasar Akibat Beban Gempa SRBKK 40 Lantai.....	149
Tabel 5.31 Gaya Geser Dasar Akibat Beban Gempa SRBKK 50 Lantai.....	150
Tabel 5.32 Gaya Geser Dasar Akibat Beban Gempa SRBKK 60 Lantai.....	151
Tabel 5.33 Gaya Geser Dasar Akibat Beban Gempa SRBKK+ Outrigger 20 Lantai.....	151
Tabel 5.34 Gaya Geser Dasar Akibat Beban Gempa SRBKK+ Outrigger 30 Lantai.....	152

Tabel 5.35 Gaya Geser Dasar Akibat Beban Gempa SRBKK+ Outrigger 40 Lantai.....	153
Tabel 5.36 Gaya Geser Dasar Akibat Beban Gempa SRBKK+ Outrigger 50 Lantai.....	154
Tabel 5.37 Gaya Geser Dasar Akibat Beban Gempa SRBKK+ Outrigger 60 Lantai.....	154

*“Halaman ini sengaja dikosongkan.”*

## **BAB I**

### **PENDAHULUAN**

#### **1.1 Latar Belakang**

Pembangunan infrastruktur di Indonesia harus didesain sebagai bangunan tahan gempa karena posisi wilayahnya yang rawan terhadap gempa. Apabila terjadi suatu gempa, maka struktur di atasnya akan mengalami pergerakan secara vertikal maupun secara lateral. Menurut Mc. Cormak (2002), hal yang perlu diperhatikan adalah kekuatan bangunan yang memadai untuk memberikan kenyamanan bagi penghuninya terutama lantai atas. Semakin tinggi bangunan, defleksi lateral yang terjadi juga semakin besar pada lantai atas. Pergerakan lateral akan memberikan beban lateral kepada struktur yang dapat menyebabkan struktur runtuh. Oleh karena itu untuk mencegah terjadinya kegagalan struktur maka perlu adanya perencanaan bangunan struktur yang dapat memperhitungkan dampak dari gaya lateral yang bersifat siklik (bolak-balik) yang dialami oleh struktur selama terjadinya gempa bumi.

Bangunan yang dikatakan tahan gempa adalah bangunan yang merespon gempa dengan sifat daktilitas yang mampu bertahan dari keruntuhan dan fleksibilitas yang cukup dalam meredam getaran gempa (Hoedajanto,2005). Faktor kekakuan dan stabilitas struktur menjadi paling dominan dalam desain bangunan tinggi. Apabila kekakuan struktur berkurang, maka simpangan yang terjadi akan membesar begitu juga sebaliknya.

Dalam suatu struktur bangunan ada beberapa macam struktur rangka yang digunakan, dan dalam struktur-struktur bangunan yang ada, masih sedikit bangunan gedung yang didesain menggunakan struktur rangka baja, sedangkan struktur rangka baja sendiri kini sudah berkembang dengan pesat. Pada struktur rangka baja terdapat beberapa sistem yang

dapat digunakan. Sistem rangka bresing konsentrik menggunakan *outrigger* merupakan sistem yang masih sedikit aplikasinya dibandingkan sistem konvensional. *Outrigger* adalah sebuah komponen struktur yang berfungsi mengikat dinding geser dengan kolom eksterior, penggunaan sistem ini pada struktur tahan gempa mampu meningkatkan kekakuan struktur sehingga mampu memperkecil nilai simpangan horizontal struktur gedung itu sendiri (Taranath,1997). Sistem rangka bresing konsentrik menggunakan *outrigger* dapat meminimalkan risiko kerusakan struktural dan non-struktural. Untuk bangunan bertingkat tinggi, khususnya di zona seismik aktif atau angin beban dominan, sistem ini dapat dipilih sebagai struktur yang tepat (Kian,2002).

Sebelumnya telah dilakukan penelitian oleh Gazali (2013) tentang Sistem Rangka Pemikul Momen (*Momen Resisting Frame*), Sistem Rangka Bresing Konsentrik (*Concentrically Braced Frame*) dan Sistem Rangka Bresing Konsentrik menggunakan *outrigger* terhadap variasi ketinggian gedung menggunakan analisa dua dimensi. Diperoleh hasil bahwa Sistem rangka Bresing Konsentrik menggunakan *outrigger* mampu menahan gaya-gaya yang terjadi dibandingkan dengan kedua sistem yang lain meski dimensi profil yang digunakan lebih kecil.

Pada studi ini akan membahas beberapa sistem yang digunakan pada pembangunan sebuah gedung yakni Sistem Rangka Pemikul Momen (*Momen Resisting Frame*), Sistem Rangka Bresing Konsentrik (*Concentrically Braced Frame*) dan Sistem Rangka Bresing Konsentrik menggunakan *outrigger* terhadap variasi ketinggian gedung 20,30,40, 50, dan 60 lantai menggunakan analisa tiga dimensi.

## 1.2 Perumusan Masalah

Permasalahan yang akan dibahas dalam studi ini yaitu :

- a. Bagaimana *preliminary design* struktur tersebut?
- b. Bagaimana beban-beban yang terjadi pada struktur tersebut?

- c. Bagaimana pemodelan dan analisa struktur menggunakan program bantu SAP 2000?
- d. Bagaimana kontrol desain struktur tersebut?
- e. Bagaimana hasil berat struktur, *drift*, gaya geser dasar dan perpindahan (*displacement*) dari perbandingan ketiga sistem tersebut?

### 1.3 Tujuan Perencanaan

Tujuan dari studi ini adalah sebagai berikut :

- a. Menyusun *preliminary design* struktur tersebut.
- b. Menghitung beban-beban yang terjadi.
- c. Menganalisa struktur menggunakan program bantu SAP 2000.
- d. Mengontrol desain struktur dari hasil analisa.
- e. Membandingkan ketiga sistem berdasarkan berat, *drift* (simpangan), gaya geser dasar, dan perpindahan.

### 1.4 Batasan Masalah

Untuk mencapai tujuan pembahasan, maka perlu adanya penentuan pokok bahasan masalah, identifikasi permasalahan akan diperjelas dengan batasan – batasan sebagai berikut :

- a. Perencanaan atau desain elemen struktur dengan menggunakan standar nasional Indonesia (SNI) 1729-2015.
- b. Pembebatan menggunakan SNI 1727-2013.
- c. Jumlah lantai pada bangunan yang akan dibahas yakni 20,30,40, 50 dan 60 lantai.
- d. Struktur bangunan berada di zona rawan gempa
- e. Tidak memperhitungkan pondasi.
- f. Tidak membahas metode pelaksanaan, bahan, dan biaya.

### 1.5 Manfaat

Adapun manfaat dari penulisan studi ini adalah sebagai berikut :

- a. Sebagai bahan masukan dan pertimbangan di dunia teknik sipil dalam penggunaan *outtrigger* pada struktur bangunan baja yang mengalami beban gempa.

- b. Sebagai bahan pertimbangan untuk penelitian selanjutnya mengenai penggunaan *outrigger*.

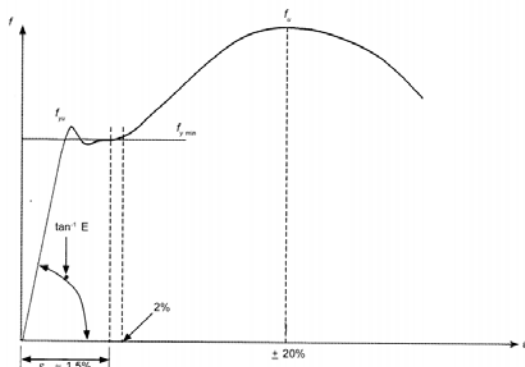
## BAB II

### TINJAUAN PUSTAKA

#### 2.1 Ketentuan Umum

Salah satu tahapan penting dalam perencanaan suatu struktur bangunan adalah pemilihan jenis material yang akan digunakan. Jenis-jenis material yang selama ini dikenal dalam dunia konstruksi antara lain adalah baja, beton bertulang, serta kayu. Material baja sebagai bahan konstruksi telah digunakan sejak lama mengingat beberapa keunggulannya dibandingkan material yang lain. (Setiawan,2008).

Menurut Amon,dkk. (2000), sifat-sifat dari baja, baik sebagai bahan bengunan maupun dalam bentuk struktur terkendali dengan baik sekali, sehingga dapat diharapkan elemen-elemen dari konstruksi bisa belakar sesuai dengan yang direncanakan. Adanya sifat daktilitas membuat struktur baja mampu mencegah terjadinya proses robohnya bangunan seara tiba-tiba. Sifat ini sangat menguntungkan ditinjau dari sudut keamanan penghuni bangunan bila terjadi suatu goncangan yang tiba-tiba seperti misalnya pada peristiwa gempa bumi.



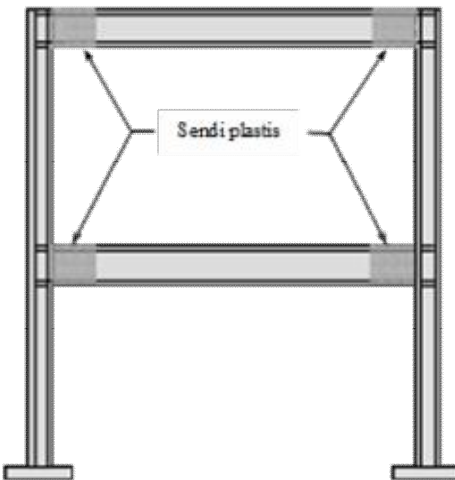
**Gambar 2.1** Kurva Hubungan Tegangan ( $f$ ) dan Regangan ( $\epsilon$ )  
Sumber : Setiawan (2008)

Menurut Sampakang, dkk (2013) dalam merencanakan bangunan tahan gempa terdapat tiga filosofi dasar yang harus dipenuhi struktur gedung. Pertama, struktur gedung mampu menahan gaya gempa kecil tanpa mengalami kerusakan nonstruktural sama sekali. Kedua, saat terjadi gempa bumi sedang (*moderate earthquakes*) kerusakan nonstruktural masih dapat diperbolehkan, akan tetapi elemen struktur utama gedung harus mampu menahan gaya gempa dan struktur masih berperilaku elastis. Ketiga, struktur gedung harus mampu menahan gempa besar tanpa mengakibatkan kerusakan besar pada elemen utama strukturnya dan juga dapat memberikan rasa aman bagi penghuni yang berada di dalam gedung tersebut.

## 2.2 Sistem Rangka Pemikul Momen Khusus (SRPMK)

Sistem rangka pemikul momen khusus yaitu system rangka ruang dalam mana komponen-komponen struktur dan joint-jointnya menahan gaya yang bekerja melalui aksi lentur, geser dan aksial, system ini pada dasarnya memiliki daktilitas penuh dan wajib digunakan di zona resiko gempa tinggi yaitu di zona 5 hingga zona 6. Struktur harus direncanakan menggunakan system penahan beban lateral yang memenuhi persyaratan *detailing* yang khusus dan mempunyai daktilitas penuh. (Oentoeng,2000)

Semua struktur akibat beban gempa akan melentur ke samping ( $\Delta$ ), begitu juga akibat beban gempa.  $\Delta$  ini akan menimbulkan momen sekunder (diesbut pengaruh  $P - \Delta$ ) oleh beban gravitasi yang titik tangkapnya menyimpang ke samping dan dengan demikian terjadi beban momen tambahan pada komponen-komponen kolom. (Purwono,2005)



**Gambar 2.2.** Sistem struktur rangka pemikul momen.

Sumber : AISC, 2005

### 2.2.1 Sambungan Balok ke Kolom

Rangka dianggap kaku ketika koneksi antara balok ke kolom mempunyai kekakuan yang cukup untuk menahan gaya dan hampir tidak berubah sudut asli antara sambungan tersebut. Sambungan yang sebenarnya harus dibuat menggunakan bahan, konfigurasi, proses dan kendali kualitas sehingga dapat menjamin keserupaannya dengan model uji sambungan. Balok dengan hasil pengujian tegangan leleh kurang dari 85%  $F_y$  tidak boleh digunakan dalam pengujian kualifikasi. (Taranath.1997)

Sambungan yang sebenarnya harus dibuat menggunakan bahan, konfigurasi, proses, dan kendali kualitas demikian sehingga dapat menjamin keserupaannya dengan model uji sambungan. Balok dengan hasil pengujian tegangan leleh kurang dari 85%  $f_{ye}$  tidak boleh digunakan dalam pengujian kualifikasi.

Pengujian sambungan balok-ke-kolom harus memperlihatkan kuat lentur, yang diukur di muka kolom,

sekurang-kurangnya sama dengan momen plastis nominal balok  $M_p$  pada saat terjadinya rotasi inelastis yang disyaratkan, kecuali bila:

- a) Kuat lentur balok lebih ditentukan oleh tekuk lokal daripada oleh tegangan leleh bahan, atau bila sambungan menghubungkan balok dengan penampang melintang yang direduksi maka kuat lentur minimumnya sama dengan 0,8  $M_p$  dari balok pada pengujian;
- b) Sambungan-sambungan yang memungkinkan terjadinya rotasi dari komponen struktur yang tersambung dapat diijinkan, selama dapat ditunjukkan menggunakan analisis yang rasional bahwa tambahan simpangan antar lantai yang disebabkan oleh deformasi sambungan dapat diakomodasikan oleh struktur bangunan. Analisis rasional yang dilakukan harus memperhitungkan stabilitas sistem rangka secara keseluruhan dengan memperhatikan pengaruh orde kedua.

Gaya geser terfaktor,  $V_u$ , sambungan balok-kekolom harus ditentukan menggunakan kombinasi beban  $1,2D+0,5L$  ditambah dengan gaya geser yang dihasilkan dari bekerjanya momen lentur sebesar 1 pada arah yang berlawanan pada masing-masing,  $1R$  y  $f_y Z$  ujung balok. Sebagai alternatif, nilai  $V_u$  yang lebih kecil dapat digunakan selama dapat dibuktikan menggunakan analisis yang rasional. Gaya geser terfaktor tidak perlu lebih besar daripada gaya geser yang dihasilkan oleh kombinasi pembebanan.

### **2.2.2 Perbandingan Momen Kolom Terhadap Momen Balok**

Hubungan berikut ini harus dipenuhi pada sambungan balok ke kolom:

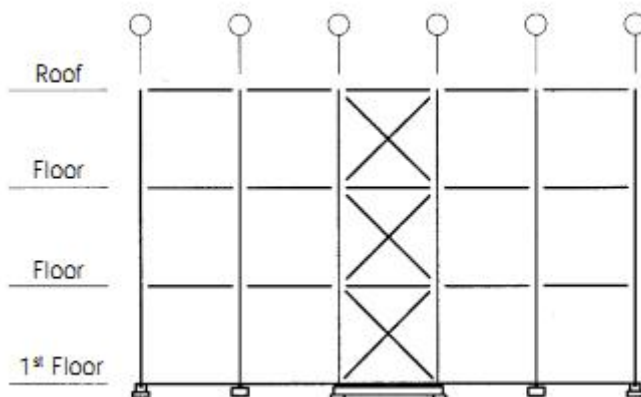
$$\frac{\sum M_{pc}^*}{\sum M_{pb}^*} > 1 \quad (2-1)$$

$\sum M *pc$  adalah jumlah momen-momen kolom di bawah dan di atas sambungan pada pertemuan antara as kolom dan as balok.

$\sum M *pb$  adalah jumlah momen-momen balok-balok pada pertemuan as balok dan as kolom.

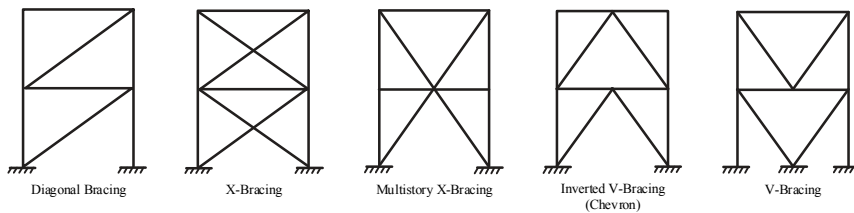
### 2.3 Sistem Rangka Bresing Konsentrik (Concentrically Braced Frames)

Sistem Rangka Bresing Konsentrik merupakan pengembangan dari sistem portal tak berpengaku atau lebih dikenal dengan Sistem Rangka Pemikul Momen. Sistem Rangka Bresing Konsentrik dikembangkan sebagai sistem penahan gaya lateral dan memiliki tingkat kekakuan yang cukup baik. Hal ini bertolak belakang dengan sistem sistem rangka pemikul momen yang hanya bisa digunakan sebagai penahan momen. Kekakuan sistem ini terjadi akibat adanya elemen pengaku yang berfungsi sebagai penahan gaya lateral yang terjadi pada struktur. Sistem ini penyerapan energinya dilakukan melalui peleahan yang dirancang terjadi pada pelat buhul. (Pudjisuryadi,dkk.2006).



**Gambar 2.3** Bresing bentuk Cross  
Sumber : Johnson (2002)

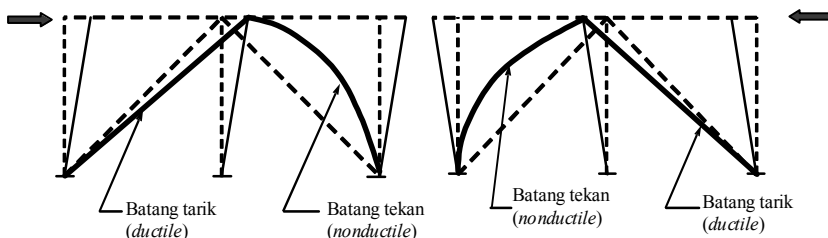
Sistem Rangka Bresing Konsentrik adalah sistem struktur yang dapat menahan beban lateral melalui sistem truss konsentris vertikal, sumbu dari anggota menyelaraskan konsentris pada sendi. Rangka bresing konsentrik cenderung efisien dalam menahan gaya lateral karena dapat memberikan kekuatan dan kekakuan yang tinggi. Karakteristik ini juga dapat menghasilkan respon seismik yang kurang menguntungkan, seperti kapasitas drift rendah dan percepatan tinggi. Rangka bresing konsentrik adalah baja struktural umum atau sistem komposit di daerah kegempaan apapun. Sistem rangka bresing konsentrik khusus adalah kelas khusus dari sistem rangka bresing konsentrik yang proporsional dan rinci untuk memaksimalkan kapasitas drift inelastis. Jenis sistem CBF didefinisikan hanya untuk baja struktural dan komposit struktur. (Sabelli,2013)



**Gambar 2.4.** Konfigurasi sistem rangka bresing konsentrik.

*Sumber : Sabelli (2013)*

Pada sistem CBF salah satu batangnya akan berperilaku sebagai batang tekan dan batang tarik tergantung dari pengaruh beban lateral akibat gempa. Sehingga perlu direncanakan dengan baik agar rangka tidak mengalami tekuk saat terjadi beban gempa siklik (bolak-balik). (Poerbo,2000)



**Gambar 2.5.** Gaya yang bekerja pada batang diagonal sistem CBF.

Sumber : AISC, 2005

Perilaku daktail sangat diharapkan ketika struktur digunakan untuk menyerap energi seperti ketika mengalami gerakan tanah yang kuat. Kapasitas baja tanpa fraktur dikombinasikan dengan kekuatan tinggi membuat bahan yang ideal untuk digunakan dalam sistem bresing konsentrik. (Taranath.1997)

### 2.3.1 Batang Bresing

1. Kelangsungan batang bresing harus memenuhi syarat kelangsungan yaitu

$$\frac{k_c L}{r} \leq \frac{2.625}{\sqrt{f_y}}. \quad (2-2)$$

2. Beban aksial terfaktor pada batang bresing tidak boleh melebihi  $\varphi c N_n$ .
3. Distribusi Beban Lateral: Pada bidang bresing, batang-batang bresing harus dipasang dengan arah selang-seling, sedemikian rupa sehingga pada masing-masing arah gaya lateral yang sejajar dengan bidang bresing, minimal 30% tapi tidak lebih dari 70% gaya horizontal total harus dipikul oleh batang bresing tarik, kecuali jika kuat nominal tekan  $N_n$  untuk setiap bresing lebih besar daripada beban terfaktor  $N_u$ . Bidang bresing

adalah suatu bidang yang mengandung batang-batang bresing atau bidang-bidang paralel yang mengandung batang-batang bresing dengan jarak antar bidang-bidang tersebut tidak lebih dari 10% dimensi tapak bangunan tegak lurus bidang tersebut.

### 2.3.2 Sambungan Batang Bresing

#### 1. Kuat Perlu:

Kuat perlu sambungan bresing (termasuk dalam hal ini sambungan-sambungan balok-ke-kolom yang merupakan bagian dari sistem bresing) harus diambil sebagai nilai terkecil dari hal-hal berikut:

- a) Kuat nominal aksial tarik batang bresing yang ditetapkan sebesar  $R_y f_y A_g$  ;
- b) Gaya maksimum, berdasarkan hasil analisis, yang dapat dipindahkan oleh sistem struktur ke batang bresing.

#### 2. Kuat Tarik:

Kuat tarik rencana batang-batang bresing dan sambungannya, berdasarkan kuat batas tarik fraktur pada luas neto penampang efektif dan kuat geser fraktur yang ditetapkan pada Butir 10, minimal sama dengan kuat perlu.

#### 3. Kuat Lentur:

Pada bidang kritis di mana tekuk batang bresing akan terjadi maka kuat lentur rencana sambungan harus  $\geq 1,1R_y M_p$  (kuat lentur nominal yang diharapkan dari batang bresing terhadap sumbu tekuk kritisnya). Pengecualian: Sambungan-sambungan batang bresing yang memenuhi persyaratan yang dapat mengakomodasi rotasi inelastis sehubungan dengan deformasi bresing pasca tekuk, dan yang mempunyai kuat rencana minimal sama dengan  $A_g f_{cr}$  (kuat tekan nominal batang bresing), dapat digunakan.

### **2.3.3 Kolom**

Kolom pada SRBKK harus memenuhi persyaratan sebagai berikut:

1. Perbandingan Lebar terhadap Tebal: Perbandingan lebar terhadap tebal penampang kolom dalam tekan yang diberi pengaku ataupun yang tidak diberi pengaku, harus memenuhi persyaratan untuk batang bresing.
2. Penyambungan: Selain harus memenuhi persyaratan-persyaratan, penyambungan kolom pada SRBKK juga harus direncanakan untuk mampu memikul minimal kuat geser nominal dari kolom terkecil yang disambung dan 50% kuat lentur nominal penampang terkecil yang disambung. Penyambungan harus ditempatkan di daerah 1/3 tinggi bersih kolom yang di tengah.

**Tabel 2.1 Rasio Tebal Terhadap Lebar: Elemen Tekan Komponen Struktur yang Menahan Tekan Aksial**

	Kasus	Deskripsi elemen	Rasio tebal-terhadap-lebar	Batasan rasio tebal-terhadap-lebar	Contoh
Elemen tanpa pengaku	1	Sayap dari Profil I canal panas, pelat yang diproyeksikan dari profil I canal panas; kaki berdiri bebas dari sepasang siku disambung dengan kontak menerus, sayap dari kanal, dan sayap dari T	$b/t$	$0,56\sqrt{E/F_y}$	
	2	Sayap dari profil I tersusun dan pelat atau kaki siku yang diproyeksikan dari profil I tersusun	$b/t$	$0,64\sqrt{\frac{k_c E^{[a]}}{F_y}}$	
	3	Kaki dari siku tunggal, kaki dari siku ganda dengan pemisah, dan semua elemen tak-diperkuat lainnya	$b/t$	$0,45\sqrt{\frac{E}{F_y}}$	
	4	stem dari T	$b/t$	$0,75\sqrt{\frac{E}{F_y}}$	

Sumber : SNI 1729-2015

**Lanjutan Tabel 2.1 Rasio Tebal Terhadap Lebar: Elemen Tekan Komponen Struktur yang Menahan Tekan Aksial**

	Kasus	Deskripsi elemen	Rasio tebal-terhadap-lebar	Batasan rasio tebal-terhadap-lebar	Contoh
Elemen yang diperlakukan	5	badan dari profil I simetris ganda dan kanal	$bt$	$1,49 \sqrt{\frac{E}{F_y}}$	
	6	dinding PSB persegi dan boks dari ketebalan merata	$bt$	$1,40 \sqrt{\frac{E}{F_y}}$	
	7	Pelat penutup sayap dan pelat diafragma antara deretan sarana penyambung atau las	$bt$	$1,40 \sqrt{\frac{E}{F_y}}$	
	8	Semua elemen diperlakukan lainnya	$bt$	$1,49 \sqrt{\frac{E}{F_y}}$	
	9	PSB bulat	$Dt$	$0,11 \frac{E}{F_y}$	

*Sumber : SNI 1729-2015*

**Tabel 2.2 Rasio Tebal Terhadap Lebar: Elemen Tekan Komponen Struktur yang Menahan Tekan Lentur**

	Kasus	Deskripsi elemen	Rasio Ketebalan-terhadap-Lebar	Batasan Rasio Tebal-Lebar		Contoh
				$\lambda_p$ (kompak)	$\lambda_r$ (nonkompak)	
Elemen tanpa pengaku	10	Sayap dari profil I canai panas, kanal, dan T	$b/t$	$0,38 \sqrt{\frac{E}{F_y}}$	$1,0 \sqrt{\frac{E}{F_y}}$	  
	11	sayap dari profil tersusun bentuk I simetris ganda dan tunggal	$b/t$	$0,38 \sqrt{\frac{E}{F_y}}$	$0,95 \sqrt{\frac{k_c E}{F_z}}$	 
	12	kaki dari siku tunggal	$b/t$	$0,54 \sqrt{\frac{E}{F_y}}$	$0,91 \sqrt{\frac{E}{F_y}}$	 
	13	sayap dari semua profil I dan kanal dalam lentur pada sumbu lemah	$b/t$	$0,38 \sqrt{\frac{E}{F_y}}$	$1,0 \sqrt{\frac{E}{F_y}}$	 
	14	Badan dari T	$d/t$	$0,84 \sqrt{\frac{E}{F_y}}$	$1,03 \sqrt{\frac{E}{F_y}}$	

Sumber : SNI 1729-2015

**Lanjutan Tabel 2.2 Rasio Tebal Terhadap Lebar: Elemen Tekan Komponen Struktur yang Menahan Tekan Lentur**

Elemen yang diperlukan	Kasus	Deskripsi elemen	Rasio Ketebalan-terhadap-Lebar	Batasan Rasio Tebal-Lebar		Contoh
				$\lambda_p$ (kompak)	$\lambda_r$ (nonkompak)	
	15	Badan dari profil I simetris ganda dan kanal	$h/t_w$	$3,76 \sqrt{\frac{E}{F_y}}$	$5,70 \sqrt{\frac{E}{F_y}}$	
	16	Badan dari profil I simetris tunggal	$h_c/t_w$	$\frac{h_c}{h_p} \sqrt{\frac{E}{F_y}}$ $(0,54 \frac{M_p}{M_r} + 0,0)$	$5,70 \sqrt{\frac{E}{F_y}}$	
	17	Sayap dari PSB persegi dan boks ketebalan merata	$b/t$	$1,12 \sqrt{\frac{E}{F_y}}$	$1,40 \sqrt{\frac{E}{F_y}}$	
	18	Pelat penutup sayap dan pelat diaphragma antara deretan sarana penyambungan atau las	$b/t$	$1,12 \sqrt{\frac{E}{F_y}}$	$1,40 \sqrt{\frac{E}{F_y}}$	
	19	Badan dari PSB persegi dan boks	$h/t$	$2,42 \sqrt{\frac{E}{F_y}}$	$5,70 \sqrt{\frac{E}{F_y}}$	
	20	PSB bulat	$D/t$	$0,07 \frac{E}{F_y}$	$0,31 \frac{E}{F_y}$	

<sup>14</sup>  $k_x = \frac{4}{\sqrt{h/t_w}}$ , tetapi tidak boleh diambil kurang dari 0,35 maupun lebih besar dari 0,75 untuk tujuan perhitungan.

<sup>15</sup>  $F_z = 0,7 F_y$  untuk lentur sumbu major dari badan kompak dan nonkompak komponen struktur profil I tersusun  $S_x/S_m \geq 0,7$ ;  $F_z = F_y S_d / S_m \geq 0,5 F_y$  untuk lentur sumbu major dari badan kompak dan nonkompak komponen struktur profil I tersusun dengan  $S_d / S_m < 0,7$ .

<sup>16</sup>  $M_p$  = momen pada leleh serat terluar.  $M_r$  = momen lentur plastis, kip-in. (N-mm)

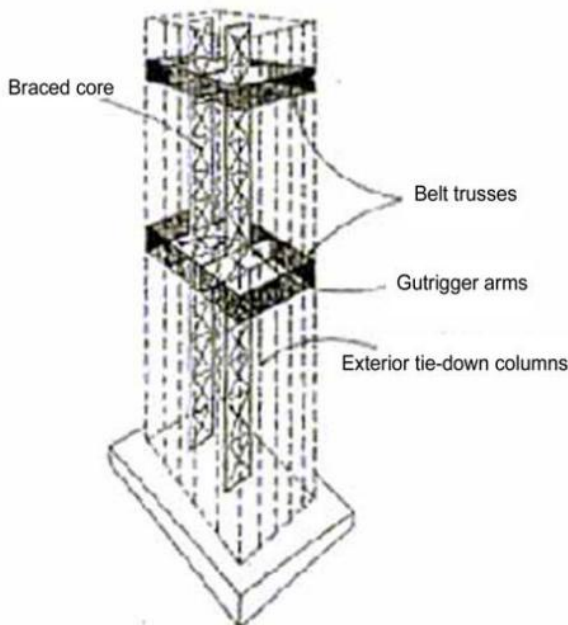
$E$  = modulus elastis baja = 29 000 ksi (200 000 MPa)

$F_y$  = tegangan leleh minimum yang disyaratkan, ksi (MPa)

*Sumber : SNI 1729-2015*

## 2.4 Sistem Rangka Bresing Konsentrik menggunakan outrigger

Sistem ini sama seperti sistem rangka bresing konsentrik namun ditambahkan outrigger dan beltruss. Dimana fungsi outrigger yakni mereduksi simpangan lateral dan menahan momen guling. Beltruss yang disebut juga sebagai sistem virtual outrigger menjadi solusi mengatasi kelemahan yang dimiliki outrigger. Beltrus adalah struktur rangka batang yang ditempatkan pada kolom-kolom eksterior dan mengelilingi gedung bagian luar. (Taranath,1997).



**Gambar 2.6** Sistem Belt Truss

*Sumber : Taranath (1997)*

Sistem rangka bresing konsentrik menggunakan *outrigger* dapat meminimalkan risiko kerusakan struktural

dan non-struktural. Untuk bangunan bertingkat tinggi, khususnya di zona seismik aktif atau angin beban dominan, sistem ini dapat dipilih sebagai struktur yang tepat. Ada beberapa faktor yang mempengaruhi efektivitas sistem outrigger. Faktor-faktor tersebut adalah kekakuan, lokasi outrigger, sistem belt truss, geometri, dan tinggi dari lantai ke lantai bangunan. Salah satu kelemahan menggunakan sistem ini pengurangan ruang yang dapat digunakan karena outrigger dipasang pada saat itu tingkat. Namun, masalah ini dapat diselesaikan dengan menggunakan outrigger diagonal lebih dari dua. (Kian,2001)

Taranath (1997) menunjukkan bahwa lokasi optimum untuk outrigger tunggal adalah di ketinggian tengah bangunan untuk meminimalkan gaya lateral atap akibat beban angin.

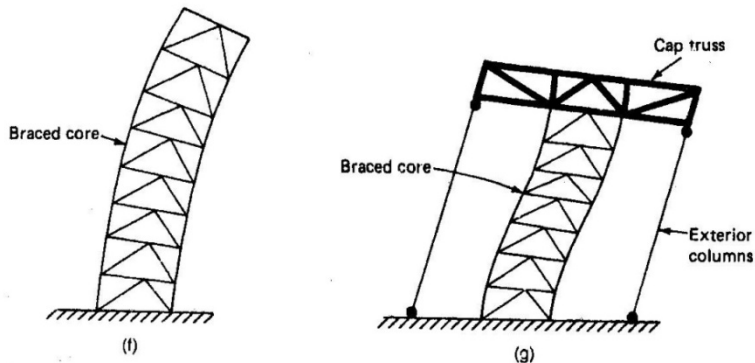


Figure 4.29 (Continued).

**Gambar 2.7 Braced Core, Kolom Eksterior, dan Cap Trus**  
Sumber : Kian (2001)

Betruss ditempatkan pada kolom-kolom eksterior dan mengelilingi gedung bagian luar maka diasumsikan kaku. Kolom eksterior mengalami tekan aksial dan tegangan sama besarnya dengan hasil dari rotasi inti, maka jarak outrigger dari pusat inti  $d/2$ , deformasi aksial dari kolom sama dengan  $\theta \times d/2$  dimana  $\theta$  adalah rotasi inti dianggap  $\theta=1$ . Deformasi

aksial sama dengan  $d/2$  dimana  $P$  adalah beban aksial dalam kolom yang sesuai dengan deformasi ini diberikan. Maka dapat dituliskan :

$$P = \frac{AEd}{2L} \quad (2-3)$$

Dimana  $P$  = beban aksial dalam kolom

$A$  = luas penampang kolom

$E$  = Modulus Elastisitas

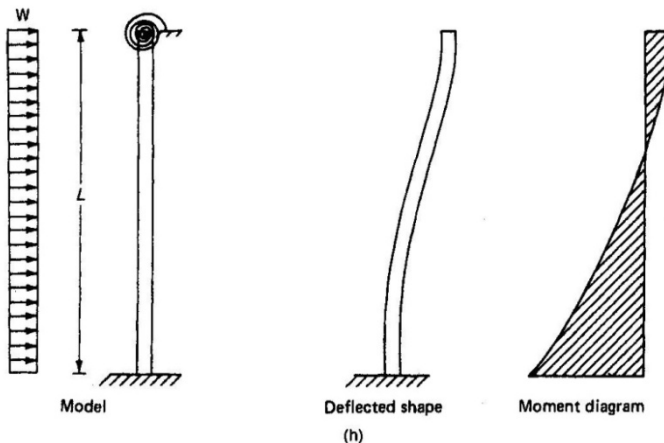
$d$  = kolom terluar

$L$  = tinggi bangunan

Rangkaian ini juga memulihkan kekakuan rotasi rangka yang diberikan oleh bangunan dari beban aksial dalam kolom dan jarak dari pusat inti.  $K$  digunakan sebagai notasi kekakuan, sehingga dapat dituliskan :

$$\begin{aligned} K &= \sum Pidi \\ &= P \times \frac{d}{2} \times 2 \\ &= Pd \end{aligned} \quad (2-4)$$

Kasus 1. Outrigger berada di atas,  $x=0$  ;  $z=L$



**Gambar 2.8** Outrigger Posisi di Atas

Rotasi dapat terjadi pada kondisi  $Z = L$ , dapat ditulis  $\theta_w - \theta_s = \theta L$

Dimana  $\theta_w$  = rotasi kantilever saat  $Z = L$

$\theta_s$  = perputaran oleh pengekang spring/pegas yang berlokasi di  $Z=L$  (radian) tanda negatif menunjukkan arah perputaran sebaliknya.

$\theta L$  = putaran akhir pada kantilever pada saat  $Z = L$  (radian)

Untuk kantilever yang momennya seragam atau sama dengan inersia ( $I$ ) dan modulus elastisitas ( $E$ ), maka :

$$\theta_w = \frac{WL^3}{6EI} \quad (2-5)$$

Jika  $M_1$  dan  $K_1$  mewakili momen dan kekakuan dari spring berlokasi di  $Z = L$ , maka :

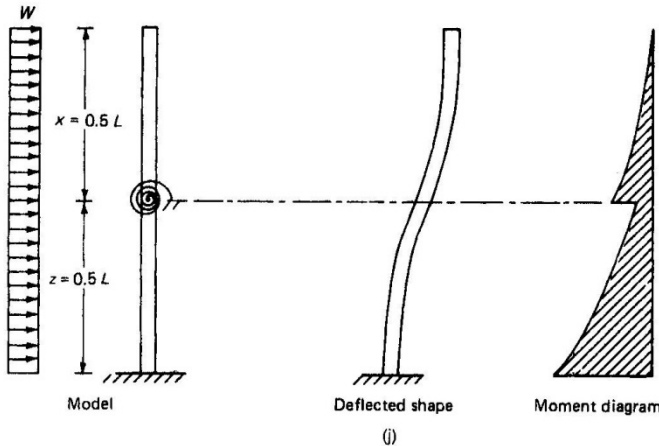
$$\frac{WL^3}{6EI} - \frac{M_1 L}{EI} = \frac{M_1}{K_1} \quad (2-6)$$

$$\text{Dan } M1 = \frac{WL^3}{\frac{1}{K1} + \frac{L}{EI}} \quad (2-7)$$

W defleksi mewakili momen yang tereduksi oleh spring dimana :

$$\begin{aligned} \Delta l &= \Delta \text{load} - \Delta \text{spring} \\ &= \frac{WL^4}{8EI} - \frac{M1L^2}{2EI} \\ &= \frac{L^2}{2EI} \left( \frac{WL^2}{4} - M1 \right) \end{aligned} \quad (2-8)$$

Kasus 2. Outrigger berada di tengah bentang,  $z=L/2$



**Gambar 2.9** Outrigger Posisi di Tengah

Putaran pada saat  $z = L/2$  beban eksternal W, dapat ditunjukkan pada persamaan  $7WL^3/48EI$ , memberikan perputaran dengan persamaan

$$\frac{7WL^3}{48EI} - \frac{M3L}{2EI} = \frac{M3}{K3} \quad (2-9)$$

Dimana  $M3$  dan  $K3$  memiliki momen dan kekuatan dari spring pada  $Z = L/2$  dengan catatan  $K3=2K1$ , persyaratan untuk  $M3$  bekerja sebagai berikut :

$$M_3 = \left( \frac{\frac{WL^3}{6EI}}{\frac{1}{K_1} + \frac{L}{EI}} \right) x \frac{7}{4} \quad (2-10)$$

Tanda dalam kurung memiliki persamaan M1, M3, dapat diwakili pada kondisi M1

$$M_3 = 1,75 M_1 \quad (2-11)$$

Oleh penyimpangan diberikan persamaan:

$$\Delta_3 = \frac{WL^4}{8EI} - \frac{M_3 L}{2EI} \left( L - \frac{3L}{4} \right) \quad (2-12)$$

$$\Delta_3 = \frac{L^2}{2EI} \left( \frac{WL^2}{4} - 1.31 M_1 \right) \quad (2-13)$$

Harga K1 dapat digunakan untuk persamaan kekakuan dari kekakuan spring ketika berlokasi di Z = L dapat digunakan.

Gaya P pada tiap kolom eksterior dapat ditulis

$P = AE \delta/L$  dimana  $\delta$  dapat disamakan dengan eksterior kolom atau tekanan unit putaran pada inti  $\delta = d/2$  ( $d$  adalah jarak antar eksterior kolom).

$$P = \frac{AE}{L} \left( \frac{d}{2} \right) \quad (2-14)$$

Dan kontribusinya terhadap kekakuan K1 diberikan oleh relasi

$$K_i = p i d$$

$$K_i = \frac{A_1 E d^2}{L \cdot 2} \quad (2-15)$$

Total kontribusi dari semua kolom eksterior pada panjang diberikan oleh penjumlahan hubungan

$$K_1 = \sum_{i=1}^n K_i = \frac{d^2 E}{2L} \sum_{i=1}^n A_i \quad (2-16)$$

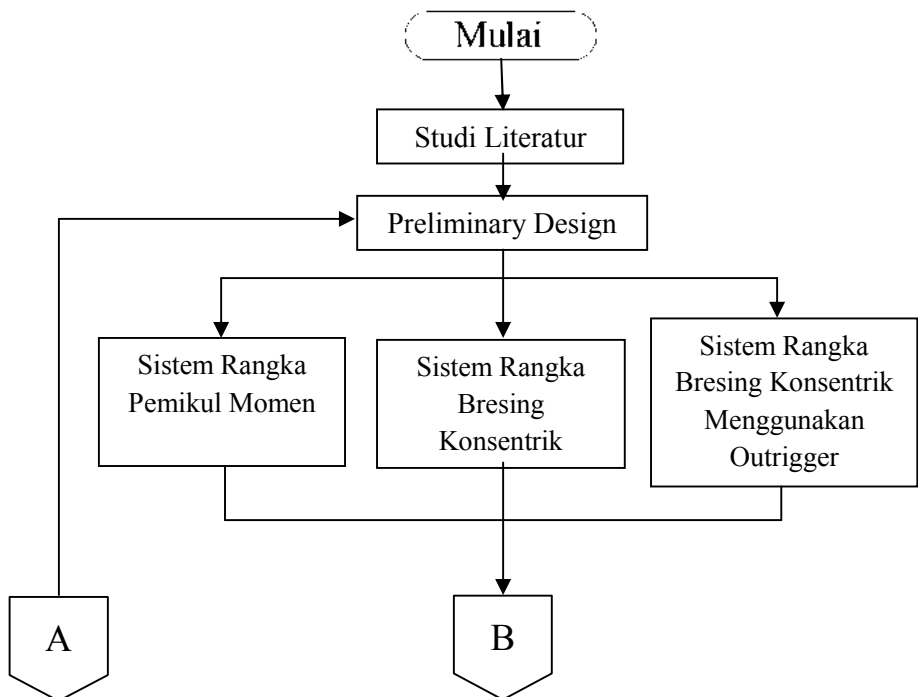
*“Halaman ini sengaja dikosongkan”*

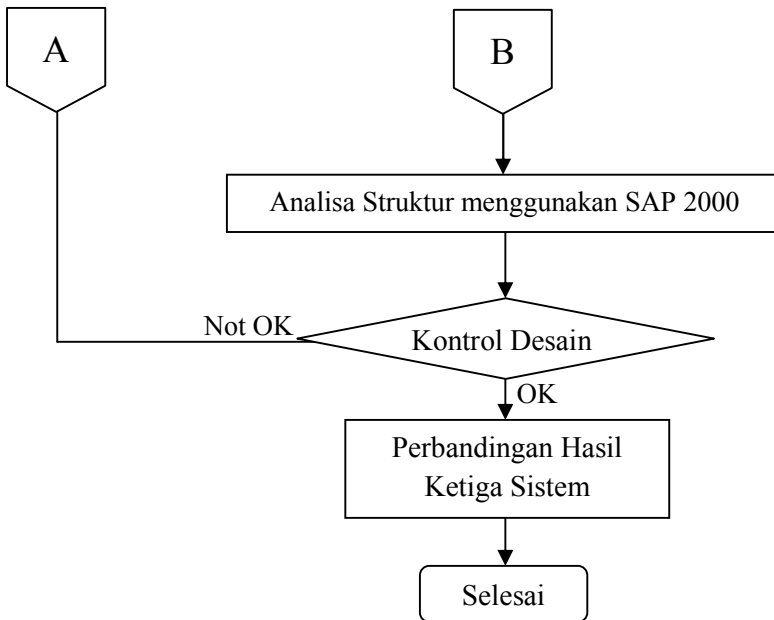
## BAB III METODOLOGI

### 3.1 Umum

Metodologi ini akan menguraikan dan menjelaskan urutan pelaksanaan penyelesaian tugas akhir. Mulai dari literatur, preliminary design, analisa elemen (primer), analisa beban (gravitasi, angin, gempa), dan pedoman perencanaan, sampai dengan kesimpulan dari analisa struktur ini, yaitu untuk mendapatkan perencanaan gedung.

### 3.2 Bagan Alir Penyelesaian Tugas Akhir



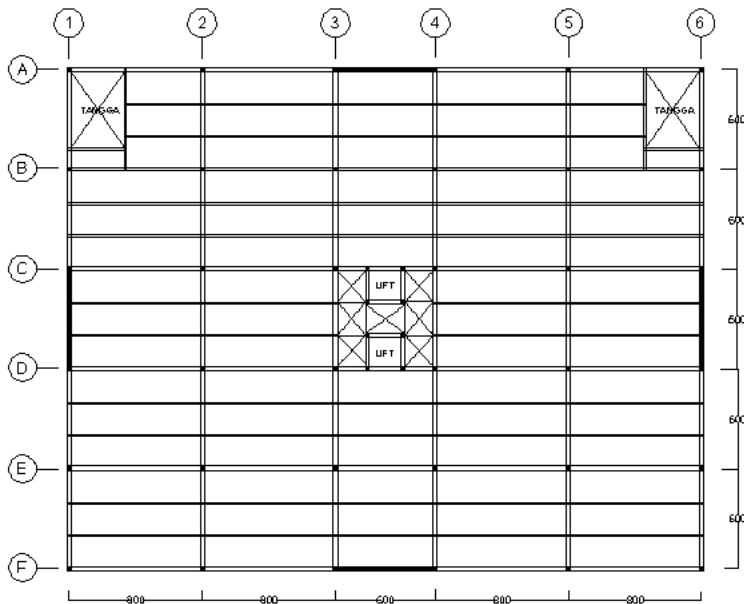


**Gambar 3.1** Bagan Alir Penyelesaian Tugas Akhir

### 3.3 Data Perencanaan

Direncanakan data bangunan meliputi :

Fungsi gedung	= Perkantoran
Lokasi	= Yogyakarta
Jumlah Lantai	= 20,30,40,50,60
Tinggi gedung	= 80 m, 120 m, 160 m, 200 m, 240 m
Struktur utama	= Baja
Sistem yang digunakan	= SRPMK, SRBKK, SRBKK menggunakan Outrigger



**Gambar 3.2 Denah Bangunan**

### 3.4 Studi Literatur

Melakukan studi referensi berupa peraturan, buku pustaka, dan penelitian terdahulu yang berkaitan dengan perencanaan struktur baja.

- 1.J Perencanaan atau desain elemen struktur dengan menggunakan standar nasional Indonesia (SNI) 1729-2015.
- 2.J Pembebatan menggunakan SNI 1727-2012.

### 3.5 Desain Awal Bangunan

Desain bangunan menggunakan tiga sistem yaitu Sistem Rangka Pemikul Momen Khusus, Sistem Rangka Bresing Konsentrik Khusus, dan Sistem Rangka Bresing Konsentrik Khusus menggunakan Outrigger.

Profil Kolom : Profil CFT

Profil Balok	:	Profil WF
Mutu baja	:	BJ 41
Fy	:	250 MPa
Fu	:	410 Mpa

### 3.6 Pembebaan

Perencanaan pembebaan pada struktur ini berdasarkan SNI 1726-2012. Pembebaan tersebut antara lain :

a.J Beban mati

Beban mati adalah berat seluruh bahan konstruksi bangunan gedung yang terpasang, termasuk dinding, lantai, atap, plafon, tangga, dinding partisi tetap, finishing, kladding gedung dan komponen arsitektural dan struktural lainnya serta peralatan layan terpasang lain termasuk berat keran.

b.J Beban Hidup

Beban hidup adalah beban yang diakibatkan oleh pengguna dan penghuni bangunan gedung atau struktur lain yang tidak termasuk beban konstruksi dan beban lingkungan, seperti beban angin, beban hujan, beban gempa, beban banjir, atau beban mati.

**Tabel 3.1 Beban Hidup Terdistribusi Merata Minimum dan Beban Hidup Terpusat Minimum**

Hunian atau penggunaan	Merata psf (kN/m <sup>2</sup> )	Terpusat lb (kN)
Susuran tangga, rel pengamandan batang pegangan	Lihat pasal 4.5	
Helipad	60 (2,87) <sup>d</sup> tidak boleh direduksi	n/a
Rumah sakit:		
Ruang operasi, laboratorium	60 (2,87)	1 000 (4,45)
Ruang pasien	40 (1,92)	1 000 (4,45)
Koridor diatas lantai pertama	80 (3,83)	1 000 (4,45)
Hotel (lihat rumah tinggal)		
Perpustakaan		
Ruang baca	60 (2,87)	1 000 (4,45)
Ruang penyimpanan	150 (7,18) <sup>a, h</sup>	1 000 (4,45)
Koridor di atas lantai pertama	80 (3,83)	1 000 (4,45)
Pabrik		
Ringan	125 (6,00) <sup>e</sup>	2 000 (8,90)
Berat	250 (11,97) <sup>e</sup>	3 000 (13,40)
Gedung perkantoran:		
Ruang arsip dan komputer harus dirancang untuk beban yang lebih berat berdasarkan pada perkiraan hunian		
Lobi dan koridor lantai pertama	100 (4,79)	2 000 (8,90)
Kantor	50 (2,40)	2 000 (8,90)
Koridor di atas lantai pertama	80 (3,83)	2 000 (8,90)
Lembaga hukum		
Blok sel	40 (1,92)	
Koridor	100 (4,79)	
Tempat rekreasi		
Tempat bowling, Kolam renang, dan penggunaan yang sama	75 (3,59) <sup>f</sup>	
Bangsas dansa dan Ruang dansa	100 (4,79) <sup>g</sup>	
Gimnasium	100 (4,79) <sup>g</sup>	
Tempat menonton baik terbuka atau tertutup	100 (4,79) <sup>g, k</sup>	
Stadium dan tribun/arena dengan tempat duduk tetap (terikat pada lantai)	60 (2,87) <sup>g, k</sup>	
Rumah tinggal		
Hunian (satu keluarga dan dua keluarga)		
Loteng yang tidak dapat didiami tanpa gudang	10 (0,48) <sup>j</sup>	
Loteng yang tidak dapat didiami dengan gudang	20 (0,96) <sup>m</sup>	
Loteng yang dapat didiami dan ruang tidur	30 (1,44)	
Semua ruang kecuali tangga dan balkon	40 (1,92)	
Semua hunian rumah tinggal lainnya		
Ruang pribadi dan koridor yang melayani mereka	40 (1,92)	
Ruang publik <sup>h</sup> dan koridor yang melayani mereka	100 (4,79)	

c.JBeban Angin ( PPIUG 1983 Bab 1 pasal 1.3 )

Bangunan gedung harus dirancang dan dilaksanakan untuk menahan beban angin.

**Tabel 3.2 Faktor Arah Angin (Kd)**

<b>Tipe Struktur</b>	<b>Faktor Arah Angin <math>K_d^*</math></b>
Bangunan Gedung Sistem Penahan Beban Angin Utama Komponen dan Kladding Bangunan Gedung	0,85 0,85
Atap Lengkung	0,85
Cerobong asap, Tangki, dan Struktur yang sama Segi empat Segi enam Bundar	0,90 0,95 0,95
Dinding pejal berdiri bebas dan papan reklame pejal berdiri bebas dan papan reklame terikat papan reklame terbuka dan kerangka kisi	0,85 0,85
Rangka batang menara Segi tiga, segi empat, persegi panjang Penampang lainnya	0,85 0,95

d.JBeban Gempa Dinamis

a.J Lantai tingkat sebagai diafragma

Menurut SNI 1726-2012 pasal 7.3.1 bahwa analisis struktur harus memperhitungkan kekakuan relatif diafragma dan elemen vertikal sistem penahan gaya gempa, kecuali jika diafragma dapat diidealisasikan baik fleksibel ataupun kaku, analisis struktur harus secara eksplisit menyertakan peninjauan kekakuan diafragma (yaitu, asumsi pemodelan semi kaku).

b.J Arah Pembebanan

Arah penerapan beban gempa yang digunakan dalam desain harus merupakan arah yang akan menghasilkan pengaruh beban paling kritis. Arah penerapan gaya gempa diijinkan untuk memenuhi persyaratan ini menggunakan prosedur sesuai pasal 7.5.2 untuk kategori

desain seismik B, pasal 7.5.3 untuk kategori desain seismik C, dan 7.5.4 untuk kategori desain seismik D,E,F.

c.J Faktor Respon Gempa

Faktor respon gempa (C) dinyatakan dalam percepatan gravitasi dimana nilai faktor faktor respon gempa bergantung pada waktu getar alami struktur gedung.

d.J Respon Spektrum Rencana

Dalam SNI 1726-2012 pasal 12.6.3.3 dinyatakan bahwa analisis respon spektrum harus dilakukan dengan menggunakan suatu nilai redaman ragam untuk ragam fundamental di arah yang ditinjau tidak lebih besar dari nilai yang terkecil dari redaman efektif sistem isolasi atau 30 persen redaman kritis.

e.J Perioda (T)

Perioda fundamental struktur, T, dalam arah yang ditinjau harus diperoleh menggunakan properti struktur dan karakteristik deformasi elemen penahan dalam analisis yang teruji. Perioda fundamental struktur, T , tidak boleh melebihi hasil koefisien untuk batasan atas pada perioda yang dihitung (Cu) dan perioda fundamental pendekatan, Ta.

$$Ta = C_t h_n^x \quad (3-1)$$

Keterangan :

Hn = ketinggian struktur (m)

Ct dan x ditentukan dari tabel

**Tabel 3.3** Koefisien untuk batas atas pada periода yang dihitung

Parameter percepatan respons spektral desain pada 1 detik, $S_{D1}$	Koefisien $C_u$
$\geq 0,4$	1,4
0,3	1,4
0,2	1,5
0,15	1,6
$\leq 0,1$	1,7

*Sumber: SNI 1726-2012*

**Tabel 3.4** Nilai Parameter Periode Pendekatan Ct dan x

Tipe struktur	$C_t$	x
Sistem rangka pemikul momen di mana rangka memikul 100 persen gaya gempa yang disyaratkan dan tidak dilingkupi atau dihubungkan dengan komponen yang lebih kaku dan akan mencegah rangka dari defleksi jika dikenai gaya gempa:		
Rangka baja pemikul momen	0,0724 <sup>a</sup>	0,8
Rangka beton pemikul momen	0,0466 <sup>a</sup>	0,9
Rangka baja dengan bresing eksentris	0,0731 <sup>a</sup>	0,75
Rangka baja dengan bresing terkekang terhadap tekuk	0,0731 <sup>a</sup>	0,75
Se semua sistem struktur lainnya	0,0488 <sup>a</sup>	0,75

*Sumber: SNI 1726-2012*

#### f.J Kontrol Gaya Geser Dasar (Base Shear)

Nilai akhir respons dinamik struktur gedung terhadap pembebanan gempa nominal akibat pengaruh Gempa Rencana dalam suatu arah tertentu, tidak boleh diambil kurang dari 85% nilai respons ragam yang pertama. Bila respons dinamik struktur gedung dinyatakan dalam gaya geser dasar nominal V, maka persyaratan tersebut dapat dinyatakan menurut persamaan berikut :

$$V > 0,85 V_i \quad (3-2)$$

### g.J Simpangan Antar Lantai

Penentuan simpangan antar lantai tingkat desain ( $\Delta$ ) harus dihitung sebagai perbedaan defleksi pada pusat massa di tingkat teratas dan terbawah yang ditinjau.

**Tabel 3.5** Simpangan Antar Lantai Ijin

Struktur	Kategori risiko		
	I atau II	III	IV
Struktur, selain dari struktur dinding geser batu bata, 4 tingkat atau kurang dengan dinding interior, partisi, langit-langit dan sistem dinding eksterior yang telah didesain untuk mengakomodasi simpangan antar lantai tingkat.	0,025 $h_{xx}^c$	0,020 $h_{xx}$	0,015 $h_{xx}$
Struktur dinding geser kantilever batu bata <sup>d</sup>	0,010 $h_{xx}$	0,010 $h_{xx}$	0,010 $h_{xx}$
Struktur dinding geser batu bata lainnya	0,007 $h_{xx}$	0,007 $h_{xx}$	0,007 $h_{xx}$
Semua struktur lainnya	0,020 $h_{xx}$	0,015 $h_{xx}$	0,010 $h_{xx}$

<sup>c</sup>  $h_{xx}$  adalah tinggi tingkat di bawah tingkat  $x$ .

### e.J Kombinasi Pembebanan

$$1,4 D \quad (3-3)$$

$$1,2 D + 1,6 L + 0,5 (\text{Lr atau R}) \quad (3-4)$$

$$1,2 D + 1,6 (\text{Lr atau R}) + (\text{L atau } 0,5\text{W}) \quad (3-5)$$

$$1,2 D + 1,0 \text{W} + \text{L} + 0,5 (\text{Lr atau R}) \quad (3-6)$$

$$1,2 D + \text{L} + 1,0 \text{E} \quad (3-7)$$

$$0,9 D + 1,0 \text{W} \quad (3-8)$$

$$0,9 D + 1,0 \text{E} \quad (3-9)$$

Keterangan :

D = Beban Mati yang diakibatkan oleh berat konstruksi permanen, termasuk dinding, lantai, atap, plafon, partisi tetap, tangga, dan peralatan layan tetap.

L = Beban Hidup yang ditimbulkan oleh penggunaan gedung, termasuk kejut, tetapi tidak termasuk beban lingkungan seperti angin, hujan, dan lain-lain.

E = Beban gempa, yang ditentukan menurut SNI 1726 –2012.

Lr = Beban hidup di atap yang ditimbulkan selama perawatan oleh pekerja, peralatan, dan material,

atau selama penggunaan biasa oleh orang dan benda bergerak.

- W = Beban angin
- R = Beban air hujan

### 3.7 Pemodelan dan Analisa Struktur

#### 3.7.1 Kontrol Desain

Melakukan analisa struktur bangunan, dimana harus memenuhi syarat keamanan dan rasional sesuai batas-batas tertentu menurut peraturan. Dilakukan analisa apakah desain telah sesuai dengan syarat-syarat perencanaan dan peraturan angka keamanan, serta sfisiensi. Bila telah memenuhi persyaratan, maka dapat dilanjutkan ke tahap pendetailan dan apabila tidak memenuhi persyaratan, maka dilakukan pendesainan ulang.

#### 3.7.2 Balok

a.J Kontrol Penampang (SNI 1729:2015 tabel B4.1) :

Pelat Badan :	Pelat Sayap :
$\frac{h}{tw} \leq 3,76 \sqrt{\frac{E}{f_y}}$	$\frac{b}{2tf} \leq 0,38 \sqrt{\frac{E}{f_y}}$

(3-10)

$$\lambda_{Rw} = 5,70 \sqrt{\frac{E}{f_y}} \quad \lambda_{Rf} = 1,0 \sqrt{\frac{E}{f_y}} \quad (3-11)$$

b.J Kontrol Kuat Lentur Akibat Tekuk Lokal SNI 1729:2015

Pasal 8.2 :

•J Penampang Kompak :  $\lambda \leq \lambda_P$

$$M_n = M_p = Z_x f_y \quad (3-12)$$

•J Penampang Tidak Kompak :  $\lambda < \lambda_P \leq \lambda_R$

$$M_n = M_p - (M_p - 0,7S_x f_y) \frac{(\lambda - \lambda_p)}{(\lambda_R - \lambda_p)} \quad (3-13)$$

c.J Kontrol Kuat Lentur Akibat Tekuk Lateral :

- J Plastis :  $L_b \leq L_p$

$$M_n = M_p = \frac{\pi}{4} f_y I_y \quad (3-14)$$

$$L_p = 176 r_y \sqrt{\frac{E}{f_y}} \quad (3-15)$$

$$r_y = \sqrt{\frac{I_y}{A}} \quad (3-16)$$

$r_y$  = Jari-jari girasi terhadap sumbu lemah

- J Inelastis ( $L_p \leq L_b \leq L_r$ )

$$M_n = C_b \left[ M_p - (M_p - 0,7S_x f_y) \frac{L_b - L_p}{L_R - L_p} \right] \leq M_p \quad (3-17)$$

$$L_r = 1,95 r_{ts} \frac{E}{0,7 f_y} \sqrt{\frac{J_c}{S_x h_0} + \sqrt{\left( \frac{J_c}{S_x h_0} \right)^2 + 6,76 \left( \frac{0,7 f_y}{E} \right)^2}}$$

$$r_{ts} = \frac{\sqrt{I_y C_w}}{S_x} \quad (3-19)$$

$$C_w = \frac{1}{4} I_y h_0^2 \quad (3-20)$$

Keterangan

$$C_b = \frac{12,5 M_{Max}}{2,5 M_{max} + 3 M_A + 4 M_B + 3 M_C} \leq 227 \quad (3-21)$$

$C_b=1,0$  untuk kantilever atau overhangs dimana ujung bebas yang tanpa dibreising

- J Elastis ( $L_b > L_r$ )

$$M_n = F_{cr} S_x \leq M_p \quad (3-22)$$

$$F_{cr} = \frac{C_b \pi^2 E}{\left( \frac{L_b}{r_{ts}} \right)^2} \sqrt{1 + 0,078 \frac{J_c}{S_x h_0} \left( \frac{L_b}{r_{ts}} \right)^2} \quad (3-23)$$

d.J Kontrol Kuat Geser (SNI 1729:2015 pasal G2):

$$V_n = 0,6 f_y A_w C_v \quad (3-24)$$

- Plastis :

$$\frac{h}{tw} \leq 1,1 \sqrt{\frac{K_v E}{f_y}} ; C_v = 1,0 \quad (3-25)$$

• Jnelastis :

$$1,1 \sqrt{\frac{K_v E}{f_y}} \leq \frac{h}{tw} \leq 1,37 \sqrt{\frac{K_v E}{f_y}} \quad (3-26)$$

$$C_v = \frac{1,10 \sqrt{\frac{K_v E}{f_y}}}{\frac{h}{tw}} \quad (3-27)$$

• JElastis :

$$\frac{h}{tw} > 1,37 \sqrt{\frac{K_v E}{f_y}} \quad (3-28)$$

$$C_v = \frac{1,51 K_v E}{\left(\frac{h}{tw}\right)^2 f_y} \quad (3-29)$$

$K_v = 5$  untuk  $\frac{h}{tw} < 260$  badan tanpa pengaku transversal

Untuk badan dengan pengaku transversal :

$$K_v = 5 + \frac{5}{\left(\frac{a}{h}\right)^2} = 5 \text{ bila } \frac{a}{h} > 3,0 \text{ atau } \frac{a}{h} > \left[\frac{260}{h/tw}\right]^2 \quad (3-30)$$

$$V_u \leq \emptyset V_n \quad (3-31)$$

e.J Kontrol Lendutan :

$$\bullet \psi_{maks} = \frac{5qL^4}{384EI} \quad (\text{Untuk beban terbagi rata}) \quad (3-32)$$

$$\bullet \psi_{maks} = \frac{PL^3}{48EI} \quad (\text{Untuk beban terpusat}) \quad (3-33)$$

$$\text{Dimana : } \bar{y} = \frac{L}{360} \quad (3-34)$$

### 3.7.3 Kolom

•J **Kontrol Penampang :**

Penampang tidak boleh termasuk dalam kategori penampang langsing :

Pelat Badan :

Pelat

Sayap :

$$\frac{h}{tw} \leq 1,49 \sqrt{\frac{E}{f_y}}$$

$$\frac{b}{2tf} \leq 0,56 \sqrt{\frac{E}{f_y}} \quad (3-35)$$

$$\lambda = \lambda_R$$

$$\lambda = \lambda_R$$

•J **Kontrol Kekakuan Portal :**

(SNI 03-1729-2002 pasal 7.6.3.3)

$$G = \frac{\sum\left(\frac{l_c}{L_c}\right)}{\sum\left(\frac{l_b}{L_b}\right)} \quad (3-36)$$

Dari nilai G diperoleh nilai faktor panjang tekuk ( $k_c$ )

•J **Amplikasi Momen Struktur Portal :**

(SNI 1729:2015 pasal 8.2)

$$M_r = B_1 \cdot M_{nt} + B_2 \cdot M_{lt} \quad (3-37)$$

$$P_r = P_{nt} + B_2 \cdot P_{lt} \quad (3-38)$$

$$B_1 = \frac{Cm}{\left(1 - \alpha_{Pe1}^{\frac{Pu}{L}}\right)} \geq 10 \quad (3-39)$$

$$Pe1 = \frac{\pi^2 EI}{(K_1 L)^2} \quad (3-40)$$

$$Cm = 06 - 04 \left( \frac{M_1}{M_2} \right) \quad (3-41)$$

$$B_2 = \frac{1}{1 - \left( \alpha_{Pe story}^{\frac{P_{story}}{L}} \right)} \quad (3-42)$$

$$P_{story} = R_M \frac{HL}{\Delta H} \quad (3-43)$$

$$R_M = 1 - 0,15 \left( \frac{P_{mf}}{P_{story}} \right) \quad (3-44)$$

Keterangan :

$$\alpha = 1,0$$

- $P_{\text{story}}$  = Beban vertikal total didukung oleh tingkat menggunakan kombinasi beban DFBK atau DKI, yang sesuai, termasuk beban-beban dalam kolom-kolom yang bukan merupakan bagian dari sistem penahan gaya lateral ( $N$ )
- $P_{e \text{ story}}$  = Kekuatan tekuk kritis elastis untuk tingkat pada arah translasi yang diperhitungkan ( $N$ )
- $L$  = Tinggi tingkat (mm)
- $P_{\text{mf}}$  = Beban vertikal total pada kolom dalam tingkat yang merupakan bagian dari rangka momen , jika ada , dalam arah translasi yang diperhitungkan
- $\Delta H$  = Simpangan tingkat orde pertama, dalam arah translasi yang diperhitungkan akibat gaya lateral (mm)

$$H = \text{Geser tingkat (N)}$$

•J **Kontrol Tekuk-Lentur:** (SNI 1729:2015 pasal E3)

$$\lambda = \frac{KcL}{r} \quad (3-45)$$

$$F_e = \frac{\pi^2 E}{\left(\frac{KL}{r}\right)^2} \quad (3-46)$$

$$\text{Bila } \lambda \leq 4,71 \sqrt{\frac{E}{f_y}} \text{ atau } \frac{f_y}{F_e} \leq 2,25 \quad (3-47)$$

$$\text{Maka } F_{cr} = \left[ 0,658 \frac{f_y}{F_e} \right] \quad (3-48)$$

$$\text{Bila } \lambda > 4,71 \sqrt{\frac{E}{f_y}} \text{ atau } \frac{f_y}{F_e} > 2,25 \quad (3-49)$$

$$\text{Maka } F_{cr} = 0,877 F_e \quad (3-50)$$

•J **Kontrol Tekuk-Puntir :** (SNI 1729:2015 pasal E4)

$$F_e = \left[ \frac{\pi^2 E C_w}{(K_z L)^2} + G \right] \frac{1}{I_x + I_y} \quad (3-51)$$

Nilai  $F_{cr}$  bisa dihitung dengan rumus 3. Atau 3.

•J **Kontrol Gaya Aksial dan Momen Lentur :**

(SNI 1729:2015 pasal F2)

$$P_n = A_g F_{cr} \quad (3-52)$$

$$P_c = \emptyset P_n \quad (3-53)$$

$$M_u \leq \emptyset M_n$$

Keterangan :

$M_u$  = Momen lentur rencana (N.mm)

$M_n$  = Kuat lentur nominal penampang (N.mm)

$\emptyset$  = Faktor reduksi (0.9)

Tekuk Torsi Lateral :

a.J Bentang Pendek ( $L_b \leq L_p$ )

$$M_n = M_p = Z_f y \quad (3-54)$$

$$L_p = 176 \cdot r_y \sqrt{\frac{E}{f_y}} \quad (3-55)$$

$$r_y = \sqrt{\frac{I_y}{A}} \quad (3-56)$$

$r_y$  = Jari-jari girasi terhadap sumbu lemah

Keadaan batas dari tekuk torsi-lateral tidak boleh digunakan

b.J Bentang Menengah ( $L_p \leq L_b \leq L_r$ )

$$M_n = C_b \left[ M_p - (M_p - 0,7 S_x f_y) \frac{L_b - L_p}{L_R - L_p} \right] \leq M_p \quad (3-57)$$

$$L_r = 1,95 r_{ts} \frac{E}{0,7 f_y} \sqrt{\frac{J_c}{S_x h_0} + \sqrt{\left( \frac{J_c}{S_x h_0} \right)^2 + 6,76 \left( \frac{0,7 f_y}{E} \right)^2}} \quad (3-58)$$

$$r_{ts} = \frac{\sqrt{I_y C_w}}{S_x} \quad (3-59)$$

Keterangan

$$C_b = \frac{12,5 M_{Max}}{2,5M_{max}+3M_A+4M_B+3M_C} \leq 227 \quad (3-60)$$

$C_b=1,0$  untuk kantilever atau overhangs dimana ujung bebas yang tanpa dibreising

c.J Bentang Panjang ( $L_b > L_r$ )

$$M_n = F_{cr} S_x \leq M_p \quad (3-61)$$

$$F_{cr} = \frac{C_b \pi^2 E}{\left(\frac{L_b}{r_{ts}}\right)^2} \sqrt{1 + 0,078 \frac{J_c}{S_x h_0} \left(\frac{L_b}{r_{ts}}\right)^2} \quad (3-62)$$

Persamaan interaksi aksial momen (SNI 1729:2015 pasal H1) :

1.Jika  $\frac{P_r}{P_c} \geq 02$ , maka :

$$\frac{P_r}{P_c} + \frac{8}{9} \left( \frac{M_{rx}}{M_{cx}} + \frac{M_{ry}}{M_{cy}} \right) \leq 10 \quad (3-63)$$

2.Jika  $\frac{P_r}{P_c} < 02$ , maka :

$$\frac{P_r}{2P_c} + \left( \frac{M_{rx}}{M_{cx}} + \frac{M_{ry}}{M_{cy}} \right) \leq 10 \quad (3-64)$$

### 3.8 Sambungan

Kuat rencana setiap komponen sambungan tidak boleh kurang dari beban terfaktor yang dihitung. Perencanaan sambungan harus memenuhi persyaratan berikut:

- Gaya-dalam yang disalurkan berada dalam keseimbangan dengan gaya-gaya yang bekerja pada sambungan;
- Deformasi pada sambungan masih berada dalam batas kemampuan deformasi sambungan;
- Sambungan dan komponen yang berdekatan harus mampu memikul gaya-gaya yang bekerja padanya.

## Sambungan Baut

h.J Kontrol jarak baut : (SNI 1729-2015 Ps. J3.3-5)

Spasi minimum : Jarak antara pusat-pusat standar , ukuran berlebih, dan lubang-lubang slot, tidak boleh kurang dari  $2 \frac{2}{3}$  kali diameter nominal,  $d$  dari pengencang; suatu jarak  $3d$  yang lebih disukai.

**Tabel 3.6** Jarak Tepi Minimum Dari Pusat Lubang Standar ke Tepi dari Bagian Yang Disambung.

Diameter Baut (mm)	Jarak Tepi Minimum
16	22
20	26
22	28
24	30
27	34
30	38
36	46
Di atas 36	1,25d

[a]Jika diperlukan, jarak tepi terkecil diizinkan asalkan ketentuan yang sesuai Pasal J3.10 dan J4 dipenuhi, tetapi jarak tepi yang kurang dari satu diameter baut tidak diizinkan tanpa persetujuan dari Insinyur yang memiliki izin bekerja sebagai perencana.  
[b]Untuk ukuran-berlebih atau lubang-lubang slot, lihat Tabel J3.5M.

*Sumber: SNI 1729-2015*

### Spasi Maksimum dan Jarak Tepi

Jarak maksimum dari pusat setiap baut ke tepi terdekat dari bagian-bagian dalam kontak harus 12 kali ketebalan dari bagian yang disambung akibat perhitungan, tetapi tidak boleh melebihi 6 in. (150 mm). Spasi longitudinal pengencang antara elemen-elemen yang terdiri dari suatu pelat dan suatu profil atau dua pelat pada kontak menerus harus sebagai berikut :

- a.J Untuk komponen struktur dicat atau komponen struktur tidak dicat yang tidak menahan korosi, spasi tersebut tidak boleh melebihi 24 kali ketebalan dari bagian tertipis atau 12 in. (305 mm).
- b.J Untuk komponen struktur tidak dicat dari baja yang berhubungan dengan cuaca yang menahan korosi atmospheric, spasi tidak boleh melebihi

14 kali ketebalan dari bagian tertipis atau 7 in. (180 mm).

i.J Kekuatan rencana baut

a.J Kekuatan rencana geser baut

$$\phi R_n = F_n A_b \quad (3-65)$$

Keterangan:

$$\phi = 0,75$$

$A_b$  = luas tubuh baut tidak berulir atau bagian ulir ( $\text{mm}^2$ )

$F_n$  = tegangan tarik nominal,  $F_{nt}$ , atau tegangan geser,  $F_{nv}$  dari tabel J3.2 (MPa)

b.J Kekuatan rencana tumpu baut dengan plat

$$R_n = F'_{nt} A_b \quad (3-66)$$

Dimana :

$$F'_{nt} = 1,3 F_{nt} - \frac{F_{nt}}{\phi F_{nv}} F_{rv} \leq F_{nt} \quad (3-67)$$

Keterangan:

$\phi = 0,75$  adalah faktor reduksi kekuatan untuk fraktur

$F'_{nt}$  = tegangan tarik nominal yang dimodifikasi mencakup efek teg, geser (MPa)

$F_{nt}$  = tegangan tarik nominal tabel J3.2, (MPa)

$F_{nv}$  = tegangan geser dari tabel J3.2, (MPa)

$F_{rv}$  = tegangan geser diperlukan menggunakan kombinasi beban DFBK (Desain faktor Beban dan Ketahanan), (MPa)

c.J Kekuatan baut memikul beban tarik

Kekuatan rencana tarik dari baut :

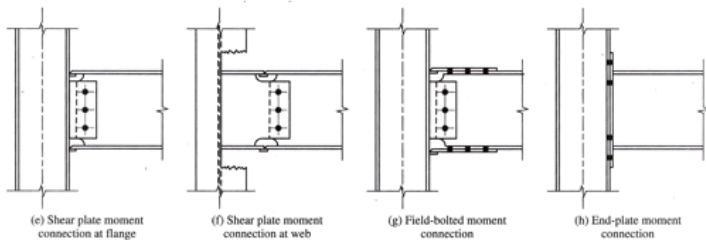
$$\phi_f T_n = \phi_f 0,75 f_u^b A_b \quad (3-68)$$

Dimana :

$f_u^b$  = tegangan tarik putus baut

$A_b$  = luas bruto penampang baut

$\phi_f$  = faktor reduksi ( 0,75 )



**Gambar 3.3** Sambungan

### 3.9 Perbandingan Hasil

Membandingkan hasil perhitungan tiga sistem, antara Sistem Rangka Pemikul Momen Khusus, Sistem Rangka Bresing Konsentrik, dan Sistem Rangka Bresing Konsentrik menggunakan outrigger.

*“Halaman Ini sengaja dikosongkan”*

## BAB IV

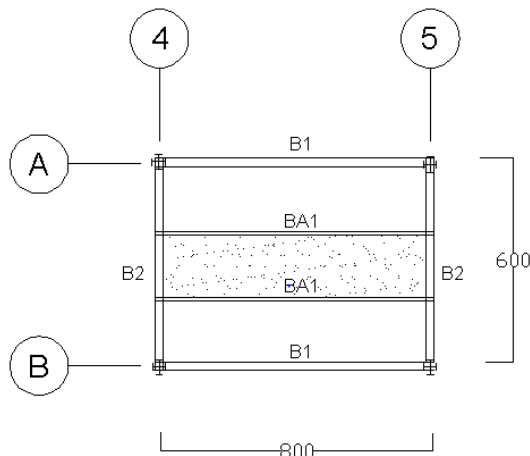
# PERENCANAAN STRUKTUR SEKUNDER

### 4.1 Perencanaan Pelat Lantai

Perencanaan lantai yang ada pada gedung ini menggunakan Bondex dengan table perencanaan praktis yang ada dari PT BRC LYSAGHT INDONESIA. Struktur lantai direncanakan dengan menggunakan satu baris penyangga (one row props) selama proses pengerasan pelat beton. Spesifikasi yang digunakan adalah sebagai berikut :

- J Bondex Menggunakan Tebal 0,75 mm
- J Beton menggunakan mutu K-225 kg/cm<sup>2</sup>

#### 4.1.1 Perencanaan Pelat Lantai Atap



Gambar 4.1 Denah Pelat Lantai Atap

Beban yang bekerja :

1.JBeban Mati ( $q_D$ )

Beban mati :

•J Berat penggantung + plafond	= 18 kg/m <sup>2</sup>
•J Berat spesi t=2cm	= 42 kg/m <sup>2</sup>
•J Berat ducting mekanikal	= 30 kg/m <sup>2</sup> +
	q <sub>Dtotal</sub> = 90 kg/m <sup>2</sup>

2.JBeban Hidup ( $q_L$ )

- J Beban hidup ( $q_L$ )lantai atap = 20 psf = 97,64 kg/m<sup>2</sup>  
(SNI 1727:2013 tabel 4-1)

3.JBeban Berguna

$$\begin{aligned} Q_u &= q_D + q_L \\ &= 90 + 97,64 \\ &= 187,64 \text{ kg/m}^2 \approx 200 \text{ kg/m}^2 \end{aligned}$$

4.JData-data perencanaan pelat bondek

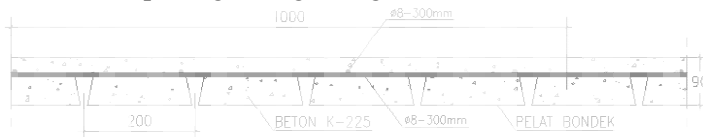
- J Bentang = 2 m
- J Beban berguna = 200 kg/m<sup>2</sup>
- J Bentang menerus dengan tulangan negatif, didapatkan tebal pelat 9 cm, dan tulangan negatif 1,07 cm<sup>2</sup>/m
- J Digunakan tulangan Ø 8 (As = 0,503 cm<sup>2</sup>)

Jumlah tulangan yang dibutuhkan tiap meter adalah :

$$-J \ n = \frac{168}{0,503} = 334 \approx 4 \text{ buah}$$

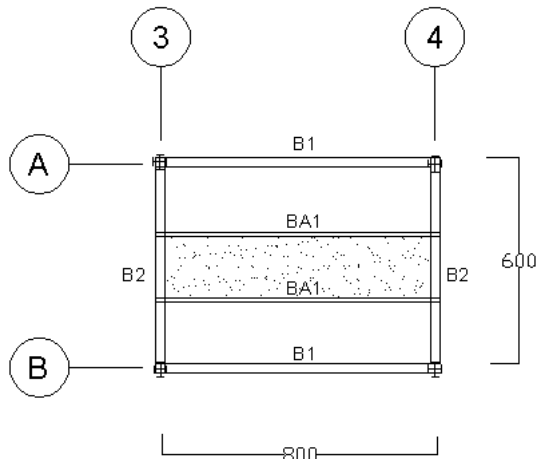
$$-J \ \text{Jarak antar tulangan} \frac{1000}{4-1} = 333 \approx 300 \text{ mm}$$

-Jadi dipasang tulangan negatif Ø 8 – 300



Gambar 4.2 Penulangan Pelat Atap

#### 4.1.2 Perencanaan Pelat Lantai Perkantoran



Gambar 4.3 Denah Pelat Lantai Perkantoran

Beban yang bekerja :

1.J Beban Mati ( $q_D$ )

$$\begin{aligned}
 \bullet J \text{ Berat penggantung + plafond} &= 18 \text{ kg/m}^2 \\
 \bullet J \text{ Berat Keramik + spesi } t=2\text{cm} &= 48 \text{ kg/m}^2 \\
 \bullet J \text{ Berat ducting mekanikal} &= 30 \text{ kg/m}^2 + \\
 q_{D\text{total}} &= 96 \text{ kg/m}^2
 \end{aligned}$$

2.J Beban Hidup ( $q_L$ )

$$\bullet J \text{ Beban hidup } (q_L) \text{ lantai kantor} = 50 \text{ psf} = 244,1 \text{ kg/m}^2 \\
 (\text{SNI 1727:2013 tabel 4-1})$$

3.J Beban Berguna

$$\begin{aligned}
 Q_u &= q_D + q_L \\
 &= 96 + 244,1 \\
 &= 340,1 \text{ kg/m}^2 \approx 400 \text{ kg/m}^2
 \end{aligned}$$

4.J Data-data perencanaan pelat bondek

- J Bentang = 2 m
- J Beban berguna = 400 kg/m<sup>2</sup>

- J Bentang menerus dengan tulangan negatif, didapatkan tebal pelat 9 cm, dan tulangan negatif  $1,55 \text{ cm}^2/\text{m}$
- J Digunakan tulangan  $\varnothing 8$  ( $A_s = 0,503 \text{ cm}^2$ )

Jumlah tulangan yang dibutuhkan tiap meter adalah :

$$\text{-J } n = \frac{168}{0,503} = 334 \approx 4 \text{ buah}$$

$$\text{-J Jarak antar tulangan } \frac{1000}{4-1} = 333 \approx 300 \text{ mm}$$

-J Jadi dipasang tulangan negatif  $\varnothing 8 - 300$



Gambar 4.4 Penulangan Pelat Lantai

## 4.2 Perencanaan Balok Anak

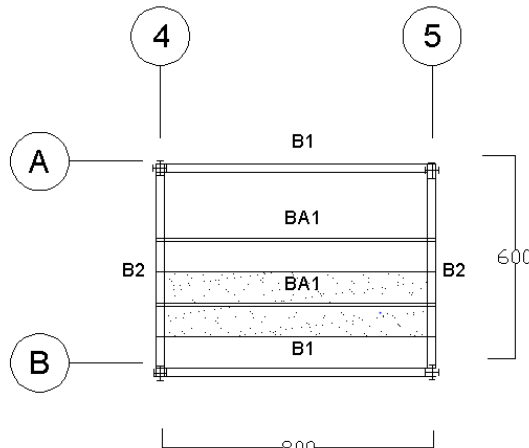
Fungsi dari balok anak adalah menerima beban dari pelat lantai lalu meneruskan serta membagi beban yang dipikul ke balok induk. Balok anak didesain sebagai struktur sekunder, sehingga didalam perhitungan tidak menerima beban lateral yang diakibatkan oleh gempa.

### 4.2.1 Balok Anak Lantai Atap (Bentang 8 m)

Balok anak yang terletak pada lantai atap direncanakan menggunakan profil WF 350 x 175 x 6 x 9, dengan data-data sebagai berikut:

$d$	= 346	mm	$i_x$	= 14,5	cm
$b_f$	= 174	mm	$i_y$	= 3,88	cm
$t_f$	= 9	mm	$Z_x$	= 689	$\text{cm}^3$
$t_w$	= 6	mm	$Z_y$	= 139	$\text{cm}^3$
$A$	= 52,68	$\text{cm}^2$	$S_x$	= 641	$\text{cm}^3$
$q$	= 41,4	$\text{kg/m}$	$S_y$	= 91	$\text{cm}^3$
$I_x$	= 11100	$\text{cm}^4$	$r$	= 14	cm

$$\begin{aligned} I_y &= 792 \text{ cm}^4 \\ F_y &= 250 \text{ Mpa (BJ-41)} \end{aligned} \quad h = d - 2(t_f + r) = 300 \text{ mm}$$



Gambar 4.5 Denah Balok Lantai Atap (8m)

### 1.JBeban- Beban Yang Bekerja

#### •J Beban Mati ( $q_D$ )

Berat pelat bondek	=	10,1	$\text{kg/m}^2$
Berat beton 0,09 x 2400	=	216,0	$\text{kg/m}^2$
Berat pelat lantai	=	<u>90,0</u>	$\text{kg/m}^2$
	=	316,1	$\text{kg/m}$
316,1 $\text{kg/m}^2$ x 2 m	=	632,2	$\text{kg/m}$
Berat profil	=	<u>41,4</u>	$\text{kg/m}$
$q_{D\text{total}}$	=	673,6	$\text{kg/m}$

#### •J Beban hidup ( $q_L$ )

$$\text{Beban hidup lantai atap} = 97,64 \text{ kg/m}^2$$

$$q_L = 2 \times 97,64 = 195,28 \text{ kg/m}$$

#### •J Beban berfaktor ( $q_U$ )

$$\begin{aligned} q_U &= 1,2 \cdot q_{D\text{total}} + 1,6 \cdot q_L \\ &= 1,2 \cdot 673,6 + 1,6 \cdot 195,28 \end{aligned}$$

$$= 1120,77 \text{ kg/m}$$

### 2.JGaya Dalam Yang Bekerja Pada Balok

- J Momen

$$Mu = \frac{1}{8} x qu x L^2$$

$$Mu = \frac{1}{8} x 1120,77 x 8^2$$

$$Mu = 896614 \text{ kgm}$$

- J Gaya Geser

$$Vu = \frac{1}{2} x qu x L$$

$$Vu = \frac{1}{2} x 1120,77 x 8$$

$$Vu = 448307 \text{ kg}$$

### 3.JKontrol Kuat Momen Lentur

- J Pelat sayap

$$\frac{bf}{2tf} = \frac{174}{2 \times 9} = 9,67$$

$$\lambda_p = 0,38 x \sqrt{\frac{E}{f_y}} = 0,38 x \sqrt{\frac{200000}{250}} = 10,75$$

$$\frac{bf}{2tf} < \lambda_p \text{ maka penampang kompak}$$

- J Pelat badan:

$$\frac{h}{tw} = \frac{300}{6} = 50$$

$$\lambda_p = 3,76 x \sqrt{\frac{E}{f_y}} = 3,76 x \sqrt{\frac{200000}{250}} = 10,635$$

- J Karena penampang kompak, maka  $M_n = M_p$

$$\begin{aligned}
 M_p &= Z_x \times F_y \\
 &= 641 \text{ cm}^3 \times 2500 \text{ kg/cm}^2 \\
 &= 1722500 \text{ kg.cm} = 17255 \text{ kg.m}
 \end{aligned}$$

#### 4.JKontrol Penampang Terhadap Tekuk Lateral

Jarak penahan lateral (Lb) = 0 cm (Tidak terjadi tekan pada sayap)

$$\begin{aligned}
 L_p &= 193,145 \text{ cm} \\
 L_r &= 533,944 \text{ cm}
 \end{aligned}
 \quad \boxed{\quad} \quad \text{Dari Tabel (Lp & Lr)}$$

$$L_b < L_p < L_r \rightarrow \text{Bentang Pendek}$$

$$\begin{aligned}
 M_{nx} = M_{px} &= Z_x \times f_y \\
 &= 17255 \text{ kg.m}
 \end{aligned}$$

$$\begin{aligned}
 M_{ny} = M_{py} &= Z_y \times f_y \\
 &= 641 \text{ cm}^3 \times 2500 \text{ kg/m}^2 \\
 &= 347500 \text{ kg.cm} = 3475 \text{ kg.m}
 \end{aligned}$$

$$\begin{aligned}
 \phi b. M_n &\geq M_u \\
 0,9 \times 17255 \text{ kgm} &\geq 8966,14 \text{ kgm} \\
 15502,5 \text{ kgm} &\geq 8966,14 \text{ kgm} \dots\dots \text{Oke}
 \end{aligned}$$

#### 5.JPersamaan Interaksi

$$\frac{M_u}{\phi M_n} \leq 1$$

$$\begin{aligned}
 \frac{8966,14}{0,9 \times 17255} &\leq 1 \\
 0,58 &\leq 1 \dots\dots \text{OKE}
 \end{aligned}$$

#### 6.JKontrol Geser

$$V_u = 4483,072 \text{ kg}$$

$$\frac{h}{tw} \leq 1,1 \sqrt{k_v \frac{E}{F_y}} \quad ; \quad k_v = 5 \text{ (SNI 1729:2015, Pasal G2.1)}$$

$$\frac{300}{6} \leq 11 \sqrt{5 \times \frac{200000}{250}} \\ 50 \leq 69,57 \quad \rightarrow \text{plastis}$$

Maka,  $\Omega V_n = 0,9 \times (0,6 f_y A_w)$   
 $= 0,9 \times (0,6 \times 2500 \times (34,6 \times 0,6)) = 28026 \text{ kg}$

 $\Omega V_n \geq V_u$   
 $28026 \text{ kg} > 4483,072 \text{ kg} \rightarrow \text{Oke}$

### 7.JLendutan

$$f_{ijin} = \frac{L}{180} = \frac{800}{360} = 222 \text{ cm}$$

Lendutan akibat beban

$$f_x = \frac{5}{384} \times \frac{(qdl + ql^2) \cdot L^4}{E \cdot I_x}$$

$$f_x = \frac{5}{384} \times \frac{(6736 + 19528) \cdot 800^4}{2000000 \times 11100} = 2087 \text{ cm}$$

$$f_{ijin} > f_x \rightarrow 2,222 \text{ cm} > 2,087 \text{ cm} \rightarrow \text{Oke}$$

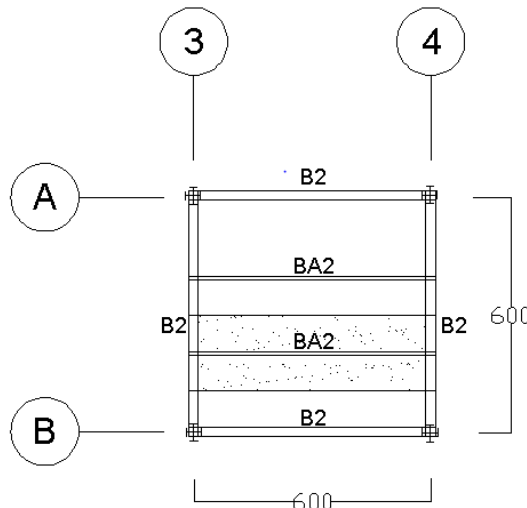
Jadi, Profil WF 250 x 175 x 7 x 11 dapat digunakan sebagai balok anak pada lantai atap bentang 8 m.

#### 4.2.2 Balok Anak Lantai Atap (Bentang 6 m)

Balok anak yang terletak pada lantai atap direncanakan menggunakan profil WF 250 x 175 x 7 x 11, dengan data-data sebagai berikut:

d	= 244 mm	ix	= 10,4 cm
bf	= 175 mm	iy	= 4,18 cm
tf	= 11 mm	Zx	= 535 cm <sup>3</sup>
tw	= 7 mm	Zy	= 171 cm <sup>3</sup>

A	= 56,24 cm <sup>2</sup>	Sx = 502 cm <sup>3</sup>
q	= 44,1 kg/m	Sy = 113 cm <sup>3</sup>
Ix	= 6120 cm <sup>4</sup>	r = 16 cm
Iy	= 984 cm <sup>4</sup>	h = d - 2(tf+r)
Fy	= 250 Mpa (BJ-41)	= 190 mm



Gambar 4.6 Denah Balok Lantai Atap (6m)

### 1.J Beban- Beban Yang Bekerja

#### •J Beban Mati (q<sub>D</sub>)

Berat pelat bondek	=	10,1	kg/m <sup>2</sup>
Berat beton 0,09 x 2400	=	216,0	kg/m <sup>2</sup>
Berat pelat lantai	=	90,0	kg/m <sup>2</sup>
	=	316,1	kg/m
316,1 kg/m <sup>2</sup> x 2 m	=	632,2	kg/m
Berat profil	=	41,4	kg/m
q <sub>Dtotal</sub>	=	673,6	kg/m

#### •J Beban hidup (q<sub>L</sub>)

Beban hidup lantai atap = 97,64 kg/m<sup>2</sup>

$$q_L = 2 \times 97,64 = 195,28 \text{ kg/m}$$

•J Beban berfaktor (qu)

$$\begin{aligned} q_U &= 1,2 \cdot q_{D\text{ total}} + 1,6 \cdot q_L \\ &= 1,2 \cdot 673,6 + 1,6 \cdot 195,28 \\ &= 1124,01 \text{ kg/m} \end{aligned}$$

## 2.J Gaya Dalam Yang Bekerja Pada Balok

•J Momen

$$Mu = \frac{1}{8} x qu x L^2$$

$$Mu = \frac{1}{8} x 1124,01 x 6^2$$

$$Mu = 5058,04 \text{ kNm}$$

•J Gaya Geser

$$Vu = \frac{1}{2} x qu x L$$

$$Vu = \frac{1}{2} x 1124,01 x 6$$

$$Vu = 3372,02 \text{ kg}$$

## 3.J Kontrol Kuat Momen Lentur

•J Pelat sayap

$$\frac{bf}{2tf} = \frac{175}{2 \times 11} = 7,95$$

$$\lambda_p = 0,88 x \sqrt{\frac{E}{fy}} = 0,88 x \sqrt{\frac{200000}{250}} = 1075$$

$$\frac{bf}{2tf} < \lambda_p \text{ maka penampang kompak}$$

•J Pelat badan:

$$\frac{h}{tw} = \frac{190}{7} = 27,14$$

$$\lambda_p = 376x \sqrt{\frac{E}{fy}} = 376x \sqrt{\frac{200000}{250}} = 10635$$

- J Karena penampang kompak, maka  $M_n = M_p$

$$\begin{aligned} M_p &= Zx \times F_y \\ &= 535 \text{ cm}^3 \times 2500 \text{ kg/cm}^2 \\ &= 1337500 \text{ kg.cm} = 13375 \text{ kg.m} \end{aligned}$$

#### 4.J Kontrol Penampang Terhadap Tekuk Lateral

Jarak penahan lateral ( $L_b$ ) = 0 cm (Tidak terjadi tekan pada sayap)

$$\begin{aligned} L_p &= 208,082 \text{ cm} \\ L_r &= 689,211 \text{ cm} \\ L_b &< L_p < L_r \rightarrow \text{Bentang Pendek} \end{aligned} \quad \left. \right\} \text{ Dari Tabel (Lp & Lr)}$$

$$\begin{aligned} M_{nx} &= M_{px} = Zx \times f_y \\ &= 13375 \text{ kg.m} \end{aligned}$$

$$\begin{aligned} M_{ny} &= M_{py} = Zy \times f_y \\ &= 171 \text{ cm}^3 \times 2500 \text{ kg/m}^2 \\ &= 427500 \text{ kg.cm} = 4275 \text{ kg.m} \end{aligned}$$

$$\begin{aligned} \phi b. M_n &\geq M_u \\ 0,9 \times 13375 \text{ kgm} &\geq 505804 \text{ kgm} \\ 12037,5 \text{ kgm} &\geq 505804 \text{ kgm ..... Oke} \end{aligned}$$

#### 5.J Persamaan Interaksi

$$\frac{M_u}{\phi M_n} \leq 1$$

$$\frac{505804}{0,9 \times 13375} \leq 1$$

$$0,42 \leq 1 ..... \text{OKE}$$

## 6.J Kontrol Geser

$$V_u = 3372,024 \text{ kg}$$

$$\frac{h}{tw} \leq 1,1 \sqrt{k_v \frac{E}{F_y}} ; k_v = 5 \text{ (SNI 1729:2015, Pasal G2.1)}$$

$$\frac{190}{7} \leq 11 \sqrt{5 \times \frac{200000}{250}}$$

$$27,14 \leq 69,57 \rightarrow \text{plastis}$$

$$\begin{aligned} \text{Maka, } \phi V_n &= 0,9 \times (0,6 f_y A_w) \\ &= 0,9 \times (0,6 \times 2500 \times (24,4 \times 0,7)) = 23058 \text{ kg} \\ \phi V_n &\geq V_u \\ 23058 \text{ kg} &> 3372,024 \text{ kg} \rightarrow \text{Oke} \end{aligned}$$

## 7.J Lendutan

$$f_{ijin} = \frac{L}{180} = \frac{600}{360} = 1667 \text{ cm}$$

Lendutan akibat beban

$$f_x = \frac{5}{384} \times \frac{(qdl + ql)^4}{E \cdot I_x}$$

$$f_x = \frac{5}{384} \times \frac{(6763 + 1953) \times 600^4}{2000000 \times 6120} = 441 \text{ cm}$$

$$f_{ijin} > f_x \rightarrow 1,667 \text{ cm} > 1,202 \text{ cm} \rightarrow \text{Oke}$$

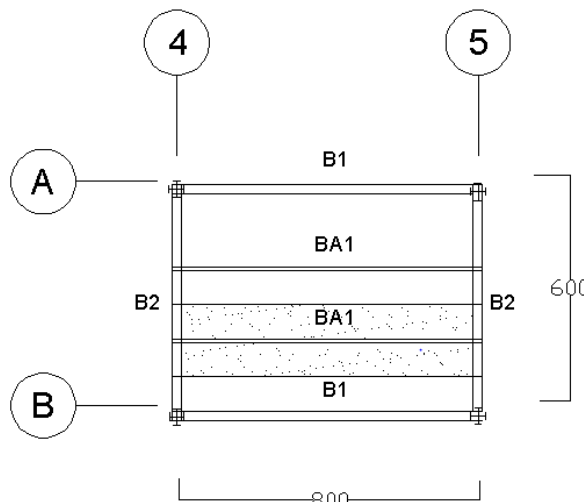
Jadi, Profil WF 250 x 175 x 7 x 11 dapat digunakan sebagai balok anak pada lantai atap bentang 6 m.

## 4.2.3 Balok Anak Lantai Perkantoran (Bentang 8 m)

Balok anak yang terletak pada lantai akan difungsikan sebagai perkantoran direncanakan menggunakan profil WF 350 x 250 x 8 x 12, dengan data-data sebagai berikut:

$$d = 336 \text{ mm} \quad i_x = 14,5 \text{ cm}$$

bf	= 249 mm	iy = 5,92 cm
tf	= 12 mm	Zx = 1163 cm <sup>3</sup>
tw	= 8 mm	Zy = 377 cm <sup>3</sup>
A	= 88,15 cm <sup>2</sup>	Sx = 1100 cm <sup>3</sup>
q	= 69,2 kg/m	Sy = 248 cm <sup>3</sup>
Ix	= 18500 cm <sup>4</sup>	r = 20 cm
Iy	= 3090 cm <sup>4</sup>	h = d - 2(tf+r)
Fy	= 250 Mpa (BJ-41)	= 272 mm



Gambar 4.7 Denah Balok Lantai Perkantoran (8m)

### 1.J Beban- Beban Yang Bekerja

#### •J Beban Mati (q<sub>d</sub>)

Berat pelat bondek	=	10,1	kg/m <sup>2</sup>
Berat beton 0,09 x 2400	=	216,0	kg/m <sup>2</sup>
Berat pelat lantai	=	96,0	kg/m <sup>2</sup>
	=	316,1	kg/m <sup>2</sup>
316,1 kg/m <sup>2</sup> x 2 m	=	644,2	kg/m
Berat profil	=	69,2	kg/m
q <sub>Dtotal</sub>	=	713,4	kg/m

•J Beban hidup ( $q_L$ )

$$\text{Beban hidup lantai} = 244,1 \text{ kg/m}^2$$

$$q_L = 2 \times 244,1 = 488,2 \text{ kg/m}$$

•J Beban berfaktor ( $qu$ )

$$\begin{aligned} q_U &= 1,2 \cdot q_{D\text{ total}} + 1,6 \cdot q_L \\ &= 1,2 \cdot 713,4 + 1,6 \cdot 488,2 \\ &= 1637,2 \text{ kg/m} \end{aligned}$$

2.J Gaya Dalam Yang Bekerja Pada Balok

•J Momen

$$Mu = \frac{1}{8} x qu x L^2$$

$$Mu = \frac{1}{8} x 1637,2 x 8^2$$

$$Mu = 130976 \text{ kgm}$$

•J Gaya Geser

$$Vu = \frac{1}{2} x qu x L$$

$$Vu = \frac{1}{2} x 1637,2 x 8$$

$$Vu = 65488 \text{ kg}$$

3.J Kontrol Kuat Momen Lentur

•J Pelat sayap

$$\frac{bf}{2tf} = \frac{249}{2 \times 12} = 10,38$$

$$\lambda_p = 0,38 \times \sqrt{\frac{E}{fy}} = 0,38 \times \sqrt{\frac{200000}{250}} = 10,75$$

$$\frac{bf}{2tf} < \lambda_p \text{ maka penampang kompak}$$

•J Pelat badan:

$$\frac{h}{tw} = \frac{272}{8} = 34$$

$$\lambda_p = 376x \sqrt{\frac{E}{fy}} = 376x \sqrt{\frac{200000}{250}} = 10635$$

- J Karena penampang kompak, maka  $M_n = M_p$

$$\begin{aligned} M_p &= Zx \times F_y \\ &= 1163 \text{ cm}^3 \times 2500 \text{ kg/cm}^2 \\ &= 2907500 \text{ kg.cm} = 29075 \text{ kg.m} \end{aligned}$$

#### 4.J Kontrol Penampang Terhadap Tekuk Lateral

Jarak penahan lateral ( $L_b$ ) = 0 cm (Tidak terjadi tekan pada sayap)

$$\begin{aligned} L_p &= 294,699 \text{ cm} \\ L_r &= 868,078 \text{ cm} \\ L_b &< L_p < L_r \rightarrow \text{Bentang Pendek} \end{aligned} \quad \left. \right\} \text{ Dari Tabel (Lp & Lr)}$$

$$\begin{aligned} M_{nx} &= M_{px} = Zx \times f_y \\ &= 29075 \text{ kg.m} \end{aligned}$$

$$\begin{aligned} M_{ny} &= M_{py} = Zy \times f_y \\ &= 377 \text{ cm}^3 \times 2500 \text{ kg/m}^2 \\ &= 942500 \text{ kg.cm} = 9425 \text{ kg.m} \end{aligned}$$

$$\begin{aligned} \phi b. M_n &\geq M_u \\ 0,9 \times 29075 \text{ kgm} &\geq 130976 \text{ kgm} \\ 26167,5 \text{ kgm} &\geq 130976 \text{ kgm ..... Oke} \end{aligned}$$

#### 5.J Persamaan Interaksi

$$\frac{M_u}{\phi M_n} \leq 1$$

$$\frac{130976}{0,9 \times 29075} + \frac{0}{0,9 \times 9425} \leq 1$$

$$0,501 \leq 1 ..... \text{OKE}$$

## 6.J Kontrol Geser

$$V_u = 6548,8 \text{ kg}$$

$$\frac{h}{t_w} \leq 1,1 \sqrt{k_v \frac{E}{F_y}} ; k_v = 5 \text{ (SNI 1729:2015, Pasal G2.1)}$$

$$\frac{272}{8} \leq 11 \sqrt{5 \times \frac{200000}{250}}$$

$$34 \leq 69,57 \rightarrow \text{plastis}$$

$$\begin{aligned} \text{Maka, } \emptyset V_n &= 0,9 \times (0,6 f_y A_w) \\ &= 0,9 \times (0,6 \times 2500 \times (33,6 \times 0,8)) = 36288 \text{ kg} \\ \emptyset V_n &\geq V_u \\ 36288 \text{ kg} &> 6548,8 \text{ kg} \rightarrow \text{Oke} \end{aligned}$$

## 7.J Lendutan

$$f_{ijin} = \frac{L}{180} = \frac{800}{360} = 222 \text{ cm}$$

Lendutan akibat beban

$$f_x = \frac{5}{384} \times \frac{(qdl + qll) \cdot L^4}{E \cdot I_x}$$

$$f_x = \frac{5}{384} \times \frac{(7134 + 4882) \cdot 800^4}{2000000 \times 18500} = 1732 \text{ cm}$$

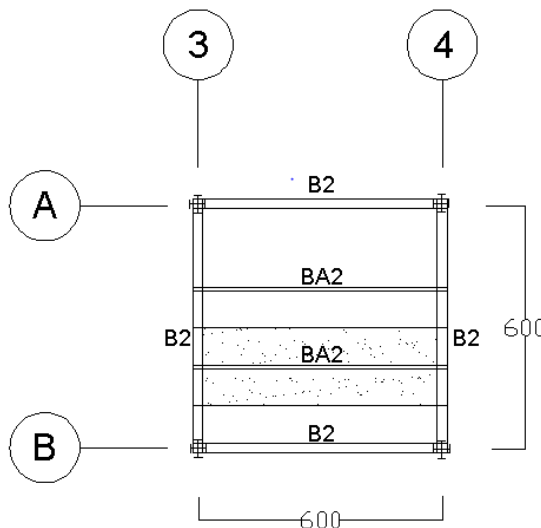
$$f_{ijin} > f_x \rightarrow 2,222 \text{ cm} > 1732 \text{ cm} \rightarrow \text{Oke}$$

Jadi, Profil WF 350 x 250 x 8 x 12 dapat digunakan sebagai balok anak pada lantai bentang 8 m.

#### 4.2.4 Balok Anak Lantai Perkantoran (Bentang 6 m)

anak yang terletak pada lantai akan difungsikan sebagai perkantoran direncanakan menggunakan WF 250 x 175 x 7 x 11, dengan data-data sebagai berikut:

$d$	= 244 mm	$i_x = 10,4 \text{ cm}$
$b_f$	= 175 mm	$i_y = 4,18 \text{ cm}$
$t_f$	= 11 mm	$Z_x = 535 \text{ cm}^3$
$t_w$	= 7 mm	$Z_y = 171 \text{ cm}^3$
$A$	= $56,24 \text{ cm}^2$	$S_x = 502 \text{ cm}^3$
$q$	= $44,1 \text{ kg/m}$	$S_y = 113 \text{ cm}^3$
$I_x$	= $6120 \text{ cm}^4$	$r = 16 \text{ cm}$
$I_y$	= $984 \text{ cm}^4$	$h = d - 2(t_f + r)$
$F_y$	= $250 \text{ Mpa (BJ-41)}$	= 190 mm



Gambar 4.8 Denah Balok Lantai Perkantoran (6m)

#### 1.J Beban- Beban Yang Bekerja

- J Beban Mati ( $q_D$ )

$$\begin{aligned} \text{Berat pelat bondek} &= 10,1 \text{ kg/m}^2 \\ \text{Berat beton } 0,09 \times 2400 &= 216,0 \text{ kg/m}^2 \end{aligned}$$

$$\begin{array}{lcl}
 \text{Berat pelat lantai} & = & 96,0 \quad \text{kg/m}^2 \\
 & = & 322,1 \quad \text{kg/m} \\
 316,1 \text{ kg/m}^2 \times 2 \text{ m} & = & 644,2 \quad \text{kg/m} \\
 \text{Berat profil} & = & 44,1 \quad \text{kg/m} \\
 q_{D\text{total}} & = & 688,3 \quad \text{kg/m}
 \end{array}$$

•J Beban hidup ( $q_L$ )

$$\text{Beban hidup lantai atap} = 244,1 \text{ kg/m}^2$$

$$q_L = 2 \times 244,1 = 488,2 \text{ kg/m}$$

•J Beban berfaktor ( $q_U$ )

$$\begin{aligned}
 q_U &= 1,2 \cdot q_{D\text{total}} + 1,6 \cdot q_L \\
 &= 1,2 \cdot 688,3 + 1,6 \cdot 488,2 \\
 &= 1607,08 \text{ kg/m}
 \end{aligned}$$

## 2.J Gaya Dalam Yang Bekerja Pada Balok

•J Momen

$$Mu = \frac{1}{8} \times qu \times L^2$$

$$Mu = \frac{1}{8} \times 1607,08 \times 6^2$$

$$Mu = 723186 \text{ kgm}$$

•J Gaya Geser

$$Vu = \frac{1}{2} \times qu \times L$$

$$Vu = \frac{1}{2} \times 1607,08 \times 6$$

$$Vu = 482124 \text{ kg}$$

## 3.J Kontrol Kuat Momen Lentur

•J Pelat sayap

$$\frac{bf}{2tf} = \frac{175}{2 \times 11} = 7,95$$

$$\lambda_p = 0.8x \sqrt{\frac{E}{fy}} = 0.8x \sqrt{\frac{200000}{250}} = 1075$$

$\frac{bf}{2tf} < \lambda_p$  maka penampang kompak

- J Pelat badan:

$$\frac{h}{tw} = \frac{190}{7} = 27.14$$

$$\lambda_p = 37.6x \sqrt{\frac{E}{fy}} = 37.6x \sqrt{\frac{200000}{250}} = 106.35$$

- J Karena penampang kompak, maka  $M_n = M_p$

$$\begin{aligned} M_p &= Zx \times F_y \\ &= 535 \text{ cm}^3 \times 2500 \text{ kg/cm}^2 \\ &= 1337500 \text{ kg.cm} = 13375 \text{ kg.m} \end{aligned}$$

#### 4.J Kontrol Penampang Terhadap Tekuk Lateral

Jarak penahan lateral ( $L_b$ ) = 0 cm (Tidak terjadi tekan pada sayap)

$$L_p = 208,082 \text{ cm}$$

$$L_r = 689,211 \text{ cm}$$

$$L_b < L_p < L_r \rightarrow \text{Bentang Pendek}$$

$$\begin{aligned} M_{nx} &= M_{px} = Zx \times f_y \\ &= 13375 \text{ kg.m} \end{aligned}$$

$$\begin{aligned} M_{ny} &= M_{py} = Zy \times f_y \\ &= 171 \text{ cm}^3 \times 2500 \text{ kg/m}^2 \\ &= 427500 \text{ kg.cm} = 4275 \text{ kg.m} \end{aligned}$$

$$\phi b. M_n \geq M_u$$

$$0.9 \times 13375 \text{ kgm} \geq 723186 \text{ kgm}$$

$$12037.5 \text{ kgm} \geq 723186 \text{ kgm} \dots\dots \text{Oke}$$

## 5.J Persamaan Interaksi

$$\frac{M_u}{\phi M_n} \leq 1$$

$$\frac{723136}{09 \times 13375} + \frac{0}{09 \times 4275} \leq 1$$

$0,601 \leq 1$  .....OKE

## 6.J Kontrol Geser

$$V_u = 4821,24 \text{ kg}$$

$$\frac{h}{tw} \leq 1,1 \sqrt{k_v \frac{E}{F_y}} \quad ; \quad k_v = 5 \text{ (SNI 1729:2015, Pasal G2.1)}$$

$$\frac{190}{7} \leq 11 \sqrt{5 \times \frac{200000}{250}}$$

$$27,14 \leq 69,57 \rightarrow \text{plastis}$$

$$\begin{aligned} \text{Maka, } \emptyset V_n &= 0,9 \times (0,6 f_y A_w) \\ &= 0,9 \times (0,6 \times 2500 \times (24,4 \times 0,7)) = 23058 \text{ kg} \\ \emptyset V_n &\geq V_u \\ 23058 \text{ kg} &> 4821,24 \text{ kg} \rightarrow \text{Oke} \end{aligned}$$

## 7.J Lendutan

$$f_{ijin} = \frac{L}{180} = \frac{600}{360} = 1667 \text{ cm}$$

Lendutan akibat beban

$$f_x = \frac{5}{384} \times \frac{(qdl + qll) \cdot L^4}{E \cdot I_x}$$

$$fx = \frac{5}{384} x \frac{(6883 + 4882)600^4}{2000000x 6120} = 1622 \text{ cm}$$

$f_{ijin} > fx \rightarrow 1,667 \text{ cm} > 1,622 \text{ cm}$  (Oke)

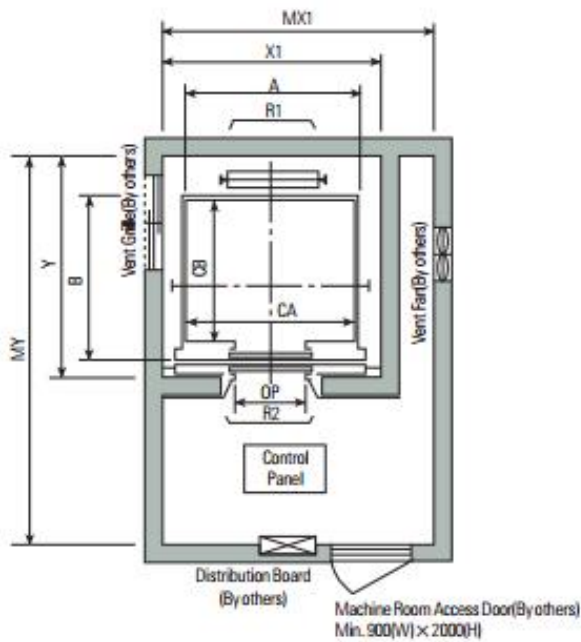
Jadi, Profil WF 250 x 175 x 7 x 11 dapat digunakan sebagai balok anak pada lantai bentang 6 m.

### 4.3 Perencanaan Balok Penggantung Lift 1 Car

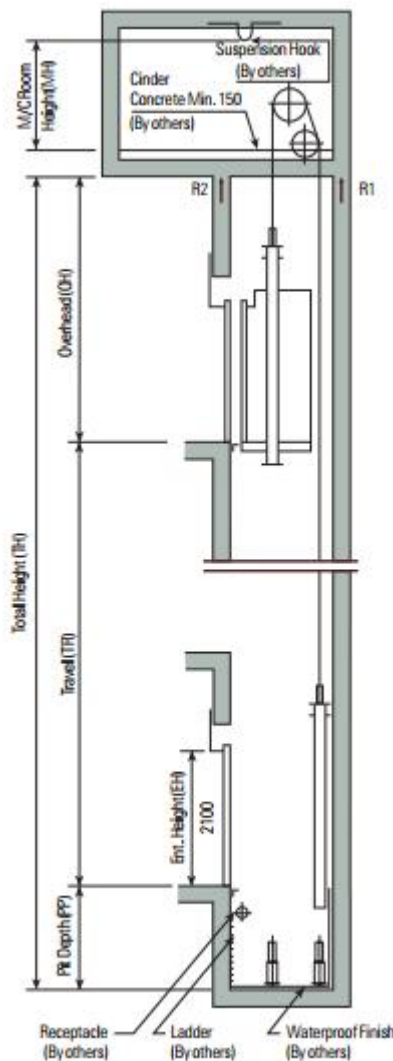
#### 4.3.1 Spesifikasi Lift

Pada perencanaan balok lift meliputi balok-balok yang berkaitan dengan ruang mesin lift yaitu terdiri dari balok penumpang dan balok penggantung lift. Pada bangunan ini menggunakan lift penumpang dengan data-data sebagai berikut:

- J Tipe lift : *Passenger Elevators*
  - J Merek : HYUNDAI
  - J Kapasitas : 11 Orang / 750 kg
  - J Lebar pintu (*opening width*) : 800 mm
  - J Dimensi ruang luncur (*hoistway inside*) 1 Car : 1800 x 1930 mm<sup>2</sup>
  - J Dimensi sangkar (*Car size*)
    - Internal : 1400 x 1350 mm<sup>2</sup>
    - Eksternal : 1460 x 1505 mm<sup>2</sup>
  - J Dimensi ruang mesin (*1 Car*): 2000 x 3700 mm<sup>2</sup>
  - J Beban reaksi ruang mesin :
- R<sub>1</sub> = 4550 kg  
 R<sub>2</sub> = 2800 kg



Gambar 4.9 Lift



Gambar 4.10 Hoistway Section

### 4.3.2 Rencana Balok Penggantung Lift

Balok penggantung lift direncanakan menggunakan profil WF 350 x 250 x 8 x 12, dengan data-data sebagai berikut:

d	= 336 mm	ix = 14,5 cm
bf	= 249 mm	iy = 5,92 cm
tf	= 12 mm	Zx = 1163 cm <sup>3</sup>
tw	= 8 mm	Zy = 377 cm <sup>3</sup>
A	= 88,15 cm <sup>2</sup>	Sx = 1100 cm <sup>3</sup>
q	= 69,2 kg/m	Sy = 248 cm <sup>3</sup>
Ix	= 18500 cm <sup>4</sup>	r = 20 cm
Iy	= 3090 cm <sup>4</sup>	h = d - 2(tf+r)
Fy	= 250 Mpa (BJ-41)	= 272 mm

#### •J Pembebanan Balok Penggantung Lift

##### -J Beban mati

$$\begin{aligned} \text{Berat profil balok penggantung lift} &= 69,2 \text{ kg/m} \\ \text{Berat sambungan (10\%)} &= 6,92 \text{ kg/m} \\ qd &= 76,12 \text{ kg/m} \end{aligned}$$

##### -J Beban hidup

Digunakan beban hidup untuk *maintenance*

$$\text{Beban hidup terpusat (P)} = 100 \text{ kg}$$

##### -J Beban merata ultimate

$$\begin{aligned} qu &= 1,2 \times qd + 1,6 \times P \\ &= (1,2 \times 76,12) + (1,6 \times 100) = 251,34 \text{ kg/m} \end{aligned}$$

##### -J Beban terpusat lift

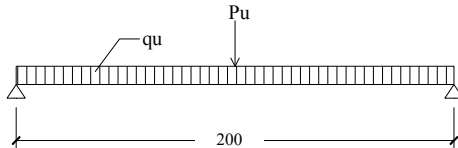
Pada pasal 4.7 Impact load RSNI-03-1727 (Peraturan Pembebanan Untuk Bangunan Rumah dan Gedung) menyatakan bahwa semua beban elevator harus ditingkatkan 100% untuk beban kejut dan tumpuan struktur harus direncanakan berdasarkan beban lendutan atau spesifikasi teknik dari pembuat.

Pada tabel perencanaan lift diperoleh:

$$\begin{aligned} PU_1 &= R_1 \cdot (1+100\%) \\ &= 4550 \times (1+100\%) = 9100 \text{ kg} \end{aligned}$$

$$\begin{aligned} PU_2 &= R_2 \cdot (1+100\%) \\ &= 2800 \times (1+100\%) = 5600 \text{ kg} \\ \text{Dipilih beban PU terbesar} &= 9100 \text{ kg} \end{aligned}$$

•J Perhitungan Gaya Dalam Balok Penggantung Lift



Gambar 4.11 Model Pembebatan Balok Penggantung Lift

-J Reaksi perletakan

$$\begin{aligned} Ra = Rb &= \frac{1}{2} \times qu \times L + \frac{1}{2} \times Pu \\ &= \frac{1}{2} \times 25134 \times 2 + \frac{1}{2} \times 9100 \\ &= 4801344 \text{ kg} \end{aligned}$$

-J Momen maksimum

$$\begin{aligned} M_{max} &= \frac{1}{8} \times qu \times L^2 + \frac{1}{4} \times Pu \times L \\ &= \frac{1}{8} \times 25134 \times 2^2 + \frac{1}{4} \times 9100 \times 2 \\ &= 88169 \text{ kgm} \end{aligned}$$

-J Gaya geser

$$\begin{aligned} Vu &= Ra \\ &= 4801344 \text{ kg} \end{aligned}$$

•J Kontrol Kuat Momen Lentur

-J Pelat sayap:

$$\frac{bf}{2tf} = \frac{249}{2 \times 12} = 10.38$$

$$\lambda_p = \frac{170}{\sqrt{fy}} = 10.75$$

$$\frac{bf}{2tf} < \lambda_p \rightarrow \text{Penampang Kompak}$$

-J Pelat badan:

$$\frac{h}{tw} = \frac{272}{8} = 34$$

$$\lambda_p = \frac{1680}{\sqrt{f_y}} = 10625$$

$$\frac{h}{tw} < \lambda_p \rightarrow \text{Penampang Kompak}$$

-J Karena penampang kompak, maka  $M_n = M_p$

$$M_p = Zx \times f_y$$

$$= 1163 \text{ cm}^3 \times 2500 \text{ kg/m}^2$$

$$= 2907500 \text{ kg.cm} = 29075 \text{ kg.m}$$

•J Kontrol Penampang Terhadap Tekuk Lateral

Jarak penahan lateral ( $L_b$ ) = 200 cm

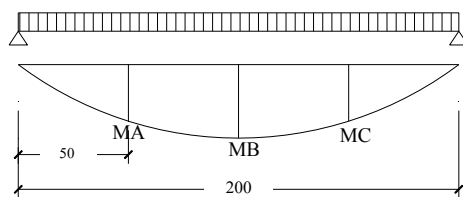
$L_p = 193,145 \text{ cm}$  } Dari Tabel ( $L_p$  &  $L_r$ )

$L_r = 533,944 \text{ cm}$

$L_p < L_b < L_r \rightarrow \text{Bentang Menengah}$

Karena bentang menengah, maka:

$$M_n = Cb \left[ M_r + (M_p - M_r) \frac{Lr - Lb}{Lr - Lp} \right] \leq M_p$$



Gambar 4.12 Diagram Momen Balok Penggantung Lift

$$M_A = M_C$$

$$= R_A \times (L/4) - q_u \times (L/4) \times (L/8)$$

$$= 4801344 \times 0,5 - 251,34 \times 0,5 \times 2/8$$

$$= 2369,254 \text{ kg.m}$$

$$M_B = M_{\text{Max}}$$

$$= 4675,672 \text{ kg}$$

$$\begin{aligned}
 Cb &= \frac{125 M_{max}}{25 M_{max} + 3 M_A + 4 M_B + 3 M_C} \leq 23 \\
 &= \frac{125 M_{max}}{254675,72 + 3236254 + 44675,72 + 3236254} \\
 &= 131 \leq 23 \rightarrow Cb = 131 \\
 M_p &= Zx \cdot f_y \\
 &= 1163 \cdot 2500 = 2907500 \text{ kg.cm} = 29075 \text{ kg.m} \\
 M_r &= Sx \cdot (f_y - f_r) \\
 &= 1100 \cdot (2500 - 700) = 1980000 \text{ kg.cm} = 19800 \text{ kg.m} \\
 M_n &= Cb \left[ M_r + (M_p - M_r) \frac{L_r - L_b}{L_r - L_p} \right] \\
 &= 131 \left[ 19800 + (29075 - 19800) \frac{533944 - 200}{533944 - 193145} \right] \\
 &= 37850,7 \text{ kgm} > M_p \rightarrow \text{Maka dipakai } M_p
 \end{aligned}$$

Cek kemampuan Penampang

$$\begin{aligned}
 \phi_b \cdot M_n &\geq M_u \\
 \phi_b \cdot M_n &= 0,9 \times 29075 \text{ kg.m} \\
 &= 26168 \text{ kg.m} \geq 4675,672 \text{ kg.m}
 \end{aligned}$$

#### •J Kontrol Geser

$$\begin{aligned}
 V_u &= 4801,344 \text{ kg} \\
 \frac{h}{tw} &\leq \frac{1100}{\sqrt{f_y}} \rightarrow \frac{272}{8} \leq \frac{1100}{\sqrt{f_y}} \\
 34 &\leq 69,7 \rightarrow \text{Plastis} \\
 \text{Maka, } V_n &= 0,6 f_y A_w \\
 &= 0,6 \times 2500 \times (33,6 \times 0,8) = 40320 \text{ kg} \\
 \phi V_n &\geq V_u \\
 \phi V_n &= 0,9 \cdot 40320 \text{ kg} \\
 &= 36288 \text{ kg} > 4801,344 \text{ kg(OK)}
 \end{aligned}$$

#### •J Lendutan

$$f_{ijin} = \frac{L}{360} \rightarrow \frac{200}{360} = 0,556 \text{ cm}$$

Lendutan akibat beban

$$f^o = \frac{5((qdl + ql)/100)l^4}{384.EI_x} + \frac{P l^3}{48 EI_x}$$

$$f^o = \frac{5 \times ((7612 + 100)/100) \times 2}{384 \times 2 \times 10^6 \times 18500} + \frac{9100 \times 200^3}{48 \times 2 \times 10^6 \times 18500}$$

$$= 0,81 \text{ cm}$$

$$f_{ijin} > f^o \rightarrow 0,56 \text{ cm} > 0,42 \text{ cm (OK)}$$

“ Profil WF WF 350 x 250 x 8 x 12 dapat digunakan sebagai balok penggantung lift”

#### 4.4 Perencanaan Tangga Dan Bordes

Tangga adalah sebuah konstruksi yang dirancang untuk menghubungi dua tingkat vertikal yang memiliki jarak satu sama lain. Pada gedung perkantoran Unesa ini struktur tangga direncanakan menggunakan konstruksi dari baja.

##### Data Teknis Tangga

-J Mutu baja	= BJ-41
-J Tinggi antar lantai	= 400 cm
-J Tinggi bordes	= 200 cm
-J Panjang tangga	= 360 cm
-J Lebar tangga	= 120 cm
-J Lebar bordes	= 100 cm
-J Lebar injakan (i)	= 30 cm
-J Lebar pegangan tangga	= 10 cm

##### 4.4.1 Perencanaan Tangga

Persyaratan-persyaratan jumlah injakan tangga

$$60 \text{ cm} \leq (2t + i) \leq 65 \text{ cm}$$

$$25^\circ < a < 40^\circ$$

Dimana :

$$t = \text{tinggi injakan (cm)}$$

$$i = \text{lebar injakan (cm)}$$

$$a = \text{kemiringan tangga}$$

- J Perhitungan Jumlah Injakan dan Kemiringan Tangga  
Tinggi injakan ( $t$ ) = 16 cm

$$\text{Jumlah tanjakan} = \frac{(400/2)}{16} = 12,5 \text{ buah} = 13 \text{ buah}$$

$$\text{Jumlah injakan (n)} = 13 - 1 = 12 \text{ buah}$$

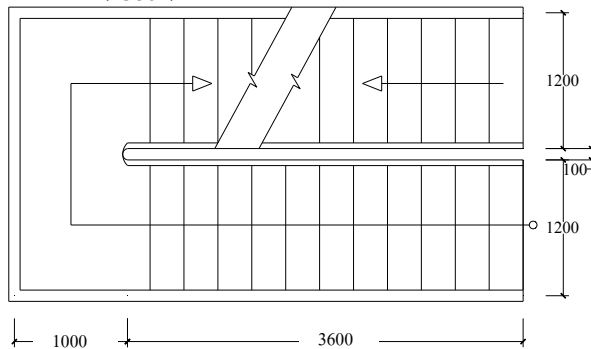
$$60 \text{ cm} \leq (2 \times 16 + 30) \leq 65 \text{ cm}$$

$$60 \text{ cm} < (62) < 65 \text{ cm (OK)}$$

Lebar bordes= 100 cm

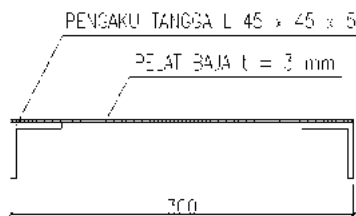
Lebar tangga= 120 cm

$$a = \text{arc tg} \left( \frac{400/2}{360} \right) = 29,05^\circ$$



Gambar 4.13 Denah Tangga

- J Perencanaan Anak Tangga



Gambar 4.14 Pelat Anak Tangga

- J Perencanaan Tebal Anak Tangga

Tebal pelat tangga = 4 mm

Berat jenis baja =  $7850 \text{ kg/m}^3$

Mutu baja BJ 41 →  $f_y = 2500 \text{ kg/m}^2$

- J Perencanaan pembebanan pelat tangga

Beban mati

$$\begin{aligned} \text{Berat pelat} &= 0,004 \times 1,2 \times 7850 = 37,68 \text{ kg/m} \\ \text{Alat penyambung (10\%)} &\quad = 3,768 \text{ kg/m} + \\ q_D &= 41,45 \text{ kg/m} \end{aligned}$$

Beban hidup

$$q_L = 488,2 \times 1,2 = 586,08 \text{ kg/m}$$

- J Perhitungan  $M_D$  dan  $M_L$

$$M_D = 1/8 q_D l^2 = 1/8 \times 41,45 \times 0,3^2 = 0,47 \text{ kg.m}$$

$$M_L = 1/8 q_L l^2 = 1/8 \times 586,08 \times 0,3^2 = 6,59 \text{ kg.m}$$

$$M_L = 1/4 P_L l = 1/4 \times 136,1 \times 0,3 = 10,21 \text{ kg.m} \text{ (menentukan)}$$

- J Perhitungan kombinasi pembebanan  $M_U$

$$M_U = 1,4 M_D = 1,4 \times 0,47 \text{ kgm} = 0,65 \text{ kg.m}$$

$$\begin{aligned} M_U &= 1,2 M_D + 1,6 M_L = 1,2 \times 0,47 + 1,6 \times 10,21 \\ &= 16,89 \text{ kg.m} \text{ (menentukan)} \end{aligned}$$

- J Kontrol momen lentur

$$Zx = \frac{1}{4} bh^2 = 0,25 \times 120 \times 0,4^2 = 4,8 \text{ cm}^3$$

$$\begin{aligned} \Omega Mn &= \Omega Zx \times fy = 0,9 \times 4,8 \times 2500 = 10800 \text{ kg.cm} \\ &= 108 \text{ kg.m} \end{aligned}$$

Syarat :  $\Omega Mn > Mu$

$$108 \text{ kg.m} > 16,89 \text{ kg.m} \text{ (OK)}$$

- J Kontrol lendutan

$$f_{ijin} = \frac{L}{360} = \frac{30}{360} = 0,083$$

$$I_x = \frac{1}{12} bh^3 = \frac{1}{12} \times 120 \times 0,4^3 = 0,64 \text{ cm}^4$$

$$f^o = \frac{5 \left( \frac{(qdl+ql)}{100} \right) l^4}{384 \cdot EI_x}$$

$$= \frac{5((41,45 + 586,08)/100)30^4}{384 \cdot 210 \cdot 0,64} = 0,052$$

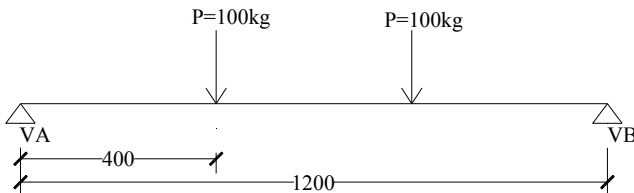
$$f^o < f_{ijin} \rightarrow 0,052 < 0,083 \text{ cm}$$

#### 4.4.2 Perencanaan Pengaku Anak Tangga

Direncanakan menggunakan profil siku 50 x 50 x 6 dengan data sebagai berikut :

$$\begin{array}{lll} b = 50 \text{ mm} & I_x = 12,6 \text{ cm}^4 & Z_x = 3,55 \text{ cm}^3 \\ t_w = 6 \text{ mm} & I_y = 12,6 \text{ cm}^4 & i_x = 1,5 \text{ cm} \\ W = 4,43 \text{ kg/m} & A = 5,644 \text{ cm}^2 & i_y = 1,5 \text{ cm} \end{array}$$

##### -J Perencanaan pembebanan



Gambar 4.15 Model Pembebanan Pelat Tangga

Beban mati (1/2 lebar injakan)

$$\text{Berat pelat} = (0,3 \times 0,5) \times 0,004 \times 7850 = 4,71 \text{ kg/m}$$

$$\begin{aligned} \text{Berat baja siku } 50 \times 50 \times 6 &= 4,43 \text{ kg/m} \\ &= 9,14 \text{ kg/m} \end{aligned}$$

$$\begin{aligned} \text{Alat penyambung (10\%)} &= 0,91 \text{ kg/m} \\ q_D &= 10,05 \text{ kg/m} \end{aligned}$$

Beban hidup (1/2 lebar injakan)

$$q_L = 488,4 \times (0,3 \times 0,5) = 73,26 \text{ kg/m}$$

$$p_L = 136,1 \text{ kg}$$

##### -J Perhitungan $M_D$ dan $M_L$

$$\begin{aligned} M_D &= 1/8 \times q_D \times L^2 \\ &= 1/8 \times 10,05 \times 1,2^2 = 1,81 \text{ kg.m} \end{aligned}$$

$$\begin{aligned} M_L &= 1/8 \times q_L \times L^2 \rightarrow \text{akibat beban merata} \\ &= 1/8 \times 73,26 \times 1,2^2 = 13,18 \text{ kg.m} \end{aligned}$$

$$\begin{aligned} M_L &= 1/3 \times P \times L \rightarrow \text{akibat beban terpusat} \\ &= 1/3 \times 136,1 \times 1,2 = 54,44 \text{ kg.m} \end{aligned}$$

$$\begin{aligned} V_u &= 12 \left( \frac{1}{2} \times q_D \times 12 \right) + 16 \left( \frac{1}{2} \times P \times 2 \right) \\ &= 12 \left( \frac{1}{2} \times 10,05 \times 12 \right) + 16 \left( \frac{1}{2} \times 136,1 \times 2 \right) \\ &= 225 \text{ kg} \end{aligned}$$

-J Perhitungan kombinasi pembebanan  $M_U$

$$\begin{aligned} M_U &= 1,2 M_D + 1,6 M_L \\ &= 1,2 \times 1,81 + 1,6 \times 54,44 = 89,28 \text{ kg.m} \end{aligned}$$

-J Kontrol penampang profil

Pelat sayap :

$$\lambda = \frac{b}{t} = \frac{50}{6} = 8,3$$

$$\lambda_p = \frac{170}{\sqrt{f_y}} = \frac{170}{\sqrt{250}} = 10,5$$

$\lambda < \lambda_p$  penampang kompak

Karena penampang kompak, maka  $M_n = M_p$

$$\begin{aligned} Zx &= (tw \times d) \frac{1}{2} d + (tw(b-tw)) \frac{1}{2} tw \\ &= (0,6 \times 5)^{\frac{1}{2}} \times 5 + (0,6 \times (5 - 0,6))^{\frac{1}{2}} \times 0,6 \\ &= 8,292 \text{ cm}^3 \end{aligned}$$

$$\begin{aligned} M_p &= f_y \times Zx = 2500 \times 8,292 = 20730 \text{ kg.cm} \\ &= 207,3 \text{ kg.m} \end{aligned}$$

$$\varnothing_b \cdot M_n \geq M_u$$

$$\begin{aligned} \varnothing_b \cdot M_n &= 0,9 \times 207,3 \\ &= 186,57 \text{ kg.m} \geq 89,28 \text{ kg.m (OK)} \end{aligned}$$

-J Kontrol kuat geser

$$\frac{h}{t} = \frac{(50 - 6)}{6} = 7,3 ; \quad \frac{1100}{\sqrt{f_y}} = \frac{1100}{\sqrt{250}} = 6,97$$

$$\frac{h}{t} \leq \frac{1100}{\sqrt{f_y}} \rightarrow \text{plastis}$$

$$\begin{aligned} \text{maka } V_n &= 0,6 \times f_y \times A_w \\ &= 0,6 \times 2500 \times (5 \times 0,6) \\ &= 4500 \text{ kg} \end{aligned}$$

$$\varnothing V_n \geq V_u$$

$$\begin{aligned} \varnothing V_n &= 0,9 \times 4500 \text{ kg} \\ &= 4050 \text{ kg} \geq 225 \text{ kg (OK)} \end{aligned}$$

-J Kontrol lendutan

$$f_{ijin} = \frac{L}{240} = \frac{120}{240} = 050$$

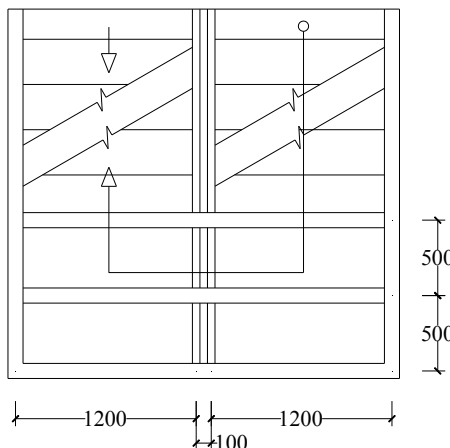
$$f^o = \frac{5((qdl + ql)/100)\ell^4}{384.EI_x} + \frac{23}{648} \frac{P l^3}{EI_x}$$

$$f^o = \frac{5((1005 + 7323)/100)120^4}{384.210^6 126} + \frac{23}{648} \frac{1361120^3}{210^6 126}$$

$$= 034$$

$$f^o < f_{ijin} \rightarrow 034 \text{ cm} < 050 \text{ cm (OK)}$$

#### 4.4.3 Perencanaan Bordes



Gambar 4.16 Denah Bordes

##### 4.4.3.1 Pelat Bordes

Tebal pelat bordes = 5 mm

Berat jenis baja = 7850 kg/m<sup>3</sup>

Mutu baja BJ 41 → fy = 2500 kg/m<sup>2</sup>

-J Perencanaan pembebatan pelat bordes  
Beban mati

$$\begin{array}{rcl} \text{Berat pelat} = 0,005 \times 1,2 \times 7850 & = 47,10 \text{ kg/m} \\ \text{Alat penyambung (10\%)} & = 4,71 \text{ kg/m} + \\ & \hline q_D & = 51,81 \text{ kg/m} \end{array}$$

Beban hidup

$$q_L = 488,4 \text{ kg/m}^2 \times 1,2 \text{ m} = 586,08 \text{ kg.m}$$

- J Perhitungan  $M_D$  dan  $M_L$

$$\begin{aligned} M_D &= 1/8 \times q_D \times l^2 \\ &= 1/8 \times 51,81 \times (0,5)^2 = 1,62 \text{ kg.m} \end{aligned}$$

$$\begin{aligned} M_L &= 1/8 \times q_L \times l^2 \\ &= 1/8 \times 586,08 \times (0,5)^2 = 18,32 \text{ kg.m} \end{aligned}$$

- J Kombinasi pembebanan  $M_U$

$$\begin{aligned} M_U &= 1,4 M_D \\ &= 1,4 \times 1,62 = 2,27 \text{ kg.m} \end{aligned}$$

$$\begin{aligned} M_U &= 1,2 M_D + 1,6 M_L \\ &= 1,2 \times 1,62 + 1,6 \times 18,32 = 31,25 \text{ kg.m} \text{ (menentukan)} \end{aligned}$$

- J Kontrol momen lentur

$$Zx = \frac{1}{4} bh^2 = \frac{1}{4} \times 120 \times 0,5^2 = 7,5 \text{ cm}^3$$

$$\begin{aligned} M_n &= Zx \cdot f_y = 7,5 \times 2500 \\ &= 18750 \text{ kg.cm} = 187,5 \text{ kg.m} \end{aligned}$$

- J Cek kemampuan penampang

$$\phi_b \cdot M_n \geq M_u$$

$$\begin{aligned} \phi_b \cdot M_n &= 0,9 \times 187,5 \\ &= 168,75 \text{ kgcm} \geq 31,25 \text{ kgcm (OK)} \end{aligned}$$

- J Kontrol lendutan

$$f_{ijin} = \frac{L}{240} = \frac{50}{240} = 0,21$$

$$I_x = \frac{1}{12} b h^3 = \frac{1}{12} \times 120 \times 0,5^3 = 125 \text{ cm}^4$$

$$\begin{aligned} f_o &= \frac{5 \left( \frac{(qdl+ql^2)}{100} \right) l^4}{384 \cdot EI_x} \\ &= \frac{5((5181 + 58608)/100)50^4}{384 \cdot 210^6 \cdot 125} = 0,07 \end{aligned}$$

$$f_o < f_{ijin} \rightarrow 0,07 \text{ cm} < 0,21 \text{ cm}$$

#### 4.4.3.2 Perencanaan Balok Bordes

Direncanakan memakai profil WF 100 x 50 x 5 x 7

d	= 100 mm	ix = 3,98 cm
bf	= 50 mm	iy = 1,12 cm
tf	= 7 mm	Zx = 42 cm <sup>3</sup>
tw	= 5 mm	Zy = 9 cm <sup>3</sup>
A	= 11,85 cm <sup>2</sup>	Sx = 37,5 cm <sup>3</sup>
q	= 9,3 kg/m	Sy = 5,91 cm <sup>3</sup>
Ix	= 187 cm <sup>4</sup>	r = 16 cm
Iy	= 14,8 cm <sup>4</sup>	h = d - 2(tf+r)
Fy	= 250 Mpa (BJ-41)	= 342 mm

-J Perencanaan pembebanan balok bordes

##### Beban mati

$$\begin{aligned} \text{Berat pelat} &= 0,005 \times 0,75 \times 7850 &= 29,44 \text{ kg/m} \\ \text{Berat profil} &&= 9,3 \text{ kg/m} \\ &&= 38,74 \text{ kg/m} \\ \text{Berat sambungan dll 10\%} &&= 3,87 \text{ kg/m} \\ q_D &&= 42,61 \text{ kg/m} \end{aligned}$$

##### Beban hidup

$$\begin{aligned} \text{Lantai perkantoran} &= 488,4 \text{ kg/m}^2 \\ \text{Total beban hidup (q}_L\text{)} &= 0,75 \times 488,4 = 366,3 \text{ kg/m} \end{aligned}$$

##### Perhitungan gaya dalam

$$\begin{aligned} V_D &= \frac{1}{2} \cdot q_D \cdot L \\ &= \frac{1}{2} \times 42,61 \times 1,2 \\ &= 25,57 \text{ kg} \end{aligned}$$

$$\begin{aligned} M_D &= \frac{1}{8} \cdot q_D \cdot L^2 \\ &= \frac{1}{8} \times 42,61 \times (1,2)^2 \\ &= 7,67 \text{ kg.m} \end{aligned}$$

$$\begin{aligned} V_L &= \frac{1}{2} \times q_L \times L \\ &= \frac{1}{2} \times 366,3 \times 1,2 \\ &= 219,78 \text{ kg} \end{aligned}$$

$$\begin{aligned} M_L &= \frac{1}{8} \times q_L \times L^2 \\ &= \frac{1}{8} \times 366,3 \times (1,2)^2 \\ &= 65,95 \text{ kg.m} \end{aligned}$$

-J Kombinasi pembebanan

$$\begin{aligned}V_U &= 1,2V_D + 1,6V_L \\&= 1,2(25,57) + 1,6(219,78) = 382,33 \text{ kg}\end{aligned}$$

$$\begin{aligned}M_U &= 1,2 M_D + 1,6 M_L \\&= 1,2(7,67) + 1,6(65,95) = 114,70 \text{ kg.m}\end{aligned}$$

-J Kontrol penampang

Pelat sayap :

$$\lambda = \frac{b_f}{2t_f} = \frac{50}{2 \times 7} = 3,57$$

$$\lambda_p = \frac{170}{\sqrt{f_y}} = \frac{170}{\sqrt{250}} = 10,75$$

$\lambda < \lambda_p \rightarrow$  penampang kompak

Pelat badan :

$$\lambda = \frac{h}{tw} = \frac{100 - 2(8 + 7)}{5} = 14$$

$$\lambda_p = \frac{1680}{\sqrt{f_y}} = \frac{1680}{\sqrt{250}} = 10,625$$

$\lambda < \lambda_p \rightarrow$  penampang kompak

-J Karena penampang kompak, maka  $M_n = M_p$

$$\begin{aligned}M_p &= f_y \cdot Zx = 2500 \times 42 \\&= 105000 \text{ kg.cm} \\&= 1050 \text{ kg.m}\end{aligned}$$

-J Cek kemampuan penampang

$$\emptyset_b \cdot M_n \geq M_u$$

$$\begin{aligned}\emptyset_b \cdot M_n &= 0,9 \times 1050 \\&= 945 \text{ kg.m} \geq 114,70 \text{ kg.m (OK)}\end{aligned}$$

-J Kontrol kuat geser

$$V_u = 382,33 \text{ kg}$$

$$\frac{h}{tw} \leq \frac{1100}{\sqrt{f_y}} \rightarrow \frac{70}{5} \leq \frac{1100}{\sqrt{f_y}}$$

$14 \leq 6,957 \rightarrow$  Plastis

$$\begin{aligned}\text{Maka, } V_n &= 0,6 f_y A_w \\&= 0,6 \times 2500 \times (10 \times 0,5) = 7500 \text{ kg}\end{aligned}$$

$$\begin{aligned}\emptyset V_n &\geq V_u \\ \emptyset V_n &= 0,9 \cdot 7500 \text{ kg} \\ &= 6750 \text{ kg} > 382,33 \text{ kg (OK)}\end{aligned}$$

-J Kontrol lendutan

$$f_{ijin} = \frac{L}{360} \rightarrow \frac{120}{360} = 0,33 \text{ cm}$$

Lendutan akibat beban

$$\begin{aligned}f_x &= \left( \frac{5}{384} \cdot \frac{(qdl + ql) L^4}{EIx} \right) \\ &= \left( \frac{5}{384} \cdot \frac{(4261 + 3663) 10^{-2} 120^4}{210 \cdot 187} \right) \\ &= 0,3 \text{ cm}\end{aligned}$$

$$f_{ijin} > f_x \rightarrow 0,33 \text{ cm} > 0,3 \text{ cm (OK)}$$

Profil WF 100 x 50 x 5 x 7 dapat digunakan sebagai balok bordes pada anak tangga”.

#### 4.4.4 Balok Utama Tangga

Balok utama tangga dianalisa dengan anggapan terletak di atas dua tumpuan sederhana dengan menerima beban merata yang berasal dari berat sendiri dan beban dari anak tangga. Balok utama direncanakan menggunakan profil WF 200 x 100 x 4,5 x 7, dengan spesifikasi sebagai berikut :

d	= 198 mm	$i_x = 8,26 \text{ cm}$
bf	= 100 mm	$i_y = 2,21 \text{ cm}$
tf	= 7 mm	$Z_x = 170 \text{ cm}^3$
tw	= 4,5 mm	$Z_y = 35 \text{ cm}^3$
A	= 23,18 $\text{cm}^2$	$S_x = 160 \text{ cm}^3$
q	= 18,2 kg/m	$S_y = 23 \text{ cm}^3$
$I_x$	= 1580 $\text{cm}^4$	r = 11 cm
$I_y$	= 114 $\text{cm}^4$	$h = d - 2(tf+r)$
Fy	= 250 Mpa (BJ-41)	= 162 mm

•J Perencanaan Pembebanan Anak Tangga

Beban mati (anak tangga)

$$\begin{aligned}
 \text{Berat pelat } 0,004 \times (1,2 \times 0,5) \times 7850 &= 18,84 \text{ kg/m} \\
 \text{Berat profil siku} &= 4,43 \text{ kg/m} \\
 \text{Berat profil balok } 18,2 / \cos(29,05) &= 20,82 \text{ kg/m} + \\
 &= 44,09 \text{ kg/m} \\
 \text{Berat alat penyambung } 10\% &= 4,41 \text{ kg/m} + \\
 q_{D1} &= 48,50 \text{ kg/m}
 \end{aligned}$$

Beban hidup

$$\begin{aligned}
 q_{L1} &= 488,4 \times 0,6 / \cos 29,05 = 335,23 \text{ kg/m} \\
 q_{U1} &= 1,2 q_D + 1,6 q_L \\
 &= 1,2 \times 48,50 + 1,6 \times 335,23 \\
 &= 594,56 \text{ kg/m}
 \end{aligned}$$

•J Perencanaan Pembebanan Dan Gaya Dalam Bordes

Beban mati

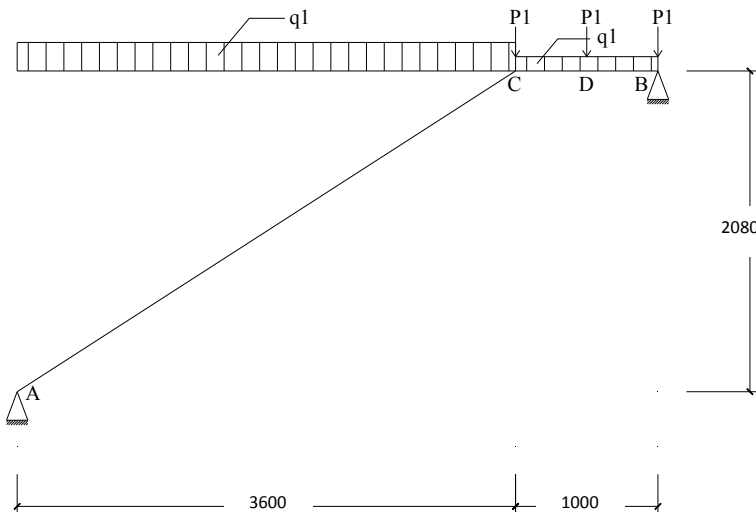
$$\begin{aligned}
 \text{Berat profil} &= 18,20 \text{ kg/m} \\
 \text{Berat bordes } 0,005 \times 0,6 \times 7850 &= 23,55 \text{ kg/m} + \\
 &= 41,75 \text{ kg/m} \\
 \text{Berat penyambung } 10\% &= 4,175 \text{ kg/m} + \\
 q_{D2} &= 45,93 \text{ kg/m}
 \end{aligned}$$

Beban hidup

$$\begin{aligned}
 q_{L2} &= 488,4 \times 0,6 = 293,04 \text{ kg/m} \\
 q_{U2} &= 1,2 q_{D2} + 1,6 q_{L2} \\
 &= 1,2 \times 45,93 + 1,6 \times 293,04 = 518,96 \text{ kg/m}
 \end{aligned}$$

Beban terpusat akibat balok bordes

$$p_1 = 9,3 \times 0,6 = 5,58 \text{ kg}$$



Gambar 4.17 Model Pembebatan Balok Utama Tangga

-JPerhitungan pembebatan

$$\Sigma Ma = 0$$

$$Rb \cdot 4,6 - p1 \cdot 3,6 - p1 \cdot 4,1 - p1 \cdot 4,6 - qu1 \cdot 3,6 \cdot 1,8 - qu2 \cdot 1,4 \cdot 1 = 0$$

$$Rb = \frac{558 \times 36 + 558 \times 41 + 558 \times 46 + 594,567 \times 36 \times 1,8 + 523,974 \times 1 \times 41}{46}$$

$$= 1319,50 \text{ kg}$$

$$\Sigma Mb = 0$$

$$Ra \cdot 4,6 - p1 \cdot 1 - p1 \cdot 0,5 - qu1 \cdot 3,6 \cdot 2,8 - qu2 \cdot 1 \cdot 0,5 = 0$$

$$Ra = \frac{558 \times 1 + 558 \times 0,5 + 594,567 \times 36 \times 2,8 + 523,974 \times 1 \times 0,5}{46}$$

$$= 1361,65 \text{ kg}$$

Kontrol:

$$\sum V = Ra + Rb - qu_1 \times 3,6 - qu_2 \times 1 - V \times 3$$

$$= 1361,65 + 1319,50 - 594,567 \times 3,6 - 523,974 \times 1 - 5,58 \times 3$$

$$= 0 (\text{OK})$$

Bidang M

-J a - c :

$$\begin{aligned}Mx &= Ra \cdot x - \frac{1}{2} qu_1 \cdot x^2 \\&= 1361,65 \cdot x - \frac{1}{2} 594,567 \cdot x^2\end{aligned}$$

$$x = 0 \text{ m}$$

$$Ma = 0 \text{ kg.m}$$

$$x = 3,6 \text{ m}$$

$$Mc = 594,567 \cdot 3,6 - \frac{1}{2} \cdot 594,567 \cdot 3,6^2 = 1049,147 \text{ kg.m}$$

Momen maksimum terjadi apabila  $\frac{dM_x}{dx} = 0$

$$\frac{dM_x}{dx} = 1361,65 - 594,567 \cdot x = 0$$

$$x = 2,29 \text{ m}$$

$$\begin{aligned}M_{\max} &= 1361,65x 2,29 - \frac{1}{2} x 594,567x 2,29^2 \\&= 1559,195 \text{ kg.m}\end{aligned}$$

-J b - d :

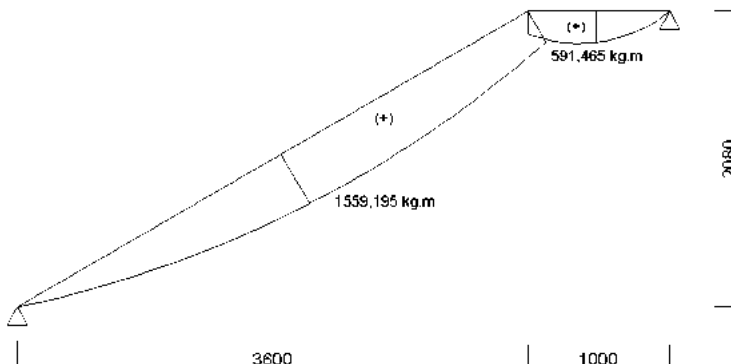
$$\begin{aligned}Mx &= Rb \cdot x - \frac{1}{2} qu_2 \cdot x^2 - p \cdot x \\&= 1319,504 \cdot x - \frac{1}{2} \cdot 523,974 \cdot x^2 - 5,58 \cdot x\end{aligned}$$

$$x = 0 \text{ m}$$

$$Mb = 0 \text{ kg.m}$$

$$x = 0,5 \text{ m}$$

$$\begin{aligned}Md &= 1319,504 \cdot 0,5 - \frac{1}{2} \cdot 523,974 \cdot 1^2 - 5,58 \cdot 0,5 \\&= 591,465 \text{ kg.m}\end{aligned}$$



Gambar 4.18 Bidang M Balok Tangga

Bidang D

-J a - c :

$$\begin{aligned} Dx &= Ra \cdot \cos(29,05^\circ) - qu1 \cdot x \cdot \cos(29,05^\circ) \\ &= 1361,65 \cdot \cos(29,05^\circ) - 594,567 \cdot x \cdot \cos(29,05^\circ) \end{aligned}$$

$$x = 0 \text{ m}$$

$$\begin{aligned} Da_{ka} &= 1361,65 \cdot \cos(29,05^\circ) - 594,567 \cdot 0 \cdot \cos(29,05^\circ) \\ &= 1190,35 \text{ kg} \end{aligned}$$

$$x = 3,6 \text{ m}$$

$$\begin{aligned} Dc_{ki} &= 1361,65 \cdot \cos(29,05^\circ) - 594,567 \cdot 3,6 \cdot \cos(29,05^\circ) \\ &= - 680,816 \text{ kg} \end{aligned}$$

-J b - d :

$$\begin{aligned} Dx &= - Rb + qu2 \cdot x + p1 \\ &= - 1319,504 + 523,974 \cdot x + 5,58 \end{aligned}$$

$$x = 0 \text{ m}$$

$$\begin{aligned} Db_{ki} &= - 1319,504 + 523,974 \cdot 0 + 5,58 \\ &= - 1313,924 \text{ kg} \end{aligned}$$

$$x = 0,5 \text{ m}$$

$$\begin{aligned} Dd_{ka} &= - 1319,504 + 523,974 \cdot 0,5 + 5,58 \\ &= - 1051,937 \text{ kg} \end{aligned}$$

-J d - c :

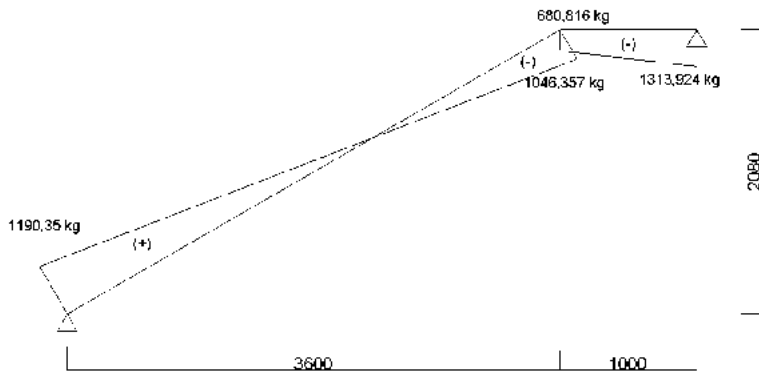
$$\begin{aligned} Dx &= - Rb + qu2/2 + qu2 \cdot x + p1 + p1 \\ &= - 1319,504 + 261,987 + 523,974x + 5,58 + 5,58 \end{aligned}$$

$$x = 0 \text{ m}$$

$$\begin{aligned} Dd_{ki} &= - 1319,504 + 261,987 + 523,974 \cdot 0 + 5,58 + 5,58 \\ &= - 1046,357 \text{ kg} \end{aligned}$$

$$x = 0,5 \text{ m}$$

$$\begin{aligned} Dd_{ka} &= - 1319,504 + 261,987 + 523,974 \cdot 0,5 + 5,58 + 5,58 \\ &= - 784,37 \text{ kg} \end{aligned}$$



Gambar 4.19 Bidang D Balok Tangga

Bidang N

-J a - c :

$$\begin{aligned}N_x &= - Ra \cdot \sin(29,05^\circ) + qu1 \cdot x \cdot \sin(29,05^\circ) \\&= - 1361,65 \cdot \sin(29,05^\circ) + 594,567 \cdot x \cdot \sin(29,05^\circ)\end{aligned}$$

$$x = 0 \text{ m}$$

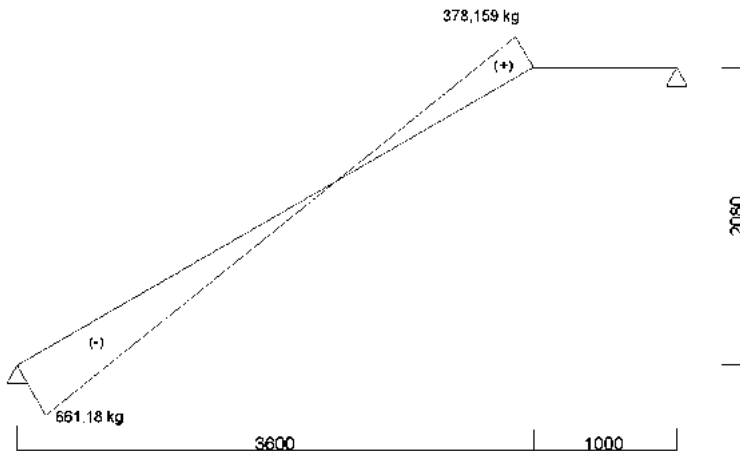
$$\begin{aligned}Na_{ka} &= - 1361,65 \cdot \sin(29,05^\circ) + 594,567 \cdot 0 \cdot \sin(29,05^\circ) \\&= - 661,18 \text{ kg}\end{aligned}$$

$$x = 3,6 \text{ m}$$

$$\begin{aligned}Nc_{ki} &= - 1361,65 \cdot \sin(29,05^\circ) + 594,567 \cdot 3,6 \cdot \sin(29,05^\circ) \\&= 378,159 \text{ kg}\end{aligned}$$

-J c - b :

$$N = 0 \text{ kg}$$



Gambar 4.20 Bidang N Balok Tangga

•J Kontrol Penampang Terhadap Tekuk Lokal

-J Pelat sayap :

$$\lambda = \frac{b_f}{2t_f} = \frac{100}{2 \times 7} = 7,143$$

$$\lambda_p = \frac{170}{\sqrt{f_y}} = \frac{170}{\sqrt{250}} = 10,75$$

$\lambda < \lambda_p \rightarrow$  penampang kompak

-J Pelat badan :

$$\lambda = \frac{h}{tw} = \frac{162}{45} = 3,6$$

$$\lambda_p = \frac{1680}{\sqrt{f_y}} = \frac{1680}{\sqrt{250}} = 10,635$$

$\lambda < \lambda_p \rightarrow$  penampang kompak

-J Karena penampang kompak, maka  $M_n = M_p$

$$M_p = f_y \cdot Z_x = 2500 \times 170$$

$$= 425000 \text{ kg.cm}$$

$$= 4250 \text{ kg.m}$$

•J Kontrol Penampang Terhadap Tekuk Lateral

$$L_b = \sqrt{30^2 + 16^2} = 34 \text{ cm (pengaku anak tangga)}$$

$$L_p = 110,016 \text{ cm } \quad \} \quad \text{Dari Tabel (Lp & Lr)}$$

$$L_r = 331,236 \text{ cm}$$

$$L_b < L_p < L_r \rightarrow \text{Bentang Pendek maka } M_n = M_p$$

$$M_n = M_p = Zx \times f_y$$

$$= 170 \text{ cm}^3 \times 2500 \text{ kg/m}^2$$

$$= 425000 \text{ kg.cm} = 4250 \text{ kg.m}$$

Cek kemampuan penampang

$$\phi_b \cdot M_n \geq M_u$$

$$\phi_b \cdot M_n = 0,9 \times 4250$$

$$= 3825 \text{ kg.m} \geq 1559,195 \text{ kg.m (OK)}$$

•J Kontrol Geser

$$V_u = 1313,924 \text{ kg}$$

$$\frac{h}{tw} \leq \frac{1100}{\sqrt{f_y}} \rightarrow \frac{162}{45} \leq \frac{1100}{\sqrt{f_y}}$$

$$36 \leq 260 \rightarrow \text{Plastis}$$

$$K_v = 5$$

$$C = 11x \left[ k_v x \left( \frac{E}{\sqrt{f_y}} \right) \right]$$

$$= 11x \left[ 5 x \left( \frac{2000000}{\sqrt{2500}} \right) \right]$$

$$= 69,57$$

$$\frac{h}{tw} < C \rightarrow Cv = 1$$

$$\text{Maka, } V_n = 0,6 f_y A_w x C_v$$

$$= 0,6 \times 2500 \times (19,8 \times 0,45) \times 1 = 13365 \text{ kg}$$

$$\phi V_n \geq V_u$$

$$\phi V_n = 0,9 \cdot 13365 \text{ kg}$$

$$= 12028,5 \text{ kg} > 1313,924 \text{ kg (OK)}$$

•J Persamaan Interaksi Tekan - Lentur

$$L = \sqrt{(360)^2 + (208)^2} = 415,769 \text{ cm}$$

$$K_c = 0,7 \text{ (sendi - jepit)}$$

$$\lambda = K_c \times L = 0,7 \times 415,769 = 291,04$$

$$\lambda_c = \frac{\lambda}{\pi \cdot i_y} \sqrt{\frac{f_y}{E}} = \frac{29104}{\pi \cdot 221} \sqrt{\frac{250}{200000}}$$

$$= 1,48 \rightarrow \lambda_c < 1,25$$

$$\omega = \frac{143}{16 - 0,67\lambda_c} = \frac{143}{16 - 0,67148} = 235$$

$$P_n = \frac{A_g \times f_y}{\omega} = \frac{2318 \times 2500}{235} = 24599,40 \text{ kg}$$

$$\emptyset P_n = 0,85 \times 24599,40 \text{ kg}$$

$$= 20909,49 \text{ kg}$$

$$\frac{P_u}{\emptyset P_n} = \frac{66118}{2090949} = 0,03 < 0,2 \text{ maka rumus interaksi 2}$$

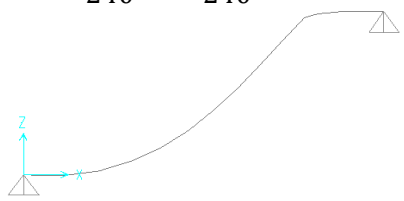
$$= \frac{P_u}{2\emptyset P_n} + \left[ \frac{M_{ux}}{\emptyset b M_{nx}} + \frac{M_{uy}}{\emptyset b M_{ny}} \right] \leq 10$$

$$= \frac{66118}{2 \cdot 2090949} + \left[ \frac{1559195}{3825} + 0 \right] \leq 10$$

$$= 0,432 < 1 \text{ (OK)}$$

•J Kontrol Lendutan

$$f_{ijin} = \frac{L}{240} = \frac{415,769}{240} = 1155 \times$$



Gambar 4.21 Analisa Lendutan Balok Utama Tangga

x

$$f^o = 0,05 \text{ cm} \text{ (Hasil analisa SAP)}$$

$$f^o < f_{ijin} \rightarrow 0,05 \text{ cm} < 1155 \text{ cm (OK)} .$$

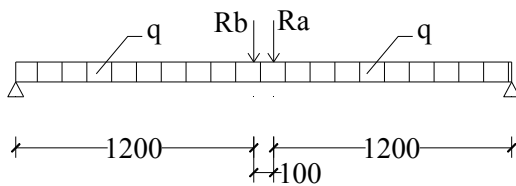
#### 4.4.5 Balok Penumpu Tangga

Balok utama penumpu tangga direncanakan memakai profil WF 200 x 100 x 4,5 x 7, dengan spesifikasi sebagai berikut :

$d$	= 198 mm	$i_x$	= 8,26 cm
$b_f$	= 100 mm	$i_y$	= 2,21 cm
$t_f$	= 7 mm	$Z_x$	= 170 cm <sup>3</sup>
$t_w$	= 4,5 mm	$Z_y$	= 35 cm <sup>3</sup>
$A$	= 23,18 cm <sup>2</sup>	$S_x$	= 160 cm <sup>3</sup>
$q$	= 18,2 kg/m	$S_y$	= 23 cm <sup>3</sup>
$I_x$	= 1580 cm <sup>4</sup>	$r$	= 11 cm
$I_y$	= 114 cm <sup>4</sup>	$h$	= $d - 2(t_f + r)$
$F_y$	= 250 Mpa (BJ-41)		= 162 mm

#### •J Pembebanan

Pembebanan pada balok penumpu tangga diperoleh dari gaya reaksi ( $R_a$  dan  $R_b$ ) yang bekerja pada balok utama tangga. Gaya reaksi tersebut akan menjadi beban terpusat  $P$  yang menumpu pada balok penumpu tangga. Pada balok penumpu tangga juga bekerja beban merata yang berasal dari dinding setengah dari tinggi lantai dan berat profil. Sketsa pembebanan balok penumpu tangga bisa dilihat pada gambar di bawah ini :



Gambar 4.22 Pembebanan Balok Penumpu Tangga

$$\begin{aligned} R_a &= 1361,65 \text{ kg} \\ R_b &= 1319,504 \text{ kg} \end{aligned}$$

Beban merata (q)

Berat profil

$$= 18,2 \text{ kg/m}$$

Beban dinding 2,08 x 250

$$= \underline{\underline{520 \text{ kg/m} +}}$$

$$= 538,2 \text{ kg/m}$$

Berat sambungan 10%

$$= \underline{\underline{53,82 \text{ kg/m} +}}$$

$$= 592,02 \text{ kg/m}$$

#### •J Reaksi Perletakan

$$\Sigma Ma = 0$$

$$R_{vb} \cdot 2,5 - Ra \cdot 1,3 - Rb \cdot 1,2 - \frac{1}{2} \cdot q \cdot 2,5^2 = 0$$

$$R_{vb} = \frac{136165 \times 13 + 1319504 \times 12 + \frac{1}{2} \times 59202 \times 25^2}{25}$$

$$= 2081,44 \text{ kg}$$

$$\Sigma Mb = 0$$

$$R_{va} \cdot 2,5 - Rb \cdot 1,3 - Ra \cdot 1,2 - \frac{1}{2} \cdot q \cdot 2,5^2 = 0$$

$$R_{va} = \frac{1319504 \times 12 \times 13 + 136165 \times 12 + \frac{1}{2} \times 59202 \times 25^2}{25}$$

$$= 2079,76 \text{ kg}$$

Kontrol:

$$\sum V = R_{va} + R_{vb} - Ra - Rb - q \times 3,85$$

$$= 2079,76 + 2081,44 - 1361,65 - 1319,504 - 275,77 \times 2,5$$

$$= 0 (\text{OK})$$

#### •J Perhitungan Gaya Dalam

##### Momen maksimum

$$M_{max} = R_{va} \times 1,25 - Ra \times 0,125 - \frac{1}{2} \times q \times 1,25^2$$

$$= 2079,76 \times 1,25 - 1361,65 \times 0,05 - \frac{1}{2} \times 592,02 \times 1,25^2$$

$$= 2071,21 \text{ kg.m}$$

##### Gaya geser

$$V_U = - R_{vb} = - 2071,21 \text{ kg}$$

#### •J Kontrol Penampang Terhadap Tekuk Lokal

Pelat sayap :

$$\lambda = \frac{b_f}{2t_f} = \frac{100}{2 \times 7} = 7,143$$

$$\lambda_p = \frac{170}{\sqrt{f_y}} = \frac{170}{\sqrt{250}} = 10,75$$

$\lambda < \lambda_p \rightarrow$  penampang kompak

Pelat badan :

$$\lambda = \frac{h}{tw} = \frac{162}{45} = 3,6$$

$$\lambda_p = \frac{1680}{\sqrt{f_y}} = \frac{1680}{\sqrt{250}} = 10,635$$

$\lambda < \lambda_p \rightarrow$  penampang kompak

Karena penampang kompak, maka  $M_n = M_p$

$$\begin{aligned} M_p &= f_y \cdot Zx = 2500 \times 170 \\ &= 425000 \text{ kg.cm} \\ &= 4250 \text{ kg.m} \end{aligned}$$

Cek kemampuan penampang

$$\begin{aligned} \phi_b \cdot M_n &\geq M_u \\ \phi_b \cdot M_n &= 0,9 \times 4250 \\ &= 3825 \text{ kg.m} \geq 1559,195 \text{ kg.m (OK)} \end{aligned}$$

#### •J Kontrol Penampang Terhadap Tekuk Lateral

Jarak penahan lateral ( $L_b$ ) = 120 cm

$$\begin{aligned} L_p &= 138,88 \text{ cm} \\ L_r &= 331,236 \text{ cm} \end{aligned} \quad \left. \right\} \text{ Dari Tabel (Lp & Lr)}$$

$L_b < L_p < L_r \rightarrow$  Bentang Pendek

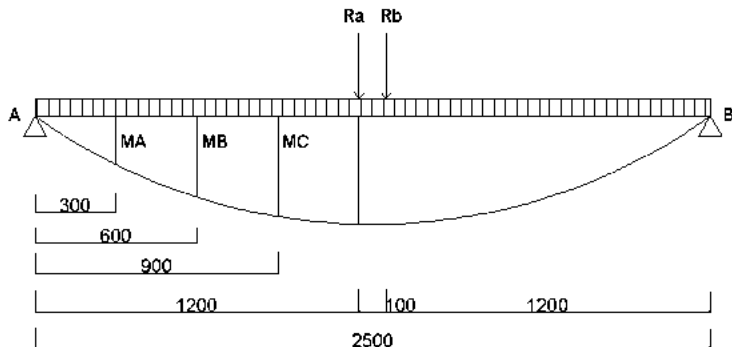
Karena bentang menengah, maka:

$$\begin{aligned} M_n &= M_p = Zx \times f_y \\ &= 170 \text{ cm}^3 \times 2500 \text{ kg/m}^2 \\ &= 425000 \text{ kg.cm} = 4250 \text{ kg.m} \end{aligned}$$

$$M_y = S_x \times f_y = 160 \times 2500 = 400000 \text{ kgcm} = 4000 \text{ kgm}$$

$$M_y = Z_x \times f_y = 170 \times 2500 = 425000 \text{ kgcm} = 4250 \text{ kgm}$$

$$\begin{aligned} M_y &= S_x \times (f_y - f_r) = 160 \times (2500-700) = 288000 \text{ kgcm} \\ &= 2880 \text{ kgm} \end{aligned}$$



Gambar 4.23 Posisi MA, MB, dan MC Balok Penumpu Tangga

$$\begin{aligned} MA &= R_{Va} \times 0,3 - \frac{1}{2} \times q \times 0,3^2 \\ &= (2079,76 \times 0,3) - \frac{1}{2} \times 592,02 \times 0,3^2 \\ &= 597,287 \text{ kgm} \end{aligned}$$

$$\begin{aligned} MB &= R_{Va} \times 0,6 - \frac{1}{2} \times q \times 0,6^2 \\ &= (2079,76 \times 0,6) - \frac{1}{2} \times 592,02 \times 0,6^2 \\ &= 1141,292 \text{ kgm} \end{aligned}$$

$$\begin{aligned} MC &= R_{Va} \times 0,6 - \frac{1}{2} \times q \times 0,6^2 \\ &= (2079,76 \times 0,9) - \frac{1}{2} \times 592,02 \times 0,9^2 \\ &= 1632,015 \text{ kgm} \end{aligned}$$

$$M_{max} = 2071,208 \text{ kgm}$$

$$Cb = \frac{12.5 M_{max}}{2.5 M_{max} + 3M_a + 4M_B + 3M_C} \leq 2.3$$

$$Cb = \frac{12.5 \times 2071,208}{2.5 \times 2071,208 + 3 \times 597,287 + 4 \times 1141,292 + 3 \times 1632,015} \leq 2.3$$

$$Cb = 1,576 \leq 2,3$$

$$\begin{aligned} M_n &= C_b \left[ M_p - \left( M_p - 0.7 f_y S_x \right) \left( \frac{L_b - L_p}{L_r - L_p} \right) \right] \leq M_p \\ &= 1,576 \left[ 425000 - (425000 - 0.7 \times 2500 \times 160) \left( \frac{120 - 138,88}{331,236 - 138,88} \right) \right] \end{aligned}$$

$$M_n = 692087,804 \text{ kgcm}$$

$$M_n = 6920,87 \text{ kgm} > M_p = 4250 \text{ kgm, maka dipakai } M_p$$

-J Cek kemampuan penampang

$$\varnothing_b \cdot M_n \geq M_u$$

$$\begin{aligned} \varnothing_b \cdot M_n &= 0.9 \times 4250 \\ &= 3825 \text{ kgm} \geq 2071,208 \text{ kgm ... OK !} \end{aligned}$$

•J Kontrol Geser

$$V_u = 2081,445 \text{ kg}$$

$$\frac{h}{tw} \leq \frac{1100}{\sqrt{fy}} \rightarrow \frac{162}{45} \leq \frac{1100}{\sqrt{fy}}$$

$$36 \leq 260 \rightarrow \text{Plastis}$$

$$K_v = 5$$

$$\begin{aligned} C &= 11x \left[ kv \times \left( \frac{E}{\sqrt{fy}} \right) \right] \\ &= 11x \left[ 5 \times \left( \frac{2000000}{\sqrt{2500}} \right) \right] \\ &= 69,57 \end{aligned}$$

$$\frac{h}{tw} < C \rightarrow Cv = 1$$

$$\text{Maka, } V_n = 0,6 f_y A_w \times Cv$$

$$= 0,6 \times 2500 \times (19,8 \times 0,45) \times 1 = 13365 \text{ kg}$$

$$\varnothing V_n \geq V_u$$

$$\varnothing V_n = 0,9 \cdot 13365 \text{ kg}$$

$$= 12028,5 \text{ kg} > 2081,445 \text{ kg (OK)}$$

•J Kontrol Lendutan

$$f_{ijin} = \frac{L}{240} = \frac{250}{360} = 0,694$$

$f_x$

$$\begin{aligned} &= \frac{5}{384} x \frac{(qdl + ql) L^4}{EI_x} + \frac{P_u \times a}{24EI_x} (3L^2 - 4a^2) \\ &+ \left[ \left\{ \left( \frac{Ra + Rb}{2} \right) x \left( \frac{12x100}{24x210^6x1580} \right) \right\} x (3x(25x100)^{-2}) \right] \\ &- [4x(12x100)^{-2}] \end{aligned}$$

$f_x$

$$\begin{aligned} &= \frac{5}{384} x \frac{(592 \times 250^{-4})}{20000001580} \\ &+ \left[ \left\{ \left( \frac{Ra + Rb}{2} \right) x \left( \frac{12x100}{24x210^6x1580} \right) \right\} x (3x(25x100)^{-2}) \right] \\ &- [4x(12x100)^{-2}] \\ &= 0,371 \text{ cm} \end{aligned}$$

$$f^o < f_{ijin} \rightarrow 0,371 \text{ cm} < 0,694 \text{ cm (OK)}$$

*“Halaman ini sengaja dikosongkan”*

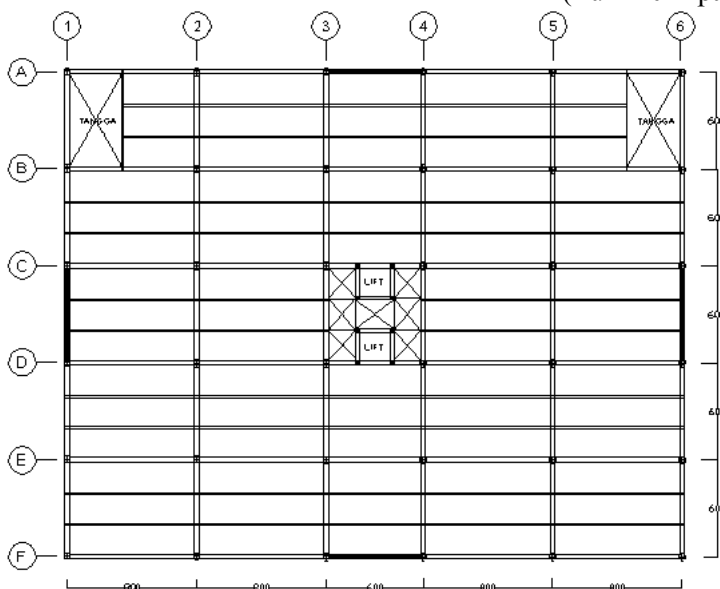
## BAB V

### ANALISA PEMODELAN STRUKTUR

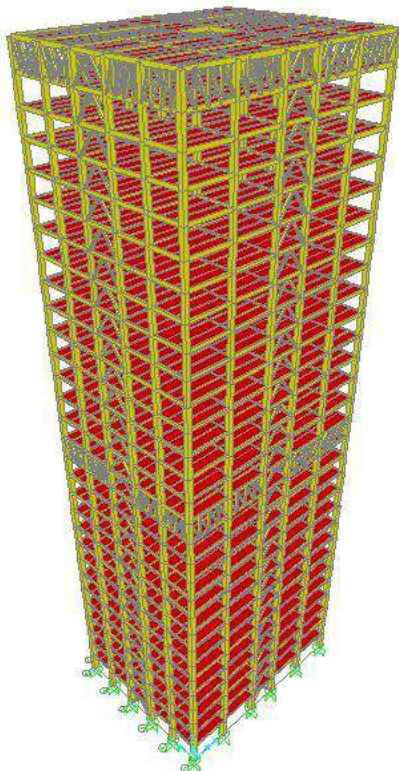
#### 5.1 Data Perencanaan

Bangunan ini direncanakan menggunakan tiga sistem, yaitu Sistem Rangka Pemikul Momen Khusus, Sistem Rangka Bresing Konsentrik Khusus, dan Sistem Rangka Bresing Konsentrik Khusus menggunakan Outrigger, dengan data-data sebagai berikut :

- a.J Panjang bangunan : 38 m
- b.J Lebar bangunan : 30 m
- c.J Jarak antar kolom sisi panjang : 8 m dan 6 m
- d.J Jarak antar kolom sisi lebar : 6 m
- e.J Tinggi kolom : 4 m
- f.J Letak bangunan : Jauh dari pantai
- g.J Mutu baja yang digunakan : BJ 41 ( $f_y = 250 \text{ Mpa}$ )  
 $(f_u = 410 \text{ Mpa})$



Gambar 5.1 Denah Bangunan



Gambar 5.2 Pemodelan 3D SAP2000

Berikut ini data profil baja kolom dan balok yang digunakan pada ketiga sistem dan dipasang pada semua tinggi bangunan, yaitu 20, 30, 40, 50, dan 60 lantai :

Tabel 5.1 Profil Baja Yang Digunakan

Sistem	Jml Lantai	Letak Profil	Profil yang digunakan	
			Kolom (CFT)	Balok (WF)
Sistem Rangka Pemikul Momen Khusus	60	Lt. 1 - 10	1000x1000x25	700x300x13x24
		Lt. 11 - 20	1000x1000x22	700x300x13x20
		Lt. 21 - 30	1000x1000x19	600x300x14x23
		Lt. 31 - 40	1000x1000x16	600x300x12x20
		Lt. 41 - 50	900x900x16	600x300x12x17
		Lt. 51 - 60	900x900x12	600x200x13x23
	50	Lt. 1 - 10	1000x1000x22	700x300x13x20
		Lt. 11 - 20	1000x1000x19	600x300x14x23
		Lt. 21 - 30	1000x1000x16	600x300x12x20
		Lt. 31 - 40	900 x 900 x 16	600x300x12x17
		Lt. 41 - 50	900 x 900 x 12	600x200x13x23
	40	Lt. 1 - 10	1000x1000x19	600x300x14x23
		Lt. 11 - 20	1000x1000x16	600x300x12x20
		Lt. 21 - 30	900 x 900 x 16	600x300x12x17
		Lt. 31 - 40	900 x 900 x 12	600x200x13x23
	30	Lt. 1 - 10	1000x1000x16	600x300x12x20
		Lt. 11 - 20	900 x 900 x 16	600x300x12x17
		Lt. 21 - 30	900 x 900 x 12	600x200x13x23
	20	Lt. 1 - 10	900 x 900 x 16	600x300x12x17
		Lt. 11 - 20	900 x 900 x 12	600x200x13x23
Sistem Rangka Bresing Konsentrik	60	Lt. 1 - 10	1000x1000x22	700x300x13x20
		Lt. 11 - 20	1000x1000x19	600x300x14x23
		Lt. 21 - 30	1000x1000x16	600x300x12x20
		Lt. 31 - 40	900 x 900 x 16	600x300x12x17

Khusus Rangka Bresing Konsentrik Khusus Menggunakan Outrigger	Khusus	Lt. 41 - 50	900 x 900 x 12	600x200x13x23
		Lt. 51 - 60	800 x 800 x 12	600x200x12x20
	50	Lt. 1 - 10	1000x1000x19	600x300x14x23
		Lt. 11 - 20	1000x1000x16	600x300x12x20
		Lt. 21 - 30	900 x 900 x 16	600x300x12x17
		Lt. 31 - 40	900 x 900 x 12	600x200x13x23
		Lt. 41 - 50	800 x 800 x 12	600x200x12x20
	40	Lt. 1 - 10	1000x1000x16	600x300x12x20
		Lt. 11 - 20	900 x 900 x 16	600x300x12x17
		Lt. 21 - 30	900 x 900 x 12	600x200x13x23
		Lt. 31 - 40	800 x 800 x 12	600x200x12x20
	30	Lt. 1 - 10	900 x 900 x 16	600x300x12x17
		Lt. 11 - 20	900 x 900 x 12	600x200x13x23
		Lt. 21 - 30	800 x 800 x 12	600x200x12x20
	20	Lt. 1 - 10	900 x 900 x 12	600x200x13x23
		Lt. 11 - 20	800 x 800 x 12	600x200x12x20
Sistem Rangka Bresing Konsentrik Khusus Menggunakan Outrigger	60	Lt. 1 - 10	1000x1000x19	600x300x14x23
		Lt. 11 - 20	1000x1000x16	600x300x12x20
		Lt. 21 - 30	900 x 900 x 16	600x300x12x17
		Lt. 31 - 40	900 x 900 x 12	600x200x13x23
		Lt. 41 - 50	800 x 800 x 12	600x200x12x20
		Lt. 51 - 60	700 x 700 x 12	600x200x11x17
	50	Lt. 1 - 10	1000x1000x16	600x300x12x20
		Lt. 11 - 20	900 x 900 x 16	600x300x12x17
		Lt. 21 - 30	900 x 900 x 12	600x200x13x23
		Lt. 31 - 40	800 x 800 x 12	600x200x12x20
		Lt. 41 - 50	700 x 700 x 12	600x200x11x17
	40	Lt. 1 - 10	900 x 900 x 16	600x300x12x17

	Lt. 11 - 20	900 x 900 x 12	600x200x13x23
	Lt. 21 - 30	800 x 800 x 12	600x200x12x20
	Lt. 31 - 40	700 x 700 x 12	600x200x11x17
30	Lt. 1 - 10	900 x 900 x 12	600x200x13x23
	Lt. 11 - 20	800 x 800 x 12	600x200x12x20
	Lt. 21 - 30	700 x 700 x 12	600x200x11x17
20	Lt. 1 - 10	800 x 800 x 12	600x200x12x20
	Lt. 11 - 20	700 x 700 x 12	600x200x11x17

Profil yang digunakan untuk bresing pada sistem rangka bresing konsentrik khusus dan sistem rangka bresing konsentrik khusus menggunakan outrigger adalah WF 300 x 300 x 11 x 17.

Profil yang digunakan untuk *belt truss* dan outrigger adalah WF 300 x 200 x 9 x 14.

## 5.2 Penentuan Beban-beban

### 1.J Beban Gravitasi

#### a.J Beban Mati ( PPIUG 1983 Bab 2 )

- J Berat beton bertulang = 2400 kg/m<sup>3</sup>
- J Plat bondek = 10,1 kg/m<sup>2</sup>
- J Adukan finishing lantai/1cm = 21 kg/m<sup>2</sup>
- J Tegel = 24 kg/m<sup>2</sup>
- J Plafond = 7 kg/m<sup>2</sup>
- J Penggantung = 11 kg/m<sup>2</sup>
- J Plumbing = 10 kg/m<sup>2</sup>

-J Beban lift adalah beban terpusat pada balok lantai teratas.  
Besar beban lift terlampir.

#### b.J Beban Hidup ( SNI 1727:2013 Tabel 4-1 )

- J Lantai atap = 97,64 kg/m<sup>2</sup>
- J Lantai perkantoran = 244,1 kg/m<sup>2</sup>

## 2.J Beban Gempa

Berdasarkan wilayah gempa, kota Yogyakarta termasuk dalam wilayah gempa zona tinggi. Penentuan jenis tanah berdasarkan nilai SPT. Perhitungan beban gempa pada bangunan ini dilakukan dengan menganalisa beban gempa dinamik dan parameter gempa.

### 5.3 Perhitungan Massa Bangunan

#### 1.JSistem Rangka Pemikul Momen Khusus 60 Lantai

##### a.JLantai 1 – 10

###### •JBeban Mati

Profil kolom	= 4m x 36 x 752,74kg/m x 10	= 1083946 kg
Profil balok induk	= 228 x 180m x 185kg/m x 9	= 669060 kg
Profil balok anak	= 8m x 40 x 69,2kg/m x 9	= 199296 kg
	= 6m x 48 x 44,1kg/m x 9	= 114307 kg
Pelat beton	= 0,12 x 2400 x 38 x 30 x 9	= 2954880 kg
Adukan lantai	= 21 kg/m <sup>2</sup> x 38m x 30 m x 9	= 215460 kg
Tegel	= 24 kg/m <sup>2</sup> x 38m x 30 m x 9	= 246240 kg
Plafond	= 7 kg/m <sup>2</sup> x 38m x 30 m x 9	= 71820 kg
Penggantung	= 11 kg/m <sup>2</sup> x 38m x 30 m x 9	= 112860 kg
<u>Plumbing</u>	<u>= 10 kg/m<sup>2</sup> x 38m x 30 m x 9</u>	<u>= 102600 kg</u>
	Total	=5770469 kg

###### •JBeban Hidup

$$W = 244,1 \text{ kg/m}^2 \times 38 \text{ m} \times 30 \text{ m} \times 9 = 2504466 \text{ kg}$$

###### •JBeban Total

$$Wt = 5770469 \text{ kg} + 2504466 \text{ kg} = 8274935 \text{ kg}$$

##### b.JLantai 11 – 20

###### •JBeban Mati

Profil kolom	= 4m x 36 x 665,82kg/m x 10	= 958778 kg
Profil balok induk	= 228 x 180m x 166kg/m x 10	= 709200 kg
Profil balok anak	= 8m x 40 x 69,2kg/m x 10	= 221440 kg
	= 6m x 48 x 44,1kg/m x 10	= 127008 kg
Pelat beton	= 0,12 x 2400 x 38 x 30 x 10	= 3283200 kg

Adukan lantai	= 21 kg/m <sup>2</sup> x 38m x 30 m x10 = 239400 kg
Tegel	= 24 kg/m <sup>2</sup> x 38m x 30 m x10 = 273600 kg
Plafond	= 7 kg/m <sup>2</sup> x 38m x 30 m x10 = 79800 kg
Penggantung	= 11 kg/m <sup>2</sup> x 38m x 30 m x10 = 125400 kg
<u>Plumbing</u>	<u>= 10 kg/m<sup>2</sup> x 38m x 30 m x10 = 114000 kg</u>
	Total =6131826 kg

•JBeban Hidup

$$W = 244,1 \text{ kg/m}^2 \times 38 \text{ m} \times 30 \text{ m} \times 10 = 2782740 \text{ kg}$$

•JBeban Total

$$Wt = 6131826 \text{ kg} + 2782740 \text{ kg} = 8914566 \text{ kg}$$

c.JLantai 21 – 30

•JBeban Mati

Profil kolom	= 4m x 36 x 577,97kg/m x 10 = 832272 kg
Profil balok induk	= 228 x 180m x 175kg/m x 10= 725400 kg
Profil balok anak	= 8m x 40 x 69,2kg/m x 10 = 221440 kg
	= 6m x 48 x 44,1kg/m x 10 = 127008 kg
Pelat beton	= 0,12 x 2400 x 38 x 30 x 10 =3283200 kg
Adukan lantai	= 21 kg/m <sup>2</sup> x 38m x 30 m x10 = 239400 kg
Tegel	= 24 kg/m <sup>2</sup> x 38m x 30 m x10 = 273600 kg
Plafond	= 7 kg/m <sup>2</sup> x 38m x 30 m x10 = 79800 kg
Penggantung	= 11 kg/m <sup>2</sup> x 38m x 30 m x10 = 125400 kg
<u>Plumbing</u>	<u>= 10 kg/m<sup>2</sup> x 38m x 30 m x10 = 114000 kg</u>
	Total =6021520 kg

•JBeban Hidup

$$W = 244,1 \text{ kg/m}^2 \times 38 \text{ m} \times 30 \text{ m} \times 10 = 2782740 \text{ kg}$$

•JBeban Total

$$Wt = 6021520 \text{ kg} + 2782740 \text{ kg} = 8804260 \text{ kg}$$

d.JLantai 31 – 40

•JBeban Mati

Profil kolom	= 4m x 36 x 489,19kg/m x 10 = 704429 kg
Profil balok induk	= 228 x 180m x 151kg/m x10 = 682200 kg

Profil balok anak	= 8m x 40 x 69,2kg/m x 10	= 221440 kg
	= 6m x 48 x 44,1kg/m x 10	= 127008 kg
Pelat beton	= 0,12 x 2400 x 38 x 30 x 10	= 3283200 kg
Adukan lantai	= 21 kg/m <sup>2</sup> x 38m x 30 m x10	= 239400 kg
Tegel	= 24 kg/m <sup>2</sup> x 38m x 30 m x10	= 273600 kg
Plafond	= 7 kg/m <sup>2</sup> x 38m x 30 m x10	= 79800 kg
Penggantung	= 11 kg/m <sup>2</sup> x 38m x 30 m x10	= 125400 kg
<u>Plumbing</u>	<u>= 10 kg/m<sup>2</sup> x 38m x 30 m x10</u>	<u>= 114000 kg</u>
		Total =5850476 kg

•JBeban Hidup

$$W = 244,1 \text{ kg/m}^2 \times 38 \text{ m} \times 30 \text{ m} \times 10 = 2782740 \text{ kg}$$

•JBeban Total

$$Wt = 5850476 \text{ kg} + 2782740 \text{ kg} = 8633216 \text{ kg}$$

e.Lantai 41 – 50

•JBeban Mati

Profil kolom	= 4m x 36 x 438,95kg/m x 10	= 632083 kg
Profil balok induk	= 228 x 180m x 137kg/m x10	= 657000 kg
Profil balok anak	= 8m x 40 x 69,2kg/m x 10	= 221440 kg
	= 6m x 48 x 44,1kg/m x 10	= 127008 kg
Pelat beton	= 0,12 x 2400 x 38 x 30 x 10	= 3283200 kg
Adukan lantai	= 21 kg/m <sup>2</sup> x 38m x 30 m x10	= 239400 kg
Tegel	= 24 kg/m <sup>2</sup> x 38m x 30 m x10	= 273600 kg
Plafond	= 7 kg/m <sup>2</sup> x 38m x 30 m x10	= 79800 kg
Penggantung	= 11 kg/m <sup>2</sup> x 38m x 30 m x10	= 125400 kg
<u>Plumbing</u>	<u>= 10 kg/m<sup>2</sup> x 38m x 30 m x10</u>	<u>= 114000 kg</u>
		Total =5752931 kg

•JBeban Hidup

$$W = 244,1 \text{ kg/m}^2 \times 38 \text{ m} \times 30 \text{ m} \times 10 = 2782740 \text{ kg}$$

•JBeban Total

$$Wt = 5752931 \text{ kg} + 2782740 \text{ kg} = 8535671 \text{ kg}$$

## f.JLantai 51 – 59

## •JBeban Mati

Profil kolom	= 4m x 36 x 331,69 kg/m x 9	= 429867 kg
Profil balok induk	= 228 x 180m x 134kg/m x 9	= 586440 kg
Profil balok anak	= 8m x 40 x 69,2kg/m x 9	= 199296 kg
	= 6m x 48 x 44,1kg/m x 9	= 114307 kg
Pelat beton	= 0,12 x 2400 x 38 x 30 x 9	= 2954880 kg
Adukan lantai	= 21 kg/m <sup>2</sup> x 38m x 30 m x 9	= 215460 kg
Tegel	= 24 kg/m <sup>2</sup> x 38m x 30 m x 9	= 246240 kg
Plafond	= 7 kg/m <sup>2</sup> x 38m x 30 m x 9	= 71820 kg
Penggantung	= 11 kg/m <sup>2</sup> x 38m x 30 m x 9	= 112860 kg
<u>Plumbing</u>	<u>= 10 kg/m<sup>2</sup> x 38m x 30 m x 9</u>	<u>= 102600 kg</u>

Total = 5033770 kg

## •JBeban Hidup

$$W = 244,1 \text{ kg/m}^2 \times 38 \text{ m} \times 30 \text{ m} \times 9 = 2504466 \text{ kg}$$

## •JBeban Total

$$W_t = 5033770 \text{ kg} + 2504466 \text{ kg} = 7538236 \text{ kg}$$

## g.JLantai Atap

## •JBeban Mati

Profil kolom	= 4m x 36 x 331,69 kg/m	= 47763 kg
Profil balok induk	= 228 x 180m x 134 kg/m	= 65160 kg
Profil balok anak	= 8m x 40 x 41,4 kg/m	= 13248 kg
	= 6m x 48 x 44,1 kg/m	= 12701 kg
Pelat beton	= 0,12 x 2400 x 38 m x 30 m	= 328320 kg
Adukan lantai	= 21 kg/m <sup>2</sup> x 38m x 30 m	= 23940 kg
Plafond	= 7 kg/m <sup>2</sup> x 38m x 30 m	= 7980 kg
Penggantung	= 11 kg/m <sup>2</sup> x 38m x 30 m	= 12540 kg
<u>Plumbing</u>	<u>= 10 kg/m<sup>2</sup> x 38m x 30 m</u>	<u>= 11400 kg</u>

Total = 523052 kg

## •JBeban Hidup

$$W = 244,1 \text{ kg/m}^2 \times 38 \text{ m} \times 30 \text{ m} = 111310 \text{ kg}$$

## •JBeban Total

$$W_t = 523052 \text{ kg} + 111310 \text{ kg} = 634361 \text{ kg}$$

Jadi total berat bangunan 60 Lantai SRPMK ialah 51335246 kg.

Berikut adalah penabelan hasil massa bangunan menggunakan sistem rangka pemikul momen khusus pada tiap variasi bangunan :

Tabel 5.2 Berat Bangunan Pada Sitem SRPMK

Gedung	Lantai	Berat Beban Mati				Beban hidup (kg)	Jumlah (kg)	Berat total (kg)
		Kolom (kg)	Balok Induk (kg)	Balok Anak (kg)	Keramik dll (kg)			
60	1 - 10	1083946	669060	313603	3703860	2504466	8274935	51335246
	11 - 20	958778	709200	348448	4115400	2782740	8914566	
	21 - 30	832272	725400	348448	4115400	2782740	8804260	
	31 - 40	704428	682200	348448	4115400	2782740	8633216	
	41 - 50	632083	657000	348448	4115400	2782740	8535671	
	51 - 59	429867	586440	313603	3703860	2504466	7538236	
	atap	47763	65160	25949	384180	111310	634361	
50	1 - 10	958778	638280	313603	3703860	2504466	8118987	42264732
	11 - 20	832272	725400	348448	4115400	2782740	8804260	
	21 - 30	704428	682200	348448	4115400	2782740	8633216	
	31 - 40	632083	657000	348448	4115400	2782740	8535671	
	41 - 49	429867	586440	313603	3703860	2504466	7538236	
	atap	47763	65160	25949	384180	111310	634361	

40	1 - 10	832272	652860	313603	3703860	2504466	8007061	33348546
	11 - 20	704428	682200	348448	4115400	2782740	8633216	
	21 - 30	632083	657000	348448	4115400	2782740	8535671	
	31 - 39	429867	586440	313603	3703860	2504466	7538236	
	atap	47763	65160	25949	384180	111310	634361	
30	1 - 10	704428	613980	313603	3703860	2504466	7840338	24583451
	11 - 20	632083	657000	348448	4115400	2782740	8535671	
	21 - 29	429867	586440	348448	3703860	2504466	7573081	
	atap	47763	65160	25949	384180	111310	634361	
20	1 - 10	632083	591300	313603	3703860	2504466	7745312	15952754
	11 - 20	429867	586440	348448	3703860	2504466	7573081	
	atap	47763	65160	25949	384180	111310	634361	

## 2.JSistem Rangka Bresing Konsentrik

Dengan cara yang sama seperti perhitungan berat bangunan pada SRPMK, diperoleh hasil seperti tabel berikut :

Tabel 5.3 Berat Bangunan pada Sistem SRBK

Gedung	Lantai	Berat Beban Mati					Beban hidup (kg)	Jumlah (kg)	Berat total (kg)
		Kolom (kg)	Balok Induk (kg)	Balok Anak (kg)	Bresing (kg)	Keramik dll (kg)			
60	1 - 10	958778	638280	313603	42400	3703860	2504466	8161387	50815491
	11 - 20	832272	725400	348448	42400	4115400	2782740	8846660	
	21 - 30	704428	682200	348448	42400	4115400	2782740	8675616	
	31 - 40	632083	657000	348448	42400	4115400	2782740	8578071	
	41 - 50	477630	651600	348448	42400	4115400	2782740	8418218	
	51 - 59	381034	563760	313603	38160	3703860	2504466	7504883	
	atap	42337	62640	25949	4240	384180	111310	630655	
50	1 - 10	832272	652860	313603	42400	3703860	2504466	8049461	41856905
	11 - 20	704428	682200	348448	42400	4115400	2782740	8675616	
	21 - 30	632083	657000	348448	42400	4115400	2782740	8578071	
	31 - 40	477630	651600	348448	42400	4115400	2782740	8418218	

	41 - 49	381034	563760	313603	38160	3703860	2504466	7504883	
	atap	42337	62640	25949	4240	384180	111310	630655	
40	1 - 10	704428	613980	313603	42400	3703860	2504466	7882738	33014565
	11 - 20	632083	657000	348448	42400	4115400	2782740	8578071	
	21 - 30	477630	651600	348448	42400	4115400	2782740	8418218	
	31 - 39	381034	563760	313603	38160	3703860	2504466	7504883	
	atap	42337	62640	25949	4240	384180	111310	630655	
30	1 - 10	632083	591300	313603	42400	3703860	2504466	7787712	23710813
	11 - 20	477630	651600	348448	42400	4115400	2782740	8418218	
	21 - 29	381034	563760	313603	38160	3703860	2504466	7504883	
	atap	42337	62640	25949	4240	384180	111310	630655	
20	1 - 10	477630	586440	313603	42400	3703860	2504466	7628399	15798782
	11 - 20	381034	563760	348448	38160	3703860	2504466	7539728	
	atap	42337	62640	25949	4240	384180	111310	630655	

3.JSistem Rangka Bresing Konsentrik menggunakan *Outrigger*

Tabel 5.4 Berat Bangunan pada Sistem SRBK menggunakan *Outrigger*

Gd.	Lantai	Berat Beban Mati						Beban hidup (kg)	Jumlah (kg)	Berat total (kg)
		Kolom (kg)	Balok Induk (kg)	Balok Anak (kg)	Bresing (kg)	Belt Truss - Outrigger (kg)	Keramik dll (kg)			
60	1 - 10	832272	652860	313603	42400	0	3703860	2504466	8049461	50184484
	11 - 20	704428	682200	348448	42400	0	4115400	2782740	8675616	
	21 - 30	632083	657000	348448	42400	34138	4115400	2782740	8612209	
	31 - 40	477630	651600	348448	42400	0	4115400	2782740	8418218	
	41 - 50	423371	626400	348448	42400	0	4115400	2782740	8338759	
	51 - 59	332204	541080	313603	38160	0	3703860	2504466	7433373	
	atap	36912	60120	25949	4240	34138	384180	111310	656848	
50	1 - 10	704428	554040	313603	42400	0	3703860	2504466	7822798	41282204
	11 - 20	632083	657000	348448	42400	0	4115400	2782740	8578071	
	21 - 30	477630	651600	348448	42400	34138	4115400	2782740	8452356	
	31 - 40	423371	626400	348448	42400	0	4115400	2782740	8338759	

	41 - 49	332204	541080	313603	38160	0	3703860	2504466	7433373	
	atap	36912	60120	25949	4240	34138	384180	111310	656848	
40	1 - 10	632083	536220	313603	42400	0	3703860	2504466	7732632	32613967
	11 - 20	477630	651600	348448	42400	34138	4115400	2782740	8452356	
	21 - 30	423371	626400	348448	42400	0	4115400	2782740	8338759	
	31 - 39	332204	541080	313603	38160	0	3703860	2504466	7433373	
	atap	36912	60120	25949	4240	34138	384180	111310	656848	
30	1 - 10	477630	514512	313603	42400	0	3703860	2504466	7556471	24019588
	11 - 20	423371	626400	348448	42400	34138	4115400	2782740	8372897	
	21 - 29	332204	541080	313603	38160	0	3703860	2504466	7433373	
	atap	36912	60120	25949	4240	34138	384180	111310	656848	
20	1 - 10	423371	498150	313603	42400	34138	3703860	2504466	7519988	15069129
	11 - 20	332204	541080	313603	38160	0	3703860	2504466	6892293	
	atap	36912	60120	25949	4240	34138	384180	111310	656848	

## 5.4 Kontrol Berat Bangunan

Karena besarnya beban gempa sangat dipengaruhi oleh berat dari struktur bangunan, maka perlu diketahui berat total bangunan untuk menentukan gaya geser statik. Berat dari bangunan berasal dari beban mati yang terdiri dari berat sendiri material-material konstruksi dan elemen-elemen struktur, serta beban hidup yang diakibatkan oleh hunian atau penggunaan bangunan.

Pada gedung ini perhitungan berat struktur diambil dari analisis menggunakan program SAP2000 untuk kombinasi 1D +1L.

Dari analisa dengan menggunakan SAP2000 diperoleh berat total bangunan seperti tertera pada gambar di bawah ini :

### 5.4.1 Sistem Rangka Pemikul Momen Khusus

1.J 20 Lantai

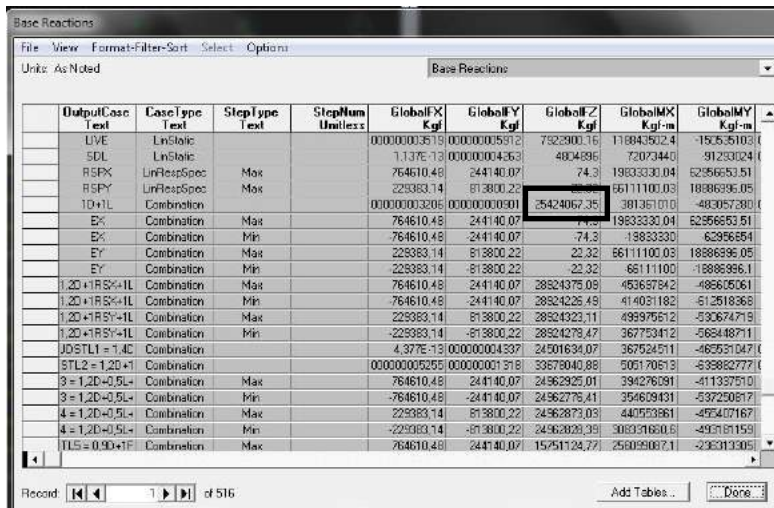
Base Reactions									
OutputCase Text	CaseType Text	StepType Text	StepNum Unitless	GlobalFX Kg	GlobalFY Kg	GlobalFZ Kg	GlobalMX Kg-m	GlobalMY Kg-m	GlobalMZ Kg-m
DEAD	LinStatic			000000000539	000000003143	7908701.79	118630525.7	-15035334	
MODAL	LinModal	Mode	1	-5675.79	-0.000003712	-0.000004396	-0.00010444	-30308.61	
MODAL	LinModal	Mode	2	0.000003454	6662.82	0.000003671	354875.72	0.0007484	
MODAL	LinModal	Mode	3	0.000001172	-0.00003979	0.000005752	0.02248	0.00008591	
MODAL	LinModal	Mode	4	-20441.36	0.000217	0.000786	-0.05601	175571.28	
MODAL	LinModal	Mode	5	0.01661	23798.54	0.002288	208782.61	0.01342	
MODAL	LinModal	Mode	6	-0.00209	0.0154	-0.00567	0.2	-0.04181	
MODAL	LinModal	Mode	7	-43555.53	-0.00715	0.004857	-1.53	-501441.18	
MODAL	LinModal	Mode	8	0.003615	-49175.00	0.05432	669126.76	-0.22	
MODAL	LinModal	Mode	9	0.03424	0.11	0.01865	-6.64	3.05	
MODAL	LinModal	Mode	10	80425.89	0.07665	-0.79	-0.42	-72857.06	
MODAL	LinModal	Mode	11	0.01719	-84046.41	0.02391	-123723.97	0.94	
MODAL	LinModal	Mode	12	-0.07511	-0.49	0.17	0.53	4.16	
LIVE	LinStatic			000000003734	-6.821E-13	5238036.16	79420542.4	-59332587	
SDL	LinStatic			000000001194	000000000152	3201056	48015840	-59520084	
RSPX	LinRespSpec	Max		604434.08	182586.85	0.42	9329632.1	31045242.75	
RSPY	LinRespSpec	Max		187330.23	63862.53	-0.19	9109773.66	9313972.83	
1D+1L	Combination			000000001107	000000004853	15337793.84	245669309.1	310418085	
EX	Combination	Max		604434.08	182586.85	0.42	9329632.1	31045242.75	
EX	Combination	Min		604434.08	-182586.85	-0.42	-9329632.1	-31045242.75	

Gambar 5.3 Berat Total Bangunan SRPMK 20 Lantai (1D+1L)  
Analisa SAP2000

Tabel 5.5 Berat total bangunan (1D+1L) SRPMK 20 Lantai

a.J Manual	15952754 kg
b.J Hasil SAP 2000	16337793,94 kg.
Prosentase ( selisih/manualx100%)	2,41% ≤ 5% (Oke)

## 2.J 30 Lantai

Gambar 5.4 Berat Total Bangunan SRPMK 30 Lantai (1D+1L)  
Analisa SAP2000

Tabel 5.6 Berat total bangunan (1D+1L) SPRMK 30 Lantai

a.J Manual	24583451 kg
b.J Hasil SAP 2000	25424067,35 kg.
Prosentase ( selisih/manualx100%)	3,42% ≤ 5% (Oke)

### 3.J 40 Lantai

Base Reactions									
File View Format Filter Sort Select Options									
Units: As Nondim									
Base Reactions									
Text	OutputCase	CaseType	StepType	StepNum	GlobalFX Kgf	GlobalFY Kgf	GlobalFZ Kgf	GlobalMX Kgf-m	GlobalMY Kgf-m
LVE	LinStatic				000000005382	000000000595	10517764,18	159266452,4	-201737519,4
SDL	LinStatic				000000002572	000000000595	6408738	95131040	-121755384,1
RSPX	LinRespSpec	Max			1051845,3	340488,38	31,49	36333407,95	11542019,2
RSPY	LinRespSpec	Max			31853,59	1134951,25	-31,49	121111359,8	34562605,77
1D+1L	Combination				000000001382	000000002192	34677727,6	520165514	-89876524,1
EX	Combination	Max			1051845,3	340488,38	-31,49	36333407,95	11542019,2
EX	Combination	Min			-1051845,3	-340488,38	-31,49	-36333407,95	-11542019,2
EY	Combination	Max			31853,59	1134951,25	10,11	121111359,8	34562605,77
EY	Combination	Min			-31853,59	-1134951,25	-10,11	-121111359,8	-34562605,77
1.20+1R5X+1L	Combination	Max			1051845,3	340488,38	29489751,78	629679272	-534752668
1.20+1R5X+1L	Combination	Min			-1051845,3	-340488,38	39489688,8	556012396	-863846705
1.20+1R5Y+1L	Combination	Max			31853,59	1134951,25	29489730,41	713457164	-715642000
1.20+1R5Y+1L	Combination	Min			-31853,59	-1134951,25	29489710,18	47123445	-704957231
J0STL1+1.4C	Combination				00000000547	000000001547	3883948,82	505259332	-639395129
STL2+1.2D+1	Combination				4.945,-13	000000000294	45860379,79	687905692	-871347197
3+1.2D+0.5L+	Combination	Max			1051845,3	340488,38	34180839,7	543045391	-533833007
3+1.2D+0.5L+	Combination	Min			-1051845,3	-340488,38	34180806,72	476379165	-764977945
4+1.2D+0.5L+	Combination	Max			31853,59	1134951,25	34180846,32	633823933	-614773320
4+1.2D+0.5L+	Combination	Min			-31853,59	-1134951,25	34180821,81	391601218	-684958532
TLS+0.5D+1F	Combination	Max			1051845,3	340488,38	21853988,53	36112914	-38583356

Gambar 5.5 Berat Total Bangunan SRPMK 40 Lantai (1D+1L)  
Analisa SAP2000

Tabel 5.7 Berat total bangunan (1D+1L) SRPMK 40 Lantai

a.J Manual	33348546 kg
b.J Hasil SAP 2000	34677727,6 kg.
Prosentase ( selisih/manualx100%)	3,98% ≤ 5% (Oke)

#### 4.J 50 Lantai

Base Reactions										
	OutputCase Text	CaseType Text	StepType Text	StepNum Unitless	GlobalFX Kgf	GlobalFY Kgf	GlobalFZ Kgf	GlobalMX Kgf.m	GlobalMY Kgf.m	
	LIVE	LinStatic			00000006559	00000007231	1312628.16	19989422.4	252393935	
	SDL	LinStatic			17056.13	00000006195	8012576	120188640	-152388441	
	RSPX	LinRsppec	Max		1371082.36	444107.95	92.65	56606252.46	185263455.4	
	RSPY	LinRsppec	Max		411324.71	1480359.85	27.65	195364174.8	5526036.63	
	TD+1L	Combination			00000000411	00000002165	43990233.51	639974103	-133967197	
	EX	Combination	Max		1371082.36	444107.95	92.65	56606252.46	185263455.4	
	EX	Combination	Min		1371082.36	-444107.95	-92.65	-56606252	-185263455	
	EY	Combination	Max		411324.71	1480359.85	27.65	195364174.8	5526036.63	
	EY	Combination	Min		411324.71	-1480359.85	-27.65	-195364175	-5526036	
	1.2D+1RSX+1L	Combination	Max		1371082.36	444107.95	50135495.22	810637231	-767303194	
	1.2D+1RSX+1L	Combination	Min		1371082.36	-444107.95	50135309.53	633424766	-1137842104	
	1.2D+1RSY+1L	Combination	Max		411324.71	1480359.85	50135430.42	94738213	-18691812	
	1.2D+1RSY+1L	Combination	Min		411324.71	-1480359.85	50135374.73	56667686.4	-1008153486	
	JDST1L1=1AE	Combination			00000000422	00000000138	4295930.49	64439952	-815238165	
	9TL2=1.2D+1L	Combination			00000000754	-4.6515.13	58122939.47	871844622	-310433651.01	
	3±1.2D+0.5L+	Combination	Max		1371082.36	444107.95	43479181.14	710792530	-840833228	
	3±1.2D+0.5L+	Combination	Min		-1371082.36	-444107.95	43478995.85	5935680075	-101322137	
	4±1.2D+0.5L+	Combination	Max		411324.71	1480359.85	43479116.34	847549502	-770521845	
	4±1.2D+0.5L+	Combination	Min		-411324.71	-1480359.85	43479060.65	456932153	-881683518	
	TLG = 0.8D+1F	Combination	Max		1371082.36	444107.95	27617173.46	472626485	-33455080	

Gambar 5.6 Berat Total Bangunan SRPMK 50 Lantai (1D+1L)  
Analisa SAP2000

Tabel 5.8 Berat total bangunan (1D+1L) SRPMK 50 Lantai

a.J Manual	42264732 kg
b.J Hasil SAP 2000	43998273,51 kg.
Prosentase ( selisih/manualx100%)	4,1% ≤ 5% (Oke)

## 5.J 60 Lantai

Base Reactions										
File View Format Filter Sort Select Options										
Units: As Noted										
	OutputCase Text	CaseType Text	StepType Text	StepNum Unitsless	GlobalFX Kg!	GlobalFY Kg!	GlobalFZ Kg!	GlobalMX Kg·m	GlobalMY Kg·m	
	LIVE	LinStatic		0000000004917	0000000000216	16007452.16	240112382.4	304142351.0		
	SDL	LinStatic		-7.95E-13	-5.11E-13	9562016	143430240	181678304.0		
	RSPX	LinRespSpns	Max	1887339.2	549441.95	43.7	86025600.33	271896368.3		
	RSPY	LinRespSpec	Max	506201.76	1828139.83	78.44	266752334.4	81565610.48		
	1D+1L	Combination		000000000064	0000000003382	53429563.34	801443450	-1075167703.0		
	EX	Combination	Max	1887339.2	549441.95	43.7	86025600.33	271896368.3		
	EX	Combination	Min	-1887339.2	-549441.95	-43.7	-86025600.33	-271896368.3		
	EY	Combination	Max	506201.76	1828139.83	15.77	266752334.4	81565610.48		
	EY	Combination	Min	-506201.76	-1828139.83	-15.77	-266752334.4	-81565610.48		
	1.2D+1RSX+1L	Combination	Max	1887339.2	549441.95	60914027.77	999755544	-855467206		
	1.2D+1RSX+1L	Combination	Min	-1887339.2	-549441.95	-60914027.77	-999755544	855467206		
	1.2D+1RSY+1L	Combination	Max	506201.76	1828139.83	60915993.34	1204622988	-1075796069		
	1.2D+1RSY+1L	Combination	Min	-506201.76	-1828139.83	-60915993.34	-1204622988	1075796069		
	JD STL1+1AC	Combination		000000006128	000000000711	52390899.69	75563495	-995427093.0		
	STL2+1.2D+1	Combination		000000002615	000000004523	70718472.87	1057777093	-1335805841.0		
	3 - 1.2D+0.5L	Combination	Max	1887339.2	549441.95	52910281.19	879673353	-733396630		
	3 - 1.2D+0.5L	Combination	Min	-1887339.2	-549441.95	-52910181.18	-879673353	733396630		
	4 - 1.2D+0.5L+	Combination	Max	506201.76	1828139.83	52910247.26	108040407	-823724886		
	4 - 1.2D+0.5L+	Combination	Min	-506201.76	-1828139.83	-52910247.26	-108040407	823724886		
	TL5 - 0.9D+1P	Combination	Max	1887339.2	549441.95	30673913.75	531223941	-360019049		

Gambar 5.7 Berat Total Bangunan SRPMK 60 Lantai (1D+1L)  
Analisa SAP2000

Tabel 5.9 Berat total bangunan (1D+1L) SRPMK 60 Lantai

a.J Manual	51335246 kg
b.J Hasil SAP 2000	53429563,34 kg.
Prosentase ( selisih/manualx100%)	4,1% ≤ 5% (Oke)

### 5.4.2 Sistem Rangka Bresing Konsentrik Khusus

#### 1.J 20 Lantai

Base Reactions							
	OutputCase Text	CaseType Text	StepType Text	StepNum Unitless	GlobalFX Kg	GlobalFY Kg	GlobalFZ Kg
	LIVE	LoadCase			-7,641E-14	000000009322	52280361.16
	SDL	LoadCase			-1,702E-13	000000009125	3201958
	RSRX	LoadSpec	Max		469478.63	146899.89	0,01609
	RSPY	LoadSpec	Max		140843.59	489665.3	0,02008
1D+1L	Combination			000000001231	000000001361	15623822.58	23457339.7
	EX	Combination	Max		469478.63	146899.89	0,01609
	EX	Combination	Min		-469478.63	-146899.89	-0,01609
	EY	Combination	Max		140843.59	489665.3	0,02008
	EY	Combination	Min		-140843.59	-489665.3	-0,02008
1.2D+1RSX+1L	Combination	Max			469478.63	146899.89	17702979.88
1.2D+1RSX+1L	Combination	Min			-469478.63	-146899.89	-17702979.88
1.2D+1RSY+1L	Combination	Max			140843.59	489665.3	17702979.88
1.2D+1RSY+1L	Combination	Min			-140843.59	-489665.3	-17702979.88
JDSSTLI = 1.4C	Combination			000000001183	000000006038	14564100.99	218311514.8
STL2 = 1.2D+1L	Combination			000000001147	000000002007	20839801.56	312697023.4
3 = 1.2D + 0.5L	Combination	Max			469478.63	146899.89	15088951.8
3 = 1.2D + 0.5L	Combination	Min			-469478.63	-146899.89	-15088951.8
4 = 1.2D + 0.5L	Combination	Max			140843.59	489665.3	15088951.8
4 = 1.2D + 0.5L	Combination	Min			-140843.59	-489665.3	-15088951.8
TLS = 0.5D+1F	Combination	Max			469478.63	146899.89	9358207.79
							148292111.4
							-15211050.2

Record [◀◀] [◀] [▶] [▶▶] of 515      Add Tables...      Done.

Gambar 5.8 Berat Total Bangunan SRBKK 20 Lantai (1D+1L)  
Analisa SAP2000

Tabel 5.10 Berat total bangunan (1D+1L) SRBKK 20 Lantai

a.J Manual	15798782 kg
b.J Hasil SAP 2000	15623822,58 kg.
Prosentase ( selisih/manualx100%)	1,1% ≤ 5% (Oke)

## 2.J 30 Lantai

Base Reactions									
File   View   Format-Filter-Sort   Select   Options									
Units: As Noted									
Base Reactions									
OutputCase Text	CaseType Text	StepType Text	StepNum Unitless	GlobalFX Kg f	GlobalFY Kg f	GlobalFZ Kg f	GlobalMX Kg f m	GlobalMY Kg f m	
LIVE	LnStatic		00000000039	000000007228	7823900.18	113843502.4	-150351039	0	
SDL	LnStatic		00000001635	000000003752	4844898	720734.40	-91239024	0	
RSPX	LnRespSpec	Max	728102.64	230694.31	59.37	18497637.34	59769986.34		
RSPY	LnRespSpec	Max	218430.79	768881.02	-17.84	61652731.06	173930876.5		
1D+1L	Combination		00000001639	000000006165	23977790.58	33956670.09	-45577831	0	
EX	Combination	Max	728102.64	230694.31	59.37	18497637.34	59769986.34		
EX	Combination	Min	-728102.64	-230694.31	-59.37	-18497637.34	-59769986.34		
EY	Combination	Max	218430.79	768881.02	17.84	61652731.06	173930876.5		
EY	Combination	Min	-218430.79	-768881.02	-17.84	-61652731.06	-173930876.5		
1,2D+1FS+1L	Combination	Max	728102.64	230694.31	27188816.04	426328957	-456815798		
1,2D+1FS+1L	Combination	Min	-728102.64	-230694.31	27188816.04	389332713	-576305955		
1,2D+1FSY+1L	Combination	Max	218430.79	768881.02	27188774.51	459490141	-438650500		
1,2D+1FSY+1L	Combination	Min	-218430.79	-768881.02	27188774.51	346172529	-534517253		
JDSTL1+1AC	Combination		000000002389	000000005431	22478832.59	337152489	-427058190	0	
STL2+1,2D+1L	Combination		000000002459	000000000243	31542456.78	479137451	-608907438	0	
3=1,2D+0,5L4	Combination	Max	728102.64	230694.31	23227359.98	366507236	-391543237		
3=1,2D+0,5L4	Combination	Min	-728102.64	-230694.31	23227247.22	329911961	-501088413		
4=1,2D+0,5L4	Combination	Max	218430.79	768881.02	23227324.43	410066390	-423387949		
4=1,2D+0,5L4	Combination	Min	-218430.79	-768881.02	23227288.74	286750807	-452949702		
TLS=0,9D+1F	Combination	Max	728102.64	230694.31	14443451.75	235238523	-214768887		

Gambar 5.9 Berat Total Bangunan SRBKK 30 Lantai (1D+1L)  
Analisa SAP2000

Tabel 5.11 Berat total bangunan (1D+1L) SRBKK 30 Lantai

a.J Manual	23710813 kg
b.J Hasil SAP 2000	23977780,58 kg.
Prosentase ( selisih/manualx100%)	1,1% ≤ 5% (Oke)

### 3.J 40 Lantai

Base Reactions										
File View Format Filter Sort Select Options										
Units As Noted										
Base Reactions										
OutputCase Text	CaseType Text	StepType Text	StepNum Unitless	GlobalFx Kgf	GlobalFy Kgf	GlobalFz Kgf	GlobalMx Kgf-m	GlobalMy Kgf-m		
LIVE	LinStatic		00000000826	00000001171	10617764.16	15936452.4	201737519.0			
SDL	LinStatic		000000004377	000000006821	5408736	36131040	121765984.0			
RSPX	LinRespSpec	Max	984077.78	310638.07	11,32	32982200.33	107190072.7			
RSPY	LinRespSpec	Max	295223.33	1035460.23			10940667.8	52157021.8		
1D+1L	Combination		000000007246	000000002052	33097044.09	496465651	-62864388.0			
EX	Combination	Max	984077.78	310638.07	11,32	32982200.33	107190072.7			
EX	Combination	Min	-984077.78	-310638.07	-11,32	-32982200.33	-107190072.7			
EY	Combination	Max	295223.33	1035460.23	3,22	10940667.8	52157021.8			
EY	Combination	Min	-295223.33	-1035460.23	-3,22	-10940667.8	-52157021.8			
1.2D+1RSX+IL	Combination	Max	984077.78	310638.07	37592571.39	598875701	-627075029			
1.2D+1RSY+IL	Combination	Min	-984077.78	-310638.07	37592588.75	530911301	821455174			
1.2D+1RSY+IL	Combination	Max	295223.33	1035460.23	37592503.79	673834153	662108000			
1.2D+1RSY+IL	Combination	Min	-295223.33	-1035460.23	37592586.35	453952833	748422123			
JDS1L1 = 1.45	Combination		000000000113	00000001234	3147391.9	472054978	597348846.0			
STL2 = 1.2D + IL	Combination		0000000365	000000032931	43963585.87	659453378	835307613.0			
3 = 1.2D + 0.5L	Combination	Max	984077.78	310638.07	32284023.31	517242470	506206259			
3 = 1.2D + 0.5L	Combination	Min	-984077.78	-310638.07	32284006.67	451278070	720586414			
4 = 1.2D + 0.5L	Combination	Max	295223.33	1035460.23	32284021.71	594200938	591239320			
4 = 1.2D + 0.5L	Combination	Min	-295223.33	-1035460.23	32284014.27	374319802	649553984			
TU3 = 0.8D+1F	Combination	Max	984077.78	310638.07	20231363.25	338462479	-27720614.			

Gambar 5.10 Berat Total Bangunan SRBKK 40 Lantai (1D+1L)  
Analisa SAP2000

Tabel 5.12 Berat total bangunan (1D+1L) SRBKK 40 Lantai

a.J Manual	33014565 kg
b.J Hasil SAP 2000	33097044,09 kg.
Prosentase ( selisih/manualx100%)	0,25% ≤ 5% (Oke)

#### 4.J 50 Lantai

Base Reactions										
	OutputCaseText	CaseTypeText	StepTypeText	StepNum	Unitless	GlobalFX_Kg	GlobalFY_Kg	GlobalFZ_Kg	GlobalMX_Kg-m	GlobalMY_Kg-m
	LIVE	LinStab			00000000061	00000001296	1312628.16	198629422.4	-25233935.0	
	SDL	LinStab			0000000007276	00000001296	8012576	120185640	-152238944.0	
	RSPX	LinRespSpec	Max		1388141.36	-392411.28	5.13	51445717.03	73571429.7	
	RSPY	LinRespSpec	Max		386442.41	1308037.5	2.38	171485723.4	52095243.9	
	1D+1L	Combination			00000001398	00000003178	42400635.36	636008530	805612022.0	
	EX	Combination	Max		1388141.36	-392411.28	5.13	51445717.03	73571429.7	
	EX	Combination	Min		1388141.36	-392411.28	5.13	-51445717.03	-73571429.7	
	EY	Combination	Max		386442.41	1308037.5	2.38	171485723.4	52095243.9	
	EY	Combination	Min		386442.41	-1308037.5	2.38	171485723.4	-52095243.9	
	1.2D+1RSX+1L	Combination	Max		1388141.36	-392411.28	48218241.94	774718239	742523020	
	1.2D+1RSX+1L	Combination	Min		1388141.36	-392411.28	48218231.57	671527835	1089763899	
	1.2D+1RSY+1L	Combination	Max		386442.41	1308037.5	48218239.18	854753276	854061255	
	1.2D+1RSY+1L	Combination	Min		386442.41	-1308037.5	48218234.43	551797829	998231743	
	JDS1(1+1D)	Combination			00000000217	00000002639	40723210.09	610948151	-73740992.0	
	STL2 + 1.2D+1	Combination			00000000143	00000004331	56205913.7	843087206	-1057910460	
3 - 1.2D+0.5Lx	Combination	Max			1388141.36	-392411.28	41561927.96	674874558	61635052	
3 - 1.2D+0.5Lx	Combination	Min			1388141.36	-392411.28	41561917.59	571883124	953234011	
4 - 1.2D+0.5Ly	Combination	Max			386442.41	1308037.5	41561935.21	794814554	737591288	
4 - 1.2D+0.5Ly	Combination	Min			386442.41	-1308037.5	41561920.35	451943117	847617176	
1L5 - 0.8D+1F	Combination	Max			1388141.36	-392411.28	26179211.62	444133814	337872444	

Gambar 5.11 Berat Total Bangunan SRBKK 50 Lantai (1D+1L)  
Analisa SAP2000

Tabel 5.13 Berat total bangunan (1D+1L) SRBKK 50 Lantai

a.J Manual	41856905 kg
b.J Hasil SAP 2000	42400635,36 kg.
Prosentase ( selisih/manualx100%)	1,3% ≤ 5% (Oke)

### 5.J 60 Lantai

Base Reactions										
File View Format-Filter-Sort Select Options										
Units As Noted										
Base Reactions										
Output Case Text	Case Type Text	Step Type Text	Step Num Unless	Global X Kg	Global Y Kg	Global Z Kg	Global MX Kg-m	Global MY Kg-m		
LIVE	Unidirectional			00000000039	000000001592	1607492.16	240112382.4	-304142351		
SDL	Unidirectional			00000000029	000000000574	3662016	142430240	-181579304		
RSPX	LinRespSpec	Max		1604236.51	51859.86	5.38	80318356.32	257073080.3		
RSPY	LinRespSpec	Max		481257.95	1729866.19	-1.38	263727854.4	7122157.5		
1D+1L	Combination			000000002441	000000000595	51708241.83	736226271	952456595		
EX	Combination	Max		1604236.51	51859.86	5.38	80318356.32	257073888.3		
EX	Combination	Min		-1604236.51	51859.86	-5.38	36618356	-257073858		
EY	Combination	Max		481257.95	1729866.19	1.38	259727854.4	7112157.5		
EY	Combination	Min		-481257.95	1729866.19	-1.38	-259727854	-7112158		
1.2D+1RSX+1L	Combination	Max		1604236.51	51859.86	58848397.14	953644233	-86104585		
1.2D+1RSX+1L	Combination	Min		-1604236.51	51859.86	58848386.38	80180750	-137519302		
1.2D+1RSY+1L	Combination	Max		481257.95	1729866.19	58848397.74	1152597371	-1040997296		
1.2D+1RSY+1L	Combination	Min		-481257.95	1729866.19	58848385.78	612996022	-1195241601		
1D+1L1+1AC	Combination			00000000294	000000001405	45981045.53	749715743	-949539911		
STL2 = 1.2D+1L	Combination			000000000693	0000000003751	68452887.08	1026793306	-1300504854		
3 = 1.2D+0.5L+	Combination	Max		1604236.51	51859.86	50844851.06	843588042	-708874410		
3 = 1.2D+0.5L+	Combination	Min		-1604236.51	51859.86	50844640.3	681751329	-1223122126		
4 = 1.2D+0.5L+	Combination	Max		481257.95	1729866.19	50844847.96	1032397540	-888926110		
4 = 1.2D+0.5L+	Combination	Min		-481257.95	1729866.19	50844643.7	452541803	-1043170425		
TLL = 0.9D+1P	Combination	Max		1604236.51	51859.86	32130680.08	562973477	-353408961		

Gambar 5.12 Berat Total Bangunan SRBKK 60 Lantai (1D+1L)  
Analisa SAP2000

Tabel 5.14 Berat total bangunan (1D+1L) SRBKK 60 Lantai

a.J Manual	50815491 kg
b.J Hasil SAP 2000	51708241,83 kg
Prosentase ( selisih/manualx100%)	1,76% ≤ 5% (Oke)

### 5.4.3 Sistem Rangka Bresing Konsentrik Khusus Menggunakan Outrigger

1.J 20 Lantai

Base Reactions									
OutputCaseText	CaseTypeText	StepTypeText	StepNumUnities	GlobalFXKgf	GlobalFYKgf	GlobalFZKgf	GlobalMXKgf.m	GlobalMYKgf.m	
► DEAD	LinStatic			000000007780	000000004093	6145133.15	52191997.27	-116776530.0	
MODAL	LinModal	Mode	1	11496.19	0.002186	0.001201	0.01923	6190188.7	
MODAL	LinModal	Mode	2	0.0003041	12597.58	-0.0005045	-672891.85	0.004562	
MODAL	LinModal	Mode	3	0.0003735	-0.0007336	0.004711	0.1	-0.15	
MODAL	LinModal	Mode	4	43967.18	0.008112	-0.03004	-0.37	-64815.82	
MODAL	LinModal	Mode	5	0.01878	47796.27	0.14	-109057.22	-3.94	
MODAL	LinModal	Mode	6	0.01695	0.03067	0.0774	1.17	-2.36	
MODAL	LinModal	Mode	7	-113682	0.006668	0.06724	1.55	610504.32	
MODAL	LinModal	Mode	8	0.0723	-115721.74	1.39	706750.91	-22.53	
MODAL	LinModal	Mode	9	0.14	0.31	-0.55	-5.28	8.45	
MODAL	LinModal	Mode	10	-0.0205688	-5054.53	0.04782	-2370.1	-0.33	
MODAL	LinModal	Mode	11	0.003522	-3.75	-119.31	1781.23	-266.88	
MODAL	LinModal	Mode	12	-326.21	-0.02895	-0.01239	-0.11	63616.7	
LIVE	LinStatic			000000008561	000000001419	522803.16	79420542.4	9332637.1	
SDL	LinStatic			000000003530	000000003342	3201056	48015940	6031064.0	
RSPX	LinResStSpec	Max		540968.07	162318.72	0.55	7956173.89	36495267.6	
RSPY	LinResStSpec	Max		162360.42	541052.33	-0.55	26520579.62	7949580.28	
1D+1L	Combinator			000000002092	000000001497	14575225.31	215626379.7	175928291.3	
EX	Combinator	Max		540968.07	162318.72	0.55	7956173.89	36495267.6	
EX	Combinator	Min		540968.07	-162318.72	-0.55	-7956173.89	-36495267.6	

Gambar 5.13 Berat Total Bangunan SRBKK+Outrigger 20 Lantai (1D+1L) Analisa SAP2000

Tabel 5.15 Berat total bangunan (1D+1L) SRBKK+Outrigger 20 Lantai

a.J Manual	15069129 kg
b.J Hasil SAP 2000	14575225,31 kg
Prosentase ( selisih/manualx100%)	3,3% ≤ 5% (Oke)

## 2.J 30 Lantai

Base Reactions									
File View Format-Filter-Sort Select Options Base Reactions Units: As Noted									
OutputCase Text	CaseType Text	StepType Text	StepNum Unitless	GlobalFX Kgf	GlobalFY Kgf	GlobalFZ Kgf	GlobalMX Kgf-m	GlobalMY Kgf-m	
DEAD	LinStatic			00000000329	00000000201	10129399	151504065	-19211841	
MODAL	LinModal	Mode	1	524.31	-0.00000573	0.0001012	0.001198	42293.4	
MODAL	LinModal	Mode	2	0.0001906	5839.53	0.0001394	-4.705914	-0.00581	
MODAL	LinModal	Mode	3	0.0001051	-0.000005019	-0.0001466	0.002456	0.00347	
MODAL	LinModal	Mode	4	2045.36	0.001467	0.00095	0.04006	-30997.14	
MODAL	LinModal	Mode	5	0.002232	22940.71	0.0243	31187.38	-0.05758	
MODAL	LinModal	Mode	6	-0.007019	-0.005463	-0.016	-0.03784	0.76	
MODAL	LinModal	Mode	7	-5281.8	0.03494	0.15	0.95	-496163.71	
MODAL	LinModal	Mode	8	0.03343	5572.51	0.11	-560156.96	-2.19	
MODAL	LinModal	Mode	9	-0.01665	0.03703	-0.02052	-0.6	1.45	
MODAL	LinModal	Mode	10	-71109.29	0.43	0.15	2.94	-7425.82	
MODAL	LinModal	Mode	11	0.14	-74895.01	0.74	-21459.07	-15.13	
MODAL	LinModal	Mode	12	-0.12	-0.22	-0.26	-19.75	25.03	
LIVE	LinStatic			00000000347	00000000132	7922900.16	118843502.4	-150535103	
SDL	LinStatic			00000000145	00000000961	4804896	72073440	-9129024	
RSPY	LinResp-Spec	Max		80268.47	241739.01	0.47	16157044.42	60522396.47	
RSPY	LinResp-Spec	Max		24000.04	803976.71	0.58	60523481.4	18156850.94	
1D+1L	Combination			00000000832	00000005597	22954735.16	342621027	-434239968	
EX	Combination	Max		80268.47	241739.01	0.47	16157044.42	60522396.47	
EX	Combination	Min		-80268.47	-241739.01	-0.47	-16157044.4	-60522396	

Gambar 5.14 Berat Total Bangunan SRBKK+Outrigger 30 Lantai (1D+1L) Analisa SAP2000

Tabel 5.16 Berat total bangunan (1D+1L) SRBKK+Outrigger 30 Lantai

a.J Manual	24019588 kg
b.J Hasil SAP 2000	22854735,16 kg
Prosentase ( selisih/manualx100%)	4,8% ≤ 5% (Oke)

### 3.J 40 Lantai

Base Reactions									
File	View	Format-Filter-Sort	Select	Options	Base Reactions				
Unit:	As Noted								
OutputCase Text	CaseType Text	StepType Text	StepNum Unilless	GlobalFX Kg	GlobalFY Kg	GlobalZ Kg	GlobalMX Kg-m	GlobalMY Kg-m	
UVE	LnStolic			00000001286	00000001023	1061764.16	159256452.4	-201737519.0	
SDL	LnStolic			00000001035	00000000651	6408736	96131040	-121765384.0	
RSRx	LnFlexSpec	Max		930024.47	291048.69	5.63	30493775.04	100622390	
RSPy	LnFlexSpec	Max		279007.34	970162.29	2.28	101645916.8	30186297.01	
1D+1L	Combination			00000001456	00000001984	31008847.98	468132220	-569169112.0	
EZ	Combination	Max		930024.47	291048.69	5.63	30493775.04	100622390	
EZ	Combination	Min		930024.47	-291048.69	-5.63	30493775.04	100622390	
EY	Combination	Max		279007.34	970162.29	2.28	101645916.8	30186297.01	
EY	Combination	Min		279007.34	-970162.29	-2.28	-101645917	-30186297	
1.2D+1RSx+1L	Combination	Max		930024.47	291048.69	35087070.43	566799745	-566801240	
1.2D+1RSx+1L	Combination	Min		930024.47	-291048.69	35087059.05	495812195	-767277220	
1.2D+1RSy+1L	Combination	Max		279007.34	970162.29	35087067.07	627951888	-638467333	
1.2D+1RSy+1L	Combination	Min		279007.34	-970162.29	35087062.48	424660054	-898411227	
1D+STL1+1AC	Combination			-2.387E-13	000000001345	2854751.34	428212760	-542402380	
STL2+1.2D+1	Combination			000000002266	000000000279	41457723.24	521855649	-787656741	
3=1.2D+0.5L+	Combination	Max		930024.47	291048.69	29775188.35	477186515	-467162481	
3=1.2D+0.5L+	Combination	Min		-930024.47	-291048.69	29775176.97	416178965	-668408461	
4=1.2D+0.5L+	Combination	Max		279007.34	970162.29	29775184.92	548318597	-595398754	
4=1.2D+0.5L+	Combination	Min		-279007.34	-970162.29	29775180.4	345036823	-595398754	
TLS=0.9D+1F	Combination	Max		930024.47	291048.69	18351981.13	305723406.6	-248064543	

Gambar 5.15 Berat Total Bangunan SRBKK+Outrigger 40 Lantai (1D+1L) Analisa SAP2000

Tabel 5.17 Berat total bangunan (1D+1L) SRBKK+Outrigger 40 Lantai

a.J Manual	32613967 kg
b.J Hasil SAP 2000	31008847,98 kg.
Prosentase ( selisih/manualx100%)	4,9% ≤ 5% (Oke)

#### 4.J 50 Lantai

Base Reactions										
File View Format Filter-Sort Select Options										
Units: As Noted										
Base Reactions										
OutputCase Text	CaseType Text	StepType Text	StepNum Unitless	GlobalFX Kgf	GlobalFY Kgf	GlobalFZ Kgf	GlobalMX Kgf-m	GlobalMY Kgf-m	GlobalMZ Kgf-m	
LIVE	LinStatic			00000000277	00000000246	13312620.16	19969422.4	-252939950.1		
SDL	LinStatic			-11376.13	00000000039	8072576	120108640	-152239344.1		
RSPX	LinRespSpec	Max	1182096.03	348057.63	5.33	4512668.29	159397514.5			
RSPY	LinRespSpec	Max		354628.81	1160225.43		150452895.9	47819254.34		
1D+1L	Combination		00000000263	00000001279	40128111.48	607921672	-762343118.0			
EX	Combination	Max	1182096.03	348057.63	5.33	4512668.29	159397514.5			
EY	Combination	Min	-1182096.03	-348057.63	-5.33	-4512668.29	-159397514.5			
EY	Combination	Max	354628.81	1160225.43	2.42	150452895.9	47819254.34			
EY	Combination	Min	-354628.81	-1160225.43	-2.42	-150452895.9	-47819254.34			
1.2D+1RSX+1L	Combination	Max	1182096.03	348057.63	45491213.47	727903951	-704935440			
1.2D+1RSX+1L	Combination	Min	-1182096.03	-348057.63	45491202.81	637232293	-10293046.9			
1.2D+1RSY+1L	Combination	Max	354628.81	1160225.43	45491210.56	826210108	-81651370.0			
1.2D+1RSY+1L	Combination	Min	-354628.81	-1160225.43	45491205.72	537915226	-91215220.9			
JDS1(L=1,4C)	Combination		1.593E-13	00000001074	37541676.85	953125150	-71329185.6			
SIL2 = 1,20+1	Combination		0000000367	00000002351	53479795.04	802181726	-101609916.8			
3+1,20+0,5L+	Combination	Max	1182096.03	348057.63	38834899.39	627955290	-57846547.3			
3+1,20+0,5L+	Combination	Min	-1182096.03	-348057.63	38834888.73	53730542	-69726092.0			
4+1,20+0,5L+	Combination	Max	354628.81	1160225.43	38834896.48	732956307	-6804373.9			
4+1,20+0,5L+	Combination	Min	-354628.81	-1160225.43	38834891.64	432070515	-76582452.2			
TLS = 0,5D+1L	Combination	Max	1182096.03	348057.63	24133940.32	407144834	-25914725.0			

Gambar 5.16 Berat Total Bangunan SRBKK+Outrigger 50 Lantai (1D+1L) Analisa SAP2000

Tabel 5.18 Berat total bangunan (1D+1L) SRBKK+Outrigger 50 Lantai

a.J Manual	41282204 kg
b.J Hasil SAP 2000	40128111,48 kg.
Prosentase ( selisih/manualx100%)	2,8% ≤ 5% (Oke)

### 5.J 60 Lantai

Base Reactions										
	OutputCase Text	CaseType Text	StepType Text	StepNum Unitless	GlobalFX Kgf	GlobalFY Kgf	GlobalFZ Kgf	GlobalMX Kgf-m	GlobalMY Kgf-m	GlobalMZ Kgf-m
	LIVE	LinStatic		-7.47E-13	000000006821	18007492.16	240112382.4	-304142351.1		
	SDL	LinStatic		00000000738	000000006764	9562016	143430240	-181678304.1		
	RSPX	LinRespSpec	Max	1489851.76	475106.47	0.2	73423081.75	237638216.5		
	RSPY	LinRespSpec	Max	446955.53	1583688.24	0.05104	24474365.8	7130946.94		
1D+1L	Combination			00000002833	000000001947	49377302.76	740659541	-338168752.1		
	EX	Combination	Max	1489851.76	475106.47	0.2	73423081.75	237638216.5		
	EY	Combination	Min	-1489851.76	-475106.47	-0.2	-73423082.1	-237638216.5		
	EY	Combination	Max	446955.53	1583688.24	0.05104	24474365.8	7130946.94		
	1.2D+1RSX+1L	Combination	Max	1489851.76	475106.47	56051365.08	914132555	-827275916		
	1.2D+1RSX+1L	Combination	Min	-1489851.76	-475106.47	56051364.68	767345681	1306762243		
	1.2D+1RSY+1L	Combination	Max	446955.53	1583688.24	56051364.94	1089512579	-89364566		
	1.2D+1RSY+1L	Combination	Min	-446955.53	-1583688.24	56051364.92	59605367	11362693498		
	1.2D+1TL1+1.4C	Combination		000000005014	000000001771	4571734.84	700766023	-887636962		
	STL2+1.2D+1	Combination		000000003101	000000003639	63655760.17	98483403	1247459443		
3 - 1.2D+0.5L+1	Combination	Max	1489851.76	475106.47	48047519	794135654	-675204641			
3 - 1.2D+0.5L+1	Combination	Min	-1489851.76	-475106.47	48047519.6	64728970	1150601074			
4 - 1.2D+0.5L+1	Combination	Max	446955.53	1583688.24	48047518.86	955456508	-841533392			
4 - 1.2D+0.5L+1	Combination	Min	-446955.53	-1583688.24	48047518.74	473989176	-984212322			
TL5 - 0.9D+1F	Combination	Max	1489851.76	475106.47	30032829.74	523015625	-33282648			

Gambar 5.17 Berat Total Bangunan SRBKK+Outrigger 60 Lantai (1D+1L) Analisa SAP2000

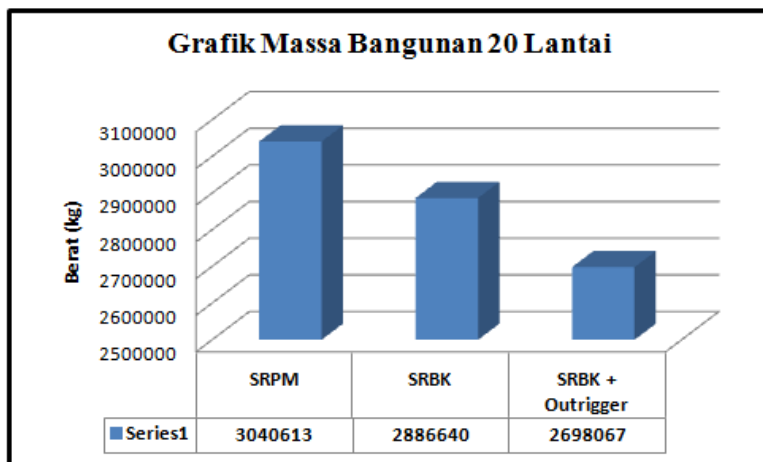
Tabel 5.19 Berat total bangunan (1D+1L) SRBKK+Outrigger 60 Lantai

a.J Manual	50184484 kg
b.J Hasil SAP 2000	49377302.76 kg
Prosentase ( selisih/manualx100%)	1,6% ≤ 5% (Oke)

## 5.5 Perbandingan Massa Bangunan

Perbandingan massa bangunan ditunjukkan dalam bentuk grafik dari ketiga sistem ditinjau dari total berat profil baja yang digunakan, baik profil kolom, balok induk, balok anak, bresing, belt truss, dan outrigger.

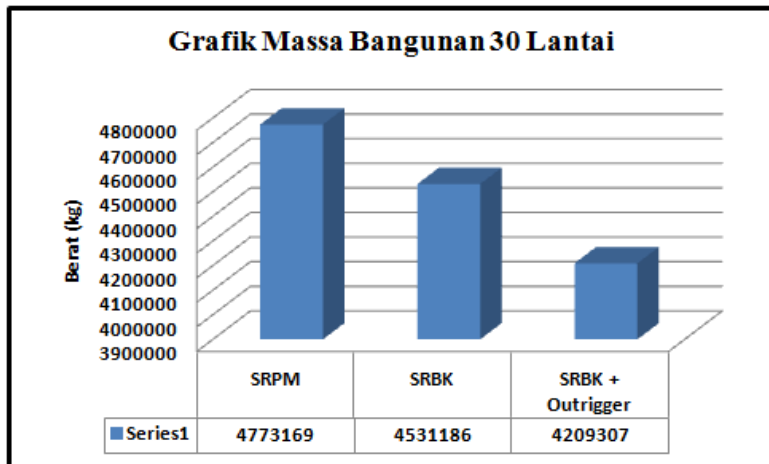
### 5.5.1 Bangunan 20 Lantai



Gambar 5.18 Grafik Perbandingan Massa Bangunan 20 Lantai

Dari grafik tersebut dapat diketahui bahwa massa pada bangunan 20 lantai untuk sistem rangka pemikul momen ialah 3040613 kg, sistem rangka bresing konsentrik ialah 2886640 kg, dan sistem rangka bresing konsentrik menggunakan *outrigger* ialah 2698067 kg.

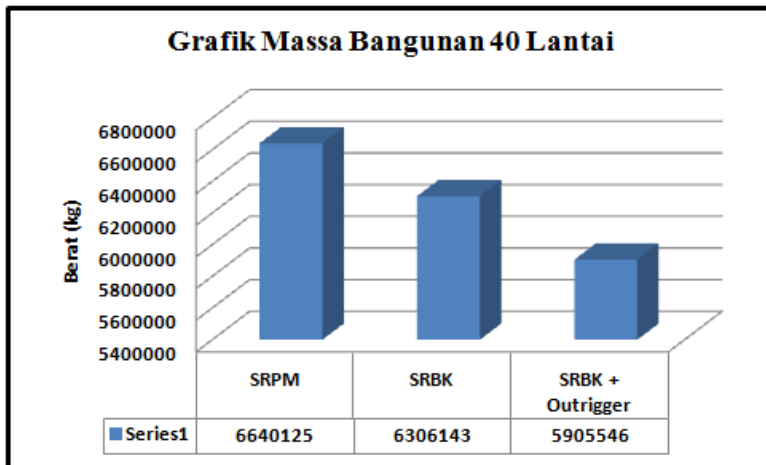
### 5.5.2 Bangunan 30 Lantai



Gambar 5.19 Grafik Perbandingan Massa Bangunan 30 Lantai

Dari grafik tersebut dapat diketahui bahwa massa pada bangunan 30 lantai untuk sistem rangka pemikul momen ialah 4773169 kg, sistem rangka bresing konsentrik ialah 4531186 kg, dan sistem rangka bresing konsentrik menggunakan *outrigger* ialah 4209307 kg.

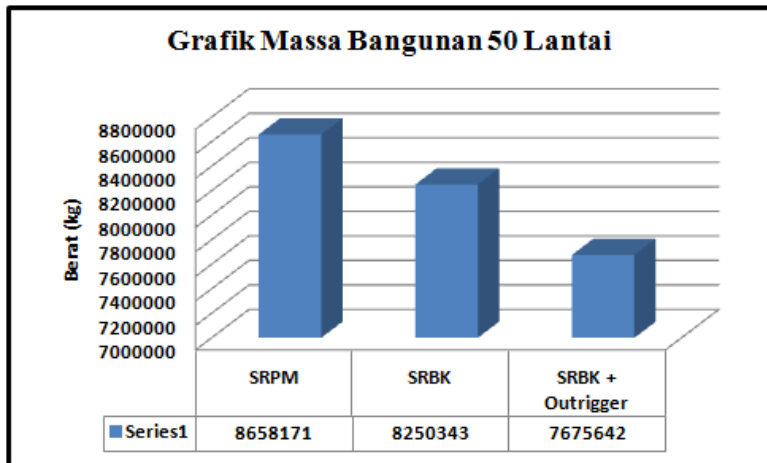
### 5.5.3 Bangunan 40 Lantai



Gambar 5.20 Grafik Perbandingan Massa Bangunan 40 Lantai

Dari grafik tersebut dapat diketahui bahwa massa pada bangunan 40 lantai untuk sistem rangka pemikul momen ialah 6640125 kg, sistem rangka bresing konsentrik ialah 6306143 kg, dan sistem rangka bresing konsentrik menggunakan *outrigger* ialah 5905546 kg.

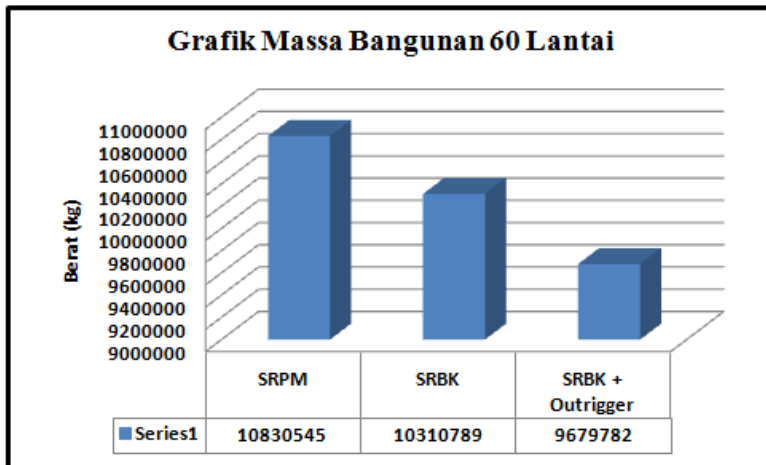
#### 5.5.4 Bangunan 50 Lantai



Gambar 5.21 Grafik Perbandingan Massa Bangunan 50 Lantai

Dari grafik tersebut dapat diketahui bahwa massa pada bangunan 50 lantai untuk sistem rangka pemikul momen ialah 8658171 kg, sistem rangka bresing konsentrik ialah 8250343 kg, dan sistem rangka bresing konsentrik menggunakan *outrigger* ialah 7675642 kg.

### 5.5.5 Bangunan 60 Lantai



Gambar 5.22 Grafik Perbandingan Massa Bangunan 60 Lantai

Dari grafik tersebut dapat diketahui bahwa massa pada bangunan 60 lantai untuk sistem rangka pemikul momen ialah 10830545 kg, sistem rangka bresing konsentrik ialah 10310789 kg, dan sistem rangka bresing konsentrik menggunakan *outrigger* ialah 9679782 kg.

Dari seluruh grafik perbandingan berat bangunan dapat disimpulkan bahwa SRBKK menggunakan outrigger lebih ringan dibandingkan dengan SRPMK dan SRBKK.

## 5.6 Kombinasi Pembebanan

Pembebanan struktur baja harus mampu memikul semua beban kombinasi pembebanan di bawah ini berdasarkan SNI 03-1726-2012 Pasal 4.2.2:

- 1.J 1,4D
- 2.J 1,2D + 1,6L + 0,5(Lr atau R)
- 3.J 1,2D + 1,6(Lr atau R) + 0,5(L atau 0,5W)
- 4.J 1,2D + 1,0 W + L + 0,5(Lr atau R)
- 5.J 1,2D + 1,0E + L
- 6.J 0,9D + 1,0W
- 7.J 0,9D + 1,0E

Keterangan : D : Beban Mati

L : Beban Hidup

Lr atau R : Beban Hujan

W : Beban Angin

E : Beban Gempa

## 5.7 Pembebanan Gempa Dinamis

Perencanaan struktur bangunan ini terdiri dari jumlah lantai yang variatif.. Perhitungan beban gempa pada struktur ini ditinjau dengan pengaruh gempa dinamik sesuai SNI 03-1726-2012. Analisis dilakukan berdasarkan analisis respon dinamik dengan parameter-parameter yang sudah ditentukan.

### 5.7.1 Arah Pembebanan

Arah pembebanan gempa dalam kenyataannya adalah sembarang, sehingga pada umumnya selalu terdapat 2 komponen beban gempa dalam arah masing-masing sumbu koordinat ortogonal yang bekerja bersamaan pada struktur gedung. Kondisi ini disimulasikan dengan meninjau pembebanan gempa dalam suatu arah sumbu koordinat yang ditinjau 100%, yang bekerja bersamaan dengan pembebanan gempa dalam arah tegak lurus tetapi ditinjau 30%.

### 5.7.2 Parameter Respon Spektrum Rencana

- 1.JMenentukan Kategori Resiko Bangunan Gedung  
BerdasarkanSNI 1726:2012 Tabel 1, bangunan yang dirancang masuk kedalam kategori resiko II.
- 2.JMenentukan Faktor Keutamaan Gempa  
Berdasarkan Kategori gempa yang didapat maka dariSNI 1726:2012 Tabel 2 dapat ditentukan Faktor Keutamaan Gempanya yaitu  $I_e = 1$
- 3.JMenentukan Parameter Percepatan Gempa  
Nilai parameter percepatan gempa didapat dari peta zonasi gempa pada Gambar Untuk kota Yogyakarta didapat nilai  $S_s = 1,2g$  dan  $S_1 = 0,5g$ .

### 4.JMenentukan Klasifikasi Situs

Menurut SNI 1726:2012 pasal 5.3 untuk menentukan klasifikasi situs dapat ditentukan salah satunya dengan menentukan nilai  $\bar{N}$  berdasarkan data hasil SPT.

Adapun definisi parameter kelas situs yang menggunakan data SPT dapat dilihat pada SNI 1726:2012 pasal 5.4.2 persamaan (2)

$$\bar{N} = \frac{\sum_{i=1}^n d_i}{\sum_{i=1}^n N_i} = \frac{30}{\sum_{i=1}^n \frac{d_i}{N_i}}$$

Keterangan:

$d_i$ = tebal setiap lapisan antara kedalaman 0 sampai 30 meter;

$$\sum_{i=1}^n d_i = 30 \text{ meter}$$

$N_i$  = tahanan penetrasi standar yang terukur langsung dilapangan.

Berdasarkan hasil perhitungan nilai  $\bar{N}$  pada Tabel 6.2 diketahui situs merupakan Tanah Sedang (SD).  $\bar{N} = 15 \text{ s/d } 50$ .

Tabel 5.20 Perhitungan Nilai  $\bar{N}$ 

Blow	NSPT (Ni)	Kedalaman (m)	Tebal (di)	di/Ni (tebal/NSPT)	$\sum_{i=1}^n \frac{d_i}{N_i}$	$\bar{N} - \frac{30}{\sum_{i=1}^n \frac{d_i}{N_i}}$
0	0	0	0	0	10,04	2,988048
1	0	1	1	0		
2	4	2	1	0,250		
3	6	3	1	0,167		
4	4	4	1	0,250		
5	1	5	1	1,000		
6	1	6	1	1,000		
7	1	7	1	1,000		
8	1	8	1	1,000		
9	1	9	1	1,000		
10	1	10	1	1,000		
11	1	11	1	1,000		
12	1	12	1	1,000		
13	2	13	1	0,500		
14	2,5	14	1	0,400		
15	3	15	1	0,333		
16	10	16	1	0,100		
17	25	17	1	0,040		

### 5.JMenentukan Koefisien Situs

Berdasarkan tabel 4 dan 5 pada SNI 1726:2012 dapat diketahui nilai  $F_a=1$  dan  $F_v=1,5$

### 6.JMenghitung Parameter Percepatan Desain Spektral

Sebelum menentukan parameter percepatan desain spektral perlu dihitung nilai parameter respons percepatan pada periode pendek ( $S_{MS}$ ) dan pada periode 1 detik ( $S_{M1}$ ) dengan persamaan pada SNI 1726:2012 Pasal 6.2 persamaan (5) dan (6). Selanjutnya nilai  $SDS$  dan  $SD1$  dapat dicari pada SNI 1726:2012 Pasal 6.3 persamaan (7) dan (8).

$$S_{MS} = F_a \times S_S = 1 \times 1,2 \text{ g} = 1,2 \text{ g}$$

$$S_{M1} = F_v \times S_1 = 1,5 \times 0,5 \text{ g} = 0,75 \text{ g}$$

$$S_{DS} = \frac{2}{3} S_{MS} = \frac{2}{3} \times 1,2g = 0,8g$$

$$S_{D1} = \frac{2}{3} S_{M1} = \frac{2}{3} \times 0,75g = 0,5g$$

#### 7.JMenentukan Kategori Desain Seismik

Berdasarkan tabel 6 dan 7 pada SNI 1726:2012 dilihat dari kategori resiko yang didapat pada tinjauan sebelumnya maka diketahui bangunan termasuk kategori desain seismic D untuk kedua parameter  $S_{DS}$  dan  $S_{D1}$ .

#### 8.JMenentukan parameter struktur R, $C_d$ , dan $\Omega_0$

Berdasarkan SNI 1726:2012 pasal 7.2.2 tabel.9 didapat nilai parameter struktur bangunan untuk rangka pemikul momen khusus adalah :

$$R^a = 8$$

$$\Omega_0 = 3$$

$$C_d^b = 5,5$$

Berdasarkan SNI 1726:2012 pasal 7.2.2 tabel.9 didapat nilai parameter struktur bangunan untuk rangka baja dengan bresing konsentrik adalah :

$$R^a = 6$$

$$\Omega_0 = 2$$

$$C_d^b = 5$$

Berdasarkan SNI 1726:2012 pasal 7.2.2 tabel.9 didapat nilai parameter struktur bangunan untuk rangka baja dengan bresing konsentrik dan outrigger adalah :

$$R^a = 5$$

$$\Omega_0 = 2,5$$

$$C_d^b = 4,5$$

### 9.J Analisa model respon spektrum

Untuk grafik respons spektrum rencana, penggambarannya mengikuti ketentuan SNI 1726:2012 Pasal 6.4 berikut :

- J Batasan Periode

$$T_o = 0,2 \frac{S_{D1}}{S_{DS}} = 0,2 \times \frac{0,5}{0,8} = 0,125 \text{ detik}$$

$$T_s = \frac{S_{D1}}{S_{DS}} = \frac{0,5}{0,8} = 0,625 \text{ detik}$$

- J Respon spektrum percepatan desain saat  $T < T_0$

$$S_a = S_{DS} \left( 0,4 + 0,6 \frac{T}{T_0} \right)$$

Misalkan saat  $T=0$  detik maka Sa :

$$S_a = 0,8 \left( 0,4 + 0,6 \frac{0}{0,125} \right) = 0,4g$$

- J Respon spektrum percepatan desain saat  $T_0 \leq T \leq T_s$

$$Sa = S_{DS} = 0,8g$$

- J Respon Spektrum Percepatan Desain saat  $T \geq T_s$

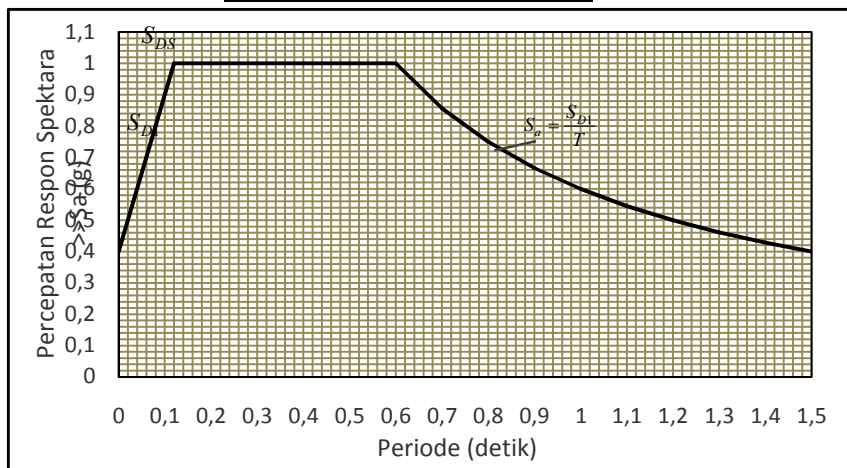
$$S_a = \frac{S_{D1}}{T}$$

Karena  $T_s = 0,6$  detik maka untuk  $T \geq T_s$ . Misalkan T yang diambil 0,7 detik. Maka :

$$S_a = \frac{S_{D1}}{T} = \frac{0,5}{0,7} = 0,714$$

Tabel 5.21 Nilai Periode Fundamental (T) dan Percepatan Respon Spektra (Sa) berdasarkan ketentuan SNI 1726:2012 Pasal 6.4

T	Sa
0	0,400
0,12	0,800
0,2	0,800
0,3	0,800
0,4	0,800
0,5	0,800
0,6	0,800
0,7	0,714
0,8	0,625
0,9	0,556
1,0	0,500
1,1	0,455
1,2	0,417
1,3	0,385
1,4	0,357
1,5	0,333



Gambar 5.23 Hasil Grafik Spektrum Respon Desain

Nilai spectrum respons tersebut harus dikalikan dengan suatu faktor skala (*scale factor*) yang besarnya =  $g \times I_e/R$   
 Keterangan :  $g =$  percepatan gravitasi ( $g = 9,81 \text{ m/det}$ )

▪J Untuk MRF

*Scale factor* =  $9,81 \times 1 / 8 = 1,22625$ , karena gempa dua arah yaitu arah x,y maka beban gempa didistribusikan 100% kearah x dan 30% kearah y jika ditinjau dari sumbu x dan sebaliknya. Sehingga scale factor arah x = 1,635 dan scale factor arah y =  $0,3 \times 1,22625 = 0,367875$

Nilai redaman untuk struktur baja diambil, *Damping* = 0,05.

Dari hasil analisa struktur menggunakan program analisa struktur didapat nilai T (Periode Getar Fundamental Struktur)

20 Lantai = 2,68 detik

30 Lantai = 4,02 detik

40 Lantai = 5,31 detik

50 Lantai = 6,50 detik

60 Lantai = 7,65 detik

▪J Untuk Bangunan menggunakan bresing

Nilai spectrum respons tersebut harus dikalikan dengan suatu faktor skala (*scale factor*) yang besarnya =  $g \times I_e/R$

Keterangan :  $g =$  percepatan gravitasi ( $g = 9,81 \text{ m/det}$ )

*Scale factor* =  $9,81 \times 1 / 6 = 1,635$ , karena gempa dua arah yaitu arah x,y maka beban gempa didistribusikan 100% kearah x dan 30% kearah y jika ditinjau dari sumbu x dan sebaliknya. Sehingga scale factor arah x = 1,635 dan scale factor arah y =  $0,3 \times 1,635 = 0,4905$

Nilai redaman untuk struktur baja diambil, *Damping* = 0,05.

Dari hasil analisa struktur menggunakan program analisa

Tabel 5.22 Periode Getar SRBKK dan SRBKK+Outrigger

Gedung	SRBKK	SRBKK + Outrigger
20 Lantai	2,20 detik	1,81 detik
30 Lantai	3,56 detik	2,97 detik
40 Lantai	4,87 detik	4,73 detik
50 Lantai	6,19 detik	6,06 detik
60 Lantai	7,43 detik	7,37 detik

•J Menghitung Periode Fundamental Perkiraan

Periode fundamental perkiraan dihitung dengan menentukan nilai  $C_t$  dan  $x$  terlebih dahulu yang terdapat pada SNI 1726:2012 tabel 15 . Selanjutnya nilai  $T_a$  dapat dihitung berdasarkan SNI 1726:2012 pasal 7.8.2.1 persamaan (26).

Untuk Sistem Rangka pemikul momen didapat nilai  $C_t = 0,0724$  dan  $x = 0,8$ .

1.J20 Lantai

$$T_a = C_t x h_n^x = 0,0724 \times 80^{0,8} = 2,411 \text{ detik}$$

2.J30 Lantai

$$T_a = C_t x h_n^x = 0,0724 \times 120^{0,8} = 3,355 \text{ detik}$$

3.J40 Lantai

$$T_a = C_t x h_n^x = 0,0724 \times 160^{0,8} = 4,198 \text{ detik}$$

4.J50 Lantai

$$T_a = C_t x h_n^x = 0,0724 \times 200^{0,8} = 5,018 \text{ detik}$$

5.J60 Lantai

$$T_a = C_t x h_n^x = 0,0724 \times 240^{0,8} = 5,806 \text{ detik}$$

Untuk Sistem Rangka berbresing didapat nilai  $C_t = 0,0731$  dan  $x = 0,75$ .

1.J20 Lantai

$$T_a = C_t x h_n^x = 0,0731 \times 80^{0,75} = 1,955 \text{ detik}$$

2.J30 Lantai

$$T_a = C_t x h_n^x = 0,0731 \times 120^{0,75} = 2,650 \text{ detik}$$

## 3.J40 Lantai

$$T_a = C_t x h_n^x = 0,0731 \times 160^{0,75} = 3,289 \text{ detik}$$

## 4.J50 Lantai

$$T_a = C_t x h_n^x = 0,0731 \times 200^{0,75} = 3,888 \text{ detik}$$

## 5.J60 Lantai

$$T_a = C_t x h_n^x = 0,0731 \times 240^{0,75} = 4,457 \text{ detik}$$

## •J Menghitung Batas Atas Periode Struktur

Periode struktur bangunan dibatasi dengan mengalikan nilai periode fundamental perkiraan dengan koefisien Cu. Berdasarkan nilai SD1 yang didapat dari perhitungan sebelumnya yaitu  $0,5g \geq 0,4g$  maka didapat nilai Cu = 1,4 yang terdapat pada SNI 1726:2012 tabel 14.

Untuk Sistem Rangka pemikul momen:

## 1.J 20 Lantai

$$Cu \times Ta = 1,4 \times 2,411 = 3,376 \text{ detik}$$

## 2.J 30 Lantai

$$Cu \times Ta = 1,4 \times 3,355 = 4,669 \text{ detik}$$

## 3.J 40 Lantai

$$Cu \times Ta = 1,4 \times 4,198 = 5,877 \text{ detik}$$

## 4.J 50 Lantai

$$Cu \times Ta = 1,4 \times 5,018 = 7,026 \text{ detik}$$

## 5.J 60 Lantai

$$Cu \times Ta = 1,4 \times 5,806 = 8,129 \text{ detik}$$

Untuk Sistem Rangka berbresing :

## 1.J 20 Lantai

$$Cu \times Ta = 1,4 \times 1,955 = 2,738 \text{ detik}$$

## 2.J 30 Lantai

$$Cu \times Ta = 1,4 \times 2,650 = 3,710 \text{ detik}$$

## 3.J 40 Lantai

$$Cu \times Ta = 1,4 \times 3,289 = 4,604 \text{ detik}$$

## 4.J 50 Lantai

$$Cu \times Ta = 1,4 \times 3,888 = 5,443 \text{ detik}$$

### 5.J 60 Lantai

$$Cu \times Ta = 1,4 \times 4,457 = 6,240 \text{ detik}$$

Menurut SNI 1726:2012 pasal 7.9.4.1, Periode fundamental struktur (T) yang digunakan:

- Jika  $T_c > Cu \times Ta$  maka digunakan  $T = Cu \times Ta$
- Jika  $T_a < T_c < Cu \times Ta$  maka digunakan  $T = T_c$
- Jika  $T_c < T_a$  maka digunakan  $T = T_a$

Keterangan :

$T_c$  : Periode fundamental struktur yang diperoleh dari program analisa struktur

Dari hasil analisa program bantu analisa struktur didapat  $T_c > Cu \times Ta$ , maka periode fundamental struktur yang digunakan adalah  $T = Cu \times Ta$

## 5.8 Analisis Struktur

Hasil analisis struktur harus dikontrol terhadap suatu batasan- batasan tertentu untuk menentukan kelayakan sistem struktur tersebut. Kontrol- kontrol tersebut adalah sebagai berikut:

- J Kontrol partisipasi massa
- J Kontrol periode getar struktur
- J Kontrol nilai akhir respon spektrum
- J Kontrol batas simpangan (*drift*)

Dari hasil analisis struktur juga, dipilih gaya dalam maksimum yang terjadi pada masing- masing elemen struktur sebagai kontrol kapasitas penampang.

### 5.8.1 Kontrol Nilai Akhir Respon Spektrum

Jika kombinasi respons untuk gaya geser dasar ragam dinamik ( $V_t$ ) lebih kecil 85% dari gaya geser dasar statik ( $V$ ) menggunakan prosedur gaya lateral ekivalen, maka gaya gempa harus dikalikan dengan  $0,85V/V_t$  (SNI 1726-2012 Pasal 7.9.4.1).

#### 1.J Menentukan Koefisien Respons Seismik

Koefisien seismik,  $C_s$ , dihitung dengan Persamaan (3-7).

Nilai dari persamaan (3-8) ini tidak perlu melebihi nilai dari

Persamaan (3-9) dan tidak boleh kurang dari nilai Persamaan (3-10) atau dapat dilihat pada SNI 1726:2012 pasal 7.8.1.1.

Untuk MRF :

1.J 20 Lantai

$$C_{s\text{perlu}} = \frac{S_{DS}}{\left(\frac{R}{I_e}\right)} = \frac{0,8}{\frac{8}{1}} = 0,1$$

$$C_{s1} = \frac{S_{D1}}{T\left(\frac{R}{I_e}\right)} = \frac{0,5}{3,376\left(\frac{8}{1}\right)} = 0,0247$$

$$C_{s2} = 0,044 \cdot S_{DS} \cdot I_e \geq 0,01 \quad (\text{OK})$$

$$C_{s2} = 0,044 \cdot 0,8 \cdot 1 = 0,035 \geq 0,01 \quad (\text{OK})$$

Kontrol : 1.  $C_{s\text{perlu}} \leq C_{s1} = 0,1 \geq 0,0185 \rightarrow$  digunakan  $C_s = 0,0185$

2.  $C_{s\text{perlu}} \geq C_{s2} = 0,1 \geq 0,044 \rightarrow$  digunakan  $C_s = 0,1$

Karena struktur yang berlokasi didaerah dimana  $S_1$  sama dengan atau lebih besar dari 0,5 g maka  $C_{s\text{perlu}}$  tidak kurang dari :

$$C_{s3} = \frac{0,5 \cdot S_1}{\left(\frac{R}{I_e}\right)} = \frac{0,5 \cdot 0,5}{\left(\frac{8}{1}\right)} = 0,0313$$

$$3. C_{s\text{perlu}} \geq C_{s3} = 0,1 \geq 0,0313 \rightarrow$$
 digunakan  $C_s = 0,1$

Dari ketiga hasil perhitungan diatas, apabila digunakan  $C_s = 0,1$  maka kontrol 1 tidak memenuhi sehingga digunakan  **$C_s = 0,0185$**

Dengan cara yang sama, diperoleh  $C_s$  untuk gedung yang lain sebagai berikut:

2.J 30 Lantai :  $C_s = 0,0134$

3.J 40 Lantai :  $C_s = 0,0106$

4.J 50 lantai :  $C_s = 0,0089$

5.J 60 Lantai :  $C_s = 0,0077$

Untuk Gedung Berbresing:

1.J 20 Lantai :  $C_s = 0,0304$

2.J 30 Lantai :  $C_s = 0,0225$

3.J 40 Lantai : Cs = 0,0181

4.J 50 lantai : Cs = 0,0153

5.J 60 Lantai : Cs = 0,0134

Untuk Gedung Berbresing + Outrigger :

6.J 20 Lantai : Cs = 0,0365

7.J 30 Lantai : Cs = 0,0270

8.J 40 Lantai : Cs = 0,0217

9.J 50 lantai : Cs = 0,0184

10.J60 Lantai : Cs = 0,0160

## 2.JMenentukan Gaya Geser Dasar Seismik

Berdasarkan SNI 1726:2012 pasal 7.8.1, gaya gempa lateral didapat dengan mengalikan dengan berat bangunan dengan koefisien respon seismik.

### 1. Sistem Rangka Pemikul Momen Khusus

a.20 Lantai

$$V_{\text{statik}} = Cs \cdot W = 0,0185 \times 16337793,94 \text{ kg}$$

$$V_{\text{statik}} = 302506,59 \text{ kg/detik}$$

Dari hasil analisis menggunakan program SAP2000 didapatkan nilai gaya geser dasar (base shear) sebagai berikut :

Tabel 5.23 Gaya Geser Dasar Akibat Beban Gempa SRPMKK 20 Lantai

Beban Gempa	Global FX (kg)	Global FY (kg)
Gempa Arah X	604434,08	182586,85
Gempa Arah Y	181330,23	608622,83

Kontrol nilai akhir respon spectrum:

-J Arah-x :

$$V_{\text{dinamik}} \geq 0,85 \cdot V_{\text{statik}}$$

$$604434,08 \text{ kg} \geq 0,85 \cdot 302506,59 \text{ kg}$$

$$604434,08 \text{ kg} \geq 257130,602 \text{ kg} \dots \text{Oke!!!}$$

-J Arah-y :

$$V_{\text{dinamik}} \geq 0,85 \cdot V_{\text{statik}}$$

$$608622,83 \text{ kg} \geq 0,85 \cdot 302506,59 \text{ kg}$$

$$608622,83 \text{ kg} \geq 257130,602 \text{ kg} \dots \text{Oke!!!}$$

Maka, hasil nilai akhir respon spektrum telah memenuhi

b.J0 Lantai

$$V_{\text{statik}} = C_s \cdot W = 0,0134 \times 25424067,35 \text{ kg}$$

$$\mathbf{V_{\text{statik}} = 340340,356 \text{ kg/detik}}$$

Dari hasil analisis menggunakan program SAP2000 didapatkan nilai gaya geser dasar (base shear) sebagai berikut :

Tabel 5.24 Gaya Geser Dasar Akibat Beban Gempa SRPMKK 30 Lantai

Beban Gempa	Global FX (kg)	Global FY (kg)
Gempa Arah X	907887,96	273312,91
Gempa Arah Y	272366,39	911043,02

Kontrol nilai akhir respon spectrum:

-J Arah-x :

$$V_{\text{dinamik}} \geq 0,85 \cdot V_{\text{statik}}$$

$$907887,96 \text{ kg} \geq 0,85 \cdot 340340,356 \text{ kg}$$

$$907887,96 \text{ kg} \geq 289289,303 \text{ kg} \dots \text{Oke!!!}$$

-J Arah-y :

$$V_{\text{dinamik}} \geq 0,85 \cdot V_{\text{statik}}$$

$$911043,02 \text{ kg} \geq 0,85 \cdot 340340,356 \text{ kg}$$

$$911043,02 \text{ kg} \geq 289289,303 \text{ kg} \dots \text{Oke!!!}$$

Maka, hasil nilai akhir respon spektrum telah memenuhi

c.J0 Lantai

$$V_{\text{statik}} = C_s \cdot W = 0,0106 \times 34677727,6 \text{ kg}$$

$$\mathbf{V_{\text{statik}} = 368780,595 \text{ kg/detik}}$$

Dari hasil analisis menggunakan program SAP2000 didapatkan nilai gaya geser dasar (base shear) sebagai berikut :

Tabel 5.25 Gaya Geser Dasar Akibat Beban Gempa SRPMKK 40 Lantai

Beban Gempa	Global FX (kg)	Global FY (kg)
Gempa Arah X	1230415,57	368187,33
Gempa Arah Y	369124,67	1227291,1

Kontrol nilai akhir respon spectrum:

-J Arah-x :

$$V_{\text{dinamik}} \geq 0,85 \cdot V_{\text{statik}}$$

$$1230415,57 \text{ kg} \geq 0,85 \cdot 368780,595 \text{ kg}$$

$$1230415,57 \text{ kg} \geq 313463,505 \text{ kg} \dots \text{Oke!!!}$$

-J Arah-y :

$$V_{\text{dinamik}} \geq 0,85 \cdot V_{\text{statik}}$$

$$1227291,1 \text{ kg} \geq 0,85 \cdot 368780,595 \text{ kg}$$

$$1227291,1 \text{ kg} \geq 313463,505 \text{ kg} \dots \text{Oke!!!}$$

Maka, hasil nilai akhir respon spektrum telah memenuhi

#### d.50 Lantai

$$V_{\text{statik}} = C_s \cdot W = 0,0089 \times 43998273,51 \text{ kg}$$

$$V_{\text{statik}} = 391403,815 \text{ kg/detik}$$

Dari hasil analisis menggunakan program SAP2000 didapatkan nilai gaya geser dasar (base shear) sebagai berikut :

Tabel 5.26 Gaya Geser Dasar Akibat Beban Gempa SRPMKK 50 Lantai

Beban Gempa	Global FX (kg)	Global FY (kg)
Gempa Arah X	1545744,33	460908,9
Gempa Arah Y	463723,3	1536363

Kontrol nilai akhir respon spectrum:

-J Arah-x :

$$V_{\text{dinamik}} \geq 0,85 \cdot V_{\text{statik}}$$

$$1545744,33 \text{ kg} \geq 0,85 \cdot 391403,815 \text{ kg}$$

$$1545744,33 \text{ kg} \geq 332693,242 \text{ kg} \dots \text{Oke!!!}$$

-J Arah-y :

$$V_{\text{dinamik}} \geq 0,85 \cdot V_{\text{statik}}$$

$$1536363 \text{ kg} \geq 0,85 \cdot 391403,815 \text{ kg}$$

$$1536363 \text{ kg} \geq 332693,242 \text{ kg} \dots \text{Oke!!!}$$

Maka, hasil nilai akhir respon spektrum telah memenuhi

e.J60 Lantai

$$V_{\text{statik}} = C_s \cdot W = 0,0077 \times 53429563,34 \text{ kg}$$

$$V_{\text{statik}} = \mathbf{410795,849 \text{ kg/detik}}$$

Dari hasil analisis menggunakan program SAP2000 didapatkan nilai gaya geser dasar (base shear) sebagai berikut :

Tabel 5.27 Gaya Geser Dasar Akibat Beban Gempa SRPMKK 60 Lantai

Beban Gempa	Global FX (kg)	Global FY (kg)
Gempa Arah X	1858323,79	552322,75
Gempa Arah Y	557497,14	1841075,85

Kontrol nilai akhir respon spectrum:

-J Arah-x :

$$V_{\text{dinamik}} \geq 0,85 \cdot V_{\text{statik}}$$

$$1858323,79 \text{ kg} \geq 0,85 \cdot 410795,849 \text{ kg}$$

$$1858323,79 \text{ kg} \geq 349176,472 \text{ kg} \dots \text{Oke!!!}$$

-J Arah-y :

$$V_{\text{dinamik}} \geq 0,85 \cdot V_{\text{statik}}$$

$$1841075,85 \text{ kg} \geq 0,85 \cdot 410795,849 \text{ kg}$$

$$1841075,85 \text{ kg} \geq 349176,472 \text{ kg} \dots \text{Oke!!!}$$

Maka, hasil nilai akhir respon spektrum telah memenuhi

## 2. Sistem Rangka Bresing Konsentrik Khusus

### a.J20 Lantai

$$V_{\text{statik}} = C_s \cdot W = 0,0304 \times 15623822,58 \text{ kg}$$

$$V_{\text{statik}} = 475601,428 \text{ kg/detik}$$

Dari hasil analisis menggunakan program SAP2000 didapatkan nilai gaya geser dasar (base shear) sebagai berikut :

Tabel 5.28 Gaya Geser Dasar Akibat Beban Gempa SRBKK 20 Lantai

Beban Gempa	Global FX (kg)	Global FY (kg)
Gempa Arah X	570876,34	173128,76
Gempa Arah Y	171262,9	577095,86

Kontrol nilai akhir respon spectrum:

#### -J Arah-x :

$$V_{\text{dinamik}} \geq 0,85 \cdot V_{\text{statik}}$$

$$570876,34 \text{ kg} \geq 0,85 \cdot 475601,428 \text{ kg}$$

$$570876,34 \text{ kg} \geq 404261,214 \text{ kg} \dots \text{Oke!!!}$$

#### -J Arah-y :

$$V_{\text{dinamik}} \geq 0,85 \cdot V_{\text{statik}}$$

$$577095,86 \text{ kg} \geq 0,85 \cdot 475601,428 \text{ kg}$$

$$577095,86 \text{ kg} \geq 404261,214 \text{ kg} \dots \text{Oke!!!}$$

Maka, hasil nilai akhir respon spektrum telah memenuhi

### b.J30 Lantai

$$V_{\text{statik}} = C_s \cdot W = 0,0225 \times 23977780,58 \text{ kg}$$

$$V_{\text{statik}} = 538513,244 \text{ kg/detik}$$

Dari hasil analisis menggunakan program SAP2000 didapatkan nilai gaya geser dasar (base shear) sebagai berikut :

Tabel 5.29 Gaya Geser Dasar Akibat Beban Gempa SRBKK 30  
Lantai

Beban Gempa	Global FX (kg)	Global FY (kg)
Gempa Arah X	850857,54	257079,34
Gempa Arah Y	255257,26	856931,13

Kontrol nilai akhir respon spectrum:

-J Arah-x :

$$V_{\text{dinamik}} \geq 0,85 \cdot V_{\text{statik}}$$

$$850857,54 \text{ kg} \geq 0,85 \cdot 538513,244 \text{ kg}$$

$$850857,54 \text{ kg} \geq 457736,257 \text{ kg} \dots \text{Oke!!!}$$

-J Arah-y :

$$V_{\text{dinamik}} \geq 0,85 \cdot V_{\text{statik}}$$

$$856931,13 \text{ kg} \geq 0,85 \cdot 538513,244 \text{ kg}$$

$$856931,13 \text{ kg} \geq 457736,257 \text{ kg} \dots \text{Oke!!!}$$

Maka, hasil nilai akhir respon spektrum telah memenuhi

### c.40 Lantai

$$V_{\text{statik}} = C_s \cdot W = 0,0181 \times 33097044,09 \text{ kg}$$

$$V_{\text{statik}} = \mathbf{599063,091 \text{ kg/detik}}$$

Dari hasil analisis menggunakan program SAP2000 didapatkan nilai gaya geser dasar (base shear) sebagai berikut :

Tabel 5.30 Gaya Geser Dasar Akibat Beban Gempa SRBKK 40  
Lantai

Beban Gempa	Global FX (kg)	Global FY (kg)
Gempa Arah X	1142846,02	343739,16
Gempa Arah Y	342853,8	1145797,21

Kontrol nilai akhir respon spectrum:

-J Arah-x :

$$V_{\text{dinamik}} \geq 0,85 \cdot V_{\text{statik}}$$

$$1142846,02 \text{ kg} \geq 0,85 \cdot 599063,091 \text{ kg}$$

$1142846,02 \text{ kg} \geq 509203,627 \text{ kg}$  ... Oke!!!

-J Arah-y :

$$V_{\text{dinamik}} \geq 0,85 \cdot V_{\text{statik}}$$

$$1145797,21 \text{ kg} \geq 0,85 \cdot 599063,091 \text{ kg}$$

$$1145797,21 \text{ kg} \geq 509203,627 \text{ kg}$$
 ... Oke!!!

Maka, hasil nilai akhir respon spektrum telah memenuhi

#### d.60 Lantai

$$V_{\text{statik}} = Cs \cdot W = 0,0153 \times 42400635,36 \text{ kg}$$

$$V_{\text{statik}} = \mathbf{649192,074 \text{ kg/detik}}$$

Dari hasil analisis menggunakan program SAP2000 didapatkan nilai gaya geser dasar (base shear) sebagai berikut :

Tabel 5.31 Gaya Geser Dasar Akibat Beban Gempa SRBKK 50 Lantai

Beban Gempa	Global FX (kg)	Global FY (kg)
Gempa Arah X	1455095,59	435596,9
Gempa Arah Y	436528,68	1451989,65

Kontrol nilai akhir respon spectrum:

-J Arah-x :

$$V_{\text{dinamik}} \geq 0,85 \cdot V_{\text{statik}}$$

$$1455095,59 \text{ kg} \geq 0,85 \cdot 649192,074 \text{ kg}$$

$$1455095,59 \text{ kg} \geq 551813,263 \text{ kg}$$
 ... Oke!!!

-J Arah-y :

$$V_{\text{dinamik}} \geq 0,85 \cdot V_{\text{statik}}$$

$$1451989,65 \text{ kg} \geq 0,85 \cdot 649192,074 \text{ kg}$$

$$1451989,65 \text{ kg} \geq 551813,263 \text{ kg}$$
 ... Oke!!!

Maka, hasil nilai akhir respon spektrum telah memenuhi

#### e.60 Lantai

$$V_{\text{statik}} = Cs \cdot W = 0,0134 \times 51708241,83 \text{ kg}$$

$$V_{\text{statik}} = \mathbf{690517,487 \text{ kg/detik}}$$

Dari hasil analisis menggunakan program SAP2000 didapatkan nilai gaya geser dasar (base shear) sebagai berikut :

Tabel 5.32 Gaya Geser Dasar Akibat Beban Gempa SRBKK 60 Lantai

Beban Gempa	Global FX (kg)	Global FY (kg)
Gempa Arah X	1761120,5	525046,15
Gempa Arah Y	528336,15	1750153,84

Kontrol nilai akhir respon spectrum:

-J Arah-x :

$$V_{\text{dinamik}} \geq 0,85 \cdot V_{\text{statik}}$$

$$1761120,5 \text{ kg} \geq 0,85 \cdot 690517,487 \text{ kg}$$

$$1761120,5 \text{ kg} \geq 586939,864 \text{ kg} \dots \text{Oke!!!}$$

-J Arah-y :

$$V_{\text{dinamik}} \geq 0,85 \cdot V_{\text{statik}}$$

$$1750153,84 \text{ kg} \geq 0,85 \cdot 690517,487 \text{ kg}$$

$$1750153,84 \text{ kg} \geq 586939,864 \text{ kg} \dots \text{Oke!!!}$$

Maka, hasil nilai akhir respon spektrum telah memenuhi

### 3. Sistem Rangka Bresing Konsentrik Khusus menggunakan Outrigger

a.J 20 Lantai

$$V_{\text{statik}} = C_s \cdot W = 0,0365 \times 14575225,31 \text{ kg}$$

$$V_{\text{statik}} = 532417,564 \text{ kg/detik}$$

Dari hasil analisis menggunakan program SAP2000 didapatkan nilai gaya geser dasar (base shear) sebagai berikut :

Tabel 5.33 Gaya Geser Dasar Akibat Beban Gempa SRBKK+ Outrigger 20 Lantai

Beban Gempa	Global FX (kg)	Global FY (kg)
Gempa Arah X	540868,07	162318,72
Gempa Arah Y	162260,42	541062,39

Kontrol nilai akhir respon spectrum:

-J Arah-x :

$$V_{\text{dinamik}} \geq 0,85 \cdot V_{\text{statik}}$$

$$540868,07 \text{ kg} \geq 0,85 \cdot 532417,564 \text{ kg}$$

$$540868,07 \text{ kg} \geq 452554,929 \text{ kg} \dots \text{Oke!!!}$$

-J Arah-y :

$$V_{\text{dinamik}} \geq 0,85 \cdot V_{\text{statik}}$$

$$541062,39 \text{ kg} \geq 0,85 \cdot 532417,564 \text{ kg}$$

$$541062,39 \text{ kg} \geq 452554,929 \text{ kg} \dots \text{Oke!!!}$$

Maka, hasil nilai akhir respon spektrum telah memenuhi

b.J 30 Lantai

$$V_{\text{statik}} = C_s \cdot W = 0,0270 \times 22854735,16 \text{ kg}$$

$$V_{\text{statik}} = 615949,13 \text{ kg/detik}$$

Dari hasil analisis menggunakan program SAP2000 didapatkan nilai gaya geser dasar (base shear) sebagai berikut :

Tabel 5.34 Gaya Geser Dasar Akibat Beban Gempa SRBKK+ Outrigger 30 Lantai

Beban Gempa	Global FX (kg)	Global FY (kg)
Gempa Arah X	802669,47	240800,84
Gempa Arah Y	240800,84	805976,71

Kontrol nilai akhir respon spectrum:

-J Arah-x :

$$V_{\text{dinamik}} \geq 0,85 \cdot V_{\text{statik}}$$

$$802669,47 \text{ kg} \geq 0,85 \cdot 615949,13 \text{ kg}$$

$$802669,47 \text{ kg} \geq 523556,76 \text{ kg} \dots \text{Oke!!!}$$

-J Arah-y :

$$V_{\text{dinamik}} \geq 0,85 \cdot V_{\text{statik}}$$

$$805976,71 \text{ kg} \geq 0,85 \cdot 615949,13 \text{ kg}$$

$$805976,71 \text{ kg} \geq 523556,76 \text{ kg} \dots \text{Oke!!!}$$

Maka, hasil nilai akhir respon spektrum telah memenuhi

### c.40 Lantai

$$V_{\text{statik}} = Cs \cdot W = 0,0217 \times 31008847,98 \text{ kg}$$

$$V_{\text{statik}} = 673519,590 \text{ kg/detik}$$

Dari hasil analisis menggunakan program SAP2000 didapatkan nilai gaya geser dasar (base shear) sebagai berikut :

Tabel 5.35 Gaya Geser Dasar Akibat Beban Gempa SRBKK+ Outrigger 40 Lantai

Beban Gempa	Global FX (kg)	Global FY (kg)
Gempa Arah X	1078441,58	323681,29
Gempa Arah Y	323532,47	1078937,64

Kontrol nilai akhir respon spectrum:

-J Arah-x :

$$V_{\text{dinamik}} \geq 0,85 \cdot V_{\text{statik}}$$

$$1078441,58 \text{ kg} \geq 0,85 \cdot 673519,590 \text{ kg}$$

$$1078441,58 \text{ kg} \geq 572491,652 \text{ kg} \dots \text{Oke!!!}$$

-J Arah-y :

$$V_{\text{dinamik}} \geq 0,85 \cdot V_{\text{statik}}$$

$$1078937,64 \text{ kg} \geq 0,85 \cdot 673519,590 \text{ kg}$$

$$1078937,64 \text{ kg} \geq 572491,652 \text{ kg} \dots \text{Oke!!!}$$

Maka, hasil nilai akhir respon spektrum telah memenuhi

### d.50 Lantai

$$V_{\text{statik}} = Cs \cdot W = 0,0184 \times 40128111,48 \text{ kg}$$

$$V_{\text{statik}} = 737277,214 \text{ kg/detik}$$

Dari hasil analisis menggunakan program SAP2000 didapatkan nilai gaya geser dasar (base shear) sebagai berikut :

Tabel 5.36 Gaya Geser Dasar Akibat Beban Gempa SRBKK+ Outrigger 50 Lantai

Beban Gempa	Global FX (kg)	Global FY (kg)
Gempa Arah X	1373732,99	410898,27
Gempa Arah Y	412119,9	1369660,89

Kontrol nilai akhir respon spectrum:

-J Arah-x :

$$V_{\text{dinamik}} \geq 0,85 \cdot V_{\text{statik}}$$

$$1373732,99 \text{ kg} \geq 0,85 \cdot 737277,214 \text{ kg}$$

$$1373732,99 \text{ kg} \geq 626685,632 \text{ kg} \dots \text{Oke!!!}$$

-J Arah-y :

$$V_{\text{dinamik}} \geq 0,85 \cdot V_{\text{statik}}$$

$$1369660,89 \text{ kg} \geq 0,85 \cdot 737277,214 \text{ kg}$$

$$1369660,89 \text{ kg} \geq 626685,632 \text{ kg} \dots \text{Oke!!!}$$

Maka, hasil nilai akhir respon spektrum telah memenuhi

#### e. 60 Lantai

$$V_{\text{statik}} = C_s \cdot W = 0,016 \times 49377302,76 \text{ kg}$$

$$V_{\text{statik}} = \mathbf{791267,848 \text{ kg/detik}}$$

Dari hasil analisis menggunakan program SAP2000 didapatkan nilai gaya geser dasar (base shear) sebagai berikut :

Tabel 5.37 Gaya Geser Dasar Akibat Beban Gempa SRBKK+ Outrigger 60 Lantai

Beban Gempa	Global FX (kg)	Global FY (kg)
Gempa Arah X	1678947,68	499939,83
Gempa Arah Y	503684,3	1666466,1

Kontrol nilai akhir respon spectrum:

-J Arah-x :

$$V_{\text{dinamik}} \geq 0,85 \cdot V_{\text{statik}}$$

$$1678947,68 \text{ kg} \geq 0,85 \cdot 791267,848 \text{ kg}$$

$$1678947,68 \text{ kg} \geq 672577,67 \text{ kg} \dots \text{Oke!!!}$$

-J Arah-y :

$$V_{\text{dinamik}} \geq 0,85 \cdot V_{\text{statik}}$$

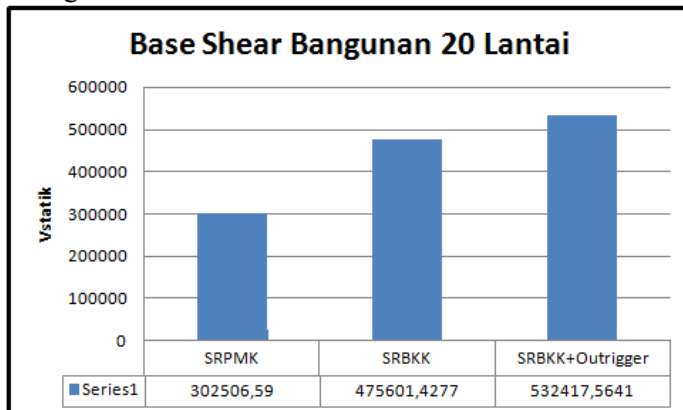
$$1666466,1 \text{ kg} \geq 0,85 \cdot 791267,848 \text{ kg}$$

$$1666466,1 \text{ kg} \geq 672577,67 \text{ kg} \dots \text{Oke!!!}$$

Maka, hasil nilai akhir respon spektrum telah memenuhi

### 5.8.2 Perbandingan Gaya Geser Dasar Ketiga Sistem

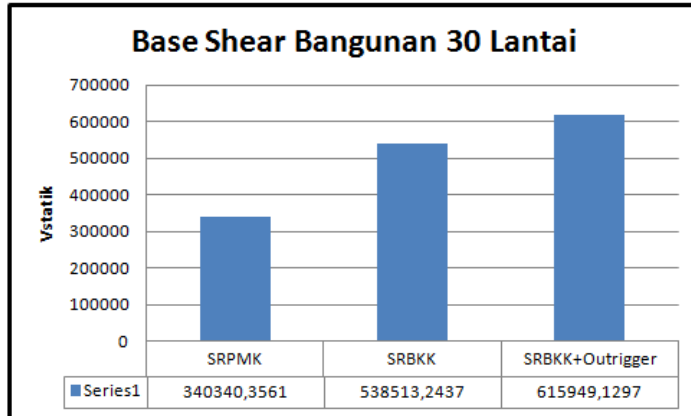
#### 1.J Bangunan 20 Lantai



Gambar 5.24 Grafik Perbandingan Base Shear pada ketiga sistem bangunan 20 Lantai

Pada gambar tersebut dapat diketahui bahwa nilai gaya geser dasar pada SRPMK ialah 302506,59 kg, SRBKK ialah 475601,4277 kg, dan pada SRBKK menggunakan *outrigger* ialah 532417,5641 kg. Nilai *base shear* SRPMK lebih kecil dibandingkan SRBKK, dan SRBKK lebih kecil dibandingkan SRBKK menggunakan *outrigger*, hal ini dikarenakan faktor respon gempa SRPMK < SRBKK < SRBKK+*Outrigger*.

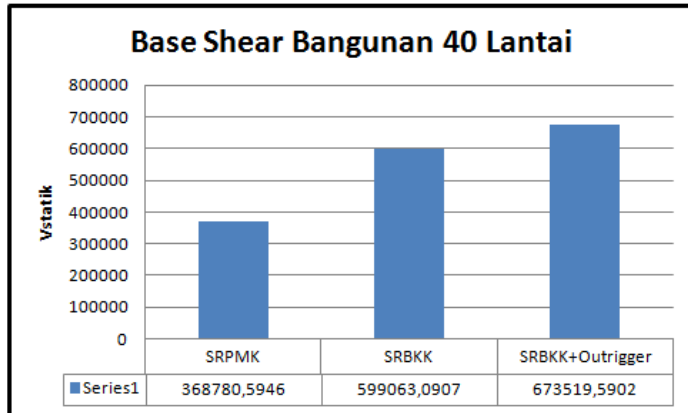
## 2.J Bangunan 30 Lantai



Gambar 5.25 Grafik Perbandingan Base Shear pada ketiga sistem bangunan 30 Lantai

Pada gambar tersebut dapat diketahui bahwa nilai gaya geser dasar pada SRPMK ialah 340340,3561 kg, SRBKK ialah 538513,2437 kg, dan pada SRBKK menggunakan *outrigger* ialah 615949,1297 kg. Nilai *base shear* SRPMK lebih kecil dibandingkan SRBKK, dan SRBKK lebih kecil dibandingkan SRBKK menggunakan *outrigger*, hal ini dikarenakan faktor respon gempa SRPMK < SRBKK < SRBKK+*Outrigger*.

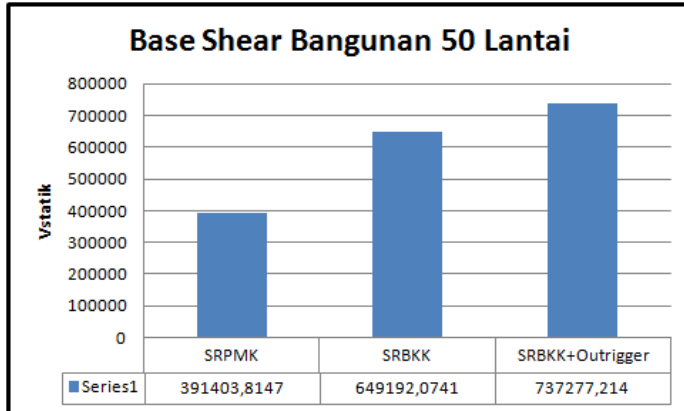
### 3.J Bangunan 40 Lantai



Gambar 5.26 Grafik Perbandingan Base Shear pada ketiga sistem bangunan 40 Lantai

Pada gambar tersebut dapat diketahui bahwa nilai gaya geser dasar pada SRPMK ialah 368780,5964 kg, SRBKK ialah 599063,0907 kg, dan pada SRBKK menggunakan *outrigger* ialah 673519,5902 kg. Nilai *base shear* SRPMK lebih kecil dibandingkan SRBKK, dan SRBKK lebih kecil dibandingkan SRBKK menggunakan *outrigger*, hal ini dikarenakan faktor respon gempa SRPMK < SRBKK < SRBKK+*Outrigger*.

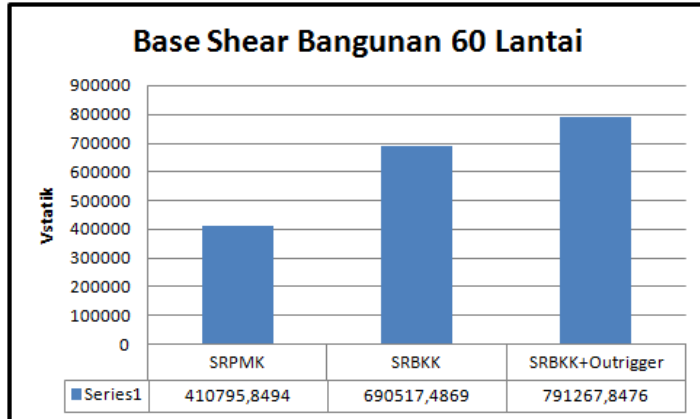
#### 4.J Bangunan 50 Lantai



Gambar 5.27 Grafik Perbandingan Base Shear pada ketiga sistem bangunan 50 Lantai

Pada gambar tersebut dapat diketahui bahwa nilai gaya geser dasar pada SRPMK ialah 391403,8147 kg, SRBKK ialah 649192,0741 kg, dan pada SRBKK menggunakan *outrigger* ialah 737277,214 kg. Nilai *base shear* SRPMK lebih kecil dibandingkan SRBKK, dan SRBKK lebih kecil dibandingkan SRBKK menggunakan *outrigger*, hal ini dikarenakan faktor respon gempa  $\text{SRPMK} < \text{SRBKK} < \text{SRBKK+Outrigger}$ .

### 5.J Bangunan 60 Lantai



Gambar 5.28 Grafik Perbandingan Base Shear pada ketiga sistem bangunan 60 Lantai

Pada gambar tersebut dapat diketahui bahwa nilai gaya geser dasar pada SRPMK ialah 410795,8489 kg, SRBKK ialah 690517,4869 kg, dan pada SRBKK menggunakan *outrigger* ialah 791267,8476 kg. Nilai *base shear* SRPMK lebih kecil dibandingkan SRBKK, dan SRBKK lebih kecil dibandingkan SRBKK menggunakan *outrigger*, hal ini dikarenakan faktor respon gempa SRPMK < SRBKK < SRBKK+*Outrigger*.

#### 5.8.3 Kontrol Partisipasi Massa

Untuk mendapatkan hasil analisis struktur yang baik, analisis yang dilakukan harus menyertakan jumlah ragam yang cukup untuk mendapatkan partisipasi massa ragam terkombinasi minimal 90% dari massa aktual dari masing-masing arah horizontal orthogonal dari respon yang ditinjau (SNI 03-1726-2012 pasal 7.9.1).

Pada perhitungan ini digunakan bantuan program SAP2000 untuk mendapatkan hasil partisipasi massa seperti pada Gambar 5.9 dan 5.10 dibawah ini.

## 1.J Sistem Rangka Pemikul Momen Khusus

### a.J20 Lantai

Modal Load Participation Ratios					
	OutputCase Text	ItemType Text	Item Text	Static Percent	Dynamic Percent
►	MODAL	Acceleration	UX	99.97%	93.43%
	MODAL	Acceleration	UY	99.97%	93.43%
	MODAL	Acceleration	UZ	5.374E-14	6.816E-13

Gambar 5.29 Rasio Partisispasi Massa SRPMK 20 Lantai

### b.J30 Lantai

Modal Load Participation Ratios					
	OutputCase Text	ItemType Text	Item Text	Static Percent	Dynamic Percent
►	MODAL	Acceleration	UX	99.90%	92.41%
	MODAL	Acceleration	UY	99.90%	92.90%
	MODAL	Acceleration	UZ	0.000001335%	0.00000122%

Gambar 5.30 Rasio Partisispasi Massa SRPMK 30 Lantai

### c.J40 Lantai

Model Load Participation Ratios					
	OutputCase Text	ItemType Text	Item Text	Static Percent	Dynamic Percent
▶	MDDAL	Acceleration	UX	35.56%	56.00%
	MDDAL	Acceleration	UY	35.96%	32.70%
	MDDAL	Acceleration	UZ	0.0000000000000000	0.0000000000000000

Record [◀◀] [◀] [▶] [▶▶] of 3      Add Tables...      Done

Gambar 5.31 Rasio Partisipasi Massa SRPMK 40 Lantai

### d.J50 Lantai

Model Load Participation Ratios					
	OutputCase Text	ItemType Text	Item Text	Static Percent	Dynamic Percent
▶	MDDAL	Acceleration	UX	99.5621	92.4719
	MDDAL	Acceleration	UY	99.5637	92.63
	MDDAL	Acceleration	UZ	0.0000002539	0.000000001039

Record [◀◀] [◀] [▶] [▶▶] of 3      Add Tables...      Done

Gambar 5.32 Rasio Partisipasi Massa SRPMK 50 Lantai

### e.J60 Lantai

OutputCase Text	ItemType Text	Item Text	Static Percent	Dynamic Percent
► DEAD	Acceleration	LX	99,9597	92,3672
DEAD	Acceleration	UY	99,9616	92,0397
► DEAD	Acceleration	LZ	0000000001013	000000000271
MODAL	Acceleration	LX	99,9597	92,3672
MODAL	Acceleration	UY	99,9616	92,5357
MODAL	Acceleration	LZ	0000000001013	000000000271
SDL	Acceleration	LX	99,9597	92,3672
SDL	Acceleration	UY	99,9616	92,5357
SDL	Acceleration	LZ	0000000001013	000000000271

Gambar 5.33 Rasio Partisipasi Massa SRPMK 60 Lantai

Analisis struktur yang dilakukan telah memenuhi syarat yang terdapat pada SNI-03-1726-2012 pasal 7.9.1 yaitu partisipasi massa ragam terkombinasi paling sedikit sebesar 90%.

### 2.J Sistem Rangka Bresing Konsentrik Khusus

#### a.J20 Lantai

OutputCase Text	ItemType Text	Item Text	Static Percent	Dynamic Percent
► MODAL	Acceleration	LX	99,9798	93,6432
MODAL	Acceleration	UY	99,9741	93,7417
► MODAL	Acceleration	LZ	00000004557	00000000149

Gambar 5.34 Rasio Partisipasi Massa SRBKK 20 Lantai

### b.J30 Lantai

Modal Load Participation Ratios					
	OutputCase Test	ItemType Test	Item Test	Static Percent	Dynamic Percent
►	MODAL	Acceleration	UX	39.5755	33.3639
	MODAL	Acceleration	UY	39.5745	33.5154
	MODAL	Acceleration	UZ	1.0000000000000000	0.000000007904

Record [◀◀] [◀] [▶] [▶▶] d 3      Add Tables...      Done

Gambar 5.35 Rasio Partisipasi Massa SRBKK 30 Lantai

### c.J40 Lantai

Modal Load Participation Ratios					
	OutputCase Test	ItemType Test	Item Test	Static Percent	Dynamic Percent
►	MODAL	Acceleration	UX	39.5714	33.0817
	MODAL	Acceleration	UY	39.5709	33.2001
	MODAL	Acceleration	UZ	0.0000001813	0.00000006295

Record [◀◀] [◀] [▶] [▶▶] d 3      Add Tables...      Done

Gambar 5.36 Rasio Partisipasi Massa SRBKK 40 Lantai

**d.J50 Lantai**

Model Load Participation Ratios					
OutputCase	Item Type	Item Text	Static Percent	Dynamic Percent	
► MODAL	Acceleration	UX	95,98%	92,25%	
MODAL	Acceleration	UY	99,98%	92,45%	
MODAL	Acceleration	UZ	0,00000006129	0,00000000035	

Record 1 | 2 | 3 | Add Tables... Done

Gambar 5.37 Rasio Partisipasi Massa SRBKK 50 Lantai

**e.J60 Lantai**

Model Load Participation Ratios					
OutputCase	Item Type	Item Text	Static Percent	Dynamic Percent	
► MODAL	Acceleration	UX	99,98%	92,32%	
MODAL	Acceleration	UY	99,98%	92,50%	
MODAL	Acceleration	UZ	0,000000021	0,000000005	

Record 1 | 2 | 3 | Add Tables... Done

Gambar 5.38 Rasio Partisipasi Massa SRBKK 60 Lantai

Analisis struktur yang dilakukan telah memenuhi syarat yang terdapat pada SNI-03-1726-2012 pasal 7.9.1 yaitu partisipasi massa ragam terkombinasi paling sedikit sebesar 90%.

### 3.J Sistem Rangka Bresing Konsentrik Khusus menggunakan Outrigger

#### a.J20 Lantai

Modal Load Participation Ratios					
File: View: Format-Filter-Sort: Select: Options					
Units: As Noted					
Modal Load Participation Ratios					
OutputCase Text	ItemType Text	Item Text	Static Percent	Dynamic Percent	
► M004L	Acceleration	UX	99.945	99.519	
M004L	Acceleration	UY	99.939	99.504	
M004L	Acceleration	UZ	0.00005493	0.00001842	

Gambar 5.39 Rasio Partisipasi Massa SRBKK+Outrigger 20 Lantai

#### b.J30 Lantai

Modal Load Participation Ratios					
File: View: Format-Filter-Sort: Select: Options					
Units: As Noted					
Modal Load Participation Ratios					
OutputCase Text	ItemType Text	Item Text	Static Percent	Dynamic Percent	
► M004L	Acceleration	UX	99.974	99.516	
M004L	Acceleration	UY	99.971	99.510	
M004L	Acceleration	UZ	0.000010752	0.000002899	

Gambar 5.40 Rasio Partisipasi Massa SRBKK+Outrigger 30 Lantai

## c.J40 Lantai

Modal Load Participation Ratios					
	OutputCase	Item Type	Item Test	Static Percent	Dynamic Percent
▶	MODAL	Acceleration	UX	53.0952	50.9226
	MODAL	Acceleration	UY	53.3816	50.4465
	MODAL	Acceleration	UZ	72.9621	1.8933

Record: [◀◀] [◀] [▶] [▶▶] of 3      Add Tables...      Done

Gambar 5.41 Rasio Partisipasi Massa SRBKK+Outrigger 40 Lantai

## d.J50 Lantai

Modal Load Participation Ratios					
	OutputCase	Item Type	Item Test	Static Percent	Dynamic Percent
▶	MODAL	Acceleration	UX	50.0376	49.9555
	MODAL	Acceleration	UY	58.9334	51.2572
	MODAL	Acceleration	UZ	68.305	1.5300

Record: [◀◀] [◀] [▶] [▶▶] of 3      Add Tables...      Done

Gambar 5.42 Rasio Partisipasi Massa SRBKK+Outrigger 50 Lantai

### e.J60 Lantai

The screenshot shows a software window titled "Modal Load Participation Ratios". The menu bar includes File, View, Format-Filter-Sort, Select, Options, and Units: As Needed. A toolbar with icons for Save, Print, and other functions is visible. The main area displays a table with the following data:

	OutputCase Text	ItemType Text	Item Text	Static Percent	Dynamic Percent
1	MODAL	Acceleration	UX	35,5639	32,1203
2	MODAL	Acceleration	UY	35,5648	32,2395
3	MODAL	Acceleration	UZ	2,812613	2,153614

At the bottom, there are buttons for Record navigation (Back, Forward, First, Last), Add Tables..., and Done.

Gambar 5.43 Rasio Partisispasi Massa  
SRBKK+Outrigger 60 Lantai

Analisis struktur yang dilakukan telah memenuhi syarat yang terdapat pada SNI-03-1726-2012 pasal 7.9.1 yaitu partisipasi massa ragam terkombinasi paling sedikit sebesar 90%.

#### 5.8.4 Kontrol Simpangan Antar Lantai (*Drift*)

Untuk mengetahui besarnya simpangan antar tingkat perlu dicari terlebih dahulu nilai perpindahan elastis,  $\delta_x$ , dari analisis struktur. Setelah itu nilai  $\delta_x$  dikalikan dengan faktor pembesar  $C_d/I_e$  seperti pada persamaan 7.8-14 SNI 1726-2012. Setelah itu dapat diketahui besarnya simpangan antar tingkat yang merupakan selisih nilai perpindahan elastis yang diperbesar pada suatu tingkat dengan nilai perpindahan elastis yang diperbesar pada tingkat di bawahnya. Nilai simpangan ini selanjutnya dikontrol terhadap batas simpangan sebesar  $0,02 h_{sx}$ . Defleksi pusat massa di Tingkat x ( $\delta_x$ ) harus ditentukan sesuai dengan persamaan berikut:

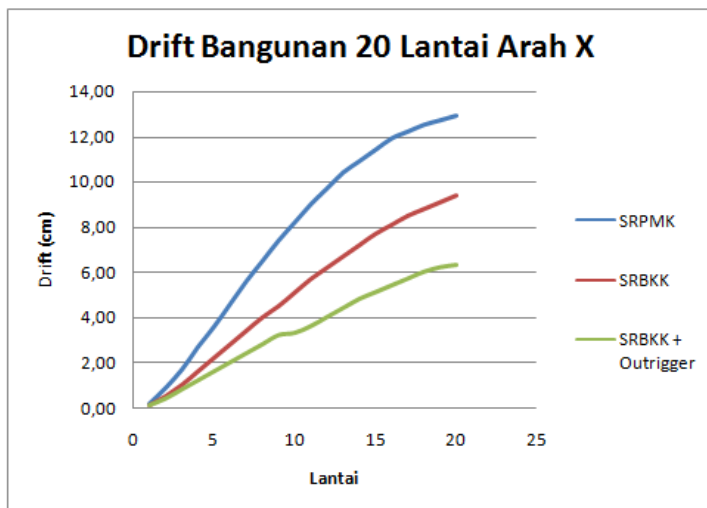
$$\delta_x = \frac{C_d \cdot \delta_{xe}}{I_e} \quad (\text{SNI 1726-2012 Persamaan 7.8-14})$$

Dimana :

- |               |   |   |
|---------------|---|---|
| $C_d$         | = | Faktor pembesaran defleksi.                                       |
| $\delta_{xe}$ | = | Defleksi pada lantai $x$ yang ditentukan dengan analisis elastis. |
| $I_e$         | = | Faktor keutamaan (1,0).   |
| $\Delta_a$    | = | $0,020h_{sx}$   |
| $\rho$        | = | Faktor redundansi (1,0).  |

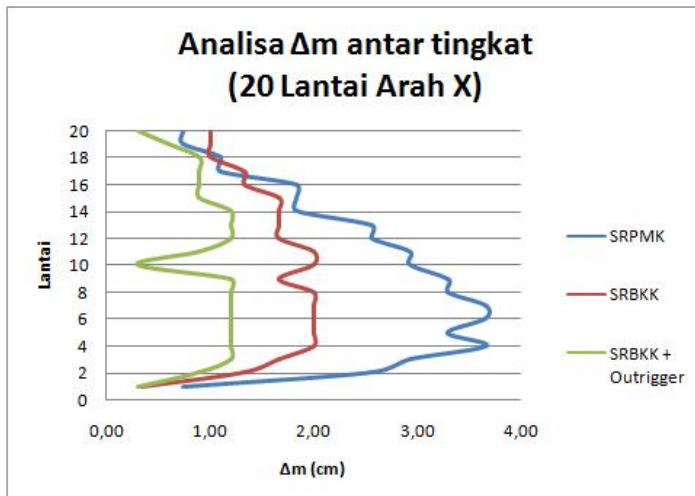
Berikut ini grafik perbandingan simpangan antar lantai ketiga sistem :

### 1. 20 Lantai



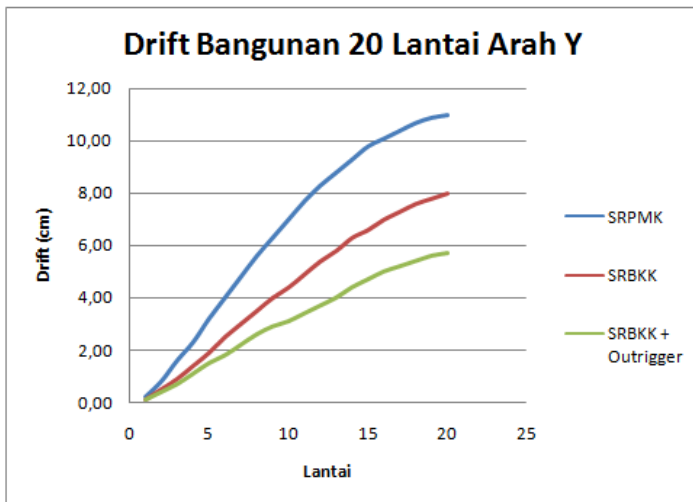
Gambar 5.44 Grafik Hasil *Drift* Tiap Tingkat Pada Bangunan 20 Lantai Arah X

Dari grafik tersebut terlihat kinerja batas layan pada sistem rangka pemikul momen khusus tiap tingkat pada bangunan 20 lantai (arah X) lebih besar daripada sistem rangka bresing konsentrik khusus dan sistem rangka bresing konsentrik khusus menggunakan *outtrigger*, yakni SRPMK = 12,9 cm (129 mm), SRBKK = 9,4 cm (94mm), SRBKK menggunakan *outtrigger* = 6,3 cm (63 mm). Untuk tiap lantainya terdapat pada lampiran.



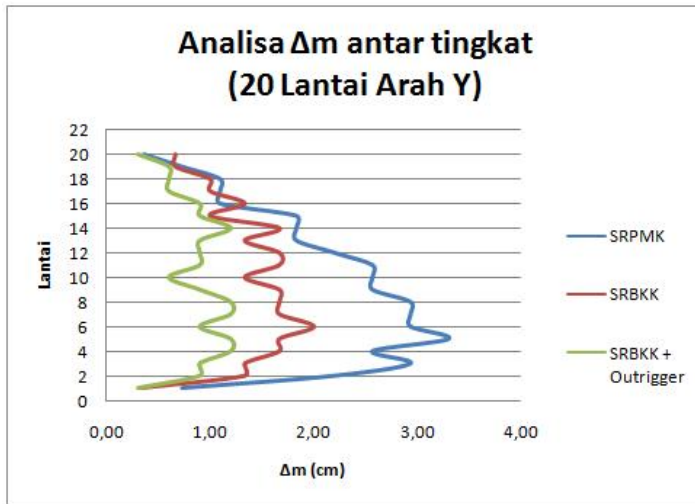
Gambar 5.45 Grafik Analisa *Drift* Tiap Tingkat Pada Bangunan 20 Lantai Arah X

Dari grafik tersebut dapat diketahui bahwa *drift* antar tingkat pada bangunan 20 lantai memenuhi syarat maksimum, yaitu dengan nilai di bawah 8 cm (80 mm)



Gambar 5.46 Grafik Hasil *Drift* Tiap Tingkat Pada Bangunan 20 Lantai Arah Y

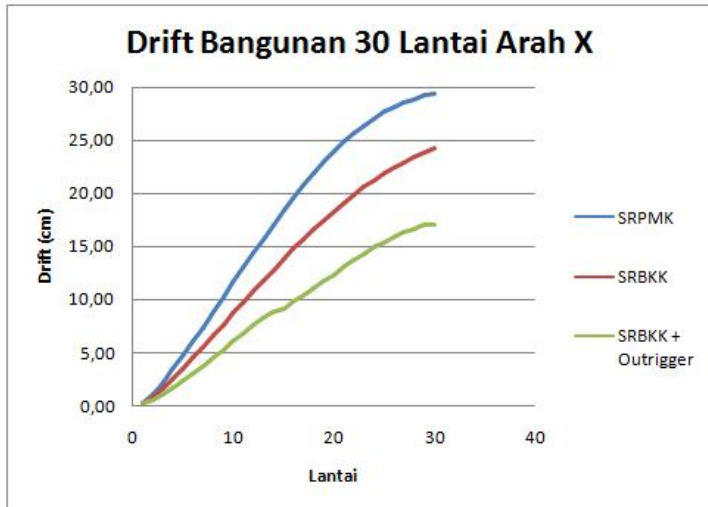
Dari grafik tersebut terlihat kinerja batas layan pada sistem rangka pemikul momen khusus tiap tingkat pada bangunan 20 (arah Y) lantai lebih besar daripada sistem rangka bresing konsentrik khusus dan sistem rangka bresing konsentrik khusus menggunakan *outrigger*, yakni SRPMK = 11 cm (110 mm), SRBKK = 8 cm (80 mm), SRBKK menggunakan *outrigger* = 5,7 cm (57 mm). Untuk tiap lantainya terdapat pada lampiran.



Gambar 5.47 Grafik Analisa *Drift* Tiap Tingkat Pada Bangunan 20 Lantai Arah Y

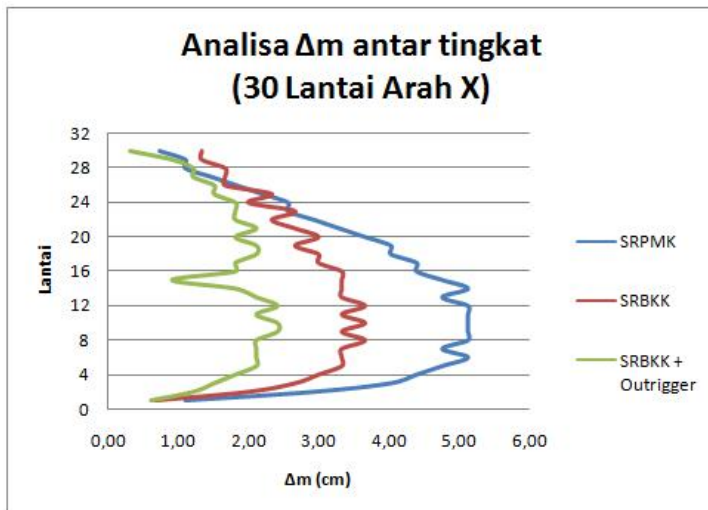
Dari grafik tersebut dapat diketahui bahwa *drift* antar tingkat pada bangunan 20 lantai memenuhi syarat maksimum, yaitu dengan nilai di bawah 8 cm (80 mm)

## 2. 30 Lantai



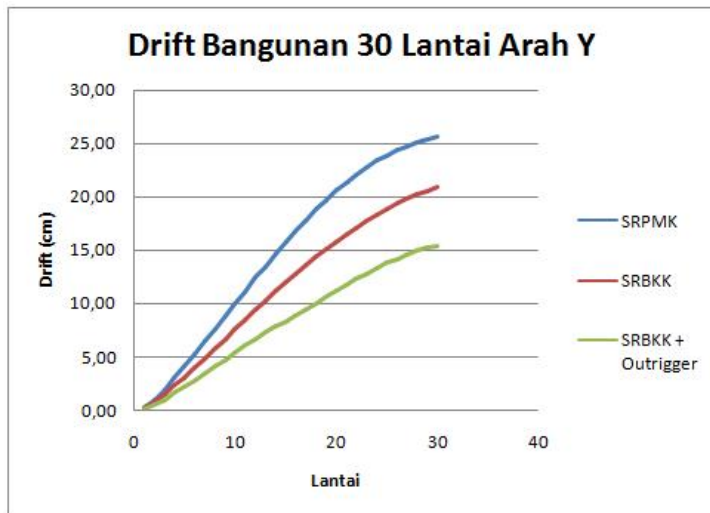
Gambar 5.48 Grafik Hasil *Drift* Tiap Tingkat Pada Bangunan 30 Lantai Arah X

Dari grafik tersebut terlihat kinerja batas layan pada sistem rangka pemikul momen khusus tiap tingkat pada bangunan 30 (arah X) lantai lebih besar daripada sistem rangka bresing konsentrik khusus dan sistem rangka bresing konsentrik khusus menggunakan *outrigger*, yakni SRPMK = 29,4 cm (294 mm), SRBKK = 24,2 cm (242 mm), SRBKK menggunakan *outrigger* = 17,1 cm (171 mm). Untuk tiap lantainya terdapat pada lampiran.



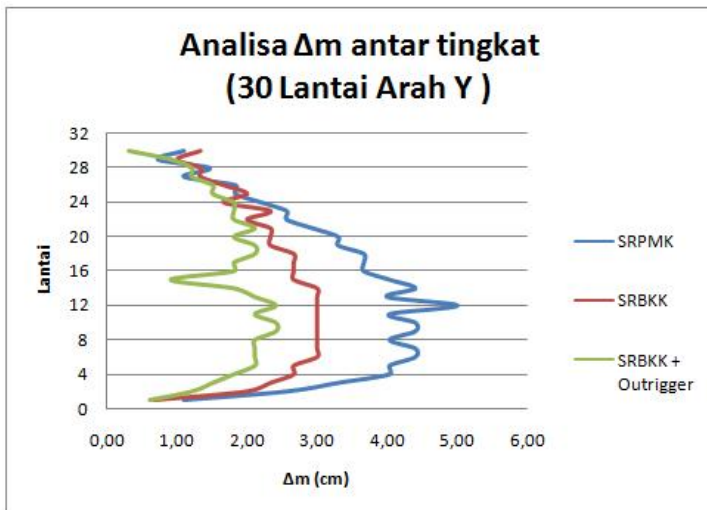
Gambar 5.49 Grafik Analisa *Drift* Tiap Tingkat Pada Bangunan 30 Lantai Arah X

Dari grafik tersebut dapat diketahui bahwa *drift* antar tingkat pada bangunan 30 lantai memenuhi syarat maksimum, yaitu dengan nilai di bawah 8 cm (80 mm)



Gambar 5.50 Grafik Hasil *Drift* Tiap Tingkat Pada Bangunan 30 Lantai Arah Y

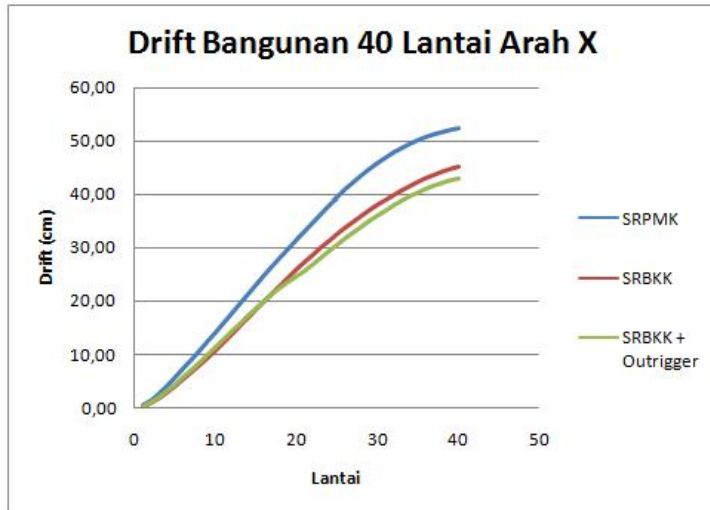
Dari grafik tersebut terlihat kinerja batas layan pada sistem rangka pemikul momen khusus tiap tingkat pada bangunan 30 (arah Y) lantai lebih besar daripada sistem rangka bresing konsentrik khusus dan sistem rangka bresing konsentrik khusus menggunakan *outrigger*, yakni SRPMK = 25,6 cm (256 mm), SRBKK = 20,9 cm (209 mm), SRBKK menggunakan *outrigger* = 15,4 cm (154 mm). Untuk tiap lantainya terdapat pada lampiran.



Gambar 5.51 Grafik Analisa *Drift* Tiap Tingkat Pada Bangunan 30 Lantai Arah Y

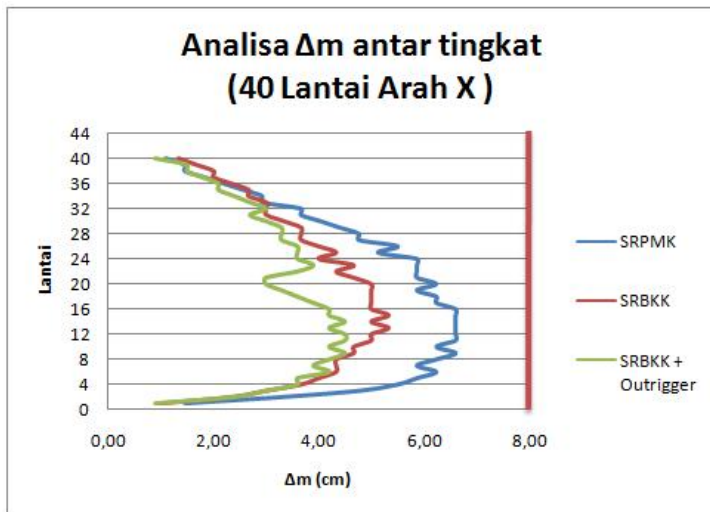
Dari grafik tersebut dapat diketahui bahwa *drift* antar tingkat pada bangunan 30 lantai memenuhi syarat maksimum, yaitu dengan nilai di bawah 8 cm (80 mm)

### 3. 40 Lantai



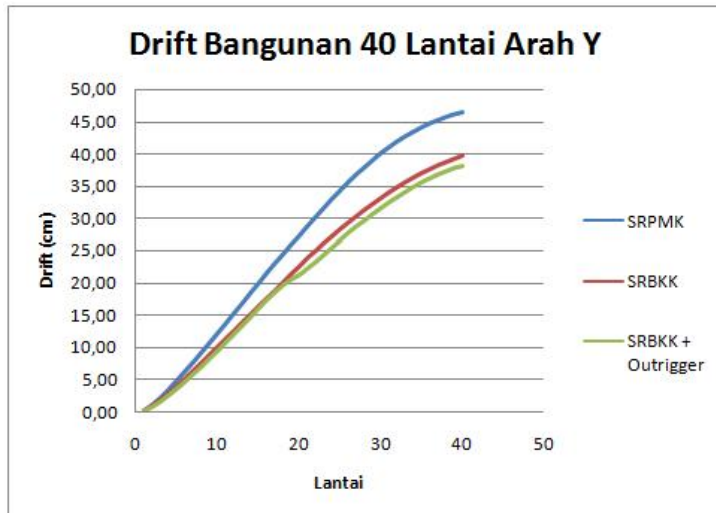
Gambar 5.52 Grafik Hasil *Drift* Tiap Tingkat Pada Bangunan 40 Lantai Arah X

Dari grafik tersebut terlihat kinerja batas layan pada sistem rangka pemikul momen khusus tiap tingkat pada bangunan 40 (arah X) lantai lebih besar daripada sistem rangka bresing konsentrik khusus dan sistem rangka bresing konsentrik khusus menggunakan *outrigger*, yakni SRPMK = 52,4 cm (524 mm), SRBKK = 45,3 cm (453 mm), SRBKK menggunakan *outrigger* = 43,1 cm (431 mm). Untuk tiap lantainya terdapat pada lampiran.



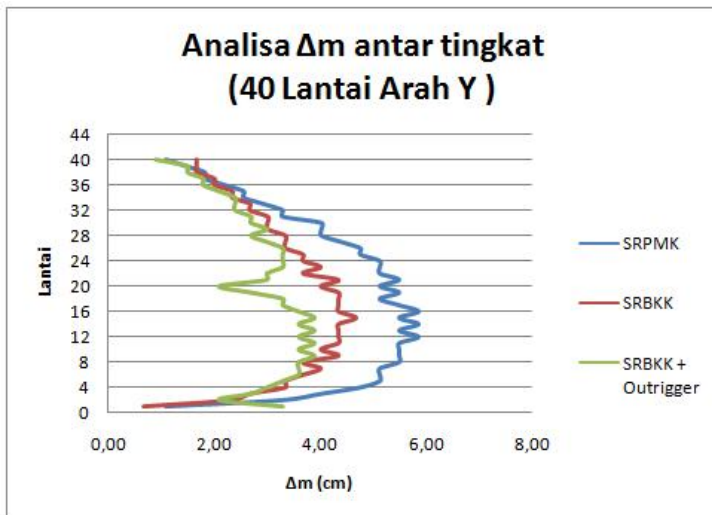
Gambar 5.53 Grafik Analisa *Drift* Tiap Tingkat Pada Bangunan 40 Lantai Arah X

Dari grafik tersebut dapat diketahui bahwa *drift* antar tingkat pada bangunan 40 lantai memenuhi syarat maksimum, yaitu dengan nilai di bawah 8 cm (80 mm)



Gambar 5.54 Grafik Hasil *Drift* Tiap Tingkat Pada Bangunan 40 Lantai Arah Y

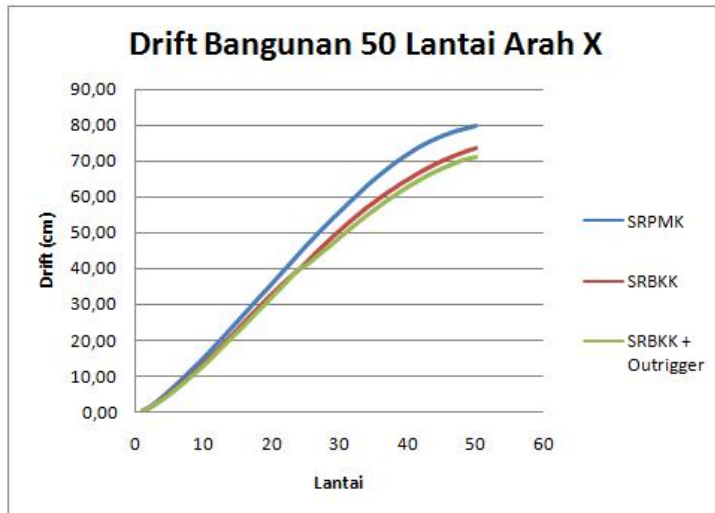
Dari grafik tersebut terlihat kinerja batas layan pada sistem rangka pemikul momen khusus tiap tingkat pada bangunan 40 (arah Y) lantai lebih besar daripada sistem rangka bresing konsentrik khusus dan sistem rangka bresing konsentrik khusus menggunakan *outrigger*, yakni SRPMK = 46,5 cm (465 mm), SRBKK = 39,8 cm (398 mm), SRBKK menggunakan *outrigger* = 38,1 cm (381 mm). Untuk tiap lantainya terdapat pada lampiran.



Gambar 5.55 Grafik Analisa *Drift* Tiap Tingkat Pada Bangunan 40 Lantai Arah Y

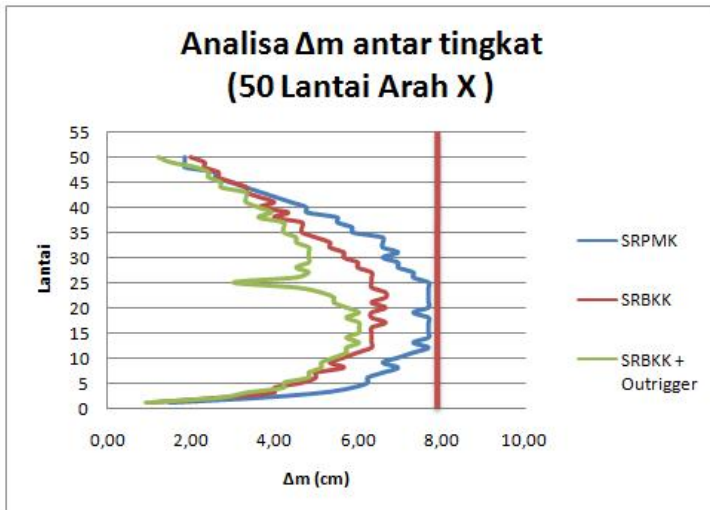
Dari grafik tersebut dapat diketahui bahwa *drift* antar tingkat pada bangunan 40 lantai memenuhi syarat maksimum, yaitu dengan nilai di bawah 8 cm (80 mm)

#### 4. 50 Lantai



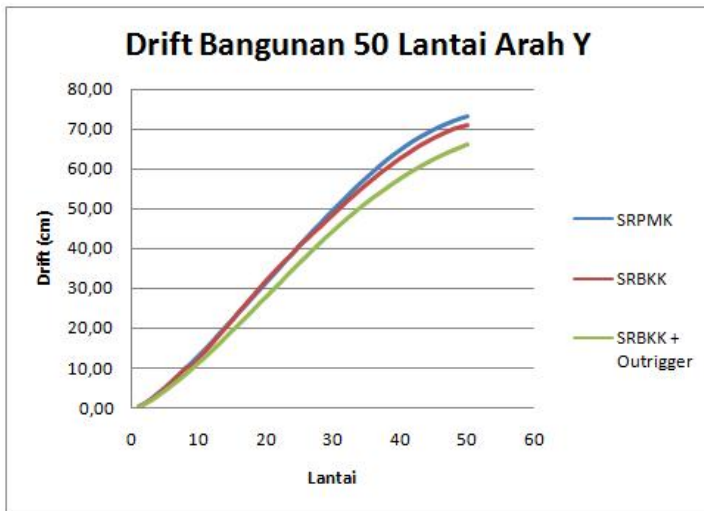
Gambar 5.56 Grafik Hasil *Drift* Tiap Tingkat Pada Bangunan 50 Lantai Arah X

Dari grafik tersebut terlihat kinerja batas layan pada sistem rangka pemikul momen khusus tiap tingkat pada bangunan 50 (arah X) lantai lebih besar daripada sistem rangka bressing konsentrik khusus dan sistem rangka bressing konsentrik khusus menggunakan *outrigger*, yakni SRPMK = 80 cm (800 mm), SRBKK = 73,8 cm (738 mm), SRBKK menggunakan *outrigger* = 71 cm (710 mm). Untuk tiap lantainya terdapat pada lampiran.



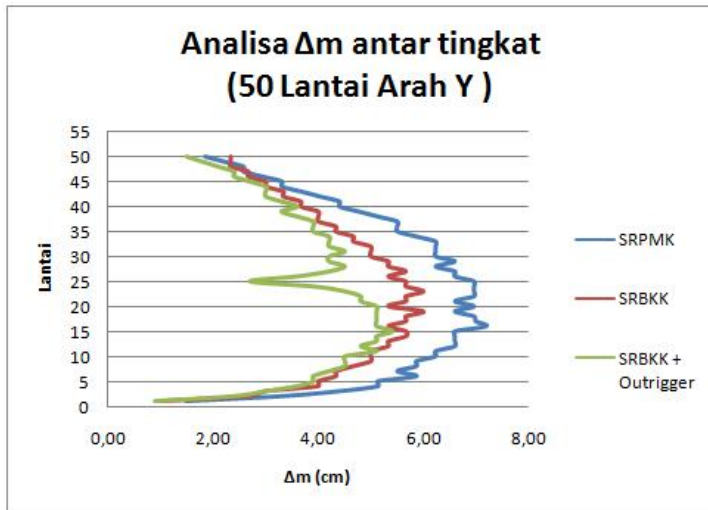
Gambar 5.57 Grafik Analisa *Drift* Tiap Tingkat Pada Bangunan 50 Lantai Arah X

Dari grafik tersebut dapat diketahui bahwa *drift* antar tingkat pada bangunan 50 lantai memenuhi syarat maksimum, yaitu dengan nilai di bawah 8 cm (80 mm)



Gambar 5.58 Grafik Hasil *Drift* Tiap Tingkat Pada Bangunan 50 Lantai Arah Y

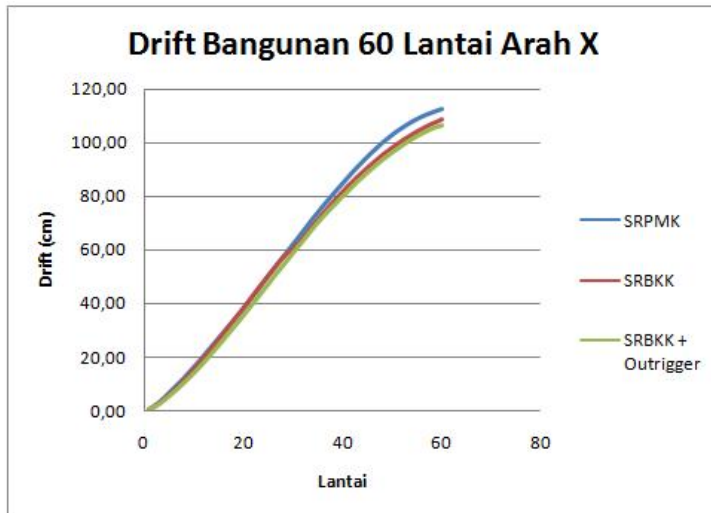
Dari grafik tersebut terlihat kinerja batas layan pada sistem rangka pemikul momen khusus tiap tingkat pada bangunan 50 (arah Y) lantai lebih besar daripada sistem rangka bresing konsentrik khusus dan sistem rangka bresing konsentrik khusus menggunakan *outrigger*, yakni SRPMK = 73,3 cm (733 mm), SRBKK = 71 cm (662 mm). Untuk tiap lantainya terdapat pada lampiran.



Gambar 5.59 Grafik Analisa *Drift* Tiap Tingkat Pada Bangunan 50 Lantai Arah Y

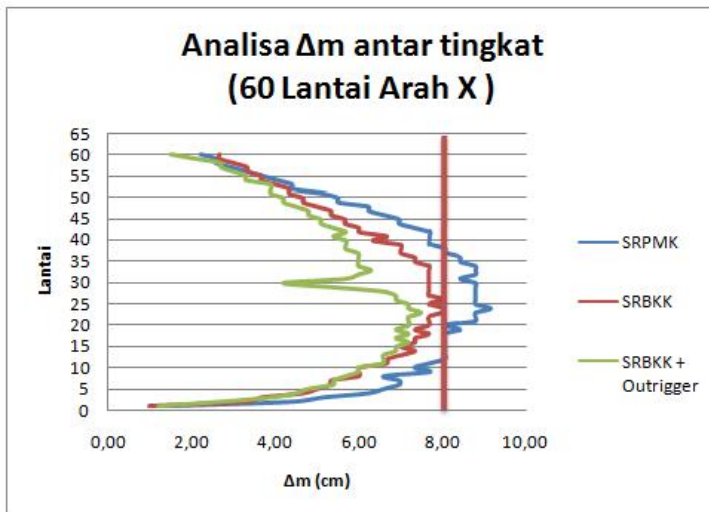
Dari grafik tersebut dapat diketahui bahwa *drift* antar tingkat pada bangunan 50 lantai memenuhi syarat maksimum, yaitu dengan nilai di bawah 8 cm (80 mm)

## 5. 60 Lantai



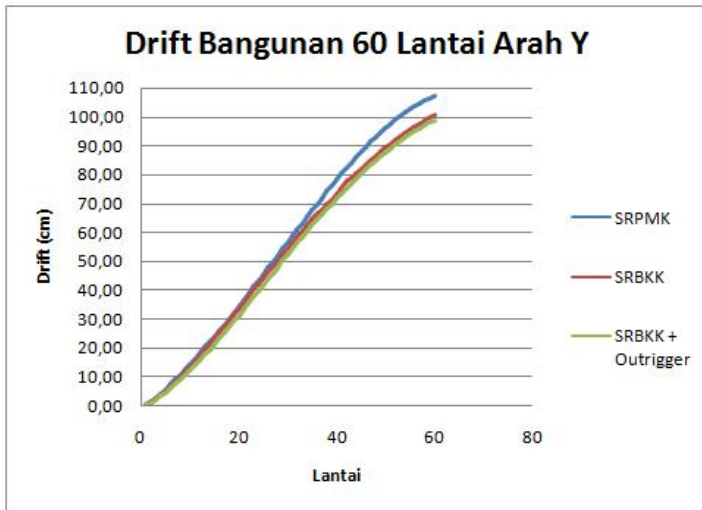
Gambar 5.60 Grafik Hasil *Drift* Tiap Tingkat Pada Bangunan 60 Lantai Arah X

Dari grafik tersebut terlihat kinerja batas layan pada sistem rangka pemikul momen khusus tiap tingkat pada bangunan 60 (arah X) lantai lebih besar daripada sistem rangka bressing konsentrik khusus dan sistem rangka bressing konsentrik khusus menggunakan *outrigger*, yakni SRPMK = 112,8 cm (1128 mm), SRBKK = 108,6 cm (1086 mm), SRBKK menggunakan *outrigger* = 106,5 cm (1065 mm). Untuk tiap lantainya terdapat pada lampiran.



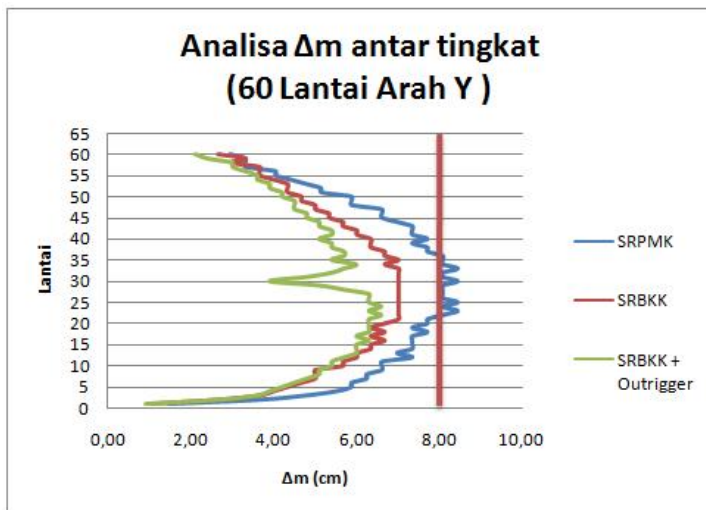
Gambar 5.61 Grafik Analisa *Drift* Tiap Tingkat Pada Bangunan 60 Lantai Arah X

Dari grafik tersebut dapat diketahui bahwa *drift* antar tingkat pada bangunan 60 lantai untuk sistem rangka pemikul momen khusus melebihi batas maksimum dengan nilai 9,17 cm (91,7 mm), sedangkan untuk sistem rangka bresing konsentrik khusus dan sistem rangka bresing konsentrik khusus menggunakan *outrigger* memenuhi syarat maksimum, yaitu dengan nilai di bawah 8 cm (80 mm)



Gambar 5.62 Grafik Hasil *Drift* Tiap Tingkat Pada Bangunan 60 Lantai Arah Y

Dari grafik tersebut terlihat kinerja batas layan pada sistem rangka pemikul momen khusus tiap tingkat pada bangunan 60 (arah Y) lantai lebih besar daripada sistem rangka bresing konsentrik khusus dan sistem rangka bresing konsentrik khusus menggunakan *outrigger*, yakni SRPMK = 107,2 cm (1072 mm), SRBKK = 100,4 cm (1004 mm), SRBKK menggunakan *outrigger* = 98,6 cm (986 mm). Untuk tiap lantainya terdapat pada lampiran.



Gambar 5.63 Grafik Analisa *Drift* Tiap Tingkat Pada Bangunan 60 Lantai Arah Y

Dari grafik tersebut dapat diketahui bahwa *drift* antar tingkat pada bangunan 60 lantai untuk sistem rangka pemikul momen khusus melebihi batas maksimum dengan nilai 8,43 cm (84,3 mm), sedangkan untuk sistem rangka bresing konsentrik khusus dan sistem rangka bresing konsentrik khusus menggunakan *outrigger* memenuhi syarat maksimum, yaitu dengan nilai di bawah 8 cm (80 mm)

Dari hasil analisa tabel di atas maka analisis struktur memenuhi persyaratan sesuai dengan SNI 03-1726-2012 Pasal 7.9.3 dan Pasal 7.12.1.

*“Halaman Ini sengaja dikosongkan”*

## BAB VI

### PERENCANAAN STRUKTUR PRIMER

#### 6.1. Perencanaan Elemen Struktur Primer

##### 6.1.1. Balok Induk

###### 6.1.1.1. Balok Induk Memanjang

Balok induk memanjang SRPMK 20 Lantai pada lantai 1-10 direncanakan menggunakan profil WF  $600 \times 300 \times 12 \times 17$

$$\begin{aligned}
 W &= 137 \text{ kg/m} & r &= 28 \text{ mm} & h_w &= 582 - 2(17+28) \\
 A &= 174,5 \text{ cm}^2 & Z_x &= 3782 \text{ cm}^3 & &= 492 \text{ mm} \\
 t_w &= 12 \text{ mm} & i_y &= 6,63 \text{ cm} & b_f &= 300 \text{ mm} \\
 t_f &= 17 \text{ mm} & I_x &= 103000 \text{ cm}^4 & BJ &= 41 \\
 d &= 582 \text{ mm} & I_y &= 7670 \text{ cm}^4 & f_y &= 250 \text{ Mpa}
 \end{aligned}$$

a.JDari analisis SAP 2000, didapatkan gaya dalam dan lendutan yang terjadi pada balok induk memanjang adalah sebagai berikut :

$$M_u = 18469,97 \text{ kNm}$$

$$V_u = 8603,88 \text{ kg}$$

$$f = 0,11 \text{ cm}$$

b.JKontrol penampang profil terhadap gaya lentur

•J Kontrol penampang terhadap tekuk lokal

Pelat sayap

$$\lambda = \frac{b_f}{2t_f} = \frac{300}{2 \times 17} = 8,82$$

$$\lambda_p = 0,38 \sqrt{\frac{E}{f_y}} = 0,38 \sqrt{\frac{2 \times 10^5}{250}} = 10,75$$

$$\lambda \leq \lambda_p \rightarrow 8,82 \leq 10,75 \rightarrow \text{penampang sayap kompak}$$

Pelat badan

$$\lambda = \frac{h_w}{t_w} = \frac{492}{11} = 41$$

$$\lambda_p = 3.76 \sqrt{\frac{E}{f_y}} = 3.76 \sqrt{\frac{2 \times 10^5}{250}} = 106,35$$

$\lambda \leq \lambda_p \rightarrow 41 \leq 106,35 \rightarrow$  penampang badan kompak

-J Karena penampang kompak, maka  $M_n = M_p$

$$\begin{aligned} M_p &= f_y \cdot Z_x = 2500 \times 3782 = 9455000 \text{ kgcm} \\ &= 94550 \text{ kgm} \end{aligned}$$

-J Cek kemampuan penampang

$$\emptyset_b \cdot M_n \geq M_u$$

$$\begin{aligned} \emptyset_b \cdot M_n &= 0.9 \times 94550 \\ &= 85095 \text{ kgm} > 18469,97 \text{ kgm} \dots \text{OK!} \end{aligned}$$

•J Kontrol penampang terhadap tekuk lateral

Panjang tak terkekang adalah jarak balok anak sehingga  $L_b = 0 \text{ cm}$ .

$$L_p = 1.76 \times i_y \times \sqrt{\frac{E}{f_y}} = 1,76 \times 6,63 \times \sqrt{\frac{2 \times 10^6}{2500}} = 330,044 \text{ cm}$$

$L_b \leq L_p \rightarrow 0 \text{ cm} \leq 330,044 \text{ cm} \rightarrow$  bentang pendek

-J Karena bentang pendek, maka  $M_n = M_p$

$$\begin{aligned} M_p &= f_y \cdot Z_x = 2500 \times 3782 = 9455000 \text{ kgcm} \\ &= 94550 \text{ kgm} \end{aligned}$$

-J Cek kemampuan penampang

$$\emptyset_b \cdot M_n \geq M_u$$

$$\begin{aligned} \emptyset_b \cdot M_n &= 0.9 \times 94550 \\ &= 85095 \text{ kgm} > 18469,97 \text{ kgm} \dots \text{OK!} \end{aligned}$$

c.J Kontrol penampang profil terhadap gaya geser

$$\frac{h_w}{t_w} = \frac{492}{12} = 41 ; 1.10 \sqrt{k_v \frac{E}{f_y}} = 1.10 \sqrt{5 \times \frac{2 \times 10^6}{2500}} = 69,57$$

$$\text{karena } \frac{h_w}{t_w} \leq 1.10 \sqrt{k_v \frac{E}{f_y}} \rightarrow 41 \leq 69,57$$

maka  $C_v = 1.00$  ; sehingga

$$V_n = 0.6 f_y A_w C_v = 0.6 \times 2500 \times (49,2 \times 1.10) \times 1.00 = 81180 \text{ kg}$$

$$\begin{aligned}\emptyset V_n &\geq V_u \\ \emptyset V_n &= 0.9 \times 81180 \\ &= 73062 \text{ kg} > 8603,88 \text{ kg} \dots \text{OK!}\end{aligned}$$

d.JKontrol lendutan

$$L = 800 \text{ cm}$$

$$f_{ijin} = \frac{L}{360} = \frac{800}{360} = 2.22 \text{ cm}$$

Dari hasil analisis SAP 2000 didapatkan lendutan batang sebesar

$$f = 0,11 \text{ cm}$$

$$f \leq f_{ijin} \rightarrow 0,11 \text{ cm} \leq 2.22 \text{ cm} \dots \text{OK!}$$

Balok induk profil WF 600 × 300 × 12 × 17 dapat digunakan.

### 6.1.1.2 Balok Induk Melintang

Balok induk melintang SRPMK 20 Lantai pada lantai 1-10 direncanakan menggunakan profil WF 600 × 300 × 12 × 17

$$W = 137 \text{ kg/m} \quad r = 28 \text{ mm} \quad h_w = 582 - 2(17+28)$$

$$A = 174,5 \text{ cm}^2 \quad Z_x = 3782 \text{ cm}^3 \quad = 492 \text{ mm}$$

$$t_w = 12 \text{ mm} \quad i_y = 6,63 \text{ cm} \quad b_f = 300 \text{ mm}$$

$$t_f = 17 \text{ mm} \quad I_x = 103000 \text{ cm}^4 \quad BJ = 41$$

$$d = 582 \text{ mm} \quad I_y = 7670 \text{ cm}^4 \quad f_y = 250 \text{ Mpa}$$

e.JDari analisis SAP 2000, didapatkan gaya dalam dan lendutan yang terjadi pada balok induk memanjang adalah sebagai berikut :

$$Mu = 48034,49 \text{ kgm}$$

$$Vu = 20551,67 \text{ kg}$$

$$f = 0,03 \text{ cm}$$

f.J Kontrol penampang profil terhadap gaya lentur

•J Kontrol penampang terhadap tekuk lokal

Pelat sayap

$$\lambda = \frac{b_f}{2t_f} = \frac{300}{2 \times 17} = 8,82$$

$$\lambda_p = 0,38 \sqrt{\frac{E}{f_y}} = 0,38 \sqrt{\frac{2 \times 10^5}{250}} = 10,75$$

$$\lambda \leq \lambda_p \rightarrow 8,82 \leq 10,75 \rightarrow \text{penampang sayap kompak}$$

Pelat badan

$$\lambda = \frac{h_w}{t_w} = \frac{492}{11} = 41$$

$$\lambda_p = 3,76 \sqrt{\frac{E}{f_y}} = 3,76 \sqrt{\frac{2 \times 10^5}{250}} = 106,35$$

$$\lambda \leq \lambda_p \rightarrow 41 \leq 106,35 \rightarrow \text{penampang badan kompak}$$

-J Karena penampang kompak, maka  $M_n = M_p$

$$\begin{aligned} M_p &= f_y \cdot Z_x = 2500 \times 3782 = 9455000 \text{ kgcm} \\ &= 94550 \text{ kgm} \end{aligned}$$

-J Cek kemampuan penampang

$$\emptyset_b \cdot M_n \geq M_u$$

$$\begin{aligned} \emptyset_b \cdot M_n &= 0,9 \times 94550 \\ &= 85095 \text{ kgm} > 48034,49 \text{ kgm} \dots \text{OK!} \end{aligned}$$

•J Kontrol penampang terhadap tekuk lateral

Panjang tak terkekang adalah jarak balok anak sehingga  $L_b = 200 \text{ cm}$ .

$$L_p = 1,76 \times i_y \times \sqrt{\frac{E}{f_y}} = 1,76 \times 6,63 \times \sqrt{\frac{2 \times 10^6}{2500}} = 330,044 \text{ cm}$$

$$L_b \leq L_p \rightarrow 0 \text{ cm} \leq 330,044 \text{ cm} \rightarrow \text{bentang pendek}$$

-J Karena bentang pendek, maka  $M_n = M_p$

$$\begin{aligned} M_p &= f_y \cdot Z_x = 2500 \times 3782 = 9455000 \text{ kgcm} \\ &= 94550 \text{ kgm} \end{aligned}$$

-J Cek kemampuan penampang

$$\varnothing_b \cdot M_n \geq M_u$$

$$\varnothing_b \cdot M_n = 0.9 \times 94550$$

$$= 85095 \text{ kgm} > 48034,49 \text{ kgm} \dots \text{OK !}$$

g.J Kontrol penampang profil terhadap gaya geser

$$\frac{h_w}{t_w} = \frac{492}{12} = 41 ; 1.10 \sqrt{k_v \frac{E}{f_y}} = 1.10 \sqrt{5 \times \frac{2 \times 10^6}{2500}} = 69,57$$

$$\text{karena } \frac{h_w}{t_w} \leq 1.10 \sqrt{k_v \frac{E}{f_y}} \rightarrow 41 \leq 69,57$$

maka  $C_v = 1.00$  ; sehingga

$$V_n = 0.6 f_y A_w C_v = 0.6 \times 2500 \times (49,2 \times 1.10) \times 1.00 = 81180 \text{ kg}$$

$$\varnothing V_n \geq V_u$$

$$\varnothing V_n = 0.9 \times 81180$$

$$= 73062 \text{ kg} > 20552,67 \text{ kg} \dots \text{OK !}$$

h.J Kontrol lendutan

$$L = 600 \text{ cm}$$

$$f_{ijin} = \frac{L}{360} = \frac{600}{360} = 1,67 \text{ cm}$$

Dari hasil analisis SAP 2000 didapatkan lendutan batang sebesar

$$f = 0,03 \text{ cm}$$

$$f \leq f_{ijin} \rightarrow 0,03 \text{ cm} \leq 1,67 \text{ cm} \dots \text{OK !}$$

Balok induk profil WF 600 × 300 × 12 × 17 dapat digunakan.

Untuk perhitungan profil pada bangunan secara keseluruhan disajikan dalam tabel berikut ini :

Tabel 6.1 Hasil Kontrol Kuat Geser

Sistem	Bangunan	Letak Profil	Profil WF	Kontrol Kuat Geser						
				h/tw (cm)	$1.10 \sqrt{k \cdot \frac{E}{f}}$	Hasil SAP		Vn (kg)	$\bar{\sigma}V_n$ (kg)	$\bar{\sigma}V_n > V_u$
						Mmax	Vmax			
SRPMK	20	1-10	600.300.12.17	41,00	69,57	18470,0	8603,9	81180	73062	OKE
		11-20	600.200.13.23	40,15		9773,8	4426,0	86130	77517	OKE
	30	1-10	600.300.12.20	41,00		46325,9	13584,2	81180	73062	OKE
		11-20	600.300.12.17	41,00		30192,9	9514,0	81180	73062	OKE
		21-30	600.200.13.23	40,15		10632,9	4639,8	86130	77517	OKE
	40	1-10	600.300.14.23	35,14		65115,7	16663,4	81180	73062	OKE
		11-20	600.300.14.23	41,00		52584,7	15143,6	81180	73062	OKE
		21-30	600.300.14.23	41,00		32149,0	10000,4	81180	73062	OKE
		31-40	600.300.14.23	40,15		11166,1	4773,8	86130	77517	OKE
	50	1-10	700.300.13.20	45,85		84241,4	23069,0	98340	88506	OKE
		11-20	700.300.13.20	35,14		72735,8	20250,7	81180	73062	OKE
		21-30	700.300.13.20	41,00		56105,7	16019,0	81180	73062	OKE

SRBK	60	31-40	700.300.13.20	41,00		33515,3	10339,5	81180	73062	OKE
		41-50	700.300.13.20	40,15		11737,9	4926,3	86130	77517	OKE
		1-10	700.300.13.24	45,85		93410,1	23233,9	98340	88506	OKE
		11-20	700.300.13.24	45,85		86962,5	21638,5	98340	88506	OKE
		21-30	700.300.13.24	35,14		70688,4	17601,5	81180	73062	OKE
		31-40	700.300.13.24	41,00		52372,5	13038,4	81180	73062	OKE
		41-50	700.300.13.24	41,00		28373,2	7061,5	81180	73062	OKE
		51-60	700.300.13.24	40,15		6232,7	1540,6	86130	77517	OKE
	20	1-10	600.300.12.17	40,15	69,57	21149,2	7248,7	86130	77517	OKE
		11-20	600.200.13.23	43,50		10760,4	4611,7	86130	77517	OKE
		1-10	600.300.12.20	41,00		33725,2	8901,7	81180	73062	OKE
		11-20	600.300.12.17	40,15		28584,0	7614,3	86130	77517	OKE
	30	21-30	600.200.13.23	43,50		12967,1	3673,2	86130	77517	OKE
		1-10	600.300.14.23	41,00		50778,2	13205,6	81180	73062	OKE
		11-20	600.300.14.23	41,00		44727,0	11646,7	81180	73062	OKE
		21-30	600.300.14.23	40,15		32892,4	8710,5	86130	77517	OKE
	40	31-40	600.300.14.23	43,50		14883,9	4150,7	86130	77517	OKE

SRBK + Outrigger	50	1-10	700.300.13.20	35,14	69,57	65212,4	18364,3	81180	73062	OKE
		11-20	700.300.13.20	41,00		61711,1	17406,6	81180	73062	OKE
		21-30	700.300.13.20	41,00		56105,7	16019,0	81180	73062	OKE
		31-40	700.300.13.20	40,15		21670,2	12483,9	86130	77517	OKE
		41-50	700.300.13.20	43,50		16437,4	6018,1	86130	77517	OKE
	60	1-10	700.300.13.24	45,85		83475,6	20536,7	98340	88506	OKE
		11-20	700.300.13.24	35,14		80237,9	22106,6	81180	73062	OKE
		21-30	700.300.13.24	41,00		68695,9	15567,6	81180	73062	OKE
		31-40	700.300.13.24	41,00		51442,0	14797,3	81180	73062	OKE
		41-50	700.300.13.24	40,15		36787,0	11137,3	86130	77517	OKE
		51-60	700.300.13.24	43,50		14734,5	4082,8	86130	77517	OKE
SRBK + Outrigger	20	1-10	600.300.12.17	43,50	69,57	18470,0	8603,9	86130	77517	OKE
		11-20	600.200.13.23	47,45		9773,8	4426,0	86130	77517	OKE
	30	1-10	600.300.12.20	41,00		33725,2	8901,7	81180	73062	OKE
		11-20	600.300.12.17	40,15		28584,0	7614,3	86130	77517	OKE
		21-30	600.200.13.23	43,50		12967,1	3673,2	86130	77517	OKE
	40	1-10	600.300.14.23	41,00		65115,7	16663,4	81180	73062	OKE

		11-20	600.300.14.23	40,15		52584,7	15143,6	86130	77517	OKE
		21-30	600.300.14.23	43,50		32149,0	10000,4	86130	77517	OKE
		31-40	600.300.14.23	47,45		11166,1	4773,8	86130	77517	OKE
	50	1-10	700.300.13.20	41,00		84241,4	23069,0	81180	73062	OKE
		11-20	700.300.13.20	41,00		72735,8	20250,7	81180	73062	OKE
		21-30	700.300.13.20	40,15		56105,7	16019,0	86130	77517	OKE
		31-40	700.300.13.20	43,50		33515,3	10339,5	86130	77517	OKE
		41-50	700.300.13.20	47,45		11737,9	4926,3	86130	77517	OKE
		1-10	700.300.13.24	35,14		93410,1	23233,9	81180	73062	OKE
	60	11-20	700.300.13.24	41,00		86962,5	21638,5	81180	73062	OKE
		21-30	700.300.13.24	41,00		70688,4	17601,5	81180	73062	OKE
		31-40	700.300.13.24	40,15		52372,5	13038,4	86130	77517	OKE
		41-50	700.300.13.24	43,50		28373,2	7061,5	86130	77517	OKE
		51-60	700.300.13.24	47,45		6232,7	1540,6	86130	77517	OKE

Tabel 6.2 Hasil Kontrol Kuat Momen Lentur

Sistem	Bangunan	Letak Profil	Profil WF	Kontrol Kuat Momen Lentur						
				Sayap		Badan		Mp (kgm)	Øb . Mn (kgm)	
				$\lambda$	$\lambda p$	$\lambda$	$\lambda p$			
SRPMK	20	1-10	600.300.12.17	8,82	10,75	41,00	106,35	94550	85095	OKE
		11-20	600.200.13.23	4,39		40,15	106,35	94450	85005	OKE
	30	1-10	600.300.12.20	7,50		41,00	106,35	107725	96953	OKE
		11-20	600.300.12.17	8,82		41,00	106,35	94550	85095	OKE
		21-30	600.200.13.23	4,39		40,15	106,35	94450	85005	OKE
	40	1-10	600.300.14.23	6,57		35,14	106,35	125425	112883	OKE
		11-20	600.300.14.23	7,50		41,00	106,35	107725	96953	OKE
		21-30	600.300.14.23	8,82		41,00	106,35	94550	85095	OKE
		31-40	600.300.14.23	4,39		40,15	106,35	94450	85005	OKE
	50	1-10	700.300.13.20	7,50		45,85	106,35	135350	121815	OKE
		11-20	700.300.13.20	6,57		35,14	106,35	125425	112883	OKE

SRBKK	60	21-30	700.300.13.20	7,50	10,75	41,00	106,35	107725	96953	OKE
		31-40	700.300.13.20	8,82		41,00	106,35	94550	85095	OKE
		41-50	700.300.13.20	4,39		40,15	106,35	94450	85005	OKE
		1-10	700.300.13.24	6,25		45,85	106,35	156225	140603	OKE
		11-20	700.300.13.24	7,50		45,85	106,35	135350	121815	OKE
		21-30	700.300.13.24	6,57		35,14	106,35	125425	112883	OKE
		31-40	700.300.13.24	7,50		41,00	106,35	107725	96953	OKE
		41-50	700.300.13.24	8,82		41,00	106,35	94550	85095	OKE
	20	51-60	700.300.13.24	4,39		40,15	106,35	94450	85005	OKE
		1-10	600.300.12.17	4,39	10,75	40,15	106,35	94450	85005	OKE
		11-20	600.200.13.23	5,03		43,50	106,35	82925	74633	OKE
		1-10	600.300.12.20	8,82		41,00	106,35	94550	85095	OKE
		11-20	600.300.12.17	4,39		40,15	106,35	94450	85005	OKE
		21-30	600.200.13.23	5,03		43,50	106,35	82925	74633	OKE
		1-10	600.300.14.23	7,50		41,00	106,35	107725	96953	OKE
	40	11-20	600.300.14.23	8,82		41,00	106,35	94550	85095	OKE
		21-30	600.300.14.23	4,39		40,15	106,35	94450	85005	OKE

SRBKK + Outrigger	50	31-40	600.300.14.23	5,03		43,50	106,35	82925	74633	OKE
		1-10	700.300.13.20	6,57		35,14	106,35	125425	112883	OKE
		11-20	700.300.13.20	7,50		41,00	106,35	107725	96953	OKE
		21-30	700.300.13.20	8,82		41,00	106,35	94550	85095	OKE
		31-40	700.300.13.20	4,39		40,15	106,35	94450	85005	OKE
		41-50	700.300.13.20	5,03		43,50	106,35	82925	74633	OKE
	60	1-10	700.300.13.24	7,50		45,85	106,35	135350	121815	OKE
		11-20	700.300.13.24	6,57		35,14	106,35	125425	112883	OKE
		21-30	700.300.13.24	7,50		41,00	106,35	107725	96953	OKE
		31-40	700.300.13.24	8,82		41,00	106,35	94550	85095	OKE
		41-50	700.300.13.24	4,39		40,15	106,35	94450	85005	OKE
		51-60	700.300.13.24	5,03		43,50	106,35	82925	74633	OKE
20	10	1-10	600.300.12.17	5,03	10,75	43,50	106,35	82925	74633	OKE
		11-20	600.200.13.23	5,88		47,45	106,35	71575	64418	OKE
	30	1-10	600.300.12.20	4,39		40,15	106,35	94450	85005	OKE
		11-20	600.300.12.17	5,03		43,50	106,35	82925	74633	OKE
		21-30	600.200.13.23	5,88		47,45	106,35	71575	64418	OKE

		1-10	600.300.14.23	8,82		41,00	106,35	94550	85095	OKE
	40	11-20	600.300.14.23	4,39		40,15	106,35	94450	85005	OKE
		21-30	600.300.14.23	5,03		43,50	106,35	82925	74633	OKE
		31-40	600.300.14.23	5,88		47,45	106,35	71575	64418	OKE
		1-10	700.300.13.20	7,50		41,00	106,35	107725	96953	OKE
	50	11-20	700.300.13.20	8,82		41,00	106,35	94550	85095	OKE
		21-30	700.300.13.20	4,39		40,15	106,35	94450	85005	OKE
		31-40	700.300.13.20	5,03		43,50	106,35	82925	74633	OKE
		41-50	700.300.13.20	5,88		47,45	106,35	71575	64418	OKE
		1-10	700.300.13.24	6,57		35,14	106,35	125425	112883	OKE
	60	11-20	700.300.13.24	7,50		41,00	106,35	107725	96953	OKE
		21-30	700.300.13.24	8,82		41,00	106,35	94550	85095	OKE
		31-40	700.300.13.24	4,39		40,15	106,35	94450	85005	OKE
		41-50	700.300.13.24	5,03		43,50	106,35	82925	74633	OKE
		51-60	700.300.13.24	5,88		47,45	106,35	71575	64418	OKE

Tabel 6.3 Hasil Kontrol Lendutan

Sistem	Bangunan	Letak Profil	Profil WF	Kontrol Lendutan		
				f'	Ymax	Ymax < f'
SRPMK	20	1-10	600.300.12.17	2,222	0,11	OKE
		11-20	600.200.13.23		0,12	OKE
	30	1-10	600.300.12.20		0,23	OKE
		11-20	600.300.12.17		0,33	OKE
		21-30	600.200.13.23		0,35	OKE
	40	1-10	600.300.14.23		0,42	OKE
		11-20	600.300.14.23		0,64	OKE
		21-30	600.300.14.23		0,74	OKE
		31-40	600.300.14.23		0,75	OKE
	50	1-10	700.300.13.20		0,64	OKE
		11-20	700.300.13.20		1,04	OKE
		21-30	700.300.13.20		1,26	OKE
		31-40	700.300.13.20		1,35	OKE
		41-50	700.300.13.20		1,37	OKE
	60	1-10	700.300.13.24		0,90	OKE
		11-20	700.300.13.24		1,50	OKE
		21-30	700.300.13.24		1,90	OKE
		31-40	700.300.13.24		2,12	OKE
		41-50	700.300.13.24		2,21	OKE
		51-60	700.300.13.24		2,22	OKE
SRBKK	20	1-10	600.300.12.17	2,222	0,09	OKE
		11-20	600.200.13.23		0,11	OKE
	30	1-10	600.300.12.20		0,25	OKE

SRBKK + Outrigger	40	11-20	600.300.12.17		0,32	OKE
		21-30	600.200.13.23		0,33	OKE
		1-10	600.300.14.23		0,39	OKE
		11-20	600.300.14.23		0,59	OKE
		21-30	600.300.14.23		0,66	OKE
		31-40	600.300.14.23		0,68	OKE
	50	1-10	700.300.13.20		0,57	OKE
		11-20	700.300.13.20		0,94	OKE
		21-30	700.300.13.20		1,19	OKE
		31-40	700.300.13.20		1,30	OKE
		41-50	700.300.13.20		1,33	OKE
	60	1-10	700.300.13.24		0,82	OKE
		11-20	700.300.13.24		1,39	OKE
		21-30	700.300.13.24		1,78	OKE
		31-40	700.300.13.24		2,03	OKE
		41-50	700.300.13.24		2,14	OKE
		51-60	700.300.13.24		2,17	OKE
	20	1-10	600.300.12.17	2,222	0,11	OKE
		11-20	600.200.13.23		0,12	OKE
		1-10	600.300.12.20		0,23	OKE
	30	11-20	600.300.12.17		0,33	OKE
		21-30	600.200.13.23		0,35	OKE
		1-10	600.300.14.23		0,42	OKE
	40	11-20	600.300.14.23		0,64	OKE
		21-30	600.300.14.23		0,74	OKE
		31-40	600.300.14.23		0,75	OKE
		1-10	700.300.13.20		0,64	OKE
	50	11-20	700.300.13.20		1,04	OKE

		21-30	700.300.13.20		1,26	OKE
		31-40	700.300.13.20		1,35	OKE
		41-50	700.300.13.20		1,37	OKE
60	1-10	700.300.13.24			0,90	OKE
	11-20	700.300.13.24			1,50	OKE
	21-30	700.300.13.24			1,90	OKE
	31-40	700.300.13.24			2,12	OKE
	41-50	700.300.13.24			2,21	OKE
	51-60	700.300.13.24			2,22	OKE

### 6.1.2. Kolom

#### 6.1.2.1 Kolom Lantai 1-10 SRPMK 20 Lantai

Pada perencanaan ini ditunjukkan contoh perhitungan kolom lantai 1. Direncanakan komposit CFT dengan profil HSS 900 x 900 x 12 x 12 dan panjang kolom 400 cm. Data-data profil disajikan sebagai berikut :

$$\begin{array}{ll}
 d = 900 \text{ mm} & I_x = 552850,15 \text{ cm}^4 \\
 b_f = 900 \text{ mm} & I_y = 552850,15 \text{ cm}^4 \\
 t_w = 12 \text{ mm} & i_x = 36,17 \text{ cm} \\
 t_f = 12 \text{ mm} & i_y = 36,17 \text{ cm} \\
 A = 422,53 \text{ cm}^2 & S_x = 14028,62 \text{ cm}^3 \\
 Z_x = 12285,56 \text{ cm}^3 & \\
 f_y = 250 \text{ Mpa} &
 \end{array}$$

Dari hasil analisis SAP 2000 didapatkan gaya dalam yang bekerja sebagai berikut:

$$\begin{aligned}
 P_u &= 779793,32 \text{ kg} \\
 M_{ux} &= 90131,05 \text{ kgm} \\
 M_{uy} &= 149093,98 \text{ kgm}
 \end{aligned}$$

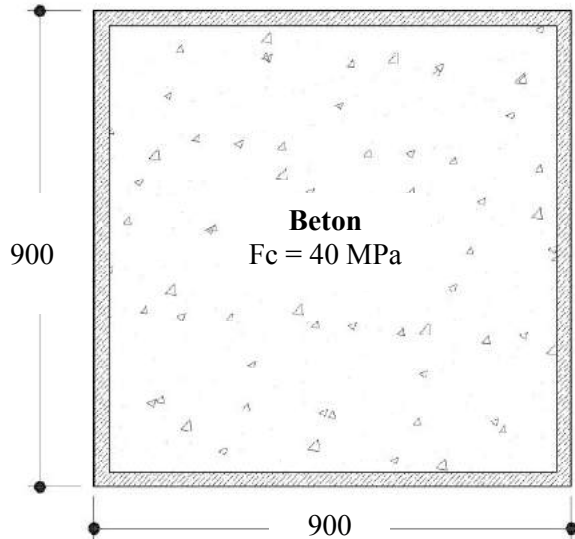
Bahan :

$$BJ 41 : f_y = 2500 \text{ kg/cm}^2$$

$$f_u = 4100 \text{ kg/cm}^2$$

Beton :  $f_c' = 40 \text{ MPa} = 400 \text{ kg/cm}^2$

Casing HSS 900 x 900 x 12 x 12



Gambar 6.1 Penampang Kolom Komposit CFT dengan Profil  
HSS 900 × 900 × 12 × 12

a.J Kuat nominal tekan kolom komposit

•J Kontrolluas penampang minimum profil baja

$$\frac{A_s}{A_c + A_s} \times 100\% = \frac{900}{(90 - 1,2)^2 + 900} \times 100 = 10,24\% \geq 4\% \dots \text{OK!}$$

•J Kontrol tebal minimum penampang persegi

$$t_{\min} = b \times \sqrt{\frac{f_y}{3E}}$$

$$t_{\min} = 900 \times \sqrt{\frac{250}{3 \times 2 \times 10^5}} = 18,4 \text{ mm} \leq 25 \text{ mm} \dots \text{OK!}$$

- J Kuat nominal tekan kolom komposit

$$\lambda = \frac{b_f}{2t_f} = \frac{900}{2 \times 12} = 37,5$$

$$\lambda_p = 2,26 \sqrt{\frac{E}{f_y}} = 2,26 \sqrt{\frac{2 \times 10^5}{250}} = 63,92$$

$$\lambda \leq \lambda_p \rightarrow 18,4 \leq 63,92 \rightarrow \text{penampang kompak}$$

Sehingga kekuatan nominal tekan diperhitungkan sebagai berikut :

$$P_{no} = P_p$$

$$P_p = f_y A_s + C_2 f_c' \left( A_c + A_{sr} \frac{E_s}{E_c} \right)$$

$$P_p = 2500 \times 900 + 0,85 \times 400 (7885,44 + 0)$$

$$P_p = P_{no} = 4931049,6 \text{ kg}$$

- b.J Momen nominal kolom

- J Kontrol penampang terhadap tekuk lokal

$$\lambda = \frac{b_f}{2t_f} = \frac{900}{2 \times 12} = 37,5$$

$$\lambda_p = 1,4 \sqrt{\frac{E}{f_y}} = 1,4 \sqrt{\frac{2 \times 10^5}{250}} = 39,6$$

$$\lambda \leq \lambda_p \rightarrow 37,5 \leq 39,6 \rightarrow \text{penampang kompak}$$

- J Karena penampang kompak, maka  $M_n = M_p$

$$M_p = f_y \cdot Z_x = 2500 \times 12285,56 = 30713897,2 \text{ kgcm} \\ = 307138,97 \text{ kgm}$$

-J Cek kemampuan penampang

$$\varnothing_b \cdot M_n \geq M_u$$

$$\varnothing_b \cdot M_n = 0,9 \times 307138,97$$

$$= 276425 \text{ kgm} > 149094 \text{ kgm} \dots \text{OKE!}$$

- J Kontrol penampang terhadap tekuk lateral

Panjang tak terkekang adalah tinggi kolom-d<sub>balok</sub>

$$L_b = 400 - 61,2 = 338,8 \text{ cm.}$$

$$L_p = 1,76 \times i_y \times \sqrt{\frac{E}{f_y}} = 1,76 \times 36,17 \times \sqrt{\frac{2 \times 10^6}{2500}} = 1800,66 \text{ cm}$$

$$L_b \leq L_p \rightarrow 338,8 \text{ cm} \leq 1800,66 \text{ cm} \rightarrow \text{bentang pendek}$$

-J Karena bentang pendek, maka  $M_n = M_p$

$$M_p = f_y \cdot Z_x = 2500 \times 12285,56 = 30713897,2 \text{ kgcm}$$

$$= 307138,97 \text{ kgm}$$

-J Cek kemampuan penampang

$$\varnothing_b \cdot M_n \geq M_u$$

$$\varnothing_b \cdot M_n = 0,9 \times 307138,97$$

$$= 276425 \text{ kgm} > 149094 \text{ kgm} \dots \text{OKE!}$$

### c.J Kekuatan lentur dan aksial orde kedua

Momen lentur dan aksial terfaktor arah X dan Y ditentukan berdasarkan persamaan berikut ini:

$$M_r = B_1 M_{nt} + B_2 M_{lt}$$

$$P_r = P_{nt} + B_2 P_t$$

dengan,

$$C_m = 0,6 - 0,4(M_1/M_2)$$

$$B_1 = \frac{C_m}{1 - \alpha P_1 / P_{el}} \geq 1.00$$

$$P_{el} = \frac{\pi^2 EI^*}{(K_1 L)^2}$$

$$B_2 = \frac{1}{1 - \frac{\alpha P_{story}}{P_{e\_story}}}$$

• J Arah sumbu X :

-J Kontrol momen terhadap beban gravitasi

Dari SAP 2000 diperoleh output sebagai berikut:

$$M_1 = 90131,05 \text{ kgm}$$

$$M_2 = 35894,77 \text{ kgm}$$

$$C_m = -0,4$$

$$P_{el} = 68205153 \text{ kg}$$

$$B_1 = -0,4 < 1,0 \text{ maka digunakan } 1,0$$

$$\begin{aligned} M_{nt} &= \text{Momen } 1,2D+1,6L \text{ atau Momen } 1,2D+1L \\ &= 2565 \text{ kgm} \end{aligned}$$

$$\begin{aligned} M_{lt} &= \text{Momen RSX terbesar} \\ &= 115704 \text{ kgm} \end{aligned}$$

-J Kontrol momen terhadap beban lateral

Dari SAP 2000 diperoleh output sebagai berikut:

$$P_{story} = 3763510 \text{ kg}$$

$$Rm = 1 - 0,15(Pmf/Pstory) = 1$$

$$\Delta H = 0,0281 \text{ m}$$

$$H = 4463 \text{ kg}$$

$$L = 4 \text{ m}$$

$$P_{e story} = 635302,49 \text{ kg}$$

$$B_2 = -0,2 < 1,0 \text{ maka digunakan } 1,0$$

-J Momen terfaktor pada sumbu X

$$\begin{aligned} M_{rx} &= (1,0 \times 2565) + (1,0 \times 115704) \\ &= 118269 \text{ kgm} \end{aligned}$$

• J Arah sumbu Y :

- J Kontrol momen terhadap beban gravitasi

Dari SAP 2000 diperoleh output sebagai berikut:

$$\begin{aligned} M_1 &= 149094 \text{ kgm} \\ M_2 &= 67439,09 \text{ kgm} \\ C_m &= -0,28 \\ P_{el} &= 68205153 \text{ kg} \\ B_1 &= -0,28 < 1,0 \text{ maka digunakan } 1,0 \\ M_{nt} &= \text{Momen } 1,2D+1,6L \text{ atau Momen } 1,2D+1L \\ &= 2565 \text{ kgm} \\ M_{lt} &= \text{Momen RSX terbesar} \\ &= 34712 \text{ kgm} \end{aligned}$$

- J Kontrol momen terhadap beban lateral

Dari SAP 2000 diperoleh output sebagai berikut:

$$\begin{aligned} P_{story} &= 1872154389,58 \text{ kg} \\ Rm &= 1-0,15(Pmf/Pstory) = 1 \\ \Delta H &= 0,0025 \text{ m} \\ H &= 17480 \text{ kg} \\ L &= 4 \text{ m} \\ P_{e story} &= 27968000 \text{ kg} \\ B_2 &= 1,02 > 1,0 \text{ dapat digunakan} \end{aligned}$$

- J Momen terfaktor pada sumbu Y

$$\begin{aligned} M_{ry} &= (1,0 \times 2565) + (1,02 \times 34712) \\ &= 37963,18 \text{ kgm} \end{aligned}$$

Kuat aksial orde kedua

$$\begin{aligned} P_{nt} &= (1,2D+1L) = 779793,32 \text{ kg} \\ P_{lt} &= RSP \text{ Max} = 143791,95 \text{ kg} \\ P_r &= (779793,32) + (1,02 \times 143791,95) \\ &= 926427,727 \text{ kgm} \end{aligned}$$

#### d.J Kontrol interaksi aksial-momen

$$\frac{P_r}{P_c} = \frac{P_r}{\phi_c P_n} = \frac{926427,727}{0,90 \times 4931049,6} = 0,21 \geq 0,2$$

Maka digunakan rumus interaksi pertama sebagai berikut:

$$\frac{P_r}{P_c} + \frac{8}{9} \left( \frac{M_{rx}}{M_{cx}} + \frac{M_{ry}}{M_{cy}} \right) \leq 1,0$$

$$\frac{926427,727}{0,90 \times 4931049,6} + \frac{8}{9} \left( \frac{118269}{276425} + \frac{37963,18}{118269} \right) = 0,87$$

Hasil kontrol interaksi yaitu  $0,87 \leq 1,00$ , maka kolom profil HSS 900 x 900 x 12 x 12 dapat dipakai.

#### 6.1.2.2 Kolom Lantai 1-10 SRBKK + Outrigger 60 Lantai

Pada perencanaan ini ditunjukkan contoh perhitungan kolom lantai 1. Direncanakan komposit CFT dengan profil HSS 1000 x 1000 19 x 19 dan panjang kolom 400 cm. Data-data profil disajikan sebagai berikut :

$$\begin{array}{ll}
 d = 1000 \text{ mm} & I_x = 1173370,71 \text{ cm}^4 \\
 b_f = 1000 \text{ mm} & I_y = 1173370,71 \text{ cm}^4 \\
 t_w = 19 \text{ mm} & i_x = 39,92 \text{ cm} \\
 t_f = 19 \text{ mm} & i_y = 39,92 \text{ cm} \\
 A = 736,26 \text{ cm}^2 & S_x = 26969,21 \text{ cm}^3 \\
 Z_x = 23467,41 \text{ cm}^3 & \\
 f_y = 250 \text{ Mpa} &
 \end{array}$$

Dari hasil analisis SAP 2000 didapatkan gaya dalam yang bekerja sebagai berikut:

$$\begin{array}{ll}
 P_u & = 3339377,10 \text{ kg} \\
 M_{ux} & = 120685,74 \text{ kgm} \\
 M_{uy} & = 234500,29 \text{ kgm}
 \end{array}$$

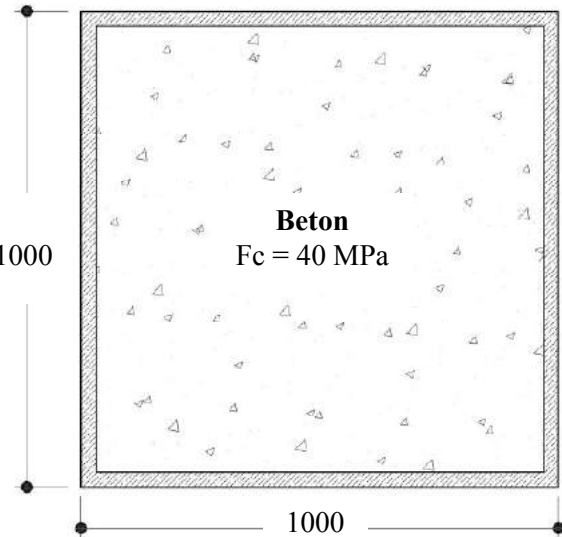
Bahan :

BJ 41 :  $f_y = 2500 \text{ kg/cm}^2$

$f_u = 4100 \text{ kg/cm}^2$

Beton :  $f_c' = 40 \text{ MPa} = 400 \text{ kg/cm}^2$

Casing HSS 1000 x 1000 x 19 x 19



Gambar 6.1 Penampang Kolom Komposit CFT dengan Profil HSS  $1000 \times 1000 \times 19 \times 19$

e.J Kuat nominal tekan kolom komposit

•J Kontrolluas penampang minimum profil baja

$$\frac{A_s}{A_c + A_s} \times 100\% = \frac{1000}{(100 - 1,9)^2 + 1000} \times 100 = 9,3\% \geq 4\% \dots \text{OK!}$$

•J Kontrol tebal minimum penampang persegi

$$t_{\min} = b \times \sqrt{\frac{f_y}{3E}}$$

$$t_{\min} = 1000 \times \sqrt{\frac{250}{3 \times 2 \times 10^5}} = 20,41 \text{ mm} \leq 25 \text{ mm} \dots \text{OK!}$$

- J Kuat nominal tekan kolom komposit

$$\lambda = \frac{b_f}{2t_f} = \frac{1000}{2 \times 19} = 26,32$$

$$\lambda_p = 2,26 \sqrt{\frac{E}{f_y}} = 2,26 \sqrt{\frac{2 \times 10^5}{250}} = 63,92$$

$$\lambda \leq \lambda_p \rightarrow 26,52 \leq 63,92 \rightarrow \text{penampang kompak}$$

Sehingga kekuatan nominal tekan diperhitungkan sebagai berikut :

$$P_{no} = P_p$$

$$P_p = f_y A_s + C_2 f_c' \left( A_c + A_{sr} \frac{E_s}{E_c} \right)$$

$$P_p = 2500 \times 1000 + 0.85 \times 400 (9623,61 + 0)$$

$$P_p = P_{no} = 5818889,6 \text{ kg}$$

- f.J Momen nominal kolom

- J Kontrol penampang terhadap tekuk lokal

$$\lambda = \frac{b_f}{2t_f} = \frac{1000}{2 \times 19} = 26,32$$

$$\lambda_p = 1,12 \sqrt{\frac{E}{f_y}} = 1,12 \sqrt{\frac{2 \times 10^5}{250}} = 31,68$$

$$\lambda \leq \lambda_p \rightarrow 26,32 \leq 31,68 \rightarrow \text{penampang kompak}$$

-JKarena penampang kompak, maka  $M_n = M_p$

$$\begin{aligned}M_p &= f_y \cdot Z_x = 2500 \times 23467,41 = 58668535,7 \text{ kgcm} \\&= 586685,36 \text{ kgm}\end{aligned}$$

-JCek kemampuan penampang

$$\begin{aligned}\varnothing_b \cdot M_n &\geq M_u \\ \varnothing_b \cdot M_n &= 0,9 \times 586685,36 \\ &= 528016,8 \text{ kgm} > 234500,3 \text{ kgm} \dots \text{OKE!}\end{aligned}$$

- J Kontrol penampang terhadap tekuk lateral  
Panjang tak terkekang adalah tinggi kolom-d<sub>balok</sub>  
 $L_b = 400 - 59,4 = 340,6 \text{ cm.}$

$$L_p = 1,76 \times i_y \times \sqrt{\frac{E}{f_y}} = 1,76 \times 39,92 \times \sqrt{\frac{2 \times 10^6}{2500}} = 1987,28 \text{ cm}$$

$L_b \leq L_p \rightarrow 340,6 \text{ cm} \leq 1987,28 \text{ cm} \rightarrow$  bentang pendek

-JKarena bentang pendek, maka  $M_n = M_p$

$$\begin{aligned}M_p &= f_y \cdot Z_x = 2500 \times 23467,41 = 58668535,7 \text{ kgcm} \\&= 586685,36 \text{ kgm}\end{aligned}$$

-JCek kemampuan penampang

$$\begin{aligned}\varnothing_b \cdot M_n &\geq M_u \\ \varnothing_b \cdot M_n &= 0,9 \times 586685,36 \\ &= 528016,8 \text{ kgm} > 234500,3 \text{ kgm} \dots \text{OKE!}\end{aligned}$$

#### g.J Kekuatan lentur dan aksial orde kedua

Momen lentur dan aksial terfaktor arah X dan Y ditentukan berdasarkan persamaan berikut ini:

$$M_r = B_1 M_{nt} + B_2 M_{lt}$$

$$P_r = P_{nt} + B_2 P_t$$

dengan,

$$C_m = 0.6 - 0.4(M_1/M_2)$$

$$B_1 = \frac{C_m}{1 - \alpha P_1/P_{el}} \geq 1.00$$

$$P_{el} = \frac{\pi^2 EI^*}{(K_1 L)^2}$$

$$B_2 = \frac{1}{1 - \frac{\alpha P_{story}}{P_{e\_story}}}$$

•J Arah sumbu X :

-Kontrol momen terhadap beban gravitasi

Dari SAP 2000 diperoleh output sebagai berikut:

$$M_1 = 120685,74 \text{ kgm}$$

$$M_2 = 41137 \text{ kgm}$$

$$C_m = -0,6$$

$$P_{el} = 46078160 \text{ kg}$$

$$B_1 = -0,6 < 1,0 \text{ maka digunakan } 1,0$$

$$\begin{aligned} M_{nt} &= \text{Momen } 1,2D+1,6L \text{ atau Momen } 1,2D+1L \\ &= 6309 \text{ kgm} \end{aligned}$$

$$\begin{aligned} M_{lt} &= \text{Momen RSX terbesar} \\ &= 44619 \text{ kgm} \end{aligned}$$

-Kontrol momen terhadap beban lateral

Dari SAP 2000 diperoleh output sebagai berikut:

$$P_{story} = 13436340 \text{ kg}$$

$$R_m = 1-0,15(Pmf/Pstory) = 1$$

$$\Delta H = 0,14 \text{ m}$$

$$H = 188688 \text{ kg}$$

$$L = 4 \text{ m}$$

$$P_{e story} = 5391085,7 \text{ kg}$$

$$B_2 = -0,7 < 1,0 \text{ maka digunakan } 1,0$$

-J Momen terfaktor pada sumbu X

$$\begin{aligned} M_{rx} &= (1,0 \times 6309) + (1,0 \times 44619) \\ &= 50928 \text{ kgm} \end{aligned}$$

•J Arah sumbu Y :

-J Kontrol momen terhadap beban gravitasi

Dari SAP 2000 diperoleh output sebagai berikut:

$$\begin{aligned} M_1 &= 234500,29 \text{ kgm} \\ M_2 &= 49075,71 \text{ kgm} \\ C_m &= -0,98 \\ P_{e1} &= 46078160 \text{ kg} \\ B_1 &= -0,98 < 1,0 \text{ maka digunakan } 1,0 \\ M_{nt} &= \text{Momen } 1,2D+1,6L \text{ atau Momen } 1,2D+1L \\ &= 9030 \text{ kgm} \\ M_{lt} &= \text{Momen RSX terbesar} \\ &= 47549 \text{ kgm} \end{aligned}$$

-J Kontrol momen terhadap beban lateral

Dari SAP 2000 diperoleh output sebagai berikut:

$$\begin{aligned} P_{story} &= 11054618 \text{ kg} \\ Rm &= 1-0,15(Pmf/Pstory) = 1 \\ \Delta H &= 0,042 \text{ m} \\ H &= 65650 \text{ kg} \\ L &= 4 \text{ m} \\ P_{e story} &= 6252381 \text{ kg} \\ B_2 &= -1,3 < 1,0 \text{ maka digunakan } 1,0 \end{aligned}$$

-J Momen terfaktor pada sumbu Y

$$\begin{aligned} M_{ry} &= (1,0 \times 9030) + (1,0 \times 47549) \\ &= 56579 \text{ kgm} \end{aligned}$$

Kuat aksial orde kedua

$$\begin{aligned} P_{nt} &= (1,2D+1L) = 3339377,1 \text{ kg} \\ P_{lt} &= RSP \text{ Max} = 139750,45 \text{ kg} \\ P_r &= (3339377,1) + (1,0 \times 139750,45) \\ &= 3479127,5 \text{ kgm} \end{aligned}$$

### h.J Kontrol interaksi aksial-momen

$$\frac{P_r}{P_c} = \frac{P_r}{\phi_c P_n} = \frac{926427,727}{0,90 \times 4931049,6} = 0,21 \geq 0,2$$

Maka digunakan rumus interaksi pertama sebagai berikut:

$$\frac{P_r}{P_c} + \frac{8}{9} \left( \frac{M_{rx}}{M_{cx}} + \frac{M_{ry}}{M_{cy}} \right) \leq 1,0$$

$$\frac{3479127,5}{0,90 \times 4987168,2} + \frac{8}{9} \left( \frac{50928}{528016,82} + \frac{56579}{528016,82} \right) = 0,96$$

Hasil kontrol interaksi yaitu  $0,96 \leq 1,00$  , maka kolom profil HSS 1000 x 1000 x 19 x 19 dapat dipakai.

Untuk profil lainnya dilakukan perhitungan yang sama dengan profil diatas.

Berikut ini rekapitulasi perhitungan kolom untuk bangunan SRBKK menggunakan outrigger 60 lantai.

Tabel 6.4 Rekapitulasi Perhitungan Kolom SRBKK menggunakan Outrigger 60 Lantai

Lt	Profil HSS	Pu (kg)	Mux (kgm)	Muy (kgm)	Kontrol Interaksi < 1	Ket.
1-10	1000.1000.19	3339377,1	120685,7	234500,3	0,96	OKE
11-20	1000.1000.16	2654278,7	64822,3	97864,6	0,93	OKE
21-30	900.900.16	1825084,7	47823,4	75074,2	0,935	OKE
31-40	900.900.12	1217645,6	110520,0	165230,1	0,95	OKE
41-50	800.800.12	781401,2	30657,0	45602,3	0,89	OKE
51-60	700.700.12	547105,2	17742,1	20837,9	0,85	OKE

### 6.1.3 Bresing dan Outrigger

#### a.J Bresing

Pada kontrol profil bresing dipilih berdasarkan gaya terbesar yang terjadi. Bresing direncanakan menggunakan profil WF 300 × 300 × 11 × 17 dengan panjang 500 cm.

$$W = 106 \text{ kg/m} \quad r = 18 \text{ mm} \quad h_w = 304 - 2(17+18)$$

$$A = 134,8 \text{ cm}^2 \quad Z_x = 1669 \text{ cm}^3 \quad = 234 \text{ mm}$$

$$t_w = 11 \text{ mm} \quad i_y = 7,57 \text{ cm} \quad b_f = 301 \text{ mm}$$

$$t_f = 17 \text{ mm} \quad I_x = 23400 \text{ cm}^4 \quad BJ = 41$$

$$d = 304 \text{ mm} \quad I_y = 7730 \text{ cm}^4 \quad f_y = 250 \text{ Mpa}$$

$$R_y = 1,5$$

Dari analisis SAP 2000, didapatkan gaya dalam yang terjadi:

$$P_u = 240549,43 \text{ kg}$$

$$\lambda_{\max} = \frac{kL}{r_y} = \frac{1 \times 500}{7,57} = 66,05 \quad \left. \right\}$$

$$\lambda_R = \frac{1900}{\sqrt{f_y}} = \frac{1900}{\sqrt{250}} = 120,2 \quad \left. \right\}$$

$$\lambda_{\max} = 66,05 < \lambda_R = 120,2 \dots \text{OKE}$$

$$\lambda_R = \lambda_y = 120,2$$

$$\lambda_c = \frac{\lambda}{\pi} \sqrt{\frac{f_y}{E}} = \frac{120,2}{\pi} \sqrt{\frac{250}{2 \times 10^5}} = 1,35 > 1,2$$

$$\lambda_c > 1,2 \rightarrow \omega = 1,25 \lambda_c^2 = 1,25 \times 1,35^2 = 2,286$$

Bracing tarik:

$$P_{\max} = R_y F_y A_g = 1,5 \times 2500 \times 134,8 = 505500 \text{ kg}$$

$$\phi P_{\max} = 0,9 \times 505500 = 454950 \text{ kg} > 200549,43 \text{ kg} \dots \text{OK}$$

Bracing tekan:

$$P_{\max} = 1,1 R_y A_g F_{cr} = 1,1 \times 1,5 \times 134,8 \times 2500 / 2,286 = 244095,698 \text{ kg}$$

$$\phi P_{\max} = 0,85 \times 244095,698 = 207481,34 \text{ kg} > 200549,43 \text{ kg} \dots \text{OK}$$

Maka bresing dengan profil WF 300 × 300 × 11 × 17 dapat dipakai.

### b.J Outrigger

Pada kontrol profil outrigger dipilih berdasarkan gaya terbesar yang terjadi. Outrigger direncanakan menggunakan profil WF 300 × 200 × 9 × 14 dengan panjang 447,2 cm.

$$\begin{aligned} W &= 65,4 \text{ kg/m} & r &= 18 \text{ mm} & h_w &= 298 - 2(14+18) \\ A &= 83,36 \text{ cm}^2 & Z_x &= 963 \text{ cm}^3 & &= 234 \text{ mm} \\ t_w &= 9 \text{ mm} & i_y &= 4,77 \text{ cm} & b_f &= 201 \text{ mm} \\ t_f &= 14 \text{ mm} & I_x &= 13300 \text{ cm}^4 & B_J &= 41 \\ d &= 298 \text{ mm} & I_y &= 1900 \text{ cm}^4 & f_y &= 250 \text{ Mpa} \\ R_y &= 1,5 \end{aligned}$$

Dari analisis SAP 2000, didapatkan gaya dalam dan terjadi :

$$P_u = 113091,3 \text{ kgm}$$

$$\left. \begin{aligned} \lambda_{\max} &= \frac{kL}{r_y} = \frac{1 \times 447,2}{4,77} = 93,76 \\ \lambda_R &= \frac{1900}{\sqrt{f_y}} = \frac{1900}{\sqrt{250}} = 120,2 \end{aligned} \right\}$$

$$\lambda_{\max} = 93,76 < \lambda_R = 120,2 \dots \text{OKE}$$

$$\lambda_R = \lambda_y = 120,2$$

$$\lambda_c = \frac{\lambda}{\pi} \sqrt{\frac{f_y}{E}} = \frac{120,2}{\pi} \sqrt{\frac{250}{2 \times 10^5}} = 1,35 > 1,2$$

$$\lambda_c > 1,2 \rightarrow \omega = 1,25 \lambda_c^2 = 1,25 \times 1,35^2 = 2,286$$

Bracing tarik:

$$P_{\max} = R_y F_y A_g = 1,5 \times 2500 \times 83,36 = 312600 \text{ kg}$$

$$\phi P_{\max} = 0,9 \times 312600 = 281340 \text{ kg} > 113091,3 \text{ kg} \dots \text{OK}$$

Bracing tekan:

$$P_{\max} = 1,1 R_y A_g F_{cr} = 1,1 \times 1,5 \times 83,36 \times 2500 / 2,286 = 150419,9 \text{ kg}$$

$$\phi P_{\max} = 0,85 \times 150419,9 = 127856,96 \text{ kg} > 113091,3 \text{ kg} \dots \text{OK}$$

Maka outrigger dengan profil WF 300 × 200 × 9 × 14 dapat dipakai.

## BAB VII

### PERENCANAAN SAMBUNGAN

#### 7.1 Sambungan Balok Anak dengan Balok Induk

Sambungan balok induk dengan balok anak merupakan sambungan sendi. Sambungan tersebut didesain hanya untuk menerima beban geser dari balok anak.

Dari perhitungan sebelumnya didapatkan gaya geser yang bekerja pada balok anak sebesar  $V_u = 3372,02 \text{ kg}$ . Sambungan ini direncanakan dengan profil siku  $60 \times 60 \times 6$

##### 1)J Sambungan siku dengan balok anak

Direncanakan :

$$\text{Øbaut} = 16 \text{ mm } (A_b = 2,011 \text{ cm}^2)$$

$$\text{Mutu baut A325 } (f_u = 8250 \text{ kg/cm}^2)$$

$$\text{Ultr tidak pada bidang geser } (r_1 = 0.5)$$

##### a)J Kuat geser baut

$$\begin{aligned}\text{Ø.Vn} &= \text{Ø} \times r_1 \times f_u \times m \times A_b \\ &= 0,75 \times 0,5 \times 8250 \times 2 \times 2,011 \\ &= 12440,71 \text{ kg}\end{aligned}$$

##### b)J Kuat tumpu baut

$$\begin{aligned}\text{Ø.Rn} &= \text{Ø} \times 2,4 \times d_b \times t_p \times f_u \\ &= 0,75 \times 2,4 \times 1,6 \times 0,6 \times 4100 \\ &= 7084,8 \text{ kg } (\text{menentukan}) \\ n &= \frac{3372,02}{7084,8} = 0,48, \text{ dipasang 2 buah}\end{aligned}$$

Kontrol kuat baut,

$$n.\text{Ø.Rn} \geq V_u$$

$$2 \times 7084,8 \geq 3372,02 \text{ kg}$$

$$14169,6 \text{ kg} \geq 3372,02 \text{ (OK)}$$

c) J Kontrol jarak baut :

$$\begin{aligned} \text{Jarak tepi(S1)} &= 1,5\text{db s/d } (4\text{tp} + 100) \text{ atau } 200 \text{ mm} \\ &= 24 \text{ mm s/d } 124 \text{ mm atau } 200 \text{ mm} \end{aligned}$$

$$\text{Pakai S1} = 25 \text{ mm}$$

$$\begin{aligned} (\text{S2}) &= 1,25 \text{ db s/d } 12\text{tp} \text{ atau } 150 \text{ mm} \\ &= 20 \text{ mm s/d } 72 \text{ mm atau } 150 \text{ mm} \end{aligned}$$

$$\text{Pakai S2} = 25 \text{ mm}$$

$$\begin{aligned} \text{Jarak baut (S)} &= 3\text{db s/d } 15\text{tp} \text{ atau } 200 \text{ mm} \\ &= 48 \text{ mm s/d } 90 \text{ mm atau } 200 \text{ mm} \end{aligned}$$

$$\text{Pakai S} = 50 \text{ mm}$$

2) J Sambungan balok induk dengan siku

Direncanakan :

$$\varnothing \text{baut} = 16 \text{ mm } (A_b = 2,011 \text{ cm}^2)$$

$$\text{Mutu baut A325 } (f_u = 8250 \text{ kg/cm}^2)$$

Ulir tidak pada bidang geser ( $r_1 = 0.5$ )

a) J Kuat geser baut

$$\begin{aligned} \varnothing \cdot V_n &= \varnothing \times r_1 \times f_u \times m \times A_b \\ &= 0,75 \times 0,5 \times 8250 \times 2 \times 2,011 \\ &= 6220,35 \text{ kg } (\text{menentukan}) \end{aligned}$$

b) J Kuat tumpu baut

$$\begin{aligned} \varnothing \cdot R_n &= \varnothing \times 2,4 \times d_b \times t_p \times f_u \\ &= 0,75 \times 2,4 \times 1,6 \times 0,6 \times 4100 \\ &= 7084,8 \text{ kg} \end{aligned}$$

$$n = \frac{3372,02}{6220,35} = 0,54, \text{ dipasang 2 buah}$$

Kontrol kuat baut,

$$n \cdot \varnothing \cdot R_n \geq V_u$$

$$2 \times 6220,35 \geq 3372,02 \text{ kg}$$

$$12440,71 \text{ kg} \geq 3372,02 \text{ kg } (\text{OK})$$

c)J Kontrol jarak baut :

Jarak tepi(S1)	= 1,5db s/d (4tp + 100) atau 200 mm = 24 mm s/d 124 mm atau 200 mm
Pakai S1	= 25 mm
(S2)	= 1,25 db s/d 12tp atau 150 mm = 20 mm s/d 72 mm atau 150 mm
Pakai S2	= 25 mm
Jarak baut (S)	= 3db s/d 15tp atau 200 mm = 48 mm s/d 90 mm atau 200 mm
Pakai S	= 50 mm

3)J Kontrol kekuatan pelat siku

$$\text{Diameter perlemahan (dengan bor)} = 1,5$$

$$d_1 = 16 + 1,5 = 17,5 \text{ mm} = 1,75 \text{ cm}$$

$$L = 2 \times S_1 + S = 2 \times 25 + 50 = 100 \text{ mm} = 10 \text{ cm}$$

a)J Luasbidanggeser

$$\begin{aligned} Anv &= L_{nv} \times t_L \\ &= (L - n \times d_1) \times t_{siku} \\ &= (10 - 2 \times 1,75) \times 0,6 \\ &= 3,9 \text{ cm}^2 \end{aligned}$$

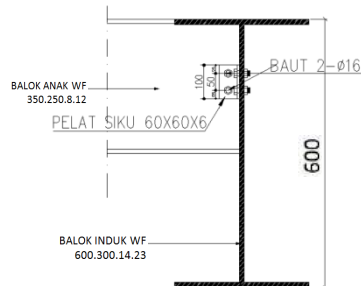
b)J Kuat rencana (karena ada 2 siku)

$$\begin{aligned} 2\emptyset V_n &= 2 \times \emptyset \times (0,6 \times f_u \times Anv) \\ &= 2 \times 0,75 \times (0,6 \times 4100 \times 3,9) \\ &= 14391 \text{ kg} \end{aligned}$$

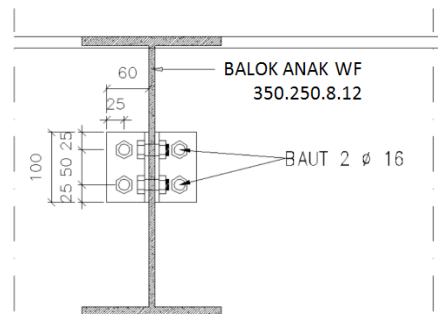
Kontrol kekuatan plat siku,

$$2\emptyset V_n \geq V_u$$

$$14391 \text{ kg} > 3372,02 \text{ kg (OK)}$$



Gambar 7.1 Sambungan Balok Induk dan Balok Anak (A)



Gambar 7.2 Sambungan Balok Induk dan Balok Anak (B)

## 7.2 Sambungan Antara Balok Induk dengan Kolom

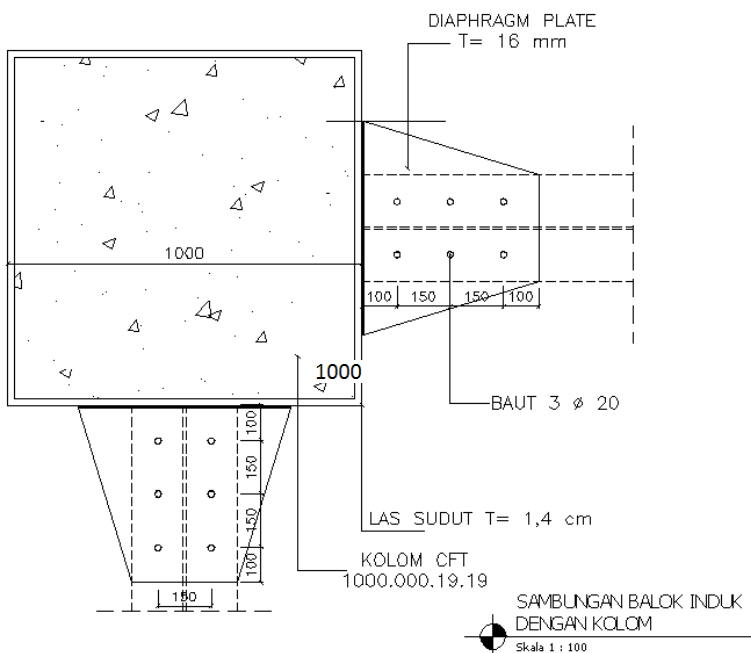
Profil balok induk menggunakan IWF 600 x 300 x 14 x 23 dan kolom dengan profil CFT 1000 x 1000 x 19 x 19 sambungan akan di desain dengan sambungan penahan moment. Sambungan akan direncanakan dengan menggunakan *diaphragm plate*, dimana sambungan memikul beban geser  $P_u$  dan momen  $M_u$ . Penerimaan beban dianggap sebagai berikut :

- J Beban  $P_u$  diteruskan oleh sambungan pada badan secara tegak lurus ke kolom

- J Beban momen Mu diteruskan oleh sayap balok dengan *diaphragm plate* baja yang dilas tumpul dengan penetrasi penuh ke kolom

$$Mu = 93410,10 \text{ kg.m}$$

$$Vu = 23233,90 \text{ kg}$$



Gambar 7.3 Tampak Atas Sambungan antara Balok Induk dengan Kolom

- J Sambungan geser pada badan balok

Kuat geser baut

Pada bidang geser baut tidak ada ulir ( $r_1 = 0,5$ )

Mutu profil BJ41 ( $f_u = 4100 \text{ kg/cm}^2$ )

Baut tipe tumpu baut 20 mm ( $A_g = 3,14 \text{ cm}^2$ )

Mutu baut BJ50 ( $f_u = 5000 \text{ kg/cm}^2$ )

$$\Phi \cdot V_n = \Phi \cdot (r_1 f_{ub}) \cdot m \cdot A_b$$

$$= 0,75 \cdot (0,5 \cdot 5000) \cdot 1 \cdot 3,14$$

$$= 5890,49 \text{ (menentukan !)}$$

Kuat tumpu baut

$$\Phi \cdot R_n = \Phi \cdot 2,4 \cdot d_b \cdot t_p \cdot f_u$$

$$= 0,75 \cdot 2,4 \cdot 2 \cdot 1,4 \cdot 4100$$

$$= 20664 \text{ kg}$$

$$n = \frac{V_u}{\varphi V_n} = \frac{23233,90}{5890,49} = 4,04 \text{ dipasang 6 buah}$$

Kontrol jarak baut :

$$\text{Jarak tepi (S1)} = 1,5db \text{ s/d } (4tp + 100) \text{ atau } 200 \text{ mm}$$

$$= 30 \text{ mm s/d } 200 \text{ mm}$$

$$\text{Pakai S1} = 40 \text{ mm}$$

$$(S2) = 1,25 \text{ db s/d } 12tp \text{ atau } 150 \text{ mm}$$

$$= 25 \text{ mm s/d } 150 \text{ mm}$$

$$\text{Pakai S2} = 35 \text{ mm}$$

$$\text{Jarak baut : (S)} = 3db \text{ s/d } 15tp \text{ atau } 200 \text{ mm}$$

$$= 60 \text{ mm s/d } 200 \text{ mm}$$

$$\text{Pakai S} = 80 \text{ mm}$$

## 2) J Sambungan geser pada kolom

Direncanakan dengan single plate dengan las sudut dengan tebal plat 12 mm dengan panjang 200 mm

$$A_{las} = 2x 20 = 40 \text{ cm}^2$$

$$S = 2 \left( \frac{d^2}{3} \right) = 2x \frac{20^2}{3} = 266,67 \text{ cm}^3$$

$$P_u = 23233,90 \text{ kg}$$

$$M_u = 8 \times 23233,90 = 185871,2 \text{ kg.cm}$$

Akibat  $P_u$  :

$$f_{vpl} = \frac{23233,9}{40} = 580,85 \text{ kg/cm}^2$$

Akibat Mu :

$$f_{hm} = \frac{185871,2}{266,67} = 697,02 \text{ kg/cm}^2$$

$$f_{total} = \sqrt{580,85^2 + 697,02^2} = 907,31 \text{ kg/cm}^2$$

$$te = \frac{f_{total}}{fu \text{ las}} = \frac{907,31}{2214,45} = 0,41 \text{ cm}$$

$$a = \frac{te}{0,707} = \frac{0,41}{0,707} = 0,58 \text{ cm}$$

Syarat – syarat tebal kaki las

Tebal minimum =  $t_{plat} = 30 \text{ mm}$

$$a_{effmax} = \frac{0,6 \times fu \times t}{2 \times 0,707 \times 0,6 \times f_{E70xx}} = \frac{0,6 \times 4100 \times 12}{2 \times 0,707 \times 0,6 \times 70 \times 70,3}$$

$$a_{effmax} = 7,1 \text{ mm}$$

Sehingga dipakai las dengan  $a_{min} = 6 \text{ mm}$

### 3)J Kontrol plat penyambung

Direncanakan menggunakan *single plate* 200 x 12, BJ 41 dengan  $fu = 4100 \text{ kg/cm}^2$ .

$$\begin{aligned} \text{Ølubang} &= 20 \text{ mm} + 1,5 \text{ mm} \text{ (lubang dibuat dengan bor)} \\ &= 21,5 \text{ mm} \end{aligned}$$

$$\begin{aligned} \text{Anv} &= L_{nv} \cdot t \\ &= (L - n \cdot \text{Ølubang}) \cdot t \\ &= (40 - 4 \cdot 2,15) \cdot 1,2 \\ &= 37,68 \text{ cm}^2 \end{aligned}$$

$$\begin{aligned} \Phi P_n &= \Phi \cdot (0,6 \cdot fu \cdot Anv) \\ &= 0,9 \cdot 0,6 \cdot 4100 \cdot 37,68 \\ &= 83423,52 \text{ kg} > 23233,90 \text{ kg (Ok)} \end{aligned}$$

### 4)J Sambungan pada *diaphragm plate* dengan kolom

Direncanakan menggunakan sambungan las tumpul penetrasi penuh tebal 1,6 cm dan tebal *diaphragm plate* 16 mm dengan BJ 41,

Akibat gaya Mu, *diaphragm plate* akan mendapat gaya tarik sebesar:

$$T = \frac{Mu}{d_{balok}}$$

$$T = \frac{93410,1}{60} = 1556,84$$

Kekuatan rencana las tumpul penetrasi penuh

$$\phi R_n = 0,9 \times t_e \times f_y$$

$$\phi R_n = 0,9 \times 1,6 \times 2500 = 3600 \text{ kg/cm}^2$$

Luas las tumpul

$$A_{las} = 1,6 \cdot (70) = 112 \text{ cm}^2$$

Tegangan yang terjadi akibat beban tarik

$$f_{total} = \frac{1556,84}{112} = 13,90 \text{ kg/cm}^2$$

$$f_{total} < \phi R_n \quad 13,90 \text{ kg/cm}^2 < 3600 \text{ (OK)}$$

- 5)J Sambungan pada *diaphragm plate* dengan sayap balok

Kontrol Kekuatan Baut

Kuat geser baut

Pada bidang geser baut tidak ada ulir ( $r_1 = 0,5$ )

Mutu profil BJ41 ( $f_u = 4100 \text{ Kg/cm}^2$ )

Baut tipe tumpu Øbaut 20 mm ( $A_g = 3,14 \text{ cm}^2$ )

Mutu baut BJ50 ( $f_u = 5000 \text{ kg/cm}^2$ )

$$\Phi \cdot V_n = \Phi \cdot (r_1 f_{ub}) \cdot m \cdot A_b$$

$$= 0,75 \cdot (0,5 \cdot 5000) \cdot 1 \cdot 3,14$$

$$= 5890,49 \text{ kg (menentukan !)}$$

Kuat tumpu baut

$$\Phi \cdot R_n = \Phi \cdot 2,4 \cdot d_b \cdot t_p \cdot f_u$$

$$= 0,75 \cdot 2,4 \cdot 2 \cdot 2,3 \cdot 4100$$

$$= 33948 \text{ kg}$$

$$\frac{T}{\phi V_n} = \frac{23233,9}{5890,49} = 4,04$$

dipakai 6 baut dipasang 3 buah 2 sisi

Kontrol jarak baut :

$$\begin{aligned} \text{Jarak tepi (S1)} &= 1,5db \text{ s/d } (4tp + 100) \text{ atau } 200 \text{ mm} \\ &= 30 \text{ mm s/d } 200 \text{ mm} \end{aligned}$$

Pakai S1 (S2)	= 100 mm = 1,25 db s/d 12tp atau 150 mm = 25 mm s/d 150 mm
Pakai S2	= 75 mm
Jarak baut (S)	= 3db s/d 15tp atau 200 mm = 60mm s/d 200 mm
Pakai S	= 150 mm

6) JKekuatan *diaphragm plate*

Dipakai baut Ø20mm, BJ41 dengan

$$f_y = 2500 \text{ Kg/cm}^2$$

$$f_u = 4100 \text{ Kg/cm}^2$$

$$A_g = w \cdot t_w$$

$$= 30 \cdot 1,4 \text{ cm}$$

$$= 42 \text{ cm}^2$$

$$A_n = A_g - A_{\text{perlemahan}}$$

$$= 42 - (2 \cdot 2,15 \cdot 2,3)$$

$$= 32,11 \text{ cm}^2$$

Terhadap leleh

$$T \leq 0,9 \cdot A_g \cdot f_y$$

$$1556,84 \text{ kg} \leq 0,9 \cdot 42 \cdot 2500$$

$$1556,84 \text{ kg} \leq 94500 \text{ kg} \quad (\text{OK})$$

Terhadap patah

$$T \leq 0,9 \cdot A_n \cdot f_u$$

$$1556,84 \text{ kg} \leq 0,9 \cdot 32,11 \cdot 4100$$

$$1556,84 \text{ kg} \leq 118485,9 \text{ kg} \quad (\text{OK})$$

### 7.3 Sambungan Kolom-Kolom

Sambungan kolom dengan kolom direncanakan pada lantai 2 pada posisi dinding geser (*SPSW*) menggunakan las penetrasi penuh dengan mutu  $F_{el100XX}$ . Gaya-gaya yang bekerja pada sambungan adalah akibat dari beban mati dan beban seismik

akibat komponen vertikal. Sambungan ditempatkan pada posisi tengah dari ketinggian lantai.

1)J Gaya aksial pada sambungan

$$P_u = 667875,42 \text{ kg (Dari SAP)}$$

2)JMomen pada sambungan

$$\begin{aligned} M_u &= M_{VBE(web)} + M_{VBE(HBE)} \\ &= 392517,12 + 586685,36 \\ &= 979202,48 \text{ kgm} \end{aligned}$$

3)JGaya geser pada sambungan

$$\begin{aligned} V_{VBE(HBE)} &= \sum_2^1 \left( \frac{M_{pc}}{h_c} \right) \\ &= \frac{1}{2} \frac{(586685,36 + 979202,48)}{400} \\ &= 1957,36 \text{ kg} \end{aligned}$$

4)J Sambungan las pada kolom

Kontrol las pada daerah yang diarsir pada profil kolom HSS  $1000 \times 1000 \times 19 \times 19$ .

Kontrol tegangan las akibat  $P_u$  dan  $M_u$ :

$$\begin{aligned} T_u &= \frac{M_u}{d_c} \pm P_u \\ &= \frac{979202,48}{100} \pm 667875,42 \end{aligned}$$

(+) =  $677667,44 \text{ kg}$  **menentukan**

(-) =  $658083,40 \text{ kg}$

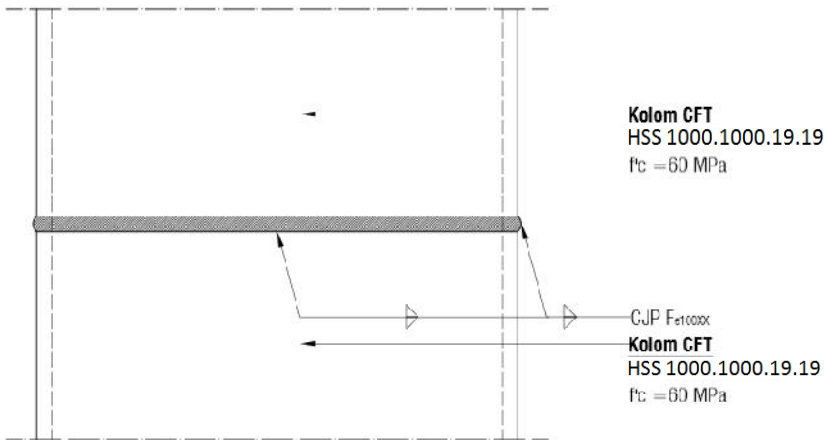
Kekuatan las tumpul penetrasi penuh :

$$\begin{aligned} F_{nw} &= f_u &= 4100 \text{ kg/cm}^2 \\ \varphi R_{nh} & &= 0.75 F_{nw} A_{we} \\ & &= 0.75 \times 4100 \times (1,9 \times 320) \\ & &= 1869600 \text{ kg} \end{aligned}$$

$$\left( \frac{V_u}{\varphi R_n} \right)^2 + \left( \frac{T_u}{\varphi R_n} \right)^2 \leq 1.0$$

$$\left(\frac{1957,36}{1869600}\right)^2 + \left(\frac{677667,44}{1869600}\right)^2 = 0,131 \leq 1 \dots\dots OK$$

Maka sambungan menggunakan las penetrasi penuh dengan mutu F<sub>e100XX</sub> dapat digunakan pada sambungan kolom ke kolom.



Gambar 7.4 Sambungan Kolom dengan Kolom

#### 7.4 Sambungan Pada Batang Bracing dengan Balok-Kolom

Sesuai peraturan SNI 03 – 1729 – 2002 butir 15.13.6.4 mengenai kuat perlu sambungan batang bresing ke balok, harus ditentukan lebih besar atau sama dengan kuat nominal batang bresing yaitu 1,25. Ry.Vn.

$$V_u = 1,25 \times R_y \times V_n$$

V<sub>n</sub> = Kuat geser nominal link, diambil yang terkecil dari V<sub>p</sub> atau 2Mp/e

$$\begin{aligned} V_p &= 0,6 \cdot f_y \cdot (d - 2 \cdot t_f) \cdot t_w \\ &= 0,6 \cdot 2500 \cdot (30,4 - 2 \cdot 1,7) \cdot 1,1 = 44550 \text{ kg (menentukan)} \end{aligned}$$

$$2 \cdot M_p / e = 2 \cdot 3339377,10 / 100 = 66787,542 \text{ kg}$$

$$\begin{aligned} V_u &= 1,25 \cdot R_y \cdot V_n \\ &= 1,25 \cdot 1,5 \cdot 23233,9 \\ &= 43563,56 \text{ kg} \end{aligned}$$

a.J Kuat geser baut

Pada bidang geser baut tidak ada ulir ( $r_1 = 0,5$ )

Mutu profil BJ41 ( $f_u = 4100 \text{ kg/cm}^2$ )

Baut tipe tumpu baut 12 mm ( $A_b = 1,131 \text{ cm}^2$ )

Mutu baut A325 ( $f_u = 8250 \text{ kg/cm}^2$ )

Tebal plat buhul = 17 mm

$$\Phi \cdot V_n = \Phi \cdot (r_1 f_{ub}) \cdot m \cdot A_b$$

$$= 0,75 \cdot (0,5 \cdot 8250) \cdot 2 \cdot 1,31$$

$$= 8105,625 \text{ kg (menentukan !)}$$

Kuat tumpu baut

$$\Phi \cdot R_n = \Phi \cdot 2,4 \cdot d_b \cdot t_p \cdot f_u$$

$$= 0,75 \cdot 2,4 \cdot 1,2 \cdot 1,7 \cdot 4100$$

$$= 15055,2 \text{ kg}$$

$$n = \frac{V_u}{\varphi V_n} = \frac{73125}{8105,625} = 9,02 \approx 10 \text{ buah}$$

b.J Kontrol jarak baut

Jarak ke tepi = 1,5 db s.d (4tp+100 mm) atau 200 mm

$$= 18 \text{ mm s.d. } 168 \text{ mm} \rightarrow 25 \text{ mm}$$

Jarak antar baut = 3 db s.d 15 tp atau 200 mm

$$= 36 \text{ mm s.d. } 255 \text{ mm} \rightarrow 50 \text{ mm}$$

c.J Sambungan las sudut pada plat buhul

Bahan las sudut yang digunakan adalah E<sub>70xx</sub>

Tebal efektif las sudut rencana  $t_e = 1 \text{ cm}$

Kuat nominal las sudut

$$\varnothing \cdot R_{nw} = 0,75 \cdot t_e \cdot (0,6 \cdot f_{uw})$$

$$= 0,75 \cdot 1 \cdot 0,6 \cdot 70 \cdot 70,3$$

$$= 2214,45 \text{ kg/cm}^2$$

Luas las sudut

$$A_{las} = 2 \cdot (d+b)$$

$$= 2 \cdot (30+30) = 120 \text{ cm}^2$$

Tegangan yang terjadi pada las sudut

$$L = 500 \text{ cm}$$

$$h = 400 \text{ cm}$$

$$b = 300 \text{ cm}$$

$$\cos \phi = 3/5 = 1$$

$$\sin \phi = 4/5 = 1$$

$$\cos \phi \cdot Vu = 1 \times 43563,56 = 43563,56 \text{ kg}$$

$$\sin \phi \cdot Vu = 1 \times 43563,56 = 43563,56 \text{ kg}$$

$$f_h = \frac{43563,56}{120} = 363,03 \text{ kg/cm}^2$$

$$f_v = \frac{43563,56}{120} = 363,03 \text{ kg/cm}^2$$

$$\begin{aligned} f_{total} &= \sqrt{\left(\sum f_v\right)^2 + \left(\sum f_h\right)^2} \\ &= \sqrt{(363,03)^2 + (363,03)^2} \\ &= 513,4 \text{ kg/cm}^2 \end{aligned}$$

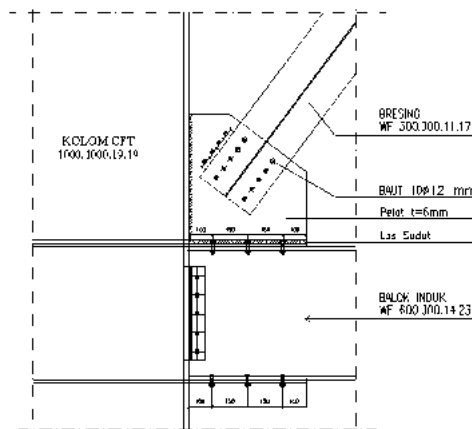
Tebal efektif las sudut

$$t_e = \frac{f_{total}}{\emptyset \cdot R_{nw}} = \frac{513,4}{2214,45} = 0,23 \text{ cm}$$

Maka digunakan tebal las sudut 9 mm

$$a = \frac{t_e}{0,707} = \frac{0,23}{0,707} = 0,33 \text{ cm} > a \text{ min}$$

Digunakan ketebalan las sudut sebesar 12 mm



Gambar 7.5 Sambungan Bracing dengan Balok Utama dan Kolom

## 7.5 Sambungan Bracing dengan Balok Induk

$$V_u = 28145 \text{ kg}$$

Sambungan ini direncanakan dengan profil siku  $60 \times 60 \times 6$

### 1)J Sambungan plat pada bresing

Direncanakan :

$$\text{Øbaut} = 16 \text{ mm } (A_b = 2,011 \text{ cm}^2)$$

$$\text{Mutu baut A325 } (f_u = 8250 \text{ kg/cm}^2)$$

Ulir tidak pada bidang geser ( $r_1 = 0.5$ )

#### a)J Kuat geser baut

$$\begin{aligned} \text{Ø.Vn} &= \text{Ø} \times r_1 \times f_u \times m \times A_b \\ &= 0,75 \times 0,5 \times 8250 \times 2 \times 2,011 \\ &= 12440,71 \text{ kg} \end{aligned}$$

#### b)J Kuat tumpu baut

$$\begin{aligned} \text{Ø.Rn} &= \text{Ø} \times 2,4 \times d_b \times t_p \times f_u \\ &= 0,75 \times 2,4 \times 1,6 \times 0,6 \times 4100 \\ &= 7084,8 \text{ kg (menentukan)} \end{aligned}$$

$$n = \frac{28145}{7084,8} = 3,9, \text{ dipasang } 4 \text{ buah}$$

Kontrol kuat baut,

$$n.\bar{\Omega}.R_n \geq V_u$$

$$4 \times 7084,8 \geq 28145 \text{ kg}$$

$$28339,2 \text{ kg} \geq 28145 \text{ (OK)}$$

c)J Kontrol jarak baut :

$$\begin{aligned} \text{Jarak tepi (S1)} &= 1,5 \text{ db s/d } (4\text{tp} + 100) \text{ atau } 200 \text{ mm} \\ &= 24 \text{ mm s/d } 124 \text{ mm atau } 200 \text{ mm} \end{aligned}$$

$$\begin{aligned} \text{Pakai S1} &= 25 \text{ mm} \end{aligned}$$

$$\begin{aligned} (\text{S2}) &= 1,25 \text{ db s/d } 12\text{tp} \text{ atau } 150 \text{ mm} \\ &= 20 \text{ mm s/d } 72 \text{ mm atau } 150 \text{ mm} \end{aligned}$$

$$\begin{aligned} \text{Pakai S2} &= 25 \text{ mm} \end{aligned}$$

$$\begin{aligned} \text{Jarak baut (S)} &= 3 \text{ db s/d } 15\text{tp} \text{ atau } 200 \text{ mm} \\ &= 48 \text{ mm s/d } 90 \text{ mm atau } 200 \text{ mm} \end{aligned}$$

$$\begin{aligned} \text{Pakai S} &= 50 \text{ mm} \end{aligned}$$

2)JSambungan balok induk dengan siku

Direncanakan :

$$\bar{\Omega}_{\text{baut}} = 16 \text{ mm } (A_b = 2,011 \text{ cm}^2)$$

$$\text{Mutu baut A325 } (f_u = 8250 \text{ kg/cm}^2)$$

$$\text{Ultr tidak pada bidang geser } (r_1 = 0,5)$$

a)J Kuat geser baut

$$\begin{aligned} \bar{\Omega}.V_n &= \bar{\Omega} \times r_1 \times f_u \times m \times A_b \\ &= 0,75 \times 0,5 \times 8250 \times 2 \times 2,011 \\ &= 6220,35 \text{ kg (menentukan)} \end{aligned}$$

b)J Kuat tumpu baut

$$\begin{aligned} \bar{\Omega}.R_n &= \bar{\Omega} \times 2,4 \times d_b \times t_p \times f_u \\ &= 0,75 \times 2,4 \times 1,6 \times 0,6 \times 4100 \\ &= 7084,8 \text{ kg} \end{aligned}$$

$$n = \frac{28145}{6220,35} = 4,52, \text{ dipasang } 5 \text{ buah}$$

Kontrol kuat baut,

$$n \cdot \bar{\varnothing} \cdot R_n \geq V_u$$

$$5 \times 6220,35 \geq 28145 \text{ kg}$$

$$31101,77 \text{ kg} \geq 28145 \text{ kg (OK)}$$

c)J Kontrol jarak baut :

$$\begin{aligned} \text{Jarak tepi (S1)} &= 1,5 \text{ db s/d (4tp + 100) atau } 200 \text{ mm} \\ &= 24 \text{ mm s/d } 124 \text{ mm atau } 200 \text{ mm} \end{aligned}$$

$$\begin{aligned} \text{Pakai S1} &= 50 \text{ mm} \end{aligned}$$

$$\begin{aligned} (\text{S2}) &= 1,25 \text{ db s/d } 12\text{tp atau } 150 \text{ mm} \\ &= 20 \text{ mm s/d } 72 \text{ mm atau } 150 \text{ mm} \end{aligned}$$

$$\begin{aligned} \text{Pakai S2} &= 50 \text{ mm} \end{aligned}$$

$$\begin{aligned} \text{Jarak baut (S)} &= 3 \text{ db s/d } 15\text{tp atau } 200 \text{ mm} \\ &= 48 \text{ mm s/d } 90 \text{ mm atau } 200 \text{ mm} \end{aligned}$$

$$\begin{aligned} \text{Pakai S} &= 200 \text{ mm} \end{aligned}$$

3)J Kontrol kekuatan pelat siku

$$\text{Diameter perlemahan (dengan bor)} = 1,5$$

$$d_1 = 16 + 1,5 = 17,5 \text{ mm} = 1,75 \text{ cm}$$

$$L = 2 \times S1 + S = 2 \times 50 + 200 = 300 \text{ mm} = 30 \text{ cm}$$

a)J Luas bidang geser

$$\begin{aligned} Anv &= L_{nv} \times t_L \\ &= (L - n \times d_1) \times t_{siku} \\ &= (30 - 5 \times 1,75) \times 0,6 \\ &= 12,75 \text{ cm}^2 \end{aligned}$$

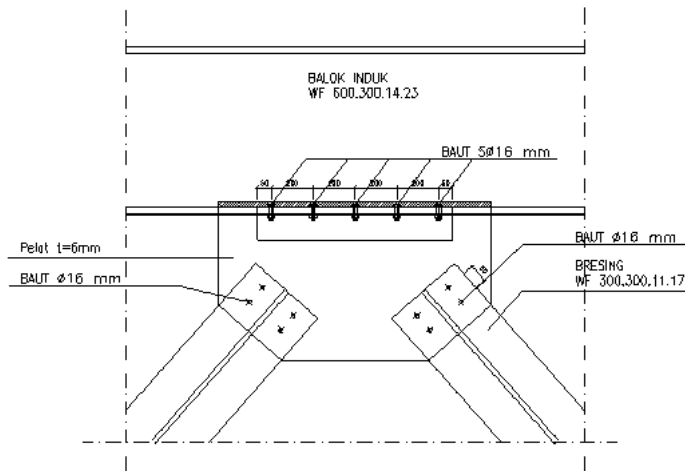
b)J Kuat rencana (karena ada 2 siku)

$$\begin{aligned} 2\bar{\varnothing}V_n &= 2 \times \bar{\varnothing} \times (0,6 \times f_u \times Anv) \\ &= 2 \times 0,75 \times (0,6 \times 4100 \times 12,75) \\ &= 47047,5 \text{ kg} \end{aligned}$$

Kontrol kekuatan plat siku,

$$2\bar{\varnothing}V_n \geq V_u$$

$$47047,5 \text{ kg} > 28145 \text{ kg (OK)}$$



Gambar 7.6 Sambungan Bracing dengan Balok Utama

## 7.6 Sambungan Outrigger dengan Balok Induk

Dari SAP 2000 didapatkan  $V_u = 8363,30 \text{ kg}$ .  
Sambungan ini direncanakan dengan profil siku  $60 \times 60 \times 6$

### 1) J Sambungan plat pada outrigger

Direncanakan :

$$\text{Øbaut} = 16 \text{ mm } (A_b = 2,011 \text{ cm}^2)$$

$$\text{Mutu baut A325 } (f_u = 8250 \text{ kg/cm}^2)$$

Ultrir tidak pada bidang geser ( $r_1 = 0.5$ )

#### a) J Kuat geser baut

$$\begin{aligned} \text{Ø.Vn} &= \text{Ø} \times r_1 \times f_u \times m \times A_b \\ &= 0,75 \times 0,5 \times 8250 \times 2 \times 2,011 \\ &= 12440,71 \text{ kg} \end{aligned}$$

#### b) J Kuat tumpu baut

$$\begin{aligned} \text{Ø.Rn} &= \text{Ø} \times 2,4 \times d_b \times t_p \times f_u \\ &= 0,75 \times 2,4 \times 1,6 \times 0,6 \times 4100 \end{aligned}$$

$$= 7084,8 \text{ kg (menentukan)}$$

$$n = \frac{8363,30}{7084,8} = 1,18, \text{ dipasang 4 buah}$$

Kontrol kuat baut,  
 $n.\bar{\phi}.R_n \geq V_u$   
 $2 \times 7084,8 \geq 8363,30 \text{ kg}$   
 $14169,6 \text{ kg} \geq 8363,30 \text{ (OK)}$

## c)J Kontrol jarak baut :

$$\begin{aligned} \text{Jarak tepi(S1)} &= 1,5 \text{ db s/d } (4\text{tp} + 100) \text{ atau } 200 \text{ mm} \\ &= 24 \text{ mm s/d } 124 \text{ mm atau } 200 \text{ mm} \end{aligned}$$

$$\begin{aligned} \text{Pakai S1} &= 25 \text{ mm} \\ (\text{S2}) &= 1,25 \text{ db s/d } 12\text{tp} \text{ atau } 150 \text{ mm} \\ &= 20 \text{ mm s/d } 72 \text{ mm atau } 150 \text{ mm} \end{aligned}$$

$$\text{Pakai S2} = 25 \text{ mm}$$

$$\begin{aligned} \text{Jarak baut (S)} &= 3 \text{ db s/d } 15\text{tp} \text{ atau } 200 \text{ mm} \\ &= 48 \text{ mm s/d } 90 \text{ mm atau } 200 \text{ mm} \\ \text{Pakai S} &= 50 \text{ mm} \end{aligned}$$

## 2)J Sambungan balok induk dengan siku

Direncanakan :

$$\bar{\phi}_{baut} = 16 \text{ mm } (A_b = 2,011 \text{ cm}^2)$$

$$\text{Mutu baut A325 } (f_u = 8250 \text{ kg/cm}^2)$$

$$\text{Ultr tidak pada bidang geser } (r_1 = 0,5)$$

## a)J Kuat geser baut

$$\begin{aligned} \bar{\phi}.V_n &= \bar{\phi} \times r_1 \times f_u \times m \times A_b \\ &= 0,75 \times 0,5 \times 8250 \times 2 \times 2,011 \\ &= 6220,35 \text{ kg (menentukan)} \end{aligned}$$

## b)J Kuat tumpu baut

$$\begin{aligned} \bar{\phi}.R_n &= \bar{\phi} \times 2,4 \times d_b \times t_p \times f_u \\ &= 0,75 \times 2,4 \times 1,6 \times 0,6 \times 4100 \end{aligned}$$

$$= 7084,8 \text{ kg}$$

$$n = \frac{8363,30}{6220,35} = 1,35, \text{ dipasang 4 buah}$$

Kontrol kuat baut,

$$n \cdot \bar{\Omega} \cdot R_n \geq V_u$$

$$2 \times 6220,35 \geq 8363,30 \text{ kg}$$

$$12440,71 \text{ kg} \geq 8363,30 \text{ kg (OK)}$$

c)J Kontrol jarak baut :

$$\begin{aligned} \text{Jarak tepi (S1)} &= 1,5 \text{ db s/d } (4\text{tp} + 100) \text{ atau } 200 \text{ mm} \\ &= 24 \text{ mm s/d } 124 \text{ mm atau } 200 \text{ mm} \end{aligned}$$

$$\begin{aligned} \text{Pakai S1} &= 25 \text{ mm} \\ (\text{S2}) &= 1,25 \text{ db s/d } 12\text{tp} \text{ atau } 150 \text{ mm} \end{aligned}$$

$$\begin{aligned} &= 20 \text{ mm s/d } 72 \text{ mm atau } 150 \text{ mm} \\ \text{Pakai S2} &= 25 \text{ mm} \end{aligned}$$

$$\begin{aligned} \text{Jarak baut (S)} &= 3 \text{ db s/d } 15\text{tp} \text{ atau } 200 \text{ mm} \\ &= 48 \text{ mm s/d } 90 \text{ mm atau } 200 \text{ mm} \end{aligned}$$

$$\text{Pakai S} = 50 \text{ mm}$$

3)J Kontrol kekuatan pelat siku

$$\text{Diameter perlemahan (dengan bor)} = 1,5$$

$$d_1 = 16 + 1,5 = 17,5 \text{ mm} = 1,75 \text{ cm}$$

$$L = 2 \times S_1 + S = 2 \times 25 + 50 = 100 \text{ mm} = 10 \text{ cm}$$

a)J Luas bidang geser

$$\begin{aligned} \text{Anv} &= L_{nv} \times t_L \\ &= (L - n \times d_1) \times t_{siku} \\ &= (10 - 2 \times 1,75) \times 0,6 \\ &= 3,9 \text{ cm}^2 \end{aligned}$$

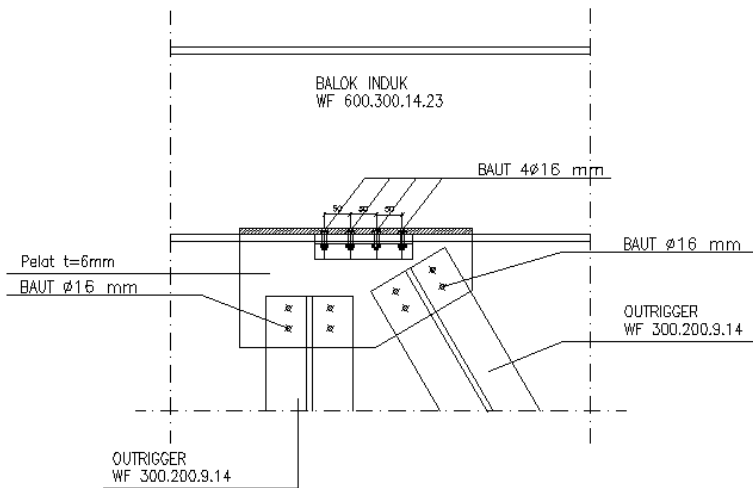
b)J Kuat rencana (karena ada 2 siku)

$$\begin{aligned} 2\bar{\Omega}V_n &= 2 \times \bar{\Omega} \times (0,6 \times f_u \times \text{Anv}) \\ &= 2 \times 0,75 \times (0,6 \times 4100 \times 3,9) \\ &= 14391 \text{ kg} \end{aligned}$$

Kontrol kekuatan plat siku,

$$2\bar{\Omega}V_n \geq V_u$$

$$14391 \text{ kg} > 8363,30 \text{ kg (OK)}$$



Gambar 7.7 Sambungan Outrigger dengan Balok Utama

## **BAB VIII**

### **PENUTUP**

#### **8.1 Kesimpulan**

Dari hasil perhitungan dan analisis yang telah dilakukan pada struktur gedung menggunakan Sistem Rangka Pemikul Momen Khusus, Sistem Rangka Bresing Konsentrik Khusus, dan Sistem rangka Pemikul Momen Khusus, Sistem Rangka Bresing Konsentrik Khusus menggunakan Outrigger dengan variasi tinggi gedung yaitu 20, 30, 40, 50, dan 60 lantai dan dimensi yang telah ditentukan, diperoleh hasil sebagai berikut:

##### **1.J Kontrol Gaya Geser Dasar ( Base Shear )**

Untuk Sistem Rangka Pemikul Momen Khusus pada zona gempa tinggi dengan profil CFT dan profil WF yang digunakan, mampu menahan gaya geser dasar ( base shear ) yang terjadi, begitu juga pada Sistem Rangka Bresing Konsentrik Khusus, dan Sistem Rangka Bresing Konsentrik Khusus menggunakan Outrigger, meski dengan dimensi profil yang lebih kecil, bangunan-bangunan tersebut mampu menahan gaya geser dasar yang terjadi.

##### **2.J Perpindahan ( Displacement )**

Perpindahan yang dihasilkan pada tiap gedung dan tiap sistem yang digunakan berbeda-beda. Secara umum nilai simpangan antar tingkat untuk Sistem Rangka Pemikul Momen Khusus lebih besar dari kedua sistem yang lain. Sedangkan untuk analisa batas ultimate, bangunan 60 lantai pada Sistem Rangka Pemikul Momen Khusus tidak memenuhi batas syarat maksimum, sedangkan untuk bangunan lantai 50,40,30,20 memenuhi syarat. Begitu pun untuk Sistem Rangka Bresing Konsentrik Khusus dan Sistem Rangka Bresing Konsentrik Khusus menggunakan Outrigger, pada semua bangunan telah

memenuhi syarat atau lebih kecil syarat maksimum yang ditentukan. Hal ini berarti dengan menggunakan kedua sistem tersebut, maka lebih kecil kemungkinan terjadi displacement yang dapat mengakibatkan keruntuhan.

- 3.J Dari analisa yang didapat, Sistem Rangka Bresing Konsentrik Khusus menggunakan Outrigger mampu menahan gaya-gaya yang ada dibandingkan dengan Sistem Rangka Bresing Konsentrik Khusus dan Sistem Rangka Pemikul Momen Khusus meski dimensi profil yang digunakan lebih kecil dari kedua sistem yang lain.

## **8.2 Saran**

Perlu dilakukan studi yang lebih mendalam untuk menghasilkan perencanaan struktur dengan mempertimbangkan aspek teknis, ekonomi, dan estetika. Sehingga diharapkan perencanaan dapat dilaksanakan mendekati kondisi sesungguhnya di lapangan dan hasil yang diperoleh sesuai dengan tujuan perencanaan yaitu kuat, ekonomis, dan tepat waktu dalam pelaksanaannya.

## Analisa Simpangan Tiap Lantai

1.J 20 Lantai

•J Arah X

Lt.	$\delta xe$			$\Delta$		
	SRPMK	SRBKK	SRBKK + Outrigger	SRPMK	SRBKK	SRBKK + Outrigger
20	12,90	9,40	6,30	0,73	1,00	0,30
19	12,70	9,10	6,20	0,73	1,00	0,60
18	12,50	8,80	6,00	1,10	1,00	0,90
17	12,20	8,50	5,70	1,10	1,33	0,90
16	11,90	8,10	5,40	1,83	1,33	0,90
15	11,40	7,70	5,10	1,83	1,67	0,90
14	10,90	7,20	4,80	1,83	1,67	1,20
13	10,40	6,70	4,40	2,57	1,67	1,20
12	9,70	6,20	4,00	2,57	1,67	1,20
11	9,00	5,70	3,60	2,93	2,00	0,90
10	8,20	5,10	3,30	2,93	2,00	0,30
9	7,40	4,50	3,20	3,30	1,67	1,20
8	6,50	4,00	2,80	3,30	2,00	1,20
7	5,60	3,40	2,40	3,67	2,00	1,20
6	4,60	2,80	2,00	3,67	2,00	1,20
5	3,60	2,20	1,60	3,30	2,00	1,20
4	2,70	1,60	1,20	3,67	2,00	1,20
3	1,70	1,00	0,80	2,93	1,67	1,20
2	0,90	0,50	0,40	2,57	1,33	0,90
1	0,20	0,10	0,10	0,73	0,33	0,30

•J Arah Y

Lt.	δxe			Δ		
	SRPMK	SRBKK	SRBK + Outrigger	SRPMK	SRBKK	SRBK + Outrigger
20	11,00	8,00	5,70	0,37	0,67	0,30
19	10,90	7,80	5,60	0,73	0,67	0,60
18	10,70	7,60	5,40	1,10	1,00	0,60
17	10,40	7,30	5,20	1,10	1,00	0,60
16	10,10	7,00	5,00	1,10	1,33	0,90
15	9,80	6,60	4,70	1,83	1,00	0,90
14	9,30	6,30	4,40	1,83	1,67	1,20
13	8,80	5,80	4,00	1,83	1,33	0,90
12	8,30	5,40	3,70	2,20	1,67	0,90
11	7,70	4,90	3,40	2,57	1,67	0,90
10	7,00	4,40	3,10	2,57	1,33	0,60
9	6,30	4,00	2,90	2,57	1,67	0,90
8	5,60	3,50	2,60	2,93	1,67	1,20
7	4,80	3,00	2,20	2,93	1,67	1,20
6	4,00	2,50	1,80	2,93	2,00	0,90
5	3,20	1,90	1,50	3,30	1,67	1,20
4	2,30	1,40	1,10	2,57	1,67	1,20
3	1,60	0,90	0,70	2,93	1,33	0,90
2	0,80	0,50	0,40	2,20	1,33	0,90
1	0,20	0,10	0,10	0,73	0,33	0,30

2.J 30 Lantai

•J Arah X

Lt.	$\delta xe$			$\Delta$		
	SRPMK	SRBKK	SRBKK + Outrigger	SRPMK	SRBKK	SRBKK + Outrigger
30	29,40	24,20	17,10	0,73	1,33	0,30
29	29,20	23,80	17,00	1,10	1,33	0,90
28	28,90	23,40	16,70	1,10	1,67	1,20
27	28,60	22,90	16,30	1,47	1,67	1,20
26	28,20	22,40	15,90	1,83	1,67	1,50
25	27,70	21,90	15,40	2,20	2,33	1,50
24	27,10	21,20	14,90	2,57	2,00	1,80
23	26,40	20,60	14,30	2,57	2,67	1,80
22	25,70	19,80	13,70	2,93	2,33	1,80
21	24,90	19,10	13,10	3,30	2,67	2,10
20	24,00	18,30	12,40	3,67	3,00	1,80
19	23,00	17,40	11,80	4,03	2,67	2,10
18	21,90	16,60	11,10	4,03	3,00	2,10
17	20,80	15,70	10,40	4,40	3,00	1,80
16	19,60	14,80	9,80	4,40	3,33	1,80
15	18,40	13,80	9,20	4,77	3,33	0,90
14	17,10	12,80	8,90	5,13	3,33	1,80
13	15,70	11,80	8,30	4,77	3,33	2,10
12	14,40	10,80	7,60	5,13	3,67	2,40
11	13,00	9,70	6,80	5,13	3,33	2,10
10	11,60	8,70	6,10	5,13	3,67	2,40
9	10,20	7,60	5,30	5,13	3,33	2,40
8	8,80	6,60	4,50	5,13	3,67	2,10
7	7,40	5,50	3,80	4,77	3,33	2,10

6	6,10	4,50	3,10	5,13	3,33	2,10
5	4,70	3,50	2,40	4,77	3,33	2,10
4	3,40	2,50	1,70	4,40	3,00	1,80
3	2,20	1,60	1,10	4,03	2,67	1,50
2	1,10	0,80	0,60	2,93	2,00	1,20
1	0,30	0,20	0,20	1,10	0,67	0,60

•J Arah Y

Lt.	δxe			Δ		
	SRPMK	SRBKK	SRBKK + Outrigger	SRPMK	SRBKK	SRBKK + Outrigger
30	25,60	20,90	15,40	1,10	1,33	0,30
29	25,30	20,50	15,30	0,73	1,00	0,90
28	25,10	20,20	15,00	1,47	1,33	1,20
27	24,70	19,80	14,60	1,10	1,33	1,20
26	24,40	19,40	14,20	1,83	1,67	1,50
25	23,90	18,90	13,80	1,83	2,00	1,50
24	23,40	18,30	13,30	2,20	1,67	1,80
23	22,80	17,80	12,80	2,57	2,33	1,80
22	22,10	17,10	12,30	2,57	2,00	1,80
21	21,40	16,50	11,80	2,93	2,33	2,10
20	20,60	15,80	11,20	3,30	2,33	1,80
19	19,70	15,10	10,60	3,30	2,33	2,10
18	18,80	14,40	10,00	3,67	2,67	2,10
17	17,80	13,60	9,40	3,67	2,67	1,80
16	16,80	12,80	8,80	3,67	2,67	1,80
15	15,80	12,00	8,30	4,03	2,67	0,90
14	14,70	11,20	7,90	4,40	3,00	1,80
13	13,50	10,30	7,40	4,00	3,00	2,10

12	12,50	9,40	6,70	5,00	3,00	2,40
11	11,10	8,50	6,10	4,03	3,00	2,10
10	10,00	7,60	5,40	4,40	3,00	2,40
9	8,80	6,70	4,70	4,40	3,00	2,40
8	7,60	5,80	4,10	4,03	3,00	2,10
7	6,50	4,90	3,40	4,40	3,00	2,10
6	5,30	4,00	2,80	4,40	3,00	2,10
5	4,10	3,10	2,20	4,03	2,67	2,10
4	3,00	2,30	1,60	4,03	2,67	1,80
3	1,90	1,50	1,00	3,30	2,33	1,50
2	1,00	0,80	0,50	2,57	2,00	1,20
1	0,30	0,20	0,10	1,10	0,67	0,60

### 3.J 40 Lantai

•J Arah X

Lt.	δxe			Δ		
	SRPMK	SRBKK	SRBKK + Outrigger	SRPMK	SRBKK	SRBKK + Outrigger
40	52,40	45,30	43,10	1,10	1,33	0,90
39	52,10	44,90	42,80	1,47	1,67	1,50
38	51,70	44,40	42,30	1,47	2,00	1,50
37	51,30	43,80	41,80	1,83	2,00	1,80
36	50,80	43,20	41,20	2,20	2,33	2,10
35	50,20	42,50	40,50	2,57	2,67	2,10
34	49,50	41,70	39,80	2,93	2,67	2,40
33	48,70	40,90	39,00	2,93	3,00	2,70
32	47,90	40,00	38,10	3,67	3,00	3,00
31	46,90	39,10	37,10	3,67	3,00	2,70

30	45,90	38,20	36,20	4,03	3,33	3,00
29	44,80	37,20	35,20	4,40	3,67	3,30
28	43,60	36,10	34,10	4,77	3,67	3,30
27	42,30	35,00	33,00	4,77	3,67	3,30
26	41,00	33,90	31,90	5,50	4,00	3,60
25	39,50	32,70	30,70	5,13	4,33	3,60
24	38,10	31,40	29,50	5,87	4,00	3,60
23	36,50	30,20	28,30	5,87	4,67	3,90
22	34,90	28,80	27,00	5,87	4,33	3,60
21	33,30	27,50	25,80	5,87	4,67	3,00
20	31,70	26,10	24,80	6,23	5,00	3,00
19	30,00	24,60	23,80	5,87	5,00	3,30
18	28,40	23,10	22,70	6,23	5,00	3,60
17	26,70	21,60	21,50	6,23	5,00	3,90
16	25,00	20,10	20,20	6,60	5,00	4,20
15	23,20	18,60	18,80	6,60	5,33	4,20
14	21,40	17,00	17,40	6,60	5,00	4,50
13	19,60	15,50	15,90	6,60	5,33	4,20
12	17,80	13,90	14,50	6,60	5,00	4,50
11	16,00	12,40	13,00	6,60	5,00	4,50
10	14,20	10,90	11,50	6,23	4,67	4,20
9	12,50	9,50	10,10	6,60	4,67	4,50
8	10,70	8,10	8,60	6,23	4,33	4,20
7	9,00	6,80	7,20	5,87	4,33	3,90
6	7,40	5,50	5,90	6,23	4,33	4,20
5	5,70	4,20	4,50	5,87	4,00	3,60
4	4,10	3,00	3,30	5,50	3,67	3,60
3	2,60	1,90	2,10	4,77	3,00	3,00

2	1,30	1,00	1,10	3,30	2,33	2,40
1	0,40	0,30	0,30	1,47	1,00	0,90

•J Arah Y

Lt.	$\delta xe$			$\Delta$		
	SRPMK	SRBK	SRBKK + Outrigger	SRPMK	SRBK	SRBKK + Outrigger
40	46,50	39,80	38,10	1,10	1,67	0,90
39	46,20	39,30	37,80	1,47	1,67	1,50
38	45,80	38,80	37,30	1,83	1,67	1,50
37	45,30	38,30	36,80	1,83	2,00	1,80
36	44,80	37,70	36,20	2,20	2,00	1,80
35	44,20	37,10	35,60	2,57	2,33	2,10
34	43,50	36,40	34,90	2,57	2,33	2,40
33	42,80	35,70	34,10	2,93	2,67	2,40
32	42,00	34,90	33,30	3,30	2,67	2,40
31	41,10	34,10	32,50	3,30	3,00	2,70
30	40,20	33,20	31,60	4,03	3,00	2,70
29	39,10	32,30	30,70	4,03	3,00	3,00
28	38,00	31,40	29,70	4,03	3,33	2,70
27	36,90	30,40	28,80	4,40	3,33	3,00
26	35,70	29,40	27,80	4,77	3,33	3,30
25	34,40	28,40	26,70	4,77	3,67	3,30
24	33,10	27,30	25,60	5,13	3,67	3,30
23	31,70	26,20	24,50	5,13	4,00	3,30
22	30,30	25,00	23,40	5,13	3,67	3,00
21	28,90	23,90	22,40	5,50	4,33	3,00
20	27,40	22,60	21,40	5,13	4,00	2,10

19	26,00	21,40	20,70	5,50	4,33	2,70
18	24,50	20,10	19,80	5,13	4,33	3,30
17	23,10	18,80	18,70	5,50	4,33	3,30
16	21,60	17,60	17,50	5,87	4,33	3,60
15	20,00	16,40	16,20	5,50	4,67	3,90
14	18,50	15,10	14,80	5,87	4,33	3,60
13	16,90	13,90	13,50	5,50	4,33	3,90
12	15,40	12,60	12,20	5,87	4,33	3,60
11	13,80	11,40	10,90	5,50	4,33	3,90
10	12,30	10,10	9,60	5,50	4,00	3,60
9	10,80	8,90	8,40	5,50	4,33	3,90
8	9,30	7,60	7,10	5,50	3,67	3,60
7	7,80	6,40	6,00	5,13	4,00	3,60
6	6,40	5,20	4,80	5,13	3,67	3,60
5	5,00	4,00	3,70	5,13	3,33	3,30
4	3,60	2,90	2,70	4,77	3,33	3,00
3	2,30	1,90	1,70	4,03	2,67	2,70
2	1,20	1,00	0,90	3,30	2,33	2,10
1	0,30	0,20	0,30	1,10	0,67	3,30

#### 4.J 50 Lantai

•J Arah X

Lt.	$\delta xe$			$\Delta$		
	SRPMK	SRBKK	SRBKK + Outrigger	SRPMK	SRBKK	SRBKK + Outrigger
50	80,00	73,80	71,00	1,83	2,00	1,20
49	79,50	73,20	70,60	1,83	2,33	1,50
48	79,00	72,50	70,10	1,83	2,33	2,10

47	78,50	71,80	69,40	2,57	2,67	2,40
46	77,80	71,00	68,60	2,57	2,67	2,40
45	77,10	70,20	67,80	2,93	3,00	2,70
44	76,30	69,30	66,90	3,30	3,33	2,70
43	75,40	68,30	66,00	3,67	3,33	3,30
42	74,40	67,30	64,90	4,03	3,67	3,30
41	73,30	66,20	63,80	4,40	4,00	3,30
40	72,10	65,00	62,70	4,77	3,67	3,60
39	70,80	63,90	61,50	4,77	4,33	3,90
38	69,50	62,60	60,20	5,50	4,00	3,60
37	68,00	61,40	59,00	5,50	4,67	4,20
36	66,50	60,00	57,60	5,87	4,67	4,20
35	64,90	58,60	56,20	5,87	4,67	4,20
34	63,30	57,20	54,80	6,60	5,00	4,50
33	61,50	55,70	53,30	6,60	5,33	4,50
32	59,70	54,10	51,80	6,60	5,33	4,80
31	57,90	52,50	50,20	6,97	5,67	4,80
30	56,00	50,80	48,60	6,60	5,67	4,80
29	54,20	49,10	47,00	6,97	6,00	4,80
28	52,30	47,30	45,40	6,97	6,00	4,50
27	50,40	45,50	43,90	7,33	6,33	4,80
26	48,40	43,60	42,30	7,33	6,33	4,50
25	46,40	41,70	40,80	7,70	6,33	3,00
24	44,30	39,80	39,80	7,70	6,33	4,50
23	42,20	38,30	37,90	7,70	6,67	5,10
22	40,10	36,60	35,90	7,70	6,67	5,40
21	38,00	34,80	33,90	7,70	6,33	5,40
20	35,90	33,00	32,0 0	7,70	6,67	5,70

19	33,80	31,10	30,00	7,33	6,33	6,00
18	31,80	29,10	28,10	7,70	6,33	5,70
17	29,70	27,20	26,20	7,70	6,67	6,00
16	27,60	25,20	24,20	7,70	6,33	6,00
15	25,50	23,20	22,30	7,70	6,33	6,00
14	23,40	21,20	20,40	7,70	6,33	5,70
13	21,30	19,30	18,50	7,33	6,33	6,00
12	19,30	17,30	16,60	7,70	6,33	5,70
11	17,20	15,40	14,70	7,33	6,00	5,70
10	15,20	13,50	12,90	6,97	5,67	5,40
9	13,30	11,70	11,20	6,60	5,33	5,10
8	11,50	10,00	9,60	6,97	5,67	5,10
7	9,60	8,30	7,90	6,60	5,00	4,80
6	7,80	6,70	6,40	6,23	5,00	4,80
5	6,10	5,10	4,90	6,23	4,67	4,20
4	4,40	3,70	3,50	5,87	4,00	4,20
3	2,80	2,30	2,30	5,13	4,00	3,30
2	1,40	1,10	1,20	3,67	2,67	2,70
1	0,40	0,30	0,30	1,47	1,00	0,90

•J Arah Y

Lt.	$\delta xe$			$\Delta$		
	SRPMK	SRBKK	SRBKK + Outrigger	SRPMK	SRBKK	SRBKK + Outrigger
50	73,30	71,00	66,20	1,83	2,33	1,50
49	72,80	70,60	65,50	2,20	2,33	1,80
48	72,20	70,10	64,80	2,57	2,33	2,10
47	71,50	69,40	64,10	2,57	2,67	2,40

46	70,80	68,60	63,30	2,93	2,67	2,40
45	70,00	67,80	62,50	3,30	3,00	2,70
44	69,10	66,90	61,60	3,30	3,00	3,00
43	68,20	66,00	60,70	3,67	3,33	3,00
42	67,20	64,90	59,70	4,03	3,33	3,00
41	66,10	63,80	58,70	4,40	3,67	3,30
40	64,90	62,70	57,60	4,40	3,67	3,60
39	63,70	61,50	56,50	4,77	4,00	3,30
38	62,40	60,20	55,30	5,13	4,00	3,60
37	61,00	59,00	54,10	5,50	4,00	3,90
36	59,50	57,60	52,90	5,50	4,33	3,90
35	58,00	56,20	51,60	5,50	4,33	3,90
34	56,50	54,80	50,30	5,87	4,67	4,20
33	54,90	53,30	48,90	6,23	4,67	4,20
32	53,20	51,80	47,50	6,23	5,00	4,20
31	51,50	50,20	46,00	6,23	5,00	4,50
30	49,80	48,60	44,50	6,23	5,00	4,20
29	48,10	47,00	43,00	6,60	5,33	4,20
28	46,30	45,40	41,40	6,23	5,33	4,50
27	44,60	43,90	39,80	6,60	5,67	4,20
26	42,80	42,30	38,10	6,60	5,33	3,60
25	41,00	40,80	36,50	6,97	5,67	2,70
24	39,10	38,80	34,80	6,97	5,67	3,90
23	37,20	37,30	33,10	6,97	6,00	4,50
22	35,30	35,60	31,30	6,97	5,67	4,80
21	33,40	33,80	29,60	6,60	5,67	4,80
20	31,60	32,00	27,90	6,97	5,33	5,10
19	29,70	30,10	26,30	6,60	6,00	5,10

18	27,90	28,10	24,50	6,97	5,67	5,10
17	26,00	26,20	22,80	7,00	5,67	5,10
16	24,30	24,20	21,10	7,20	5,33	5,10
15	22,30	22,20	19,50	6,60	5,67	5,40
14	20,50	20,20	17,80	6,60	5,67	5,10
13	18,70	18,30	16,10	6,60	5,33	5,10
12	16,80	16,30	14,50	6,60	5,33	4,80
11	15,00	14,40	12,90	6,23	5,00	5,10
10	13,30	12,50	11,40	6,23	5,00	4,50
9	11,60	10,70	9,90	5,87	5,00	4,50
8	10,00	10,00	8,40	5,87	4,67	4,50
7	8,40	8,30	7,00	5,50	4,33	4,20
6	6,90	6,70	5,70	5,87	4,33	3,90
5	5,30	5,10	4,40	5,13	4,00	3,90
4	3,90	3,70	3,20	5,13	4,00	3,60
3	2,50	2,30	2,00	4,40	3,00	3,00
2	1,30	1,20	1,10	3,30	2,67	2,40
1	0,40	0,30	0,30	1,47	1,00	0,90

## 5.J 60 Lantai

•J Arah X

Lt.	$\delta xe$			$\Delta$		
	SRPMK	SRBKK	SRBKK + Outrigger	SRPMK	SRBKK	SRBKK + Outrigger
60	112,80	108,60	106,50	2,20	2,67	1,50
59	112,20	107,80	106,00	2,57	2,67	2,10
58	111,50	107,00	105,30	2,57	3,00	2,70
57	110,80	106,10	104,40	2,93	3,33	2,70

56	110,00	105,10	103,50	3,30	3,33	3,00
55	109,10	104,10	102,50	3,67	3,67	3,30
54	108,10	103,00	101,40	4,03	3,67	3,30
53	107,00	101,90	100,30	4,40	4,00	3,90
52	105,80	100,70	99,00	4,40	4,33	3,90
51	104,60	99,40	97,70	5,13	4,33	3,90
50	103,20	98,10	96,40	5,50	4,67	4,20
49	101,70	96,70	95,00	5,50	4,67	4,20
48	100,20	95,30	93,60	6,23	5,00	4,50
47	98,50	93,80	92,10	6,23	5,33	4,80
46	96,80	92,20	90,50	6,60	5,33	4,80
45	95,00	90,60	88,90	6,97	5,67	5,10
44	93,10	88,90	87,20	6,97	5,67	5,10
43	91,20	87,20	85,50	7,33	6,00	5,40
42	89,20	85,40	83,70	7,70	6,00	5,70
41	87,10	83,60	81,80	7,70	6,67	5,40
40	85,00	81,60	80,00	7,70	6,33	5,70
39	82,90	79,70	78,10	7,70	7,00	5,70
38	80,80	77,60	76,20	8,07	7,00	5,70
37	78,60	75,50	74,30	8,07	7,00	6,00
36	76,40	73,40	72,30	8,43	7,33	6,00
35	74,10	71,20	70,20	8,43	7,33	6,00
34	71,80	69,00	68,00	8,80	7,67	6,00
33	69,40	66,70	65,70	8,80	7,67	6,30
32	67,00	64,40	63,40	8,80	7,67	6,00
31	64,60	62,20	61,10	8,43	7,67	5,70
30	62,30	60,30	58,80	8,80	7,67	4,20
29	59,90	58,90	56,50	8,80	7,67	5,40

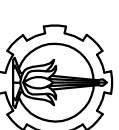
28	57,50	57,10	54,20	8,80	7,67	6,60
27	55,10	54,90	51,90	8,80	7,67	6,90
26	52,70	52,60	49,60	8,80	8,00	6,90
25	50,30	50,30	47,20	8,80	7,67	7,20
24	47,90	47,90	44,90	9,17	8,00	7,20
23	45,40	45,50	42,50	8,80	8,00	7,50
22	43,00	43,00	40,10	8,80	7,67	7,20
21	40,60	40,60	37,80	8,80	7,67	7,20
20	38,20	38,20	35,50	8,07	7,67	7,20
19	36,00	35,80	33,20	8,43	7,33	6,90
18	33,70	33,50	31,00	8,07	7,67	7,20
17	31,50	31,10	28,70	8,07	7,33	6,90
16	29,30	28,80	26,50	8,07	7,33	7,20
15	27,10	26,40	24,30	8,07	7,00	6,90
14	24,90	24,10	22,20	8,07	7,33	6,90
13	22,70	21,80	20,00	8,07	7,00	6,60
12	20,50	19,60	17,90	8,07	6,67	6,60
11	18,30	17,40	15,90	7,70	6,67	6,60
10	16,20	15,20	13,90	7,33	6,00	6,00
9	14,20	13,20	12,10	7,70	6,00	6,00
8	12,10	11,20	10,30	6,60	6,00	5,70
7	10,30	9,30	8,50	6,97	5,33	5,40
6	8,40	7,50	6,90	6,97	5,33	5,40
5	6,50	5,70	5,30	6,60	5,00	4,80
4	4,70	4,10	3,80	6,23	4,67	4,50
3	3,00	2,60	2,40	5,13	3,67	3,90
2	1,60	1,30	1,30	4,40	3,33	2,70
1	0,40	0,30	0,40	1,47	1,00	1,20

•J Arah Y

Lt.	δxe			Δ		
	SRPMK	SRBKK	SRBKK + Outrigger	SRPMK	SRBKK	SRBKK + Outrigger
60	107,20	100,40	98,60	2,93	2,67	2,10
59	106,40	99,60	97,90	3,30	3,33	2,40
58	105,50	98,60	97,10	3,30	3,00	3,00
57	104,60	97,70	96,10	3,30	3,67	3,00
56	103,70	96,60	95,10	4,03	3,67	3,30
55	102,60	95,50	94,00	4,03	3,67	3,60
54	101,50	94,40	92,80	4,40	4,00	3,60
53	100,30	93,20	91,60	4,77	4,33	3,90
52	99,00	91,90	90,30	5,13	4,33	3,90
51	97,60	90,60	89,00	5,13	4,33	4,20
50	96,20	89,30	87,60	5,87	4,67	4,20
49	94,60	87,90	86,20	5,87	4,67	4,50
48	93,00	86,50	84,70	5,87	5,00	4,50
47	91,40	85,00	83,20	6,60	5,00	4,50
46	89,60	83,50	81,70	6,60	5,33	4,80
45	87,80	81,90	80,10	6,60	5,33	4,80
44	86,00	80,30	78,50	6,97	5,67	5,10
43	84,10	78,60	76,80	7,33	5,67	5,10
42	82,10	77,90	75,10	7,33	6,00	5,40
41	80,10	75,10	73,30	7,33	6,00	5,40
40	78,10	73,30	71,50	7,70	6,33	5,10
39	76,00	71,40	69,80	7,33	6,33	5,40
38	74,00	69,50	68,00	7,70	6,33	5,40
37	71,90	67,60	66,20	7,70	6,67	5,70

36	69,80	66,60	64,30	8,07	6,67	5,70
35	67,60	64,60	62,40	8,07	7,00	5,40
34	65,40	62,50	60,50	8,07	6,67	6,00
33	63,20	60,50	58,50	8,43	7,00	5,70
32	60,90	58,40	56,40	8,07	7,00	5,40
31	58,70	56,30	54,30	8,07	7,00	4,80
30	56,50	54,20	52,20	8,43	7,00	3,90
29	54,20	52,10	50,10	8,07	7,00	5,10
28	52,00	50,00	48,00	8,07	7,00	5,70
27	49,80	48,40	45,90	8,07	7,00	6,30
26	47,60	46,30	43,80	8,07	7,00	6,30
25	45,40	44,20	41,70	8,43	7,00	6,30
24	43,10	42,10	39,60	8,07	7,00	6,60
23	40,90	39,90	37,50	8,43	7,00	6,30
22	38,60	37,80	35,40	8,07	7,00	6,60
21	36,40	35,60	33,30	7,70	7,00	6,30
20	34,30	33,50	31,20	7,70	6,67	6,30
19	32,20	31,40	29,20	7,33	6,33	6,30
18	30,20	29,30	27,30	7,70	6,67	6,30
17	28,10	27,20	25,30	7,33	6,33	6,00
16	26,10	25,20	23,40	7,33	6,67	6,30
15	24,10	23,10	21,40	7,33	6,33	6,00
14	22,10	21,10	19,50	7,33	6,33	6,00
13	20,10	19,10	17,60	6,97	6,00	6,00
12	18,20	17,10	15,80	7,33	6,00	5,70
11	16,20	15,20	14,00	6,60	5,67	5,40
10	14,40	13,40	12,30	6,60	5,67	5,40
9	12,60	11,60	10,60	6,60	5,00	5,10

8	10,80	9,90	9,10	6,23	5,00	5,10
7	9,10	8,20	7,60	6,23	5,00	4,80
6	7,40	6,60	6,10	5,87	4,67	4,50
5	5,80	5,10	4,70	5,87	4,33	4,20
4	4,20	3,70	3,40	5,50	4,00	3,90
3	2,70	2,40	2,20	4,77	3,67	3,60
2	1,40	1,20	1,10	3,67	2,67	2,70
1	0,40	0,30	0,30	1,47	1,00	0,90



JURUSAN TEKNIK SIPIL  
FAKULTAS TEKNIK SIPIL  
DAN PERENCANAAN  
INSTITUT TEKNOLOGI  
SEPULUH NOPEMBER  
SURABAYA

JUDUL TUGAS  
AKHIR

STUDI PERBANDINGAN  
PERILAKU BANGUNAN  
MENGGUNAKAN SRBM, SRBK  
DAN SRBK MENGGUNAKAN  
OUTRIGGER

DOSEN PEMBIMBING

Data Iriana, ST,MT,Ph.D  
Ir. Heppy Kristijanto, MS.

MAHASISWA

Yehezkiel Septian  
Yogamata  
3113106046

JUDUL GAMBAR

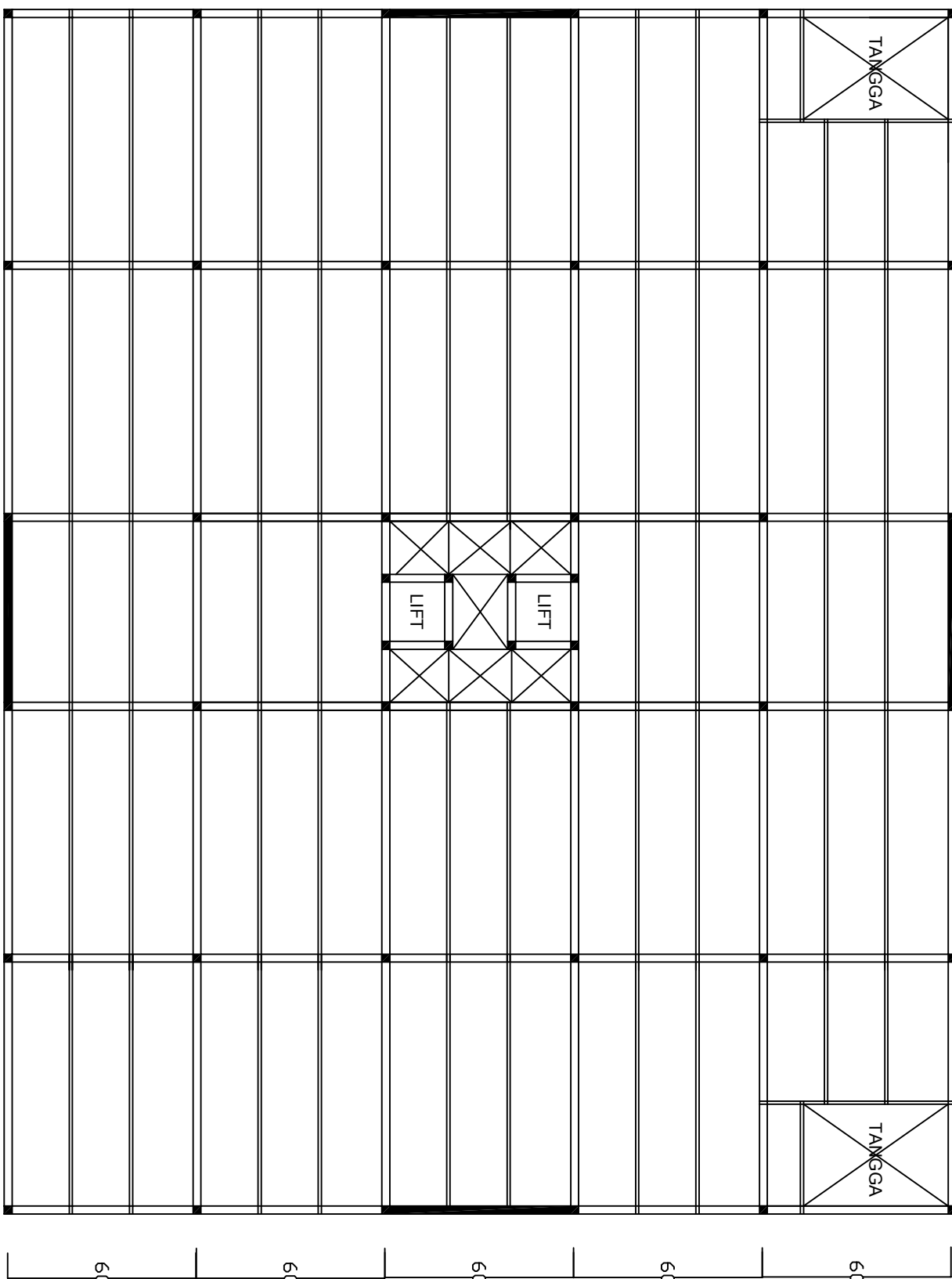
DENAH  
BANGUNAN

SKALA

1 : 200

LEMBAR JUMLAH

1 20





JURUSAN TEKNIK SIPIL  
FAKULTAS TEKNIK SIPIL  
DAN PERENCANAAN  
INSTITUT TEKNOLOGI  
SEPULUH NOPEMBER  
SURABAYA

**JUDUL TUGAS  
AKHIR**

STUDI PERBANDINGAN  
PERILAKU BANGUNAN  
MENGGUNAKAN SRPK  
DAN SRBK MENGGUNAKAN  
OUTRIGGER

**DOSEN PEMBIMBING**

Data Iranata, ST,MT,Ph.D  
Ir. Heppy Kristijanto, MS.

**MAHASISWA**

Yhezekiel Septian  
Yoganata  
3113106046

**JUDUL GAMBAR**

**POTONGAN  
MEMANJANG  
BANGUNAN 20  
LANTAI**

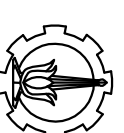
**SKALA**

**1 : 1000**

LEMBAR	JUMLAH
2	20

**POT. MEMANJANG SRPKK 20 LT.  
SKALA 1 : 1000**

**POT. MEMANJANG SRPMK 20 LT.  
SKALA 1 : 1000**



JURUSAN TEKNIK SIPIL  
FAKULTAS TEKNIK SIPIL  
DAN PERENCANAAN  
INSTITUT TEKNOLOGI  
SEPULUH NOPEMBER  
SURABAYA

**JURIDIK POSAAS  
TUGAS AKHIR**

STUDI PERBANDINGAN  
PERILAKU BANGUNAN  
MENGGUNAKAN SRBM, SRBK  
DAN SRBK MENGGUNAKAN  
OUTRIGGER

**DOSEN PEMBIMBING**

Data Iriana, ST,MT,Ph.D  
Ir. Heppy Kristijanto, MS.

**MAHASISWA**

Yehezkiel Septian  
Yoganata  
3113106046

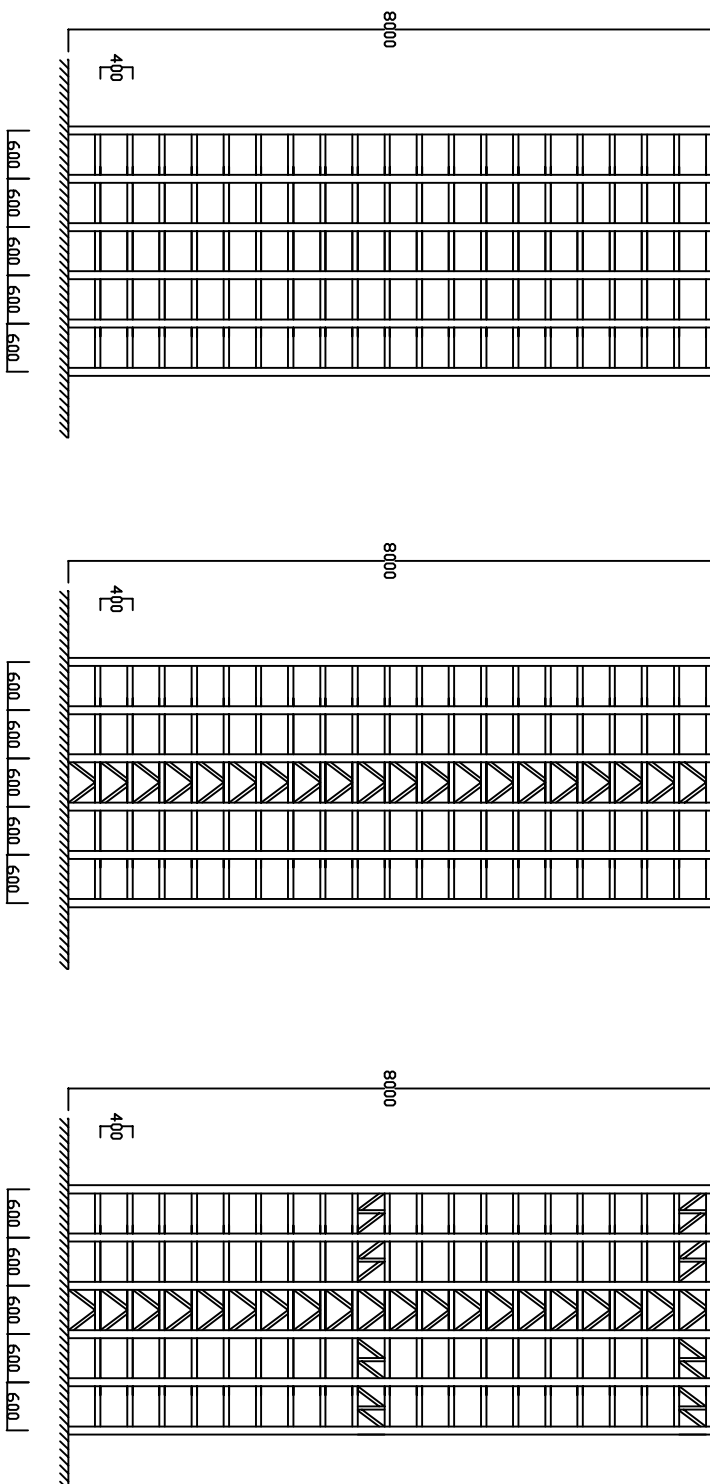
**JUDUL GAMBAR**

**POTONGAN  
MELINTANG  
BANGUNAN 20  
LANTAI**

**SKALA**

**1 : 1000**

LEMBAR	JUMLAH
3	20



POT. MELINTANG SRPMK 20 LT.  
SKALA 1 : 1000

POT. MELINTANG SRBK 20 LT.  
SKALA 1 : 1000

POT. MELINTANG SRBK +  
OUTRIGGER 20 LANTAI  
SKALA 1 : 1000



JURUSAN TEKNIK SIPIL  
FAKULTAS TEKNIK SIPIL  
DAN PERENCANAAN  
INSTITUT TEKNOLOGI  
SEPULUH NOPEMBER  
SURABAYA

JUDUL TUGAS  
AKHIR

STUDI PERBANDINGAN  
PERILAKU BANGUNAN  
MENGGUNAKAN SRPM, SRBK  
DAN SRBK MENGGUNAKAN  
OUTRIGGER

DOSEN PEMBIMBING

Data Iranata, ST,MT,Ph.D  
Ir. Heppy Kristijanto, MS.

MAHASISWA

Yehezkiel Septian  
Yoganata  
3113106046

JUDUL GAMBAR

POTONGAN  
MEMANJANG  
BANGUNAN 30  
LANTAI

SKALA

1 : 1000

LEMBAR	JUMLAH
4	20

POT. MEMANJANG SRPMK 30 LJT.

SKALA 1 : 1000

POT. MEMANJANG SRBK 30 LJT.

SKALA 1 : 1000

POT. MEMANJANG SRBK +  
OUTRIGGER 30 LANTAI

SKALA 1 : 1000



JURUSAN TEKNIK SIPIL  
FAKULTAS TEKNIK SIPIL  
DAN PERENCANAAN  
INSTITUT TEKNOLOGI  
SEPULUH NOPEMBER  
SURABAYA

**JUDUL TUGAS  
AKHIR**

STUDI PERBANDINGAN  
PERILAKU BANGUNAN  
MENGGUNAKAN SRPM, SRBK  
DAN SRBK MENGGUNAKAN  
OUTRIGGER

DOSEN PEMBIMBING

Data Iranata, ST,MT,Ph.D  
Ir. Heppy Kristijanto, MS.

**MAHASISWA**

Yehezkiel Septian  
Yoganatha  
3113106046

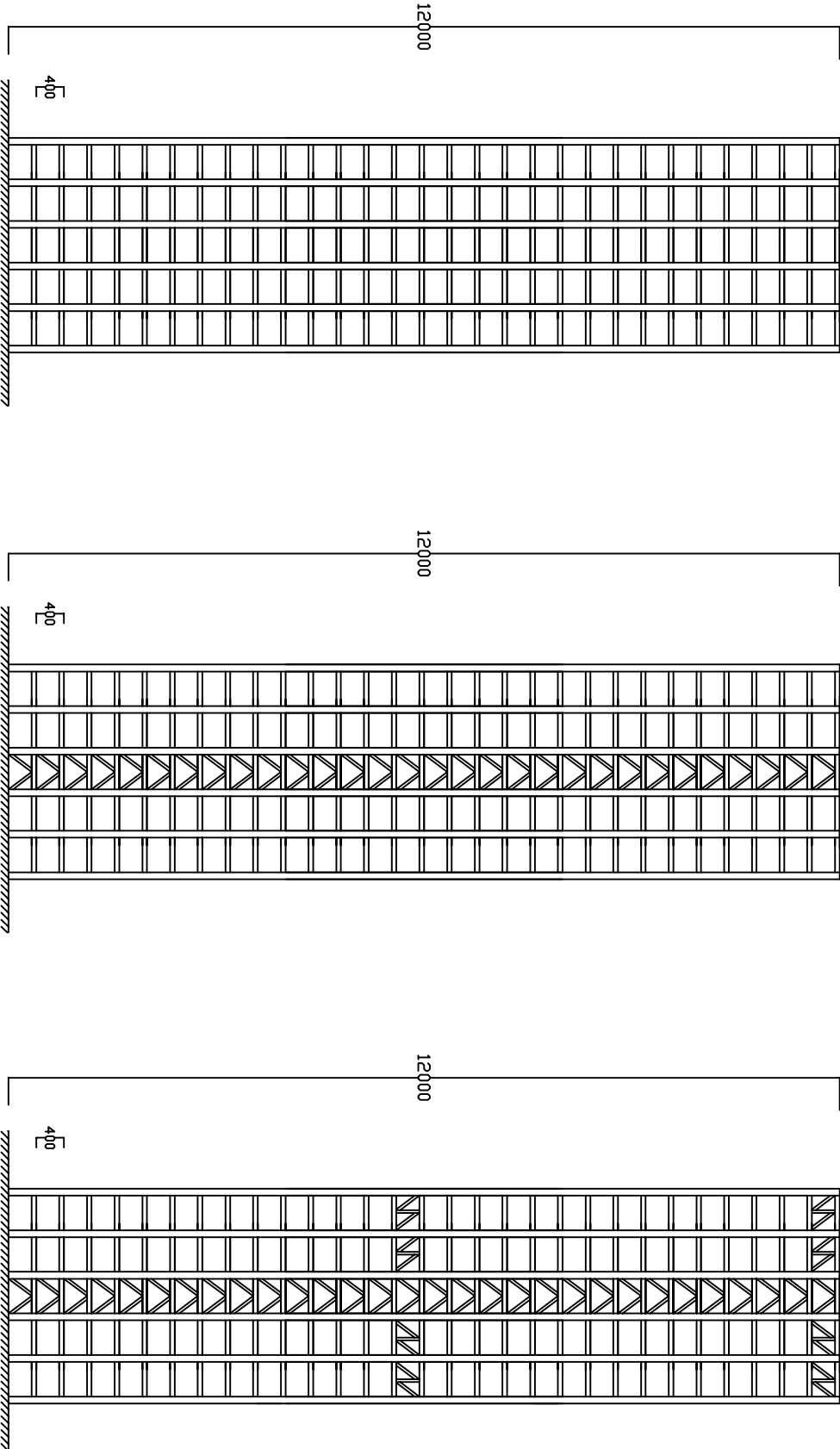
**JUDUL GAMBAR**

POTONGAN  
MELINTANG  
BANGUNAN 30  
LANTAI

**SKALA**

1 : 1000

LEMBAR	JUMLAH
5	20



POT. MELINTANG SRPMK 30 LT.

SKALA 1 : 1000

POT. MELINTANG SRBK 30 LT.

SKALA 1 : 1000

POT. MELINTANG SRBK +  
OUTRIGGER 30 LANTAI

SKALA 1 : 1000



JURUSAN TEKNIK SIPIL  
FAKULTAS TEKNIK SIPIL  
DAN PERENCANAAN  
INSTITUT TEKNOLOGI  
SEPULUH NOPEMBER  
SURABAYA

JUDUL TUGAS  
AKHIR

STUDI PERBANDINGAN  
PERILAKU BANGUNAN  
MENGGUNAKAN SRBK  
DAN SRBK MENGGUNAKAN  
OUTRIGGER

DOSEN PEMBIMBING

Data Iriana, ST,MT,Ph.D  
Ir. Heppy Kristijanto, MS.

MAHASISWA

Yehezkiel Septian  
Yoganata  
3113106046

JUDUL GAMBAR

POTONGAN  
MEMANJANG  
BANGUNAN 40  
LANTAI

SKALA

1 : 1000

LEMBAR JUMLAH

16000

16000

16000

16000

800 800 600 800 800

800 800 600 800 800

800 800 600 800 800

400

400

400



JURUSAN TEKNIK SIPIL  
FAKULTAS TEKNIK SIPIL  
DAN PERENCANAAN  
INSTITUT TEKNOLOGI  
SEPULUH NOPEMBER  
SURABAYA

JUDUL TUGAS  
AKHIR

STUDI PERBANDINGAN  
PERILAKU BANGUNAN  
MENGGUNAKAN SRBM, SRBK  
DAN SRBK MENGGUNAKAN  
OUTRIGGER

DOSEN PEMBIMBING

Data Iranata, ST,MT,Ph.D  
Ir. Heppy Kristijanto, MS.

MAHASISWA

Yehezkiel Septian  
Yoganata  
3113106046

JUDUL GAMBAR

POTONGAN  
MELINTANG  
BANGUNAN 40  
LANTAI

SKALA

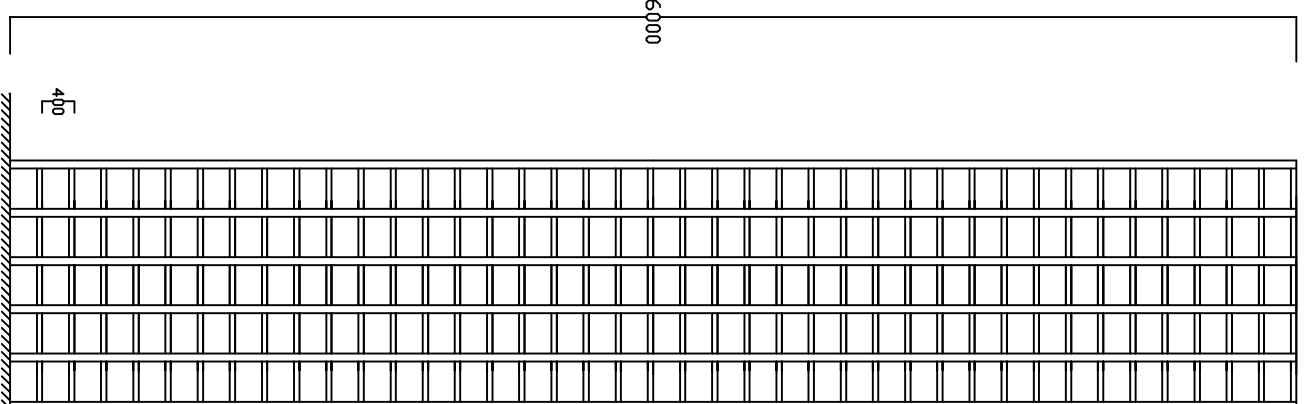
1 : 1000

LEMBAR	JUMLAH
7	20

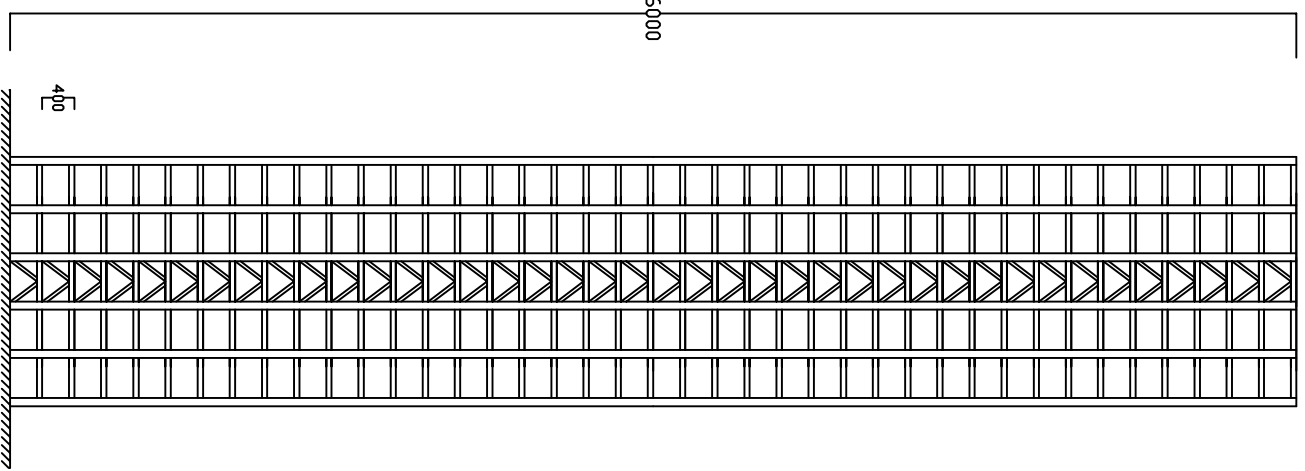
600 600 600 600 600

600 600 600 600 600

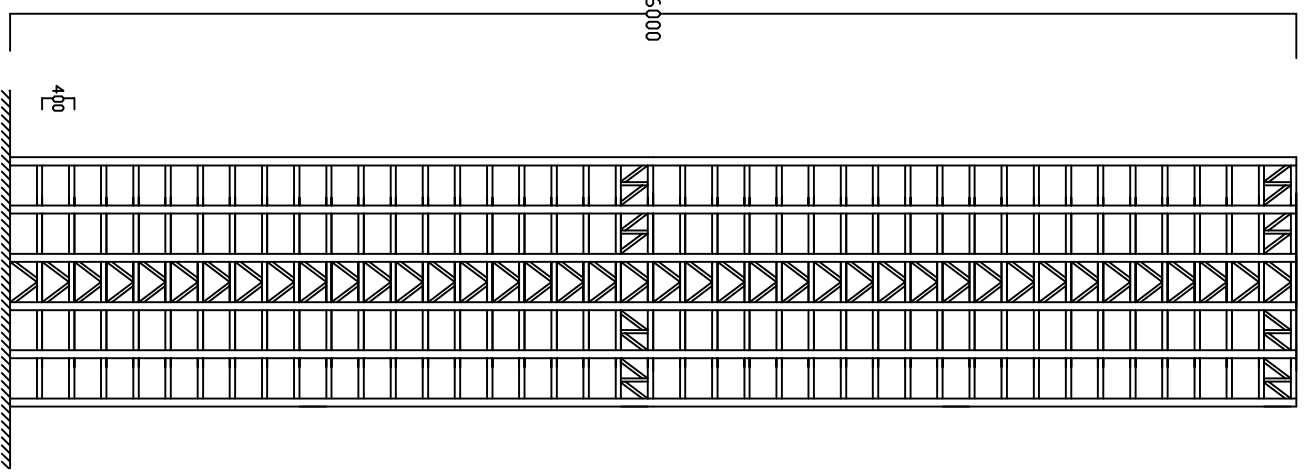
600 600 600 600 600



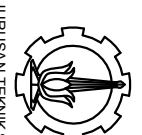
16000



16000



16000



JURUSAN TEKNIK SIPIL  
FAKULTAS TEKNIK SIPIL  
DAN PERENCANAAN  
INSTITUT TEKNOLOGI  
SEPULUH NOPEMBER  
SURABAYA

JUDUL TUGAS  
AKHIR

STUDI PERBANDINGAN  
PERILAKU BANGUNAN  
MENGGUNAKAN SRBM, SRBK  
DAN SRBK MENGGUNAKAN  
OUTRIGGER

DOSEN PEMBIMBING

Data Iranata, ST,MT,Ph.D  
Ir. Heppy Kristijanto, MS.

MAHASISWA

Yehezkiel Septian  
Yoganata  
3113106046

JUDUL GAMBAR

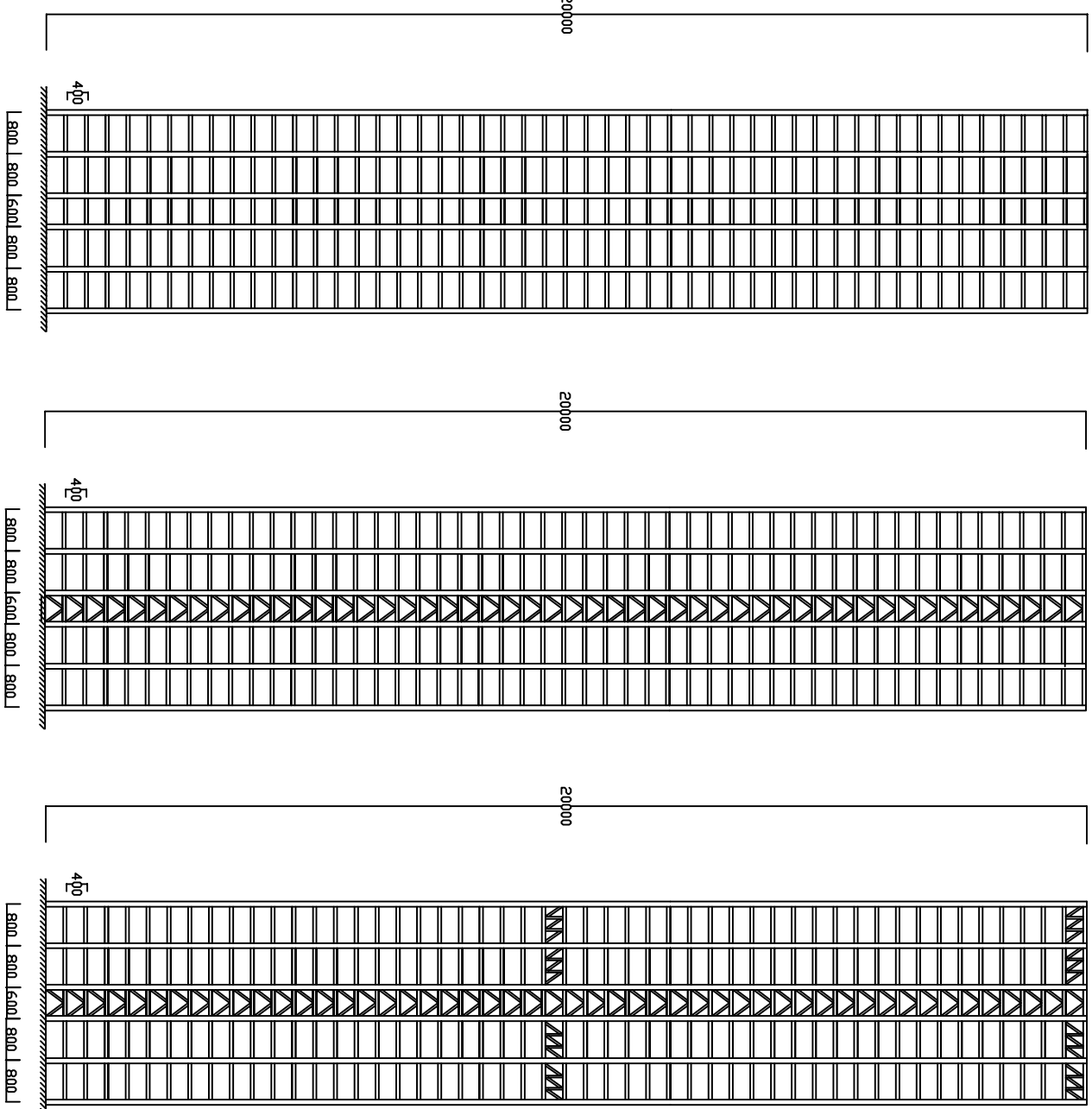
POTONGAN  
MEMANJANG  
BANGUNAN 50  
LANTAI

SKALA

1 : 2000

LEMBAR JUMLAH

8 20



POT. MEMANJANG 50 LANTAI  
SKALA 1 : 2000



JURUSAN TEKNIK SIPIL  
FAKULTAS TEKNIK SIPIL  
DAN PERENCANAAN  
INSTITUT TEKNOLOGI  
SEPULUH NOPEMBER  
SURABAYA

**JUDUL TUGAS  
AKHIR**

STUDI PERBANDINGAN  
PERILAKU BANGUNAN  
MENGGUNAKAN SRBM, SRBK  
DAN SRBK MENGGUNAKAN  
OUTRIGGER

DOSEN PEMBIMBING

Data Iranata, ST,MT,Ph.D  
Ir. Heppy Kristijanto, MS.

**MAHASISWA**

Yehezkiel Septian  
Yoganatha  
3113106046

**JUDUL GAMBAR**

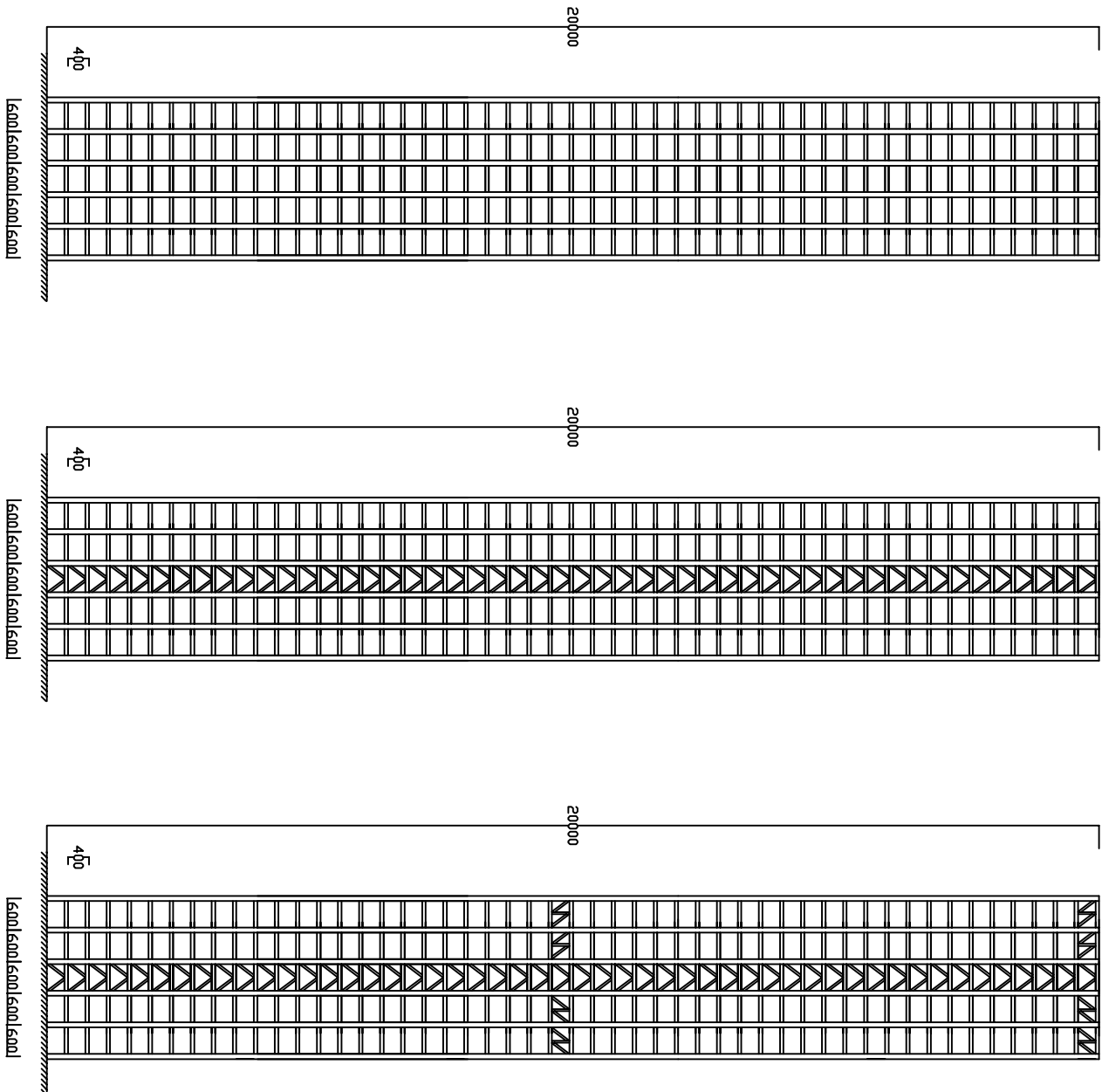
POTONGAN  
MELINTANG  
BANGUNAN 50  
LANTAI

**SKALA**

**1 : 2000**

**LEMBAR JUMLAH**

**9 20**





JURUSAN TEKNIK SIPIL  
FAKULTAS TEKNIK SIPIL  
DAN PERENCANAAN  
INSTITUT TEKNOLOGI  
SEPULUH NOPEMBER  
SURABAYA

JUDUL TUGAS  
AKHIR

STUDI PERBANDINGAN  
PERILAKU BANGUNAN  
MENGGUNAKAN SRBM, SRBK  
DAN SRBK MENGGUNAKAN  
OUTRIGGER

DOSEN PEMBIMBING

Data Iranata, ST,MT,Ph.D  
Ir. Heppy Kristijanto, MS.

MAHASISWA

Yehezkiel Septian  
Yoganata  
3113106046

JUDUL GAMBAR

POTONGAN  
MEMANJANG  
BANGUNAN 60  
LANTAI

SKALA

1 : 2000

2400

2400

2400

450

800 | 800 | 600 | 800 | 800 |

800 | 800 | 600 | 800 | 800 |

800 | 800 | 600 | 800 | 800 |

800 | 800 | 600 | 800 | 800 |

SKALA 1 : 2000

POT. MEMANJANG 60 LANTAI

LEMBAR	JUMLAH
10	20



# DATA PROFIL STRUKTUR UTAMA YG DIPAKAI :

SRPMK 20 LANTAI

SRBK + OUTRIGGER 20 LANTAI

SRBK + OUTRIGGER 30 LANTAI

JURUSAN TEKNIK SIPIL  
FAKULTAS TEKNIK SIPIL  
DAN PERENCANAAN  
SEPULUH NOPEMBER  
SURABAYA



LANTAI	BALOK INDUK (WF)	KOLOM (CFT)
1 - 10	600 x 300 x 12 x 17	900 x 900 x 16
11 - 20	600 x 200 x 13 x 23	900 x 900 x 12

BRESING = -

BELTRUSS & OUTRIGGER = -

LANTAI	BALOK INDUK (WF)	KOLOM (CFT)
1 - 10	600 x 300 x 12 x 20	1000 x 1000 x 16
11 - 20	600 x 300 x 12 x 17	900 x 900 x 16
21 - 30	600 x 200 x 13 x 23	900 x 900 x 12

BRESING = -

BELTRUSS & OUTRIGGER = -

LANTAI	BALOK INDUK (WF)	KOLOM (CFT)
1 - 10	600 x 300 x 12 x 27	900 x 900 x 16
11 - 20	600 x 200 x 13 x 23	900 x 900 x 12
21 - 30	600 x 200 x 12 x 20	800 x 800 x 12

LANTAI	BALOK INDUK (WF)	KOLOM (CFT)
1 - 10	600 x 200 x 12 x 20	900 x 900 x 12
11 - 20	600 x 200 x 11 x 17	800 x 800 x 12
21 - 30	600 x 200 x 12 x 20	700 x 700 x 12

BRESING = WF 300 x 300 x 11 x 17

BELTRUSS & OUTRIGGER = WF 300 x 200 x 9 x 14

SRPMK 30 LANTAI

SRBK + OUTRIGGER 30 LANTAI

SRBK + OUTRIGGER 40 LANTAI

STUDI PERBANDINGAN  
PERILAKU BANGUNAN  
MENGGUNAKAN SRPMK  
DAN SRBK MENGGUNAKAN  
OUTRIGGER

JUDUL TUGAS  
AKHIR  
DOSEN PEMBIMBING  
Data Irwanata, ST,MT,Ph.D  
Ir. Heppy Kristijanto,MS.  
Yhezekiel Septian  
Yogamata  
3113106046

LANTAI	BALOK INDUK (WF)	KOLOM (CFT)
1 - 10	600 x 300 x 14 x 23	1000 x 1000 x 19
11 - 20	600 x 300 x 12 x 20	1000 x 1000 x 16
21 - 30	600 x 200 x 13 x 23	900 x 900 x 16
31 - 40	600 x 200 x 12 x 20	800 x 800 x 12

LANTAI	BALOK INDUK (WF)	KOLOM (CFT)
1 - 10	600 x 300 x 12 x 20	1000 x 1000 x 16
11 - 20	600 x 200 x 13 x 23	900 x 900 x 12
21 - 30	600 x 200 x 12 x 20	800 x 800 x 12
31 - 40	600 x 200 x 11 x 17	700 x 700 x 12

BRESING = WF 300 x 300 x 11 x 17

BELTRUSS & OUTRIGGER = WF 300 x 200 x 9 x 14

SRPMK 40 LANTAI

SRBK + OUTRIGGER 40 LANTAI

SRBK + OUTRIGGER 50 LANTAI

MAHASISWA

JUDUL GAMBAR  
DATA PROFIL  
STRUKTUR  
PRIMER PADA  
SELURUH  
VARIASI TINGG  
GEDUNG  
SKALA

LANTAI	BALOK INDUK (WF)	KOLOM (CFT)
1 - 10	700 x 300 x 13 x 24	1000 x 1000 x 25
11 - 20	700 x 300 x 13 x 20	1000 x 1000 x 22
21 - 30	600 x 300 x 14 x 23	1000 x 1000 x 19
31 - 40	600 x 300 x 12 x 20	1000 x 1000 x 16

LANTAI	BALOK INDUK (WF)	KOLOM (CFT)
1 - 10	700 x 300 x 14 x 23	1000 x 1000 x 19
11 - 20	600 x 300 x 12 x 20	1000 x 1000 x 16
21 - 30	600 x 300 x 11 x 17	900 x 900 x 16
31 - 40	600 x 200 x 13 x 23	900 x 900 x 12

BRESING = WF 300 x 300 x 11 x 17

BELTRUSS & OUTRIGGER = WF 300 x 200 x 9 x 14

SRPKM 60 LANTAI

SRBK + OUTRIGGER 60 LANTAI

-

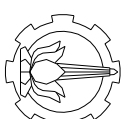
LEMBAR JUMLAH

LANTAI	BALOK INDUK (WF)	KOLOM (CFT)
1 - 10	700 x 300 x 13 x 24	1000 x 1000 x 25
11 - 20	700 x 300 x 13 x 20	1000 x 1000 x 22
21 - 30	600 x 300 x 14 x 23	1000 x 1000 x 19
31 - 40	600 x 300 x 12 x 20	1000 x 1000 x 16

LANTAI	BALOK INDUK (WF)	KOLOM (CFT)
1 - 10	700 x 300 x 13 x 20	1000 x 1000 x 22
11 - 20	600 x 300 x 14 x 23	1000 x 1000 x 19
21 - 30	600 x 300 x 12 x 20	1000 x 1000 x 16

BRESING = -

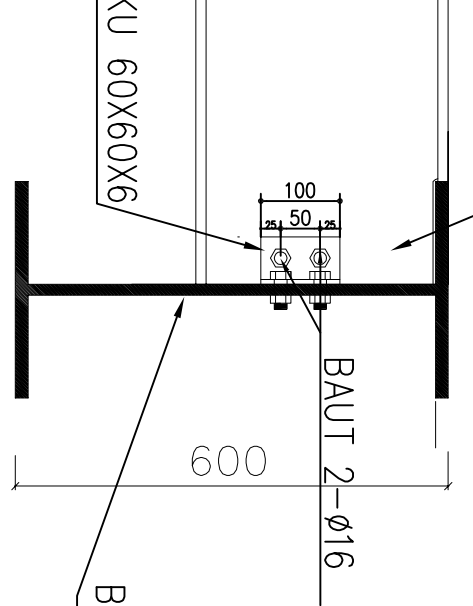
BELTRUSS & OUTRIGGER = -



Jurusan Teknik Sipil  
Fakultas Teknik Sipil Dan Perencanaan  
Institut Teknologi Sepuluh Nopember

Judul Tugas Akhir

BALOK ANAK 350X250X8X12



Dosen Pembimbing

1. Data Iranata, ST.,MT.,Ph.D
2. Ir. Heppy Kristijanto, M.S.

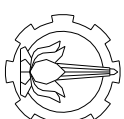
Keterangan

DETAIL SAMBUNGAN BALOK INDUK DENGAN BALOK ANAK

Detail Sambungan Balok Induk  
dengan Balok Anak

Skala	No Gambar	Jumlah Gambar
1:10	13	20

Skala 1 : 10



Jurusan Teknik Sipil  
Fakultas Teknik Sipil Dan Perencanaan  
Institut Teknologi Sepuluh Nopember

Judul Tugas Akhir



BALOK INDUK WF 600.300.14.23

1. Data Iranata, ST.,MT.,Ph.D
2. Ir. Heppy Kristijanto, M.S.

Keterangan

2000

Nama Mahasiswa & NRP

Yehzekiel Septian Yoganata  
3113106046

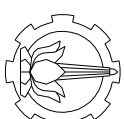
Revisi      Tanggal      Catatan

Nama Gambar

Detail Sambungan Balok Induk  
dengan Balok Anak

Skala 1 : 10

**DETAIL SAMBUNGAN BALOK  
INDUK DENGAN BALOK ANAK**



Jurusan Teknik Sipil  
Fakultas Teknik Sipil Dan Perencanaan  
Institut Teknologi Sepuluh Nopember

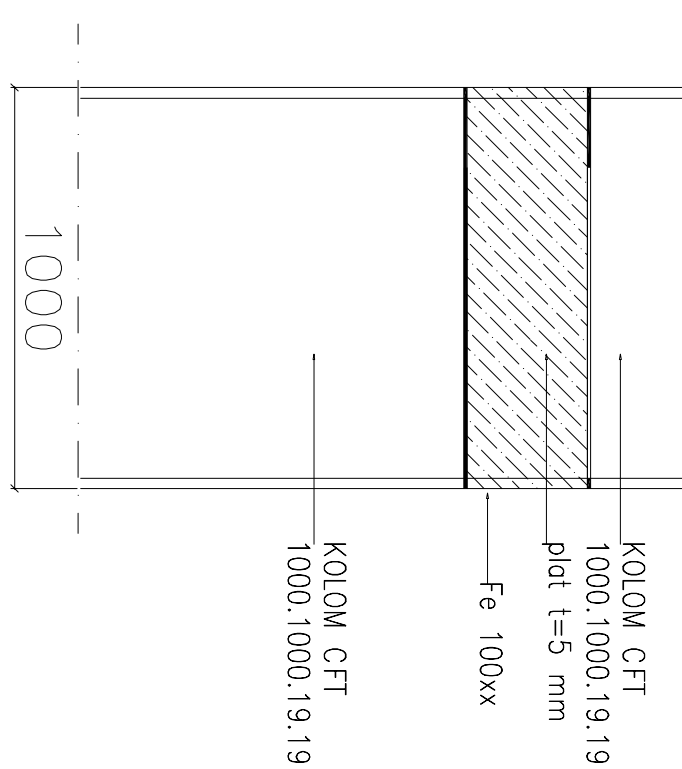
Judul Tugas Akhir

Studi Perilaku Bangunan  
Menggunakan Sistem Rangka  
Pemikul Momen, Sistem Rangka  
Bressing Konsektif, dan Sistem  
Rangka Bressing Konsentrik  
Menggunakan *Outrigger*

Dosen Pembimbing

1. Data Iranata, ST.,MT.,Ph.D
2. Ir. Heppy Kristijanto, M.S.

Keterangan



KOLOM CFT  
1000.1000.19.19

**DETAIL SAMBUNGAN KOLOM  
DENGAN KOLOM**

Detail Sambungan Kolom  
dengan Kolom



Skala 1 : 20



## DIAPHRAGM PLATE

$$T = 16 \text{ mm}$$

Jurusan Teknik Sipil  
Fakultas Teknik Sipil Dan Perencanaan  
Institut Teknologi Sepuluh Nopember

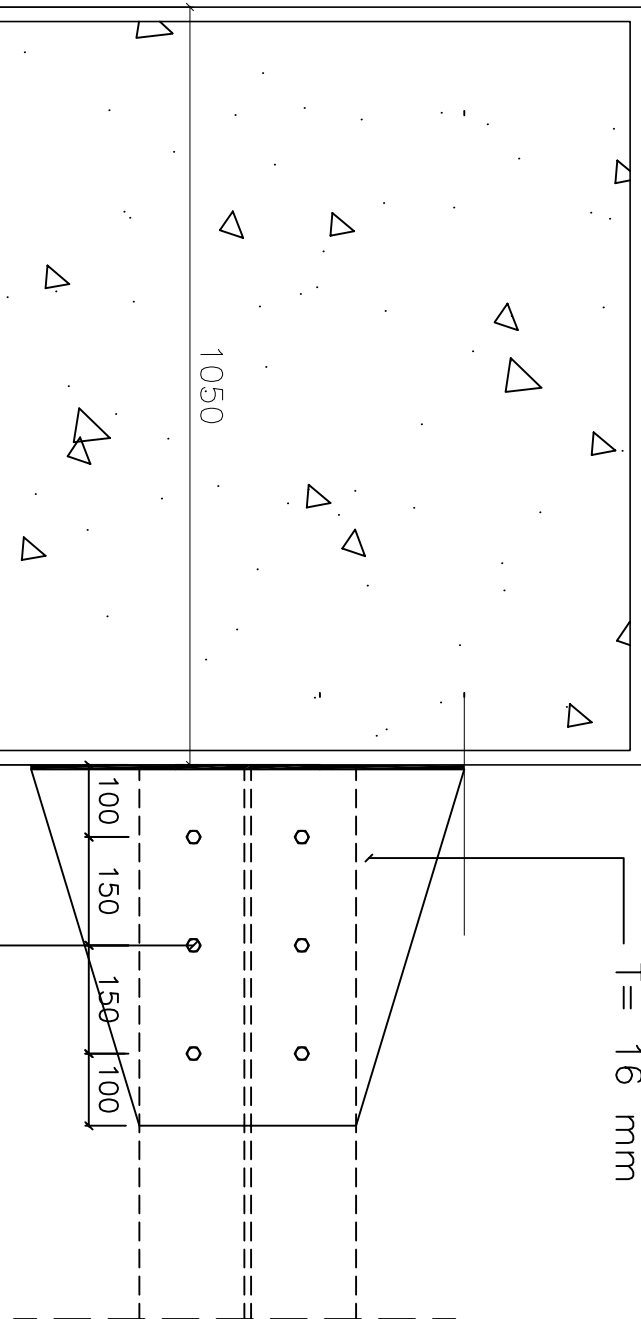
### Judul Tugas Akhir

Studi Periaku Bangunan  
Menggunakan Sistem Rangka  
Pemikul Momen, Sistem Rangka  
Bressing Konsekntrik, dan Sistem  
Rangka Bressing Konsentrik  
Menggunakan *Outrigger*

### Dosen Pembimbing

1. Data Iranata, ST.,MT.,Ph.D
2. Ir. Heppy Kristijanto, M.S.

### Keterangan



BAUT  $\phi 20$

### Nama Mahasiswa & NRP

Yehezkiel Septian Yoganata  
3113106046

### Revisi

### Tanggal

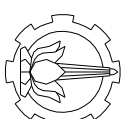
### Catatan

KOLOM CFT  
1000.000.19.19

## SAMBUNGAN BALOK INDUK DENGAN KOLOM

Sambungan Balok Induk  
dengan Kolom

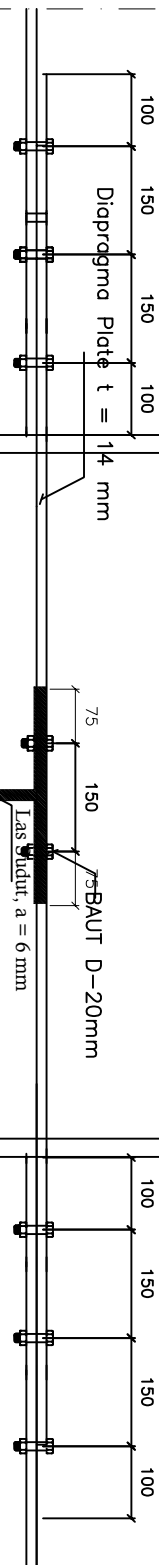




Jurusan Teknik Sipil  
Fakultas Teknik Sipil Dan Perencanaan  
Institut Teknologi Sepuluh Nopember

Judul Tugas Akhir

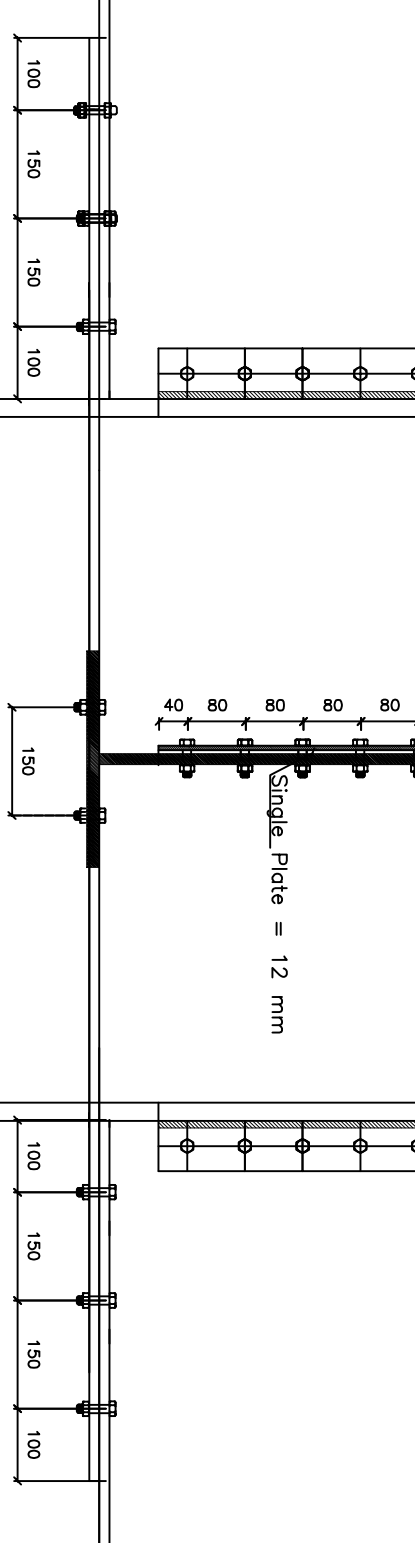
KOLOM CFT  
1000.1000.19.19



100  
150  
150  
100

100  
150  
150  
100

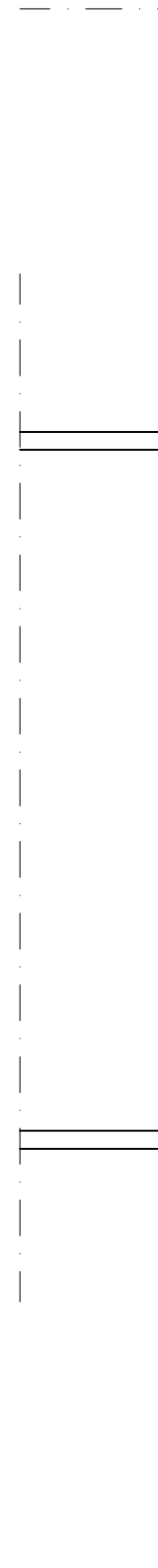
100  
150  
150  
100



100  
150  
150  
100

100  
150  
150  
100

100  
150  
150  
100

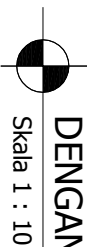


100  
150  
150  
100

100  
150  
150  
100

100  
150  
150  
100

SAMBUNGAN BALOK INDUK  
DENGAN KOLOM



Skala 1 : 10

Sambungan Balok Induk  
dengan Kolom

Nama Gambar

Keterangan

1. Data Iranata, ST.,MT.,Ph.D

2. Ir. Heppy Kristijanto, M.S.

Dosen Pembimbing

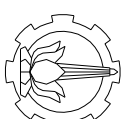
Nama Mahasiswa & NRP  
Yehzekiel Septian Yoganata  
3113106046

Revisi

Tanggal

Catatan

1.10 17 20

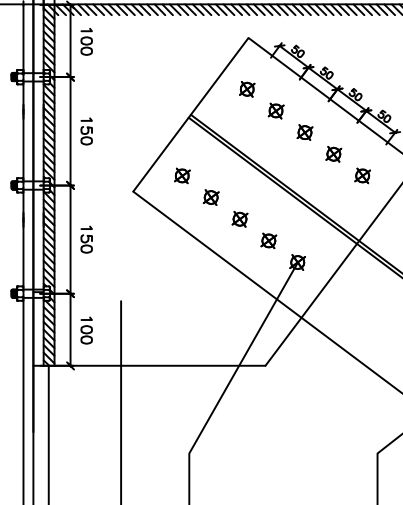


Jurusan Teknik Sipil  
Fakultas Teknik Sipil Dan Perencanaan  
Institut Teknologi Sepuluh Nopember

Judul Tugas Akhir

KOLOM CFT  
1000.1000.19.19

BRESING  
WF 300.300.11.17



1. Data Iranata, ST.,MT.,Ph.D  
2. Ir. Heppy Kristianto, M.S.

Keterangan

BAUT 10φ12 mm  
Pelat t=6mm  
Las Sudut

BALOK INDUK  
WF 600.300.14.23

Nama Mahasiswa & NRP  
Yehzekiel Septian Yoganata  
3113106046

Revisi      Tanggal      Catatan

Nama Gambar

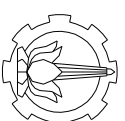
Sambungan Bresing Dengan  
Balok dan Kolom

**SAMBUNGAN BRESING  
DENGAN BALOK & KOLOM**



Skala 1 : 10

Skala	No Gambar	Jumlah Gambar
1:10	18	20

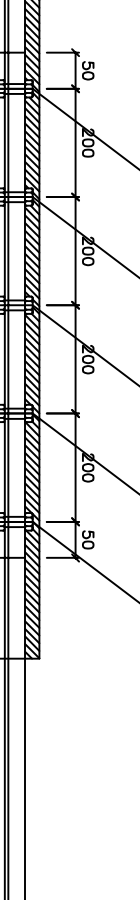


Jurusan Teknik Sipil  
Fakultas Teknik Sipil Dan Perencanaan  
Institut Teknologi Sepuluh Nopember

Judul Tugas Akhir

**BALOK INDUK**  
**WF 600.300.14.23**

**BAUT 5φ16 mm**



Pelat  $t=6\text{mm}$

**BAUT  $\phi 16 \text{ mm}$**

**BRESING**  
**WF 300.300.11.17**

Keterangan

1. Data Iranata, ST.,MT.,Ph.D
2. Ir. Heppy Kristijanto, M.S.

Studi Periaku Bangunan  
Menggunakan Sistem Rangka  
Pemikul Momen, Sistem Rangka  
Bresing Konsekntrik, dan Sistem  
Rangka Bresing Konsentrik  
Menggunakan *Outrigger*

Dosen Pembimbing

**SAMBUNGAN BRESING**  
**DENGAN BALOK INDUK**



Skala 1 : 10

Sambungan Bresing Dengan  
Balok Induk

Nama Gambar

Skala	No Gambar	Jumlah Gambar
1:10	19	20

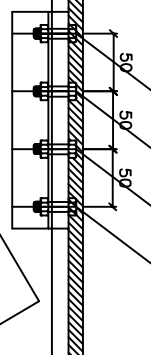


Jurusan Teknik Sipil  
Fakultas Teknik Sipil Dan Perencanaan  
Institut Teknologi Sepuluh Nopember

Judul Tugas Akhir

BALOK INDUK  
WF 600.300.14.23

BAUT 4 $\phi$ 16 mm



Pelat t=6mm

BAUT  $\phi$ 16 mm

OUTRIGGER  
WF 300.200.9.14

Nama Mahasiswa & NRP

Yehzekiel Septian Yoganata  
3113106046

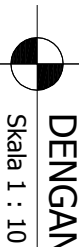
1. Data Iranata, ST.,MT.,Ph.D  
2. Ir. Heppy Kristianto, M.S.

Keterangan

Dosen Pembimbing

OUTRIGGER  
WF 300.200.9.14

SAMBUNGAN OUTRIGGER  
DENGAN BALOK INDUK



Skala 1 : 10

Sambungan Outrigger Dengan  
Balok Induk

Nama Gambar

Skala	No Gambar	Jumlah Gambar
1:10	20	20

1:10

20

20

20

## Data Profil CFT

No	Ukuran		Tebal	Luas	Berat	Moment of Inertia	Moment of resistant	Radius of Gyration	
	B	D	t	A	W	$I_x = I_y$	$Z_x = Z_y$	$i_x = i_y$	$S_x = S_y$
	mm	mm	mm	cm <sup>2</sup>	kg/m	cm <sup>4</sup>	cm <sup>3</sup>	cm	cm <sup>3</sup>
1	700	700	12	326,53	256,33	256123,93	7317,83	28,01	8392,10
2	700	700	16	431,17	338,47	333598,29	9531,38	27,82	11001,83
3	700	700	19	508,26	398,99	389197,55	11119,93	27,67	12898,56
4	700	700	22	584,18	458,58	442686,59	12648,19	27,53	14743,80
5	700	700	25	658,90	517,24	494099,57	14117,13	27,38	16537,98
6	800	800	12	374,53	294,01	385667,75	9641,69	32,09	11030,36
7	800	800	16	495,17	388,71	503841,78	12596,04	31,90	14492,07
8	800	800	19	584,26	458,65	589164,10	14729,10	31,76	17018,77
9	800	800	22	672,18	527,66	671694,69	16792,37	31,61	19486,28
10	800	800	25	758,90	595,74	751472,82	18786,82	31,47	21895,00
11	900	900	12	422,53	331,69	552850,15	12285,56	36,17	14028,62
12	900	900	16	559,17	438,95	723931,65	16087,37	35,98	18462,31
13	900	900	19	660,26	518,31	848021,82	18844,93	35,84	21708,99
14	900	900	22	760,18	596,74	968543,59	21523,19	35,69	24888,76
15	900	900	25	858,90	674,24	1085541,31	24123,14	35,55	28002,03
16	1000	1000	16	623,17	489,19	1000267,89	20005,36	40,06	22912,55
17	1000	1000	19	736,26	577,97	1173370,71	23467,41	39,92	26969,21
18	1000	1000	22	848,18	665,82	1342033,28	26840,67	39,78	30951,24
19	1000	1000	25	958,90	752,74	1506305,04	30126,10	39,63	34859,05

## BIODATA PENULIS



Penulis dilahirkan di Kediri, 5 September 1991, merupakan anak kedua dari 3 bersaudara. Penulis telah menempuh pendidikan formal yaitu di TK Saka Nira Kediri, SDN Purwokerto 1 Kediri, SMPN 1 Ngadiluwih Kediri, dan SMAN 4 Kediri. Stelah lulus dari SMAN tahun 2010, Penulis mengikuti UMPN dan diterima di Jurusan Teknik Sipil Politeknik Negeri Malang untuk jenjang D3 dengan mengambil bidang studi bangunan gedung, lalu pada tahun 2014 melanjutkan pendidikan jenjang S1 di Jurusan Teknik Sipil FTSP-ITS dan terdaftar dengan NRP. 3113106046.

Di Jurusan Teknik Sipil ini Penulis mengambil Bidang Studi Bangunan Gedung.

Email: [nata.yehezkiel@gmail.com](mailto:nata.yehezkiel@gmail.com)

## **BAB VIII**

### **PENUTUP**

#### **8.1 Kesimpulan**

Dari hasil perhitungan dan analisis yang telah dilakukan pada struktur gedung menggunakan Sistem Rangka Pemikul Momen Khusus, Sistem Rangka Bresing Konsentrik Khusus, dan Sistem rangka Pemikul Momen Khusus, Sistem Rangka Bresing Konsentrik Khusus menggunakan Outrigger dengan variasi tinggi gedung yaitu 20, 30, 40, 50, dan 60 lantai dan dimensi yang telah ditentukan, diperoleh hasil sebagai berikut:

##### **1. Kontrol Gaya Geser Dasar ( Base Shear )**

Untuk Sistem Rangka Pemikul Momen Khusus pada zona gempa tinggi dengan profil CFT dan profil WF yang digunakan, mampu menahan gaya geser dasar ( base shear ) yang terjadi, begitu juga pada Sistem Rangka Bresing Konsentrik Khusus, dan Sistem Rangka Bresing Konsentrik Khusus menggunakan Outrigger, meski dengan dimensi profil yang lebih kecil, bangunan-bangunan tersebut mampu menahan gaya geser dasar yang terjadi.

##### **2. Perpindahan ( Displacement )**

Perpindahan yang dihasilkan pada tiap gedung dan tiap sistem yang digunakan berbeda-beda. Secara umum nilai simpangan antar tingkat untuk Sistem Rangka Pemikul Momen Khusus lebih besar dari kedua sistem yang lain. Sedangkan untuk analisa batas ultimate, bangunan 60 lantai pada Sistem Rangka Pemikul Momen Khusus tidak memenuhi batas syarat maksimum, sedangkan untuk bangunan lantai 50,40,30,20 memenuhi syarat. Begitu pun untuk Sistem Rangka Bresing Konsentrik Khusus dan Sistem Rangka Bresing Konsentrik Khusus menggunakan Outrigger, pada semua bangunan telah

memenuhi syarat atau lebih kecil syarat maksimum yang ditentukan. Hal ini berarti dengan menggunakan kedua sistem tersebut, maka lebih kecil kemungkinan terjadi displacement yang dapat mengakibatkan keruntuhan.

3. Dari analisa yang didapat, Sistem Rangka Bresing Konsentrik Khusus menggunakan Outrigger mampu menahan gaya-gaya yang ada dibandingkan dengan Sistem Rangka Bresing Konsentrik Khusus dan Sistem Rangka Pemikul Momen Khusus meski dimensi profil yang digunakan lebih kecil dari kedua sistem yang lain.

## 8.2 Saran

Perlu dilakukan studi yang lebih mendalam untuk menghasilkan perencanaan struktur dengan mempertimbangkan aspek teknis, ekonomi, dan estetika. Sehingga diharapkan perencanaan dapat dilaksanakan mendekati kondisi sesungguhnya di lapangan dan hasil yang diperoleh sesuai dengan tujuan perencanaan yaitu kuat, ekonomis, dan tepat waktu dalam pelaksanaannya.

## **DAFTAR PUSTAKA**

- Amon,dkk. 2000. **Perencanaan Konstruksi Baja Untuk Insinyur dan Arsitek 1.** Jakarta : PT. Pradnya Paramita.
- Badan Standarisasi Nasional. **SNI 1727-2013 Beban Minimun Untuk Perancangan Bangunan Gedung dan Struktur Lain.**
- Badan Standarisasi Nasional. **SNI 1729-2015 Spesifikasi Untuk Bangunan Gedung Baja Struktural.**
- Kian, Po Seng. 2001. **The Use of Outrigger And Belt Truss System for High-Rise Concrete Buildings.** Surabaya : Jurusan Teknik Sipil Universitas Petra.
- Oentoeng. 2000. **Konstruksi Baja.** Surabaya : Jurusan Teknik Sipil Universitas Petra.
- Poerbo, Hartono. 2000. **Struktur dan Konstruksi bangunan Tinggi.** Jakarta : Djambatan.
- Pudjisuryadi, Pamuda. 2006. **Studi Tentang Daktilitas Struktur Pada Sistem Shearwall Frame Dengan Belt Truss.** Surabaya : Jurusan Teknik Sipil Universitas Petra.
- Salmon CG and John E. Johnson . 1992. **Struktur Baja Desain Dan Perilaku Edisi 1.** Jakarta : PT.Gramedia Pustaka Umum.
- Sampakang,dkk. 2013. **Perencanaan Sistem Rangka Pemikul Momen Khusus Pada Komponen Balok-Kolom dan Sambungan Struktur Baja Gedung BPJN XI.** Manado : Jurusan Teknik Sipil Universitas Sam Ratulangi.
- Setiawaan, Agus. 2008. **Perencanaan Struktur Baja Dengan Metode LRFD.** Jakarta : Erlangga.
- Taranath, Bungale S.1997.**Steel, Concrete, And Composite Design Of Tall Building.** New York : MC Grow Hill.

*“Halaman ini sengaja dikosongkan.”*

## BIODATA PENULIS



Penulis dilahirkan di Kediri, 5 September 1991, merupakan anak kedua dari 3 bersaudara. Penulis telah menempuh pendidikan formal yaitu di TK Saka Nira Kediri, SDN Purwokerto 1 Kediri, SMPN 1 Ngadiluwih Kediri, dan SMAN 4 Kediri. Stelah lulus dari SMAN tahun 2010, Penulis mengikuti UMPN dan diterima di Jurusan Teknik Sipil Politeknik Negeri Malang untuk jenjang D3 dengan mengambil bidang studi bangunan gedung, lalu pada tahun 2014 melanjutkan pendidikan jenjang S1 di Jurusan Teknik Sipil FTSP-ITS dan terdaftar dengan NRP. 3113106046.

Di Jurusan Teknik Sipil ini Penulis mengambil Bidang Studi Bangunan Gedung.

Email: [nata.yehezkiel@gmail.com](mailto:nata.yehezkiel@gmail.com)